

โปรดตีนไส้คร่าไลเซทจากโครงปลานิล และปลากะพง :
สมบัติการต้านอนุมูลอิสร์ และขับยั่งการทำงานของเอชีวี

นางสาวปิยะนันท์ ชื่อเสียง

วิทยานิพนธ์นี้เป็นส่วนหนึ่งของการศึกษาตามหลักสูตรปริญญาวิทยาศาสตร์รวมhabilitat
สาขาวิชาเทคโนโลยีทางอาหาร ภาควิชาเทคโนโลยีทางอาหาร
คณะวิทยาศาสตร์ จุฬาลงกรณ์มหาวิทยาลัย
ปีการศึกษา 2554
ลิขสิทธิ์ของจุฬาลงกรณ์มหาวิทยาลัย

บทคัดย่อและแฟ้มข้อมูลฉบับเต็มของวิทยานิพนธ์ดังแต่ปีการศึกษา 2554 ที่ให้บริการในคลังปัญญาจุฬาฯ (CUIR)
เป็นแฟ้มข้อมูลของนิสิตเจ้าของวิทยานิพนธ์ที่ส่งผ่านทางบันทึกวิทยาลัย

The abstract and full text of theses from the academic year 2011 in Chulalongkorn University Intellectual Repository(CUIR)
are the thesis authors' files submitted through the Graduate School.

PROTEIN HYDROLYSATE FROM TILAPIA AND PERCH FRAME:
ANTIOXIDANT AND ACE - INHIBITOR PROPERTIES

Miss Piyanan Chuesiang

A Thesis Submitted in Partial Fulfillment of the Requirements
for the Degree of Master of Science Program in Food Technology

Department of Food Technology

Faculty of Science

Chulalongkorn University

Academic Year 2011

Copyright of Chulalongkorn University

หัวข้อวิทยานิพนธ์

โปรดีนีไอโครไลเซจากโครงป้านิล และปลากระพง :

สมบัติการต้านอนุมูลอิสระ และยับยั้งการทำงาน

ของเอนไซม์

โดย

นางสาวปิยะนันท์ ชื่อเสียง

สาขาวิชา

เทคโนโลยีทางอาหาร

อาจารย์ที่ปรึกษาวิทยานิพนธ์หลัก

ผู้ช่วยศาสตราจารย์ ดร. วนิช สงวนดีกุล

คณะวิทยาศาสตร์ จุฬาลงกรณ์มหาวิทยาลัย อนุมัติให้นับวิทยานิพนธ์ฉบับนี้เป็นส่วนหนึ่ง
ของการศึกษาตามหลักสูตรปริญญามหาบัณฑิต

คณบดีคณะวิทยาศาสตร์

(ศาสตราจารย์ ดร. สุพจน์ หวานองบัว)

คณะกรรมการสอบวิทยานิพนธ์

ประธานกรรมการ

(รองศาสตราจารย์ ดร. สุเมธ ตันตราภิรักษ์)

อาจารย์ที่ปรึกษาวิทยานิพนธ์หลัก

(ผู้ช่วยศาสตราจารย์ ดร. วนิช สงวนดีกุล)

กรรมการ

(ผู้ช่วยศาสตราจารย์ ดร. เกียรติศักดิ์ ดวงมาลัย)

กรรมการภายนอกมหาวิทยาลัย

(รองศาสตราจารย์ ดร. วรรณาภิญญา กาญจนกุล)

ปีบันนท์ ชื่อเลียง : โปรตีนไฮโดรไลเซทจากโครงปลาโนล และปลากระพง : สมบัติการต้านอนุมูลอิสระ และยับยั้งการทำงานของเอนไซม์. (PROTEIN HYDROLYSATE FROM TILAPIA AND PERCH FRAME : ANTIOXIDANT AND ACE - INHIBITOR PROPERTIES) อ. ที่ปรึกษาวิทยานิพนธ์หลัก : ผศ. ดร. รวมถี สงวนดีกุล, 163 หน้า.

งานวิจัยนี้มีวัตถุประสงค์เพื่อศึกษาสภาวะที่เหมาะสมในการผลิตโปรตีนไฮโดรไลเซทจากโครง ปลาโนล และโครงปลากระพง ให้มีสมบัติในการเป็นสารต้านอนุมูลอิสระ (วิเคราะห์โดยวิธี DPPH, metal chelating activity และวิธี TBA) และยับยั้งการทำงานของ ACE (% ACE inhibition) โดยย่อยสลายโดยโปรตีนจากโครงปลาโนล และโครงปลากระพง บด ด้วยเอนไซม์ Flavourzyme® 1000 L ในปริมาณ 0, 1, 2 และ 3 เปอร์เซ็นต์ต่อน้ำหนักตัวอย่าง เป็นเวลา 0, 1, 2 และ 3 ชั่วโมงตามลำดับ ผลการทดลองพบว่า การเพิ่มปริมาณเอนไซม์ และเวลาในการย่อยส่งผลให้ % DPPH radical scavenging, % metal chelating activity, % TBA activity ratio และ % ACE inhibition ของโปรตีนไฮโดรไลเซทมีค่าเพิ่มขึ้นอย่างมีนัยสำคัญ ($p \leq 0.05$) จากสภาวะที่ไม่ผ่านการย่อยสลายด้วยเอนไซม์ โดยสภาวะที่เหมาะสมสำหรับการผลิตโปรตีนไฮโดรไลเซทจากโครงปลาโนล คือ สภาวะที่ย่อยสลายด้วยเอนไซม์ ปริมาณ 2 เปอร์เซ็นต์ต่อน้ำหนักตัวอย่าง เป็นเวลา 1 ชั่วโมง โปรตีนไฮโดรไลเซทที่ได้มีค่า % DPPH radical scavenging, % metal chelating activity, % TBA activity ratio และ % ACE inhibition เท่ากับ 90.38, 91.80, 70.54 และ 81.90 เปอร์เซ็นต์ ตามลำดับ ในขณะที่สภาวะที่เหมาะสมสำหรับการผลิตโปรตีนไฮโดรไลเซทจากโครงปลากระพง คือสภาวะที่ย่อยสลายโดยใช้ปริมาณเอนไซม์ 3 เปอร์เซ็นต์ต่อน้ำหนักตัวอย่าง เป็นเวลา 2 ชั่วโมง มีค่า % DPPH radical scavenging, % metal chelating activity, % TBA activity ratio และ % ACE inhibition เท่ากับ 96.80, 92.54, 90.12 และ 92.59 เปอร์เซ็นต์ ตามลำดับ จากนั้น เตรียมโปรตีนไฮโดรไลเซทจากสภาวะที่คัดเลือกสำหรับโปรตีนไฮโดรไลเซทจากโครงปลาโนลและโครงปลากระพงด้วยการทำแท็งแบบพ่นกระจาย บรรจุลงถุงตามมาตรฐานเทคนิค PP/ AL/ PE เก็บรักษาที่อุณหภูมิห้อง เป็นเวลา 90 วัน และติดตามการเปลี่ยนแปลงสมบัติในการเป็นสารต้านอนุมูลอิสระ และยับยั้งการทำงานของ ACE ของโปรตีนไฮโดรไลเซทจากโครงปลาโนลที่ผ่านการย่อยสลายด้วยเอนไซม์ปริมาณ 2 เปอร์เซ็นต์ต่อน้ำหนักตัวอย่าง เป็นเวลา 1 ชั่วโมง และของโปรตีนไฮโดรไลเซทในโครงปลากระพงที่ผ่านการย่อยสลายด้วยเอนไซม์ปริมาณ 3 เปอร์เซ็นต์ต่อน้ำหนักตัวอย่าง เป็นเวลา 2 ชั่วโมง ผลการศึกษาพบว่า % DPPH radical scavenging, % metal chelating activity, % TBA activity ratio และ % ACE inhibition มีค่าลดลงอย่างมีนัยสำคัญ ($p \leq 0.05$) เมื่อระยะเวลาในการเก็บรักษายาวนานขึ้น โดยสมบัติในการเป็นสารต้านอนุมูลอิสระ และยับยั้งการทำงานของ ACE จะลดลง 50 เปอร์เซ็นต์ เมื่อเก็บรักษาเป็นระยะเวลา 15 วัน และ 60 วัน ตามลำดับ

ภาควิชาเทคโนโลยีทางอาหาร.....	ลายมือชื่อนิสิต
สาขาวิชาเทคโนโลยีทางอาหาร.....	ลายมือชื่อ อ.ที่ปรึกษาวิทยานิพนธ์หลัก.....
ปีการศึกษา2554.....	

5272427823 : MAJOR FOOD TECHNOLOGY

KEYWORDS : PROTEIN HYDROLYSATE / TILAPIA FRAME / PERCH FRAME

PIYANAN CHUESIANG : PROTEIN HYDROLYSATE FROM TILAPIA AND PERCH
FRAME : ANTIOXIDANT AND ACE INHIBITOR PROPERTIES. ADVISOR: ASSOC.
PROF. ROMANEE SANGUANDEEKUL, Ph.D., 163 pp.

The optimum condition to produce protein hydrolysate from tilapia and perch frame with antioxidant (analyzed by DPPH method, metal chelating activity method and TBA assay) and ACE inhibitory properties were investigated. Minced fish frame was enzymatically hydrolyzed by using Flavourzyme® 1000 L at different concentration (0, 1, 2 and 3 % w/w) and hydrolysis time (0, 1, 2 and 3 hrs). The results showed that enzyme concentration and hydrolysis time affected the % DPPH radical scavenging, % metal chelating activity, % TBA activity ratio and % ACE inhibition significantly ($P \leq 0.05$). Tilapia frame protein hydrolysate obtained by using 2 % Flavourzyme® 1000 L hydrolyzed for 1 hour and perch frame protein hydrolysate obtained by using 3 % Flavourzyme® 1000 L for 2 hours were the selected conditions due to the high value of % DPPH radical scavenging, % metal chelating activity, % TBA activity ratio and % ACE inhibition which were 90.38, 91.80, 70.54 and 81.90 % for the selected tilapia frame protein hydrolysate, respectively. And % DPPH radical scavenging, % metal chelating activity, % TBA activity ratio and % ACE inhibition were 96.80, 92.54, 90.12 and 92.59 % for the selected perch frame protein hydrolysate, respectively. Spray-dried of the selected protein hydrolysates from tilapia and perch frame were made. The powder protein hydrolysate were stored in laminated PP / Al /PE at room temperature for 90 days. The results showed that storage time significantly ($p \leq 0.05$) affected the decreasing of % DPPH radical scavenging, % metal chelating activity, % TBA activity ratio and % ACE inhibition of spray dried tilapia and perch frame protein hydrolysate. Antioxidant and ACE inhibitor properties decreased 50% when stored for 15 days and 60 days, respectively.

Department :FOOD TECHNOLOGY..... Student's Signature

Field of Study :FOOD TECHNOLOGY... Advisor's Signature

Academic Year :2012.....

กิตติกรรมประกาศ

วิทยานิพนธ์ฉบับนี้ เสร็จสมบูรณ์ได้ด้วยความกรุณาและความช่วยเหลืออย่างดียิ่งจากผู้ช่วยศาสตราจารย์ ดร. รมณี สงวนดีกุล อ้าวารย์ที่ปรึกษาวิทยานิพนธ์ ซึ่งได้กรุณาสละเวลาอันมีค่าเพื่อให้คำปรึกษา คำแนะนำ ตลอดจนความเอาใจใส่สุดแล้วในทุกด้าน อย่างใกล้ชิดมาโดยตลอด รวมถึงกรุณาช่วยตรวจแก้ไขวิทยานิพนธ์ฉบับนี้จนกระทั่งเสร็จสมบูรณ์ ข้าพเจ้าขอกราบขอบพระคุณเป็นอย่างสูง

ขอกราบขอบพระคุณรองศาสตราจารย์ ดร. สุเมธ ตันตรະธีรยา ประธานกรรมการสอบวิทยานิพนธ์ ผู้ช่วยศาสตราจารย์ ดร. เกียรติศักดิ์ ดวงมาลัย และรองศาสตราจารย์ ดร. วรรณวิบูลย์ กาญจนกุญชร กรรมการสอบวิทยานิพนธ์ เป็นอย่างสูง ที่กรุณาชี้แนะแนวทาง ให้คำแนะนำในการปรับปรุงและตรวจสอบวิทยานิพนธ์ฉบับนี้ จนกระทั่งมีความสมบูรณ์ตามหลักสูตรปริญญามหาบัณฑิต

ขอบพระคุณนูนิธิชัยพัฒนา ทุน 90 ปี จุฬาลงกรณ์มหาวิทยาลัย บริษัท Brenntag Ingredients (Thailand) Public Co.,Ltd. และ บริษัท ทิพย์วันชัยซีฟู้ด จำกัด สำหรับความอนุเคราะห์ทางด้านเงินทุน วัสดุติดตั้ง และความช่วยเหลือสนับสนุนในด้านต่างๆ ของการทำงานวิจัย

ขอบคุณพี่น้องและเพื่อนๆ ภาควิชาเทคโนโลยีทางอาหาร จุฬาลงกรณ์มหาวิทยาลัยสำหรับกำลังใจ คำแนะนำ และความช่วยเหลือที่มีให้ตลอดการวิจัย ขอขอบคุณเจ้าหน้าที่ในภาควิชาเทคโนโลยีทางอาหารทุกท่านสำหรับความช่วยเหลือ และ อำนวยความสะดวกในทุกด้าน

สุดท้ายนี้ ข้าพเจ้าขอกราบขอบพระคุณ คุณยา คุณพ่อ คุณแม่ คุณป้า และ พี่น้องของข้าพเจ้าที่ให้ความรัก กำลังใจ ความเอาใจใส่ และ อบรมสั่งสอนให้ข้าพเจ้ามีความอดทน พร้อมทั้งช่วยสนับสนุนในด้านทุนทรัพย์ให้แก่ข้าพเจ้าเสมอมา จนกระทั่งสำเร็จการศึกษา

สารบัญ

หน้า

บทคัดย่อภาษาไทย	๔
บทคัดย่อภาษาอังกฤษ	๕
กิตติกรรมประกาศ	๙
สารบัญ	๙
สารบัญตาราง	๑๗
สารบัญกราฟ	๒๓
บทที่	
1 บทนำ	๑
2 วารสารปิโตรเคมี	๓
2.1 ปลานิล	๓
2.2 ปลากระพง	๔
2.3 การผลิตโปรตีนไอก์โดยไอลเซท	๔
2.4 การใช้เอนไซม์ประดิโคสในการย่อยสลายโปรตีน	๖
2.5 ปัจจัยที่มีผลต่อการย่อยโปรตีนด้วยเอนไซม์	๑๑
2.6 ระดับการย่อยสลายโปรตีน (Degree of hydrolysis, DH)	๑๔
2.7 สมบัติเชิงหน้าที่ของโปรตีนไอก์โดยไอลเซท	๑๗
2.8 สมบัติในการเป็นสารต้านอนุมูลอิสระ	๑๗
2.9 สมบัติในการเป็นสารยับยั้งการทำงานของ ACE	๒๔
2.10 กระบวนการการทำแห้ง	๒๗
2.11 การเปลี่ยนแปลงในระหว่างการเก็บรักษาผลิตภัณฑ์	๒๙

บทที่	หน้า
3 อุปกรณ์และขั้นตอนวิธีการดำเนินงานวิจัย	31
3.1 การวิเคราะห์องค์ประกอบทางเคมีของโครงปลาโนล และโครงปลากระพง ก่อนการย่อยสลาย	34
3.2 การผลิตโปรตีนไอก็อโรไลเซทจากโครงปลาโนล และโครงปลากระพง	34
3.2.1 การวิเคราะห์ปริมาณโปรตีนที่เป็นองค์ประกอบ ในโปรตีนไอก็อโรไลเซท	35
3.2.2 การวิเคราะห์ระดับการย่อยสลายโปรตีน	35
3.3 การวิเคราะห์ความสามารถในการเป็นสารต้านอนุมูลอิสระของ โปรตีนไอก็อโรไลเซท	36
3.3.1 ความสามารถในการเป็นสารต้านอนุมูลอิสระ โดยวิธี DPPH	36
3.3.2 ความสามารถในการเป็นสารต้านอนุมูลอิสระ ^{โดยวิธี Metal chelating activity}	37
3.3.3 สมบัติในการเป็นสารต้านอนุมูลอิสระของระบบที่มีไขมันเป็น ^{องค์ประกอบ วิเคราะห์การเกิด lipid oxidation ด้วยการทดสอบกับ} TBA	37
3.4 การวิเคราะห์ความสามารถในการเป็นสารยับยั้งการทำงานของ ACE	38
3.5 การวิเคราะห์ชนิด และปริมาณกรดอะมิโนที่เป็นองค์ประกอบในโปรตีน ไอก็อโรไลเซทจากโครงปลาโนล และโครงปลากระพง ที่ถูกคัดเลือก	39
3.6 การวิเคราะห์ขนาดของเปปไทด์ที่เป็นองค์ประกอบในโปรตีน ไอก็อโรไลเซทจากโครงปลาโนล และโครงปลากระพง ที่ถูกคัดเลือก	40
3.7 การผลิตผงโปรตีนไอก็อโรไลเซทด้วยกระบวนการการทำแท่งแบบพ่นกระจาย	40
3.8 การติดตามการเปลี่ยนแปลงสมบัติในการเป็นสารต้านอนุมูลอิสระ และ ^{และการทำงานของ ACE} ความสามารถในการเป็นสารยับยั้งการทำงานของ ACE ของผง โปรตีนไอก็อโรไลเซท	40
4 ผลการทดลองและวิจารณ์ผลการทดลอง	41

บทที่	หน้า
5 สรุปผลการทดลองและข้อเสนอแนะ	103
รายการอ้างอิง	106
ภาคผนวก	115
ภาคผนวก ก. ตารางผลการทดลอง	116
ภาคผนวก ข. ตารางผลการวิเคราะห์ทางสถิติ	136
ภาคผนวก ค. วิธีวิเคราะห์ทางเคมี	145
ภาคผนวก ง. ความถูกต้องและความแปรปรวน	
กรดอะมิโนอิสระ	151
ภาคผนวก จ. องค์ประกอบทางเคมีที่พบในเอนไซม์ Flavourzyme® 1000 L	161
ภาคผนวก ฉ. ตารางค่าคงที่ α , β และ h_{tot} ของวัตถุดิบโปรตีนชนิดต่างๆ	162
ประวัติผู้เขียนวิทยานิพนธ์	163

สารบัญตาราง

ตารางที่	หน้า
2.1 ปริมาณกรดอะมิโนจำเป็นที่พบในอาหารโปรตีนชนิดต่างๆ (mg/g nitrogen).....	13
4.1 องค์ประกอบทางเคมีของโครงปลาโนล.....	42
4.2 ชนิดและปริมาณกรดอะมิโน (มิลลิกรัม ต่อ 100 กรัม) ที่พบในโปรตีน ไฮโดรไอลเซทจากโครงปลาโนลที่ผ่านการย่อยสลายด้วยเอนไซม์ปริมาณ 2 เปลอร์เซ็นต์ต่อน้ำหนักตัวอย่าง เป็นเวลา 1 ชั่วโมง เปรียบเทียบกับ ชนิด และปริมาณกรดอะมิโน (มิลลิกรัม ต่อ 100 กรัม) ที่พบในส่วนใสของโครง ปลาโนลبدเจื้อจาง.....	57
4.3 % yield ของผลิตภัณฑ์ผงโปรตีนไฮโดรไอลเซทจากโครงปลาโนล.....	65
4.4 ค่าสีในระบบ L* a* b* ของผงโปรตีนไฮโดรไอลเซทจากโครงปลาโนล.....	66
4.5 ปริมาณโปรตีนที่เป็นองค์ประกอบในผงโปรตีนไฮโดรไอลเซทจากโครงปลาโนล.....	67
4.6 องค์ประกอบทางเคมีของโครงปลาภะพง.....	76
4.7 ชนิดและปริมาณกรดอะมิโน (มิลลิกรัม ต่อ 100 กรัม) ที่พบในโปรตีน ไฮโดรไอลเซทจากโครงปลาภะพงที่ผ่านการย่อยสลายด้วยเอนไซม์ปริมาณ 3 เปลอร์เซ็นต์ต่อน้ำหนักตัวอย่าง เป็นเวลา 2 ชั่วโมง เปรียบเทียบกับชนิดและ ปริมาณกรดอะมิโน (มิลลิกรัม ต่อ 100 กรัม) ที่พบในส่วนใสของโครงปลา ภะพงبدเจื้อจาง.....	88
4.8 % yield ของผลิตภัณฑ์ผงโปรตีนไฮโดรไอลเซทจากโครงปลาภะพง.....	94
4.9 ค่าสีในระบบ L* a* b* ของผงโปรตีนไฮโดรไอลเซทจากโครงปลาภะพง.....	95
4.10 ปริมาณโปรตีนที่เป็นองค์ประกอบในผงโปรตีนไฮโดรไอลเซทจากโครง ปลาภะพง.....	95
ก.1 อิทธิพลของปริมาณเอนไซม์ (Flavourzyme® 1000 L) 0, 1, 2 และ 3 เปลอร์เซ็นต์ต่อน้ำหนักตัวอย่าง และ เวลาในการย่อย 0, 1, 2 และ 3 ชั่วโมง ที่ส่งผลต่อปริมาณโปรตีนในโปรตีนไฮโดรไอลเซทจากโครงปลาโนล (%).....	116

ตารางที่	หน้า
ก.2 อิทธิพลของปริมาณเอนไซม์ (Flavourzyme® 1000 L) 0, 1, 2 และ 3 เปอร์เซ็นต์ต่อน้ำหนักตัวอย่าง และ เวลาในการย่อยสลาย 0, 1, 2 และ 3 ชั่วโมง ที่ส่งผลต่อระดับการย่อยสลายโปรตีนในโปรตีนไอก็อโรไลเซท จากโครงปลาโนล	117
ก.3 อิทธิพลของปริมาณเอนไซม์ (Flavourzyme® 1000 L) 0, 1, 2 และ 3 เปอร์เซ็นต์ต่อน้ำหนักตัวอย่าง และ เวลาในการย่อย 0, 1, 2 และ 3 ชั่วโมง ที่ส่งผลต่อความสามารถในการจัดอนุมูล DPPH ของโปรตีนไอก็อโรไลเซท จากโครงปลาโนล	118
ก.4 อิทธิพลของปริมาณเอนไซม์ (Flavourzyme® 1000 L) 0, 1, 2 และ 3 เปอร์เซ็นต์ต่อน้ำหนักตัวอย่าง และ เวลาในการย่อย 0, 1, 2 และ 3 ชั่วโมง ที่ส่งผลต่อค่า % metal chelating activity ของโปรตีนไอก็อโรไลเซท จากโครงปลาโนล	119
ก.5 อิทธิพลของปริมาณเอนไซม์ (Flavourzyme® 1000 L) 0, 1, 2 และ 3 เปอร์เซ็นต์ต่อน้ำหนักตัวอย่าง และ เวลาในการย่อย 0, 1, 2 และ 3 ชั่วโมง ที่ส่งผลต่อค่า % TBA activity ratio ของโปรตีนไอก็อโรไลเซทจากโครงปลาโนล	120
ก.6 อิทธิพลของปริมาณเอนไซม์ (Flavourzyme® 1000 L) 0, 1, 2 และ 3 เปอร์เซ็นต์ต่อน้ำหนักตัวอย่าง และ เวลาในการย่อย 0, 1, 2 และ 3 ชั่วโมง ที่ส่งผลต่อค่า % ACE inhibition ของโปรตีนไอก็อโรไลเซทจากโครงปลาโนล	121
ก.7 การเปลี่ยนแปลงของ % DPPH radical scavenging ของผงโปรตีน ไอก็อโรไลเซทจากโครงปลาโนลที่ผ่านการย่อยสลายด้วยเอนไซม์ปริมาณ 2 เปอร์เซ็นต์ต่อน้ำหนักตัวอย่าง เป็นเวลา 1 ชั่วโมง เมื่อผ่านการเก็บรักษา ^๒ เป็นเวลา 90 วัน	122

ตารางที่	หน้า
ก.8 การเปลี่ยนแปลงของ % DPPH radical scavenging ของผงส่วนใสของ โครงปลานิลبدเจือจาก เมื่อผ่านการเก็บรักษาเป็นเวลา 90 วัน.....	122
ก.9 การเปลี่ยนแปลงของ % metal chelating activity ของผงโปรตีน ไฮโดรไอลเซทจากโครงปลานิล ที่ผ่านการย่อยสลายด้วยเอนไซม์บิโรมาน 2 เปอร์เซ็นต์ต่อน้ำหนักตัวอย่าง เป็นเวลา 1 ชั่วโมง เมื่อผ่านการเก็บรักษา [†] เป็นเวลา 90 วัน.....	123
ก.10 การเปลี่ยนแปลงของ % metal chelating activity ของผงส่วนใสของ โครงปลานิลبدเจือจากเมื่อผ่านการเก็บรักษา [†] เป็นเวลา 90 วัน.....	123
ก.11 การเปลี่ยนแปลงของ % TBA activity ratio ของผงโปรตีนไฮโดรไอลเซท จากโครงปลานิลที่ผ่านการย่อยสลายด้วยเอนไซม์บิโรมาน 2 เปอร์เซ็นต์ ต่อน้ำหนักตัวอย่าง เป็นเวลา 1 ชั่วโมง เมื่อผ่านการเก็บรักษาเป็นเวลา 90 วัน.....	124
ก.12 การเปลี่ยนแปลงของ % TBA activity ratio ของผงส่วนใสของ โครงปลานิลبدเจือจาก เมื่อผ่านการเก็บรักษาเป็นเวลา 90 วัน.....	124
ก.13 การเปลี่ยนแปลงของ % ACE inhibitionของผงโปรตีนไฮโดรไอลเซทจากโครง ปลานิลที่ผ่านการย่อยสลายด้วยเอนไซม์บิโรมาน 2 เปอร์เซ็นต์ ต่อน้ำหนักตัวอย่าง เป็นเวลา 1 ชั่วโมง เมื่อผ่านการเก็บรักษาเป็นเวลา 90 วัน.....	125
ก.14 การเปลี่ยนแปลงของ % ACE inhibitionของผงโครงส่วนใสของ ปลานิลبدเจือจาก เมื่อผ่านการเก็บรักษาเป็นเวลา 90 วัน.....	125
ก.15 อิทธิพลของบิโรมานเอนไซม์ (Flavourzyme® 1000 L) 0, 1, 2 และ 3 เปอร์เซ็นต์ ต่อน้ำหนักตัวอย่าง และ เวลาในการย่อย 0, 1, 2 และ 3 ชั่วโมง ที่ส่งผลต่อบิโรมานโปรตีนในโปรตีนไฮโดรไอลเซท จากโครงปลาภะพง (%).....	126

ตารางที่	หน้า
ก.16 ผลของปริมาณเอนไซม์ (Flavourzyme® 1000 L) 0, 1, 2 และ 3 เปอร์เซ็นต์ ต่อน้ำหนักตัวอย่าง และ ระยะเวลาในการย่อย 0, 1, 2 และ 3 ชั่วโมง ต่อค่าระดับการย่อยสลายโปรตีนของโปรตีนไฮโดรไลเซทจากโครงปลาสเตฟ.....	127
ก.17 อิทธิพลของปริมาณเอนไซม์ (Flavourzyme® 1000 L) 0, 1, 2 และ 3 เปอร์เซ็นต์ต่อน้ำหนักตัวอย่าง และ เวลาในการย่อย 0, 1, 2 และ 3 ชั่วโมง ที่ส่งผลต่อความสามารถในการขจัดอนุภูมิ DPPH ของโปรตีนไฮโดรไลเซทจากโครงปลาสเตฟ.....	128
ก.18 อิทธิพลของปริมาณเอนไซม์ (Flavourzyme® 1000 L) 0, 1, 2 และ 3 เปอร์เซ็นต์ต่อน้ำหนักตัวอย่าง และ เวลาในการย่อย 0, 1, 2 และ 3 ชั่วโมง ที่ส่งผลต่อค่า % metal chelating activity ของโปรตีนไฮโดรไลเซทจากโครงปลาสเตฟ.....	129
ก.19 อิทธิพลของปริมาณเอนไซม์ (Flavourzyme® 1000 L) 0, 1, 2 และ 3 เปอร์เซ็นต์ต่อน้ำหนักตัวอย่าง และ เวลาในการย่อย 0, 1, 2 และ 3 ชั่วโมง ที่ส่งผลต่อค่า % TBA activity ratio ของโปรตีน ไฮโดรไลเซทจากโครงปลาสเตฟ.....	130
ก.20 อิทธิพลของปริมาณเอนไซม์ (Flavourzyme® 1000 L) 0, 1, 2 และ 3 เปอร์เซ็นต์ต่อน้ำหนักตัวอย่าง และ เวลาในการย่อย 0, 1, 2 และ 3 ชั่วโมง ที่ส่งผลต่อค่า % ACE inhibition ของโปรตีน ไฮโดรไลเซทจากโครงปลาสเตฟ.....	131
ก.21 การเปลี่ยนแปลงของ % DPPH radical scavenging ของผงโปรตีน ไฮโดรไลเซทจากโครงปลาสเตฟที่ผ่านการย่อยสลายด้วยเอนไซม์ปริมาณ 3 เปอร์เซ็นต์ต่อน้ำหนักตัวอย่าง เป็นเวลา 2 ชั่วโมง เมื่อผ่านการเก็บรักษา เป็นเวลา 90 วัน.....	132
ก.22 การเปลี่ยนแปลงของ % DPPH radical scavenging ของผงส่วนใสของ โครงปลาสเตฟบดเจือจาก เมื่อผ่านการเก็บรักษาเป็นเวลา 90 วัน.....	132

ตารางที่	หน้า
ก.23 การเปลี่ยนแปลงของ % metal chelating activity ของผงโปรตีนไอก็อโรไลเซทจากโครงปลา gere พทที่ผ่านการย่อยสลายด้วยเอนไซม์บิวามาน ๓ เปอร์เซ็นต์ต่อน้ำหนักตัวอย่าง เป็นเวลา 2 ชั่วโมงเมื่อผ่านการเก็บรักษาเป็นเวลา 90 วัน.....	133
ก.24 การเปลี่ยนแปลงของ % metal chelating activity ของผงส่วนใสของโครงปลา gere บดเจือจาง เมื่อผ่านการเก็บรักษาเป็นเวลา 90 วัน.....	133
ก.25 การเปลี่ยนแปลงของ % TBA activity ratio ของผงโปรตีนไอก็อโรไลเซทจากโครงปลา gere พทที่ผ่านการย่อยสลายด้วยเอนไซม์บิวามาน ๓ เปอร์เซ็นต์ต่อน้ำหนักตัวอย่าง เป็นเวลา 2 ชั่วโมงเมื่อผ่านการเก็บรักษาเป็นเวลา 90 วัน.....	134
ก.26 การเปลี่ยนแปลงของ % TBA activity ratio ของผงส่วนใสของโครงปลา gere บดเจือจาง เมื่อผ่านการเก็บรักษาเป็นเวลา 90 วัน.....	134
ก.27 การเปลี่ยนแปลงของ % ACE inhibition ของผงโปรตีนไอก็อโรไลเซทจากโครงปลา gere พทที่ผ่านการย่อยสลายด้วยเอนไซม์บิวามาน ๓ เปอร์เซ็นต์ต่อน้ำหนักตัวอย่าง เป็นเวลา 2 ชั่วโมงเมื่อผ่านการเก็บรักษาเป็นเวลา 90 วัน.....	135
ก.28 การเปลี่ยนแปลงของ % ACE inhibition ของผงส่วนใสของโครงปลา gere บดเจือจาง เมื่อผ่านการเก็บรักษาเป็นเวลา 90 วัน.....	135
ข.1 การวิเคราะห์ความแปรปรวนของบิวามานโปรตีนที่เป็นองค์ประกอบในโปรตีนไอก็อโรไลเซทจากโครงปลาานิล เมื่อย่อยสลายโดยใช้บิวามานเอนไซม์ และระยะเวลาในการย่อยที่ระดับต่างๆ.....	136
ข.2 การวิเคราะห์ความแปรปรวนของระดับการย่อยสลายโปรตีนในโปรตีนไอก็อโรไลเซทจากโครงปลาานิล.....	136
ข.3 การวิเคราะห์ความแปรปรวนของสมบัติในการเป็นสารต้านอนุมูลอิสระของโปรตีนไอก็อโรไลเซทจากโครงปลาานิล เมื่อใช้วิธี DPPH.....	137

ตารางที่	หน้า
ข.4 การวิเคราะห์ความแปรปรวนของสมบัติในการเป็นสารต้านอนุมูลอิสระของโปรตีนไอก็อดร่าไลเซทจากโครงปลาโนล เมื่อใช้วิธี metal chelating Activity.....	137
ข.5 การวิเคราะห์ความแปรปรวนของสมบัติในการเป็นสารต้านอนุมูลอิสระของโปรตีนไอก็อดร่าไลเซทจากโครงปลาโนล เมื่อใช้วิธี TBA.....	137
ข.6 การวิเคราะห์ความแปรปรวนของสมบัติในการเป็นสารยับยั้งการทำงานของ ACE ของโปรตีนไอก็อดร่าไลเซทจากโครงปลาโนล.....	138
ข.7 การวิเคราะห์ความแปรปรวนของความสามารถในการขัดอนุมูล DPPH ของผงโปรตีนไอก็อดร่าไลเซทจากโครงปลาโนลที่ผ่านการย่อยสลายด้วยเอนไซม์ ปริมาณ 2 เปลอร์เซ็นต์ต่อน้ำหนักตัวอย่าง เป็นเวลา 1 ชั่วโมง ที่ผ่านการเก็บรักษา เป็นเวลา 90 วัน.....	138
ข.8 การวิเคราะห์ความแปรปรวนของ % metal chelating activity ของผงโปรตีนไอก็อดร่าไลเซทจากโครงปลาโนลที่ผ่านการย่อยสลายด้วยเอนไซม์ ปริมาณ 2 เปลอร์เซ็นต์ต่อน้ำหนักตัวอย่าง เป็นเวลา 1 ชั่วโมง ที่ผ่านการเก็บรักษา เป็นเวลา 90 วัน.....	138
ข.9 การวิเคราะห์ความแปรปรวนของ % TBA activity ratio ของผงโปรตีนไอก็อดร่าไลเซทจากโครงปลาโนลที่ผ่านการย่อยสลายด้วยเอนไซม์ปริมาณ 2 เปลอร์เซ็นต์ต่อน้ำหนักตัวอย่าง เป็นเวลา 1 ชั่วโมงที่ผ่านการเก็บรักษา เป็นเวลา 90 วัน.....	139
ข.10 การวิเคราะห์ความแปรปรวนของ% TBA activity ratio ของผงส่วนผสมของโครงปลาโนลبدเจือจาง ที่ผ่านการเก็บรักษาเป็นเวลา 90 วัน.....	139
ข.11 การวิเคราะห์ความแปรปรวนของ % ACE inhibition ของผงโปรตีนไอก็อดร่าไลเซทจากโครงปลาโนลที่ผ่านการย่อยสลายด้วยเอนไซม์ปริมาณ 2 เปลอร์เซ็นต์ต่อน้ำหนักตัวอย่าง เป็นเวลา 1 ชั่วโมงที่ผ่านการเก็บรักษา เป็นเวลา 90 วัน.....	139

ตารางที่	หน้า
ข.12 การวิเคราะห์ความแปรปรวนของ % ACE inhibition ของผงส่วนใสของโครงปลานิลبدเจือจาก ที่ผ่านการเก็บรักษาเป็นเวลา 90 วัน.....	140
ข.13 การวิเคราะห์ความแปรปรวน ของปริมาณโปรตีนที่เป็นองค์ประกอบในโปรตีนไอก็อดร่าไลเซทจากโครงปลากระพ.....	140
ข.14 การวิเคราะห์ความแปรปรวนของระดับการย่อຍสลายโปรตีน ในโปรตีนไอก็อดร่าไลเซทจากโครงปลากระพ.....	140
ข.15 การวิเคราะห์ความแปรปรวนของสมบัติในการเป็นสารต้านอนุมูลอิสระของโปรตีนไอก็อดร่าไลเซทจากโครงปลากระพ เมื่อใช้วิธี DPPH.....	141
ข.16 การวิเคราะห์ความแปรปรวนของสมบัติในการเป็นสารต้านอนุมูลอิสระของโปรตีนไอก็อดร่าไลเซทจากโครงปลากระพ เมื่อใช้วิธี metal chelating activity.....	141
ข.17 การวิเคราะห์ความแปรปรวนของสมบัติในการเป็นสารต้านอนุมูลอิสระของโปรตีนไอก็อดร่าไลเซทจากโครงปลากระพ เมื่อใช้วิธี TBA.....	141
ข.18 การวิเคราะห์ความแปรปรวนของสมบัติในการเป็นสารยับยั้งการทำงานของ ACE ของโปรตีนไอก็อดร่าไลเซทจากโครงปลากระพ.....	142
ข.19 การวิเคราะห์ความแปรปรวนของความสามารถในการจัดอนุมูล DPPH ของผงโปรตีนไอก็อดร่าไลเซทจากโครงปลากระพที่ผ่านการที่ผ่านการย่อຍสลายด้วยเอนไซม์ปริมาณ 3 เปอร์เซ็นต์ต่อน้ำหนักตัวอย่าง เป็นเวลา 2 ชั่วโมง เก็บรักษาเป็นเวลา 90 วัน.....	142
ข.20 การวิเคราะห์ความแปรปรวนของ % metal chelating activity ของผงโปรตีนไอก็อดร่าไลเซทจากโครงปลากระพที่ผ่านการย่อຍสลายด้วยเอนไซม์ปริมาณ 3 เปอร์เซ็นต์ต่อน้ำหนักตัวอย่าง เป็นเวลา 2 ชั่วโมงที่ผ่านการเก็บรักษาเป็นเวลา 90 วัน.....	142
ข.21 การวิเคราะห์ความแปรปรวนของ % metal chelating activity ของผงส่วนใสของโครงปลากระพบดเจือจาก ที่ผ่านการเก็บรักษาเป็นเวลา 90 วัน.....	143

ตารางที่	หน้า
ข.22 การวิเคราะห์ความแปรปรวนของ % TBA activity ratio ของผงโปรตีน ไฮโดรไอลเซทจากโครงปลากะพงที่ผ่านการย่อยสลายด้วยเอนไซม์บิวมาน 3 เปอร์เซ็นต์ต่อน้ำหนักตัวอย่าง เป็นเวลา 2 ชั่วโมงที่ผ่านการเก็บรักษา [†] เป็นเวลา 90 วัน.....	143
ข.23 การวิเคราะห์ความแปรปรวนของ % TBA activity ratio ของผงส่วนใสของโครงปลา กะพงบดเจื้องๆ ที่ผ่านการเก็บรักษาเป็นเวลา 90 วัน.....	143
ข.24 การวิเคราะห์ความแปรปรวนของ % ACE inhibition ของผงโปรตีน ไฮโดรไอลเซทจากโครงปลากะพงที่ผ่านการย่อยสลายด้วยเอนไซม์บิวมาน 3 เปอร์เซ็นต์ต่อน้ำหนักตัวอย่าง เป็นเวลา 2 ชั่วโมงที่ผ่านการเก็บรักษา [†] เป็นเวลา 90 วัน.....	144
ข.25 การวิเคราะห์ความแปรปรวนของ % ACE inhibition ของผงส่วนใสของโครงปลา กะพงบดเจื้องๆ ที่ผ่านการเก็บรักษาเป็นเวลา 90 วัน.....	144

สารบัญกราฟ

กราฟที่	หน้า
2.1 ปฏิกิริยาระหว่างสาร OPA (aromatic compound) และ primary amino group (H_2N-R_2) ในภาวะที่มีสาร dithiothreitol (DTT : HS- R_1)	15
4.1 ปริมาณโปรตีนที่เป็นองค์ประกอบในโปรตีนไอก็อดร่าไลเซทจากโครงปลานิล เมื่อย่ออย่างโดยใช้ปริมาณเอนไซม์ 0, 1, 2 และ 3 เปอร์เซ็นต์ต่อน้ำหนักตัวอย่าง และระยะเวลาในการย่ออย 0, 1, 2 และ 3 ชั่วโมง	44
4.2 ระดับการย่ออยโดยใช้โปรตีนของโปรตีนไอก็อดร่าไลเซทจากโครงปลานิล ที่ปริมาณเอนไซม์ 0, 1, 2 และ 3 เปอร์เซ็นต์ต่อน้ำหนักตัวอย่าง และระยะเวลาในการย่ออย 0, 1, 2 และ 3 ชั่วโมง	45
4.3 อิทธิพลของปริมาณเอนไซม์ (Flavourzyme® 1000 L) 0, 1, 2 และ 3 เปอร์เซ็นต์ ต่อน้ำหนักตัวอย่าง และ เวลาในการย่ออย 0, 1, 2 และ 3 ชั่วโมง ที่ส่งผลต่อความสามารถในการขจัดอนุมูล DPPH• ของโปรตีนไอก็อดร่าไลเซท จากโครงปลานิล	48
4.4 อิทธิพลของปริมาณเอนไซม์ (Flavourzyme® 1000 L) 0, 1, 2 และ 3 เปอร์เซ็นต์ต่อน้ำหนักตัวอย่าง และ เวลาในการย่ออย 0, 1, 2 และ 3 ชั่วโมง ที่ส่งผลต่อค่า % metal chelating activity ของโปรตีนไอก็อดร่าไลเซทจากโครงปลานิล	50
4.5 อิทธิพลของปริมาณเอนไซม์ (Flavourzyme® 1000 L) 0, 1, 2 และ 3 เปอร์เซ็นต์ต่อน้ำหนักตัวอย่าง และ เวลาในการย่ออย 0, 1, 2 และ 3 ชั่วโมง ที่ส่งผลต่อค่า % TBA activity ratio ของโปรตีนไอก็อดร่าไลเซทจากโครงปลานิล	52
4.6 อิทธิพลของปริมาณเอนไซม์ (Flavourzyme® 1000 L) 0, 1, 2 และ 3 เปอร์เซ็นต์ ต่อน้ำหนักตัวอย่าง และ เวลาในการย่ออย 0, 1, 2 และ 3 ชั่วโมง ที่ส่งผลต่อค่า % ACE inhibition ของโปรตีนไอก็อดร่าไลเซทจากโครงปลานิล	54

กราฟที่	หน้า
4.7 mass spectrum แสดงการวิเคราะห์ขนาดของเปปไทด์ที่เป็นองค์ประกอบในโปรตีนไฮโดรไลซ์จากโครงปลานิลที่ผ่านการย่อยสลายด้วยเอนไซม์บ्रิมาณ 2 เบอร์เซ็นต์ต่อน้ำหนักตัวอย่าง เป็นเวลา 1 ชั่วโมง (C) เปรียบเทียบกับขนาดของเปปไทด์ที่เป็นองค์ประกอบในโครงปลานิลบดเจือจาง (B) และสารละลาย CCA อิมตัวที่ใช้เป็น matrix สำหรับทดสอบ (A)	61
4.8 mass spectrum แสดงการวิเคราะห์ขนาดของเปปไทด์ที่เป็นองค์ประกอบในโปรตีนไฮโดรไลซ์จากโครงปลานิลที่ผ่านการย่อยสลายด้วยเอนไซม์บ्रิมาณ 2 เบอร์เซ็นต์ต่อน้ำหนักตัวอย่าง เป็นเวลา 1 ชั่วโมง ทำการวิเคราะห์ 2 ชั้นโดยเปลี่ยนช่วงของขนาดของเปปไทด์ที่ต้องการวิเคราะห์เป็น 400 - 1800 Da	62
4.9 การเปลี่ยนแปลงของ % DPPH radical scavenging ของผงโปรตีนไฮโดรไลซ์จากโครงปลานิลที่ผ่านการย่อยสลายด้วยเอนไซม์บ्रิมาณ 2 เบอร์เซ็นต์ต่อน้ำหนักตัวอย่าง เป็นเวลา 1 ชั่วโมง	68
4.10 การเปลี่ยนแปลงของ % metal chelating activity ของผงโปรตีนไฮโดรไลซ์จากโครงปลานิลที่ผ่านการย่อยสลายด้วยเอนไซม์บ्रิมาณ 2 เบอร์เซ็นต์ต่อน้ำหนักตัวอย่าง เป็นเวลา 1 ชั่วโมง	71
4.11 การเปลี่ยนแปลงของ % TBA activity ratio ของผงโปรตีนไฮโดรไลซ์จากโครงปลานิล ที่ผ่านการย่อยสลายด้วยเอนไซม์บ्रิมาณ 2 เบอร์เซ็นต์ต่อน้ำหนักตัวอย่าง เป็นเวลา 1 ชั่วโมงและ ผงส่วนใหญ่ของโครงปลานิลบดเจือจาง	73
4.12 การเปลี่ยนแปลงของ % ACE inhibition ของผงโปรตีนไฮโดรไลซ์จากโครงปลานิลที่ผ่านการย่อยสลายด้วยเอนไซม์บ्रิมาณ 2 เบอร์เซ็นต์ต่อน้ำหนักตัวอย่าง เป็นเวลา 1 ชั่วโมงและ ผงส่วนใหญ่ของโครงปลานิลบดเจือจาง	74

กราฟที่	หน้า
4.13 ปริมาณโปรตีนที่เป็นองค์ประกอบในโปรตีนไฮโดรไลเซทจากโครงปลาสเตชั่น เมื่อย่อยสลายโดยไฮเปร์มีนเอนไซม์ 0, 1, 2 และ 3 เปอร์เซ็นต์ต่อน้ำหนักตัวอย่าง และระยะเวลาในการย่อยเป็น 0, 1, 2 และ 3 ชั่วโมง.....	78
4.14 ระดับการย่อยสลายโปรตีนของโปรตีนไฮโดรไลเซทจากโครงปลาสเตชั่นที่ปริมาณเอนไซม์ 0, 1, 2 และ 3 เปอร์เซ็นต์ต่อน้ำหนักตัวอย่าง และระยะเวลาในการย่อย 0, 1, 2 และ 3 ชั่วโมง.....	79
4.15 อิทธิพลของปริมาณเอนไซม์ (Flavourzyme® 1000 L) 0, 1, 2 และ 3 เปอร์เซ็นต์ต่อน้ำหนักตัวอย่าง และ เวลาในการย่อยสลาย 0, 1, 2 และ 3 ชั่วโมง ที่ส่งผลต่อความสามารถในการขัดอนุมูล DPPH ของโปรตีนไฮโดรไลเซทจากโครงปลาสเตชั่น.....	81
4.16 อิทธิพลของปริมาณเอนไซม์ (Flavourzyme® 1000 L) 0, 1, 2 และ 3 เปอร์เซ็นต์ ต่อน้ำหนักตัวอย่าง และ เวลาในการย่อย 0, 1, 2 และ 3 ชั่วโมง ที่ส่งผลต่อ % metal chelating activity ของโปรตีนไฮโดรไลเซทจากโครงปลาสเตชั่น.....	83
4.17 อิทธิพลของปริมาณเอนไซม์ (Flavourzyme® 1000 L) 0, 1, 2 และ 3 เปอร์เซ็นต์ ต่อน้ำหนักตัวอย่าง และ เวลาในการย่อย 0, 1, 2 และ 3 ชั่วโมง ที่ส่งผลต่อ % TBA activity ratio ของโปรตีนไฮโดรไลเซทจากโครงปลาสเตชั่น.....	85
4.18 อิทธิพลของปริมาณเอนไซม์ (Flavourzyme® 1000 L) 0, 1, 2 และ 3 เปอร์เซ็นต์ต่อน้ำหนักตัวอย่าง และ เวลาในการย่อย 0, 1, 2 และ 3 ชั่วโมง ที่ส่งผลต่อ % ACE inhibition ของโปรตีนไฮโดรไลเซทจากโครงปลาสเตชั่น.....	86

กราฟที่	หน้า
4.19 mass spectrum แสดงการวิเคราะห์ขนาดของเปปไทด์ที่เป็นองค์ประกอบในโปรตีนไฮโดรไลเซทจากโครงปลาสเตฟท์ที่ผ่านการย่อยสลายด้วยเอนไซม์ปริมาณ 3 เปอร์เซ็นต์ต่อน้ำหนักตัวอย่าง เป็นเวลา 2 ชั่วโมง (C) เปรียบเทียบกับขนาดของเปปไทด์ในส่วนไขของโครงปลานิลبدเจื้อจาง (B) และสารละลาย CCA อิมตัวที่ใช้เป็น matrix สำหรับทดสอบ (A)	92
4.20 mass spectrum แสดงการวิเคราะห์ขนาดของเปปไทด์ที่เป็นองค์ประกอบในโปรตีนไฮโดรไลเซทจากโครงปลาสเตฟท์ที่ผ่านการย่อยสลายด้วยเอนไซม์ปริมาณ 3 เปอร์เซ็นต์ต่อน้ำหนักตัวอย่าง เป็นเวลา 2 ชั่วโมง ทำการวิเคราะห์ 2 ชั้้า โดยเปลี่ยนช่วงของขนาดของเปปไทด์ที่ต้องการวิเคราะห์เป็น 400 - 1800 Da	93
4.21 การเปลี่ยนแปลงของ % DPPH radical scavenging ของผงโปรตีนไฮโดรไลเซทจากโครงปลาสเตฟท์ที่ผ่านการย่อยสลายด้วยเอนไซม์ปริมาณ 3 เปอร์เซ็นต์ต่อน้ำหนักตัวอย่าง เป็นเวลา 2 ชั่วโมง	97
4.22 การเปลี่ยนแปลงของ % metal chelating activity ของผงโปรตีนไฮโดรไลเซทจากโครงปลาสเตฟท์ที่ผ่านการย่อยสลายด้วยเอนไซม์ปริมาณ 3 เปอร์เซ็นต์ต่อน้ำหนักตัวอย่าง เป็นเวลา 2 ชั่วโมง และผงส่วนไขของโครงปลาสเตฟบดเจื้อจาง	99
4.23 การเปลี่ยนแปลงของ % TBA activity ratio ของผงโปรตีนไฮโดรไลเซทจากโครงปลาสเตฟท์ที่ผ่านการย่อยสลายด้วยเอนไซม์ปริมาณ 3 เปอร์เซ็นต์ต่อน้ำหนักตัวอย่าง เป็นเวลา 2 ชั่วโมง และผงส่วนไขของโครงปลาสเตฟบดเจื้อจาง	100
4.24 การเปลี่ยนแปลงของ % ACE inhibition ของผงโปรตีนไฮโดรไลเซทจากโครงปลาสเตฟท์ที่ผ่านการย่อยสลายด้วยเอนไซม์ปริมาณ 3 เปอร์เซ็นต์ต่อน้ำหนักตัวอย่าง เป็นเวลา 2 ชั่วโมง และผงส่วนไขของโครงปลาสเตฟบดเจื้อจาง	102

กราฟที่	หน้า
๑.๑ โครมาโตแกรมแสดงชนิดและปริมาณกรดอะมิโนที่เป็นองค์ประกอบใน ปรตีนไอก็อไรไซด์จากโครงปานิล สภาวะที่ผ่านการย่อยสลายด้วย เอนไซม์บิร์ามัน ๒ เปลอร์เซ็นต์ต่อน้ำหนักตัวอย่าง เป็นเวลา ๑ ชั่วโมง (B และ C ตามลำดับ) โดยเปรียบเทียบกับโครมาโตแกรมของกรดอะมิโน ^{.....} มาตรฐาน (A).....	151
๑.๒ โครมาโตแกรมแสดงชนิดและปริมาณกรดอะมิโนที่เป็นองค์ประกอบใน โครงปานิลبدเจือจาง (B และ C ตามลำดับ) โดยเปรียบเทียบกับ โครมาโตแกรมของกรดอะมิโนมาตรฐาน (A).....	152
๑.๓ โครมาโตแกรมแสดงชนิดและปริมาณกรดอะมิโนที่เป็นองค์ประกอบในปรตีน ไอก็อไรไซด์จากโครงปานิลพงที่ผ่านการย่อยสลายด้วยเอนไซม์บิร์ามัน ๓ เปลอร์เซ็นต์ต่อน้ำหนักตัวอย่าง เป็นเวลา ๒ ชั่วโมง (B และ C ตามลำดับ) โดยเปรียบเทียบกับโครมาโตแกรมของกรดอะมิโนมาตรฐาน(A).....	153
๑.๔ โครมาโตแกรมแสดงชนิดและปริมาณกรดอะมิโนที่เป็นองค์ประกอบ ในโครงปานิลพงบดเจือจาง (B และ C ตามลำดับ) โดยเปรียบเทียบกับ โครมาโตแกรมของกรดอะมิโนมาตรฐาน (A).....	154
๑.๕ โครมาโตแกรมแสดงปริมาณกรดอะมิโน proline ที่เป็นองค์ประกอบ โครงปานิลبدเจือจาง และโครงปานิลพงบดเจือจาง(B และ C ตามลำดับ) โดยเปรียบเทียบกับโครมาโตแกรมของกรดอะมิโน proline มาตรฐาน (A).....	155
๑.๖ โครมาโตแกรมแสดงปริมาณกรดอะมิโน proline ที่เป็นองค์ประกอบ ในปรตีนไอก็อไรไซด์จากโครงปานิลที่ผ่านการย่อยสลายด้วยเอนไซม์ บิร์ามัน ๒ เปลอร์เซ็นต์ต่อน้ำหนักตัวอย่าง เป็นเวลา ๑ ชั่วโมง และ ในปรตีน ไอก็อไรไซด์จากโครงปานิลพงที่ผ่านการย่อยสลายด้วยเอนไซม์บิร์ามัน ๒ เปลอร์เซ็นต์ต่อน้ำหนักตัวอย่าง เป็นเวลา ๑ ชั่วโมง (B และ C ตามลำดับ) โดยเปรียบเทียบกับโครมาโตแกรมของกรดอะมิโน proline มาตรฐาน (A).....	156

กราฟที่	หน้า
๔.7 mass spectrum แสดงการวิเคราะห์ขนาดของเปปไทด์ที่เป็นองค์ประกอบในโปรตีนไฮโดรไลเซทจากโครงปานิลที่ผ่านการย่อยสลายด้วยเอนไซม์ปริมาณ 2 เปอร์เซ็นต์ต่อน้ำหนักตัวอย่าง เป็นเวลา 1 ชั่วโมงทำการวิเคราะห์โดยเปลี่ยนช่วงของขนาดของเปปไทด์ที่ต้องการวิเคราะห์เป็น 1000 – 6000 Da.....	157
๔.8 mass spectrum แสดงการวิเคราะห์ขนาดของเปปไทด์ที่เป็นองค์ประกอบในส่วนໃเสของโครงปานิลดบเดือจาง ทำการวิเคราะห์โดยเปลี่ยนช่วงของขนาดของเปปไทด์ที่ต้องการวิเคราะห์เป็น 1000 - 6000 Da.....	158
๔.9 mass spectrum แสดงการวิเคราะห์ขนาดของเปปไทด์ที่เป็นองค์ประกอบในโปรตีนไฮโดรไลเซทจากโครงปากะพงที่ผ่านการย่อยสลายด้วยเอนไซม์ปริมาณ 3 เปอร์เซ็นต์ต่อน้ำหนักตัวอย่าง เป็นเวลา 2 ชั่วโมงทำการวิเคราะห์โดยเปลี่ยนช่วงของขนาดของเปปไทด์ที่ต้องการวิเคราะห์เป็น 1000 - 6000 Da.....	159
๔.10 mass spectrum แสดงการวิเคราะห์ขนาดของเปปไทด์ที่เป็นองค์ประกอบในส่วนໃเสของโครงปากะพงบดเดือจาง ทำการวิเคราะห์โดยเปลี่ยนช่วงของขนาดของเปปไทด์ที่ต้องการวิเคราะห์เป็น 1000 - 6000 Da.....	160

บทที่ 1

บทนำ

ผลิตภัณฑ์จากปลาโนลและปลากระพงเป็นผลิตผลทางการเกษตรที่มีปริมาณการผลิตเพิ่มขึ้นในประเทศไทย อาทิเช่น ประเทศไทย อินโดนีเซีย พิลิปปินส์ ไต้หวัน และประเทศไทย โดยมีอัตราการผลิตเพิ่มขึ้นจาก 383,654 เมตริกตันในปี ค.ศ. 1990 เป็น 1,505,804 เมตริกตันในปี ค.ศ. 2002 (Yang และคณะ, 2009) เนื่องจากเป็นอาหารที่มีคุณค่าทางโภชนาการสูง และสามารถหาได้่ายากในห้องถังของประเทศไทย แต่เนื่องจากโรงงานอุตสาหกรรมต่างๆ จะรับซื้อปลาโนลและปลากระพงคุณภาพดีที่มีน้ำหนักและมาตรฐานตามที่กำหนดเพื่อนำมาผลิตเป็นผลิตภัณฑ์ที่มีมูลค่าสูง แต่สำหรับส่วนของปลาโนลและปลากระพงที่เหลือจากการตัดแต่งในโรงงานอุตสาหกรรมนั้นจะถูกนำมาขายในราคากลูกหรือนำมายเป็นอาหารสัตว์ทั้งที่ยังคงมีสารอาหารจำพวกโปรตีนเป็นองค์ประกอบในปริมาณมาก (Je และคณะ, 2009) ดังนั้นเพื่อเป็นการเพิ่มมูลค่าให้กับวัตถุนิยม จึงน่าจะนำส่วนที่เหลือจากการตัดแต่งเหล่านี้มาใช้ประโยชน์ในการผลิตผลิตภัณฑ์อาหารทางเลือก และ อาหารเพื่อสุขภาพที่มีคุณค่าทางโภชนาการ มีคุณสมบัติเชิงหน้าที่ และช่วยเพิ่มหรือปรับปรุงกลิ่นรสในผลิตภัณฑ์อาหารต่างๆ (Je และคณะ, 2009)

โปรตีนไอก็อโรไลเซทจากปลาเป็นผลิตภัณฑ์ที่ผลิตได้จากการย่อยสลายโปรตีนในระดับที่เหมาะสม เกิดเป็นกรดอะมิโน และเปปไทด์ที่มีคุณสมบัติเชิงหน้าที่ในด้านของการเป็นสารต้านอนุมูลอิสระ ด้านการเจริญของจุลินทรีย์ และมีส่วนช่วยในการควบคุมความดันโลหิต การผลิตโปรตีนไอก็อโรไลเซทจากปลาเพื่อให้ได้กรดอะมิโนที่มีคุณสมบัติดังกล่าวนั้น ขึ้นอยู่กับปัจจัยต่างๆ เช่น แหล่งของโปรตีนตั้งต้นเพื่อเตรียมทำโปรตีนไอก็อโรไลเซท ชนิดและกระบวนการทำงานของเอนไซม์ที่ใช้ในการย่อยสลาย และระดับของการย่อยสลาย เป็นต้น

จากปัจจัยดังกล่าวทำให้มีความสนใจศึกษาการเตรียมโปรตีนไอก็อโรไลเซทจากโครงปลาเพื่อเป็นการเพิ่มคุณค่าของวัตถุนิยมที่มีอยู่ภายในประเทศไทยให้เป็นผลิตภัณฑ์ที่มีประโยชน์และสามารถตอบสนองความต้องการของผู้บริโภคได้เป็นอย่างดี โดยมีแนวคิดในการศึกษาภาวะที่เหมาะสมในการใช้อ่อนไชเมียย่อยสลายโปรตีนจากโครงปลาเพื่อเตรียมโปรตีนไอก็อโรไลเซทที่มีคุณสมบัติในการเป็นสารต้านอนุมูลอิสระ และ การเป็นสารยับยั้งการทำงานของ Angiotensin I-converting enzyme (ACE) เพื่อนำไปใช้ประโยชน์ในผลิตภัณฑ์อาหารอื่นๆ

สมมติฐานงานวิจัย

โปรตีนไอก็อโรไลเซทจากโครงปลา เป็นผลิตภัณฑ์ที่ได้จากการย่อยอย่างสลายไปรตีนในโครงปลา ให้เป็นกรดอะมิโน และ เปปไทด์ ซึ่งมีสมบัติในการเป็นสารต้านอนุมูลอิสระ และยับยั้งการทำงานของ ACE

วัตถุประสงค์งานวิจัย

- ศึกษาสภาวะที่เหมาะสมในการผลิตโปรตีนไอก็อโรไลเซทจากโครงปลาในล าและโครงปลาจะพง ให้มีสมบัติในการเป็นสารต้านอนุมูลอิสระ และยับยั้งการทำงานของ ACE
- ศึกษาการเปลี่ยนแปลงสมบัติในการเป็นสารต้านอนุมูลอิสระ และยับยั้งการทำงานของ ACE ของผงโปรตีนไอก็อโรไลเซทจากโครงปลาในล า และโครงปลาจะพง (จากสภาวะที่ถูกคัดเลือก)

ขอบเขตงานวิจัย

- ผลิตโปรตีนไอก็อโรไลเซทจากโครงปลาในล า และโครงปลาจะพง ด้วยเอนไซม์ Flavourzyme® 1000 L ในปริมาณ และเวลาในการย่อยที่แตกต่างกัน โดยวิเคราะห์ สมบัติในการเป็นสารต้านอนุมูลอิสระ 3 วิธี คือ วิธี DPPH, วิธี metal chelating activity และ วิธี TBA ตามลำดับ และวิเคราะห์ความสามารถในการเป็นสารยับยั้งการทำงานของ ACE ในรูปของ % ACE inhibition
- ติดตามการเปลี่ยนแปลงสมบัติในการเป็นสารต้านอนุมูลอิสระ และยับยั้งการทำงานของ ACE ของผงโปรตีนไอก็อโรไลเซทจากโครงปลาในล า และโครงปลาจะพง ที่ผ่านกระบวนการทำแห้งแบบ spray dry ซึ่งบรรจุใน laminated aluminium foil ปิดด้วย ที่อุณหภูมิห้อง ทุกๆ 15 วัน เป็นเวลา 90 วัน

บทที่ 2

วารสารปริทัศน์

2.1 ปลา尼ล

ปลา尼ล(tilapia, nile) มีชื่อทางวิทยาศาสตร์ว่า *Tilapia nilotica* เป็นปลาที่รู้จักกันอย่างแพร่หลาย เลี้ยงง่าย โตเร็ว และมีรสชาติดี ปลา尼ลมีถิ่นกำเนิดเดิมอยู่ที่ทวีปแอฟริกา และถูกนำเข้าสู่ประเทศไทยโดยประเทศญี่ปุ่น ปลา尼ลมีลักษณะคล้ายปลาหม้อไทย แต่มีลักษณะที่พิเศษคือ มีริมฝีปากบนและล่างเสมอ กัน มีเกล็ด 47 แฉวที่บริเวณแก้ม และตามลำตัวมีลายสวยงามจำนวน 9-10 แถบ (อุดม เว่องนพคุณ, 2547)

ปลา尼ลเป็นปลาที่มีคุณค่าทางเศรษฐกิจต่อประเทศไทย โดยมีรายงานว่าในปี พ.ศ. 2548 ประเทศไทยสามารถผลิตปลา尼ลคุณภาพดี(น้ำหนักมากกว่า 650 กรัมต่อตัว) 68,000 ตัน และปลา尼ลคุณภาพต่ำ 115,000 ตัน ผลผลิตที่ได้จากการแล่งเนื้อปลา尼ลขนาด 750 กรัม จะประกอบด้วย เนื้อปลา 39.16 เปอร์เซ็นต์ เชซเนื้อปลา 2.84 เปอร์เซ็นต์ หนังปลา 6.48 เปอร์เซ็นต์ หัวและก้างปลา 43.48 เปอร์เซ็นต์ และไส้และอวัยวะภายในของปลา 8.04 เปอร์เซ็นต์ (เลิศชัย พัฒนาวิจิตร, 2548) สำหรับราคากำหนดขายปลานิลนั้นขึ้นอยู่กับขนาดหรือน้ำหนักของปลา โดยพบว่าราคาขายส่งเฉลี่ย ตั้งแต่เดือนมกราคม ถึงเดือนมิถุนายน พ.ศ. 2552 ณ ตลาดไท อยู่ที่ 53.27 บาท ต่อกิโลกรัม สำหรับปลา尼ลขนาดใหญ่ (ไม่ระบุน้ำหนัก) รองลงมาคือ 42.82 บาท ต่อกิโลกรัม และ 32.06 บาท ต่อกิโลกรัม สำหรับปลา尼ลขนาดกลาง และขนาดเล็ก (ไม่ระบุน้ำหนัก) ตามลำดับ (กรมประมง, 2554) ในขณะที่ปลา尼ล(แล่เฉพาะเนื้อ) จะมีราคาอยู่ระหว่าง 170-190 บาทต่อกิโลกรัม

ในกระบวนการอุตสาหกรรมแปรรูปปลา尼ลจะมีเศษปลาที่เหลือจากการตัดแต่ง หรือเศษปลาเหลือทิ้งจากขั้นตอนการแล่งเนื้อปลาประมาณ 75 เปอร์เซ็นต์โดยน้ำหนักเปยก ซึ่งเศษปลาเหล่านี้ยังคงคุณภาพดีไปด้วยสารอาหารจำพวกโปรตีน การศึกษาเบรียบเทียบปริมาณโปรตีนในเนื้อปลาคอด (cod) และ กับผลผลิตโดยได้จากการแล่ง พบร่วมน้ำหนักเปยก 14.3 เปอร์เซ็นต์โดยน้ำหนักเปยก และ ผลผลิตโดยได้จากการแล่ง มีปริมาณโปรตีน 17.3 เปอร์เซ็นต์ โดยน้ำหนักเปยก ตามลำดับ (Shahidi, 1994) นอกจากนี้ผลิตภัณฑ์จากปลาจะมีสารที่มีคุณสมบัติ

ในการเสริมกลินรสของผลิตภัณฑ์ เช่น inosine-5'-monophosphate, glutamate และ กรดอะมิโน บางชนิดอีกด้วย (Nilsang และคณะ, 2006)

2.2 ปลากระพง

ปลากระพง (perch) มีชื่อทางวิทยาศาสตร์ว่า *Lates calcarifer* เป็นปลาที่น้ำกร่อยขนาดใหญ่ อาศัยอยู่ในเขตร้อนตามลำน้ำที่ติดต่อกับฝั่งทะเลของประเทศต่างๆ ในแบบตะวันออกเฉียงใต้และตะวันออกไกล ตั้งแต่บริเวณตอนใต้ของจีนจนถึงอ่าวเบอร์เซีย(ปัญญา สุวรรณสมุทร, 2545) สำหรับประเทศไทยนั้นปลากะพงจะอาศัยอยู่บริเวณอ่าวไทยฝั่งตะวันออก ฝั่งตะวันตก และมีอยู่ทั่วไปตามฝั่งมหาสมุทรอินเดีย เช่น ระยอง ชลบุรี และสมุทรสาคร เป็นต้น ปลากระพงเป็นปลาที่เลี้ยงง่าย โดยสามารถนำไปขายสด นิยมบริโภคกันอย่างแพร่หลาย และเป็นที่ต้องการของตลาด

ลักษณะโดยทั่วไปของปลากระพง มีลำตัวค่อนข้างยาว หนา และแนบข้างเล็กน้อย บริเวณหัวโคนมน ส่วนท้องมีสีเงินแกมเหลือง บริเวณด้านข้างของลำตัวมีสีเงิน เส้นข้างตัวโค้งไปตามแนวเส้นหลัง มีเก็ดบนเส้นข้างตัว 52-61 เก็ตต์ (ประจิตร วงศ์รัตน์ และคณะ, 2531)

2.3 การผลิตโปรตีนไอก็อโรไลเซท

โปรตีนไอก็อโรไลเซท คือ ผลิตภัณฑ์ที่ได้จากการย่อยสลายโปรตีนโดยอาศัยสมบัติของ กรดด่าง หรือเอนไซม์ ในการตัดสายโพลีเปปไทด์ให้เป็นกรดอะมิโนอิสระ หรือ เปปไทด์สายสั้น เพื่อปรับปรุงคุณค่าทางโภชนาการและสมบัติเชิงหน้าที่ของโปรตีนให้เหมาะสมต่อการนำไปใช้ประโยชน์ในผลิตภัณฑ์อาหาร โดยทั่วไปแล้วขั้นตอนการผลิตโปรตีนไอก็อโรไลเซทจะเริ่มจากการบดหรือสับวัตถุดิบให้ละลาย เติมน้ำและสารเคมี(หรือเอนไซม์) ผสมให้เข้ากัน แล้วนำไปย่อยสลายในภาวะที่เหมาะสม จากนั้นยับยั้งการทำงานของสารเคมี(หรือเอนไซม์) และปั่นให้ยังสารผสมเพื่อเก็บสารละลายส่วนใสไปทำแห้ง และวิเคราะห์สมบัติเชิงหน้าที่ของโปรตีนไอก็อโรไลเซทด้วย (Asbjorn, 1993)

2.3.1 วิธีการผลิตโปรตีนไฮโดรไอลเซท สามารถทำได้ 3 วิธี ได้แก่

2.3.1.1 การย่อยโปรตีนด้วยสารละลายน้ำ

การย่อยโปรตีนด้วยสารละลายน้ำ เป็นวิธีที่ใช้ต้นทุนในการผลิตค่อนข้างต่ำ สามารถย่อยสลายโปรตีนได้อย่างรวดเร็ว แต่ทำให้ tryptophan ซึ่งเป็นกรดอะมิโนจำเป็นถูกทำลาย และอาจมีกลิ่นรสของกรดตกค้างอยู่ในผลิตภัณฑ์ได้ สารละลายน้ำที่นิยมใช้ในการย่อยโปรตีนได้แก่ กรดซัลฟูริก และกรดไฮโดรคลอโริก โดยทั่วไปนิยมใช้กรดไฮโดรคลอโริก เนื่องจากมีประสิทธิภาพที่ดีกว่าในการสลายพันธะเปปไทด์ และโปรตีนไฮโดรไอลเซทที่ได้จากการย่อยโปรตีนด้วยสารละลายน้ำจะมีเกลือ ซึ่งเป็นผลิตภัณฑ์ที่ได้จากการบวนการทำให้เป็นกลาง(neutralization) เกิดขึ้น การย่อยโปรตีนด้วยกรดซัลฟูริกจะเกิดเกลือแคลเซียมซัลเฟต ในขณะที่การย่อยด้วยกรดไฮโดรคลอโริกจะเกิดเกลือโซเดียมคลอโรไรด์ หรือโพแทสเซียมคลอโรไรด์ ซึ่งสามารถใช้ได้ในอาหารทั่วไป และไม่ก่อให้เกิดปัญหาต่อผลิตภัณฑ์ (Kristinsson และ Rasco, 2000)

2.3.1.2 การย่อยโปรตีนด้วยสารละลายน้ำ

การย่อยโปรตีนด้วยสารละลายน้ำเป็นนิยมใช้สารละลายน้ำโซเดียมไฮดรอกไซด์ โพแทสเซียมไฮดรอกไซด์ หรือ แบเรียมไฮดรอกไซด์ ในภาวะการย่อยที่ค่อนข้างรุนแรง (ใช้สารละลายน้ำความเข้มข้น 4-5 M ที่อุณหภูมิสูง) ซึ่งอาจทำให้กรดอะมิโนบางชนิดเกิดปฏิกิริยา racemization เป็นลักษณะที่ร่างกายมนุษย์ไม่สามารถนำไปใช้ประโยชน์ได้ (Kristinsson และ Rasco, 2000)

2.3.1.3 การย่อยโปรตีนด้วยเอนไซม์

การย่อยโปรตีนด้วยเอนไซม์เป็นการใช้เอนไซม์เปรติເເສเพื่อตัดพันธะเปปไทด์ในสายโปรตีนให้เป็นเปปไทด์สายสั้นและกรดอะมิโนอิสระเนื่องจากเอนไซม์มีความจำเพาะเจาะจงสูงต่อสารตั้งต้น จึงไม่จำเป็นต้องใช้

เอนไซม์ในปริมาณมาก และไม่ต้องใช้ภาวะในการย่อยสลายที่รุนแรง ภาวะย่อยสลายโปรตีนด้วยเอนไซม์จะให้อัตราการย่อยสลายค่อนข้างสูงเมื่อเปรียบเทียบกับการย่อยสลายด้วยกรดหรือเบส มีประสิทธิภาพในการเพิ่มผลผลิตและปรับปรุงคุณภาพของผลิตภัณฑ์ แต่อาจทำให้เกิดสารประกอบบรรชุม เนื่องจากมี “ไม่ชอบน้ำ” (hydrophobic group) ในโมเลกุลของโปรตีนอาจเผยแพร่ (reveal) ออกมานั้น เมื่อมีการควบคุมระดับการย่อยสลายโปรตีน จะสามารถควบคุมไม่ให้เกิดรสมีดี (Kristinsson และ Rasco, 2000)

2.4 การใช้เอนไซม์ปฏิโภสในการย่อยสลายโปรตีน

เอนไซม์ปฏิโภสเป็นเอนไซม์ที่ทำหน้าที่ในการตัดพันธะเปปไทด์ในสายโปรตีนให้เป็นเปปไทด์สายสั้นและกรดอะมิโนอิสระ โดยอาศัยน้ำเข้าร่วมปฏิกิริยา (ปราณี อ่านเปรื่อง, 2547) สามารถแบ่งเอนไซม์ปฏิโภสเป็นประเภทต่างๆ ได้ดังนี้

2.4.1 แบ่งตามตำแหน่งการตัดพันธะเปปไทด์ในสายโปรตีน เป็น 2 ประเภท คือ

2.4.1.1 เอกซ์เพปติเดส คือเอนไซม์ที่ตัดพันธะเปปไทด์ตรงปลายสายของโมเลกุลโปรตีน หากตัดทางปลายสายด้านหมู่อะมิโน (N-terminal) จะเรียกว่า aminopeptidase หากตัดทางปลายสายด้านหมู่คาร์บอฟิล (C-terminal) จะเรียกว่า carboxypeptidase

2.4.1.2 เอนโดเพปติเดส คือเอนไซม์ที่ตัดพันธะเปปไทด์อย่างอิสระในสายโปรตีน จนกระทั่งได้เปปไทด์สายสั้น เอนไซม์ประเภทนี้จะมีความจำเพาะต่อสารตั้งต้นโปรตีนหลายชนิด จึงสามารถย่อยโปรตีนได้อย่างรวดเร็ว

2.4.2 แบ่งตามชนิดของสารที่บริเวณเร่งของเอนไซม์ เป็น 4 ประเภท คือ

2.4.2.1 Serine protease

เอนไซม์กลุ่มนี้เป็นเอนไซม์เอนโดเพปติเดสที่มีกรดอะมิโน serine อยู่ที่บริเวณเร่ง ค่า pH ที่เหมาะสมต่อการทำงานอยู่ในช่วง 7-11 และอุณหภูมิที่เหมาะสมต่อการทำงานคือ 60°C มีน้ำหนักโมเลกุลระหว่าง 25000-30000 Da เอนไซม์ชนิดนี้ถูกยับยั้งได้ด้วยสาร di-isopropyl-fluorophosphate (DFP) ตัวอย่างเอนไซม์ในกลุ่มนี้ เช่น trypsin, thrombin, subtilisin และ elastase เป็นต้น (Whitaker, 1994)

2.4.2.2 Neutral protease (Metal-containing protease)

เอนไซม์กลุ่มนี้เป็นเอนไซม์เอกซ์โซเพปติเดสที่มีอัตโนมัติของโลหะ เช่น สังกะสี เป็นหมู่ prosthetic มีค่า pH ที่เหมาะสมต่อการทำงานอยู่ในช่วง 7-8 (แต่เอนไซม์จะมีความเสถียรออยู่ในช่วง pH 5-10) อุณหภูมิที่เหมาะสมต่อการทำงานคือ 60°C ความเสถียรในการทำงานของเอนไซม์ จะเพิ่มขึ้นเมื่ออยู่ในภาวะที่มี calcium ion เป็นองค์ประกอบของเอนไซม์ ประเททนี้ถูกยับยั้งได้ด้วยสารจับโลหะ(metal chelating agent) เช่น EDTA , 1-10 phenanthroline เป็นต้น ตัวอย่างเอนไซม์ในกลุ่มนี้ เช่น thermolysin, carboxypeptidase A และ carboxypeptidase B เป็นต้น (Whitaker, 1994)

2.4.2.3 Aspartic protease

เอนไซม์กลุ่มนี้จัดเป็น carboxyl protease และ acid protease มีกรดอะมิโน aspartic acid อยู่ที่บริเวณเร่ง มีน้ำหนักโมเลกุลอยู่ในช่วง 30000-40000 Da ค่า pH ที่เหมาะสมต่อการทำงานอยู่ในช่วง 3-4 มีความคงทนต่อสาร di-isopropyl-fluorophosphate (DFP) แต่ถูกยับยั้ง

ได้ด้วยสารประกอบ diazopeptones ตัวอย่าง เช่น เอนไซม์ในกลุ่มนี้ เช่น pepsin และ renin เป็นต้น (Whitaker, 1994)

2.4.2.4 Cysteine peotease

เอนไซม์กลุ่มนี้เป็นเอนไซม์ประเภทเอนไซม์เดเพปติดีสเมียกรดอะมิโน cysteine ออยที่บีโรว์นเร่ง ค่า pH ที่เหมาะสมต่อการทำงานอยู่ในช่วง 6.0-7.5 เอนไซม์กลุ่มนี้ถูกยับยั้งได้ด้วยสารที่มีหมู่ sulphhydryl เป็นองค์ประกอบ ตัวอย่าง เช่น เอนไซม์ในกลุ่มนี้ เช่น papain และ bromelain เป็นต้น (Whitaker, 1994)

นอกจากนี้ยังมีเอนไซม์ทางการค้าหลายชนิดที่นิยมใช้ย่อยโปรตีนในระบบอุตสาหกรรม เช่น เอนไซม์เหล่านี้ส่วนใหญ่ได้มาจากจุลินทรีย์ มีความจำเพาะในช่วงกว้าง และมีประสิทธิภาพสูงในการย่อยโปรตีน เช่น เอนไซม์เหล่านี้จะมีคุณสมบัติ และภาวะที่เหมาะสมต่อการทำงานแตกต่างกัน ตัวอย่าง เช่น เอนไซม์ทางการค้าที่นิยมใช้เพื่อย่อยสลายโปรตีน มีดังนี้

1. Flavourzyme®

เป็นเอนไซม์ที่ได้จากเชื้อราชนิด *Aspergillus oryzae* เป็นเอนไซม์ผสมที่มีทั้งเอนไซม์เดเพปติดีส และ เอกซ์ไซเพปติดีส มีค่า pH ที่เหมาะสมต่อการทำงานอยู่ในช่วง 5-7 คุณภาพที่เหมาะสมต่อการทำงานคือ 50 °C เอนไซม์นิดนึงจะมีรูปแบบที่ลดความขมของผลิตภัณฑ์โปรตีนไฮโดรไลเซต เมื่อย่อยสลายโปรตีนที่ระดับการย่อยสลายต่ำ

Nilsang และคณะ (2005) ผลิตโปรตีนไฮโดรไลเซทจากปลาโดยใช้เอนไซม์ Flavourzyme® 50 LAPU/g protein แปรความเข้มข้นของเอนไซม์เป็น 1, 2, 3, 4 และ 5 เปอร์เซ็นต์ (w/w) ระยะเวลาในการย่อย 1-6 ชั่วโมง คุณภาพใน การย่อย 45, 50, 55 และ 60°C พบร่วมกัน ภาวะที่เหมาะสมที่สุดในการย่อยโปรตีนด้วยเอนไซม์ Flavourzyme® 50 LAPU/g protein คือ ความเข้มข้นของเอนไซม์เป็น 5 เปอร์เซ็นต์ (w/w) คุณภาพ 45°C และเวลาในการย่อยสลายเป็น 6 ชั่วโมง โปรตีนไฮโดรไลเซทที่ได้มีระดับการย่อยสลาย

โปรตีน 62 เปอร์เซ็นต์ และมี tryptophan ซึ่งเป็นกรดอะมิโนที่ให้รสขม ในปริมาณต่ำ (ประมาณ 0.17 กรัมต่อลิตร) โปรตีนไอก็อโรไลเซทที่ได้จากการย่อยสลายโปรตีนปลาด้วย เอนไซม์ Flavourzyme® จึงไม่มีรสขม

Khantaphant, Benjakul และ Kishimura (2011) ศึกษาสมบัติในการเป็นสารต้านอนุมูลอิสระของโปรตีนไอก็อโรไลเซทจาก brown stripe red snapper โดยใช้เอนไซม์ Flavourzyme® 500 L ย่อยสลายที่อุณหภูมิ 50°C pH 7 ระยะเวลาในการย่อยสลาย 2 ชั่วโมง แบ่งระดับการย่อยสลายเป็น 20, 30 และ 40 เปอร์เซ็นต์ ผลการศึกษาพบว่าโปรตีนไอก็อโรไลเซทที่ได้มีความสามารถในการเป็นสารต้านอนุมูลอิสระแตกต่างกันโดยมีค่า DPPH radical scavenging activity ประมาณ 10 mg Trolox ต่อ g protein ทุกระดับการย่อยสลาย ในขณะที่เมื่อวัดความสามารถในการทำปฏิกิริยากับไอโอดินของโลหะโดยวิธี metal chelating activity พบร่วมกับ โปรตีนไอก็อโรไลเซทที่ได้มีค่า Ferrous chelating activity ลดลงเมื่อระดับการย่อยสลายเพิ่มขึ้น

Klompong และคณะ (2007) ศึกษาสมบัติในการเป็นสารต้านอนุมูลอิสระของโปรตีนไอก็อโรไลเซทจากปลาสีกุนข้างเหลือง (yellow stripe trevally หรือ *Selaroides leptolepis*) เมื่อย่อยสลายด้วยเอนไซม์ Flavourzyme® 500 L เปรียบเทียบกับการใช้เอนไซม์ Alcalase 2.4 Lพบว่า ที่ระดับการย่อยสลายเท่ากัน โปรตีนไอก็อโรไลเซทที่ได้จากการย่อยสลายโดยใช้เอนไซม์ Flavourzyme® 500 L มีค่า chelating activity สูงกว่า โปรตีนไอก็อโรไลเซทที่ได้จากการย่อยสลายโดยใช้เอนไซม์ Alcalase และโปรตีนไอก็อโรไลเซทที่ได้จากการย่อยด้วยเอนไซม์ทั้งสองชนิดจะมีค่า chelating activity สูงขึ้นเมื่อระดับการย่อยสลายเพิ่มมากขึ้น

Dekker และคณะ (2011) ผลิตโปรตีนไอก็อโรไลเซท(ระดับการย่อยสลายโปรตีนเป็น 13 เปอร์เซ็นต์) จากโปรตีนไอก็อโรไลเซทของปลา尼ล (tilapia protein isolate)โดยใช้เอนไซม์ Flavourzyme® (ไม่ระบุความเข้มข้นของเอนไซม์ที่ใช้) ปริมาณ 2.5 เปอร์เซ็นต์ v/v

สำหรับเคลือบ mahimahi red muscle โดยศึกษาสมบัติของโปรตีนไฮโดรไลเซทใน การยับยั้งการเกิดปฏิกิริยาออกซิเดชันของไขมัน เพื่อพิจารณาอายุการเก็บรักษาของ mahimahi red muscle และระยะเวลาในการเคลือบเป็น 2 นาที และ 4 นาที ผลการศึกษาพบว่า เวลาที่ใช้ในการเคลือบ mahimahi red muscle ด้วยโปรตีนไฮโดรไลเซท จากโปรตีนไฮโซเลทของปลา尼ลไม่ส่งผลต่อสมบัติในการยับยั้งการเกิดปฏิกิริยา ออกซิเดชัน ($p \geq 0.05$) เมื่อวิเคราะห์สมบัติในการยับยั้งการเกิดปฏิกิริยาออกซิเดชันของ ไขมันพบว่า mahimahi red muscle มีค่า lipid hydroperoxides value เพิ่มขึ้นที่เวลาใน การเก็บรักษาเป็น 67 ชั่วโมง และมีค่าสูงสุดที่เวลา 88 ชั่วโมง นอกจากนี้เมื่อวิเคราะห์โดย วิธี Thiobarbituric acid (TBA) พบว่า การเคลือบ mahimahi red muscle ด้วยโปรตีน ไฮโดรไลเซทจากโปรตีนไฮโซเลทของปลา尼ลส่งผลต่อการลดลงของปริมาณผลิตภัณฑ์ที่ เกิดจากปฏิกิริยาออกซิเดชัน (Thiobarbituric acid reactive substance : TBARS) เมื่อ เทียบกับ mahimahi red muscle ที่ไม่ได้เคลือบ

2. Neutrase[®]

เป็นเอนไซม์ที่ได้จากแบคทีเรียชนิด *Bacillus licheniformis* หรือ *Bacillus amyloliquefaciens* เป็นเอนไซม์ชนิดเอนโดเพปติเดส มีค่า pH ที่เหมาะสมต่อการทำงาน อุ่นในช่วง 5.5-7 และอุณหภูมิที่เหมาะสมต่อการทำงานคือ 45-55 °C

3. Alcalase[®]

เป็นเอนไซม์ที่ได้จากแบคทีเรียชนิด *Bacillus licheniformis* เป็นเอนโดเพปติเดส มีค่า pH ที่เหมาะสมต่อการทำงานอุ่นในช่วง 8-8.5 และอุณหภูมิที่เหมาะสมต่อการทำงานคือ 55-60 °C

นอกจากชนิดของเอนไซม์แล้ว กิจกรรมของเอนไซม์ยังส่งผลต่อประสิทธิภาพของ เอนไซม์ในการย่อยสลายโปรตีนด้วย กิจกรรมของเอนไซม์ขึ้นอยู่กับปัจจัยสำคัญต่างๆ คือ ปริมาณเอนไซม์ที่ใช้ในปฏิกิริยา ภาวะที่ใช้ในการทำปฏิกิริยา (pH, อุณหภูมิ และ เวลา)

ชนิดของโปรตีนตั้งต้น (substrate) การเติร์ยมโปรตีนตั้งต้น และสารบัญชี้ว่าถึงในหัวข้อต่อไป

2.5 ปัจจัยที่มีผลต่อการย่อยโปรตีนด้วยเอนไซม์

2.5.1 ปริมาณเอนไซม์ และสารตั้งต้น

ในการเร่งปฏิกิริยาของเอนไซม์นั้น ต้องอาศัยการจับกันของเอนไซม์และสารตั้งต้น อัตราเร็วของปฏิกิริยาจะขึ้นอยู่กับจำนวนการชนกันของโมเลกุลทั้งสอง โดยในระยับแรกของปฏิกิริยา อัตราเร็วของปฏิกิริยาจะเป็นสัดส่วนโดยตรงกับความเข้มข้นของสารตั้งต้น และเมื่อสารตั้งต้นเริ่มหมดไป อัตราเร็วของปฏิกิริยาจะเริ่มลดลง และเข้าสู่ช่วงคงที่

2.5.2 ภาวะในการทำปฏิกิริยา

2.5.2.1 ผลของ pH ต่อการทำงานของเอนไซม์

โดยปกติแล้วเอนไซม์แต่ละชนิดจะมีประสิทธิภาพในการเร่งปฏิกิริยาแตกต่างกัน ขึ้นอยู่กับความเป็นกรดด่างที่เหมาะสมต่อการทำงาน ช่วง pH ที่เอนไซม์สามารถทำงานได้ดี (optimum pH) ซึ่งสามารถพิจารณาได้จาก pH activity profile ที่แสดงความสัมพันธ์ระหว่างค่า pH และ relative activity ของเอนไซม์ ควบคู่ไปกับการคำนึงถึงเสถียรภาพในการทำงานของเอนไซม์ ในช่วงความเป็นกรดด่างนั้นๆ โดยสามารถสร้าง pH stability profile ได้จากความสัมพันธ์ระหว่าง incubation pH และ กิจกรรมของเอนไซม์ที่เหลืออยู่ (enzyme residual activity) (Adler-Nissen, 1986)

2.5.2.2 ผลของอุณหภูมิต่อการทำงานของเอนไซม์

เอนไซม์มีคุณสมบัติเป็นโปรตีน อุณหภูมิจึงมีความสำคัญต่อการทำงานของเอนไซม์ อุณหภูมิที่สูงเกินไปอาจทำให้โครงสร้างของเอนไซม์เกิดการเสียสภาพ และสูญเสียความสามารถในการเร่งปฏิกิริยา เช่นเดียวกับความ

เป็นกรดด่าง เอนไซม์แต่ละชนิดจะมีอุณหภูมิที่เหมาะสม (optimum temperature) แตกต่างกัน และการนำเอนไซม์ไปใช้ประโยชน์นั้นจำเป็นต้องคำนึงถึงเสถียรภาพของเอนไซม์ซึ่งสามารถพิจารณาได้จาก temperature stability profile ที่แสดงความสัมพันธ์ระหว่าง อุณหภูมิ และ กิจกรรมของเอนไซม์ที่เหลืออยู่ (Adler-Nissen, 1986)

2.5.2.3 ผลของการย่อยโปรตีนต่อความสามารถของเอนไซม์

ระยะเวลาในการย่อยโปรตีน ส่งผลต่ออัตราเร็วในการเกิดปฏิกิริยาของเอนไซม์ ในช่วงแรกของการย่อย เอนไซม์จะทำปฏิกิริยากับโปรตีนตั้งต้นอย่างรวดเร็ว จนเกิดเป็นเปปไทด์และกรดอะมิโนอิสระ แต่เมื่อระยะเวลาในการย่อยสลายมากขึ้นอัตราเร็วในการเกิดปฏิกิริยาของเอนไซม์จะเริ่มคงที่ (Adler-Nissen, 1986)

2.5.3 ชนิดของโปรตีนตั้งต้น (substrate)

แหล่งโปรตีนตั้งต้น คือวัตถุดิบโปรตีนที่ใช้เป็น substrate ในการทำปฏิกิริยากับเอนไซม์เพื่อผลิตโปรตีนไฮโดรไลเซต โดยปกติแล้วโปรตีนตั้งต้นเหล่านี้จะมีความแตกต่างกันในด้านของชนิดของกรดอะมิโน ลำดับของกรดอะมิโน และขนาดของเปปไทด์ที่เป็นองค์ประกอบในสายโปรตีน ความแตกต่างนี้จะส่งผลกระทบต่อความสามารถจำเพาะในการเกิดปฏิกิริยา กับเอนไซม์

สัดสวน้ำแต่ละชนิดจะมีองค์ประกอบทางเคมีแตกต่างกัน โดยองค์ประกอบทางเคมีจะเปลี่ยนแปลงไปตาม ชนิด ช่วงอายุ และสภาพต่างๆของสัดวน้ำ กรดอะมิโนที่พบในกล้ามน้ำสัดวน้ำจะมีปริมาณใกล้เคียงกับสัดวน้ำ แต่จะมีปริมาณ lysine, histidine และ arginine สูงกว่าสัดวน้ำอื่นๆ (นกุล อัศวากेशมณี, 2541)

McCance และ Widdowson (1978) รายงานปริมาณกรดอะมิโนจำเป็น (ในหน่วย mg/g nitrogen) ที่พบในอาหารจำพวกโปรตีน ได้แก่ เนื้อปลา เนื้อสัตว์ นม และไข่ ตามตารางที่ 2.1

ตารางที่ 2.1 ปริมาณกรดอะมิโนจำเป็นที่พบในอาหารโปรตีนชนิดต่างๆ (mg/g nitrogen)

กรดอะมิโน	ปลา	เนื้อสัตว์	นม	ไข่
Cysteine	70	80	60	110
Isoleucine	330	320	350	350
Leucine	530	500	640	520
Lysine	610	570	510	390
Methionine	180	170	180	200
Phenylalanine	260	280	340	320
Threonine	300	290	310	320
Tryptophan	70	80	90	110
Tyrosine	220	240	280	250
Valine	360	300	460	250
Total	2930	2830	3220	2820

ที่มา : McCance และ Widdowson (1978)

2.5.4 การเตรียมโปรตีนตั้งต้น

การเตรียมโปรตีนตั้งต้นให้อยู่ในสภาพที่เหมาะสมต่อการทำปฏิกิริยากับเอนไซม์ นิยมใช้การบดลดขนาดวัตถุดิบ เพื่อเพิ่มพื้นที่ผิวในการทำปฏิกิริยาและเปลี่ยนโปรตีนในวัตถุดิบให้อยู่ในสภาพที่สามารถเกิดปฏิกิริยากับเอนไซม์ได้ง่ายขึ้น การใช้ความร้อน และการสกัดไขมันออกจากวัตถุดิบ อาจทำให้เกิดการเสียสภาพรวมชาติของโปรตีน และส่งผลกระทบต่อการลดลงของอัตราการเกิดผลิตภัณฑ์ (เลิศชัย พัฒนาวิจิตร, 2548)

2.6 ระดับการย่อยสลายโปรตีน (Degree of hydrolysis, DH)

ระดับการย่อยสลายโปรตีน คือ ดัชนีที่ใช้อธิบายปฏิกิริยาการย่อยสลายโปรตีนด้วยเอนไซม์ การติดตามระดับการย่อยสลายโปรตีนสามารถทำได้ 3 วิธี คือ การวัดปริมาณโปรตีนที่เหลืออยู่ การวัดปริมาณกรดอะมิโนที่เพิ่มขึ้น และ การไถเตรตปริมาณโปรตอนที่ถูกปลดปล่อย (Silvestre, 1997)

2.6.1 การวัดปริมาณโปรตีนที่เหลืออยู่

การวัดปริมาณโปรตีนที่เหลืออยู่ อาศัยหลักการที่ว่า ปฏิกิริยาการย่อยสลายโปรตีนด้วยเอนไซม์จะทำให้ได้เปปไทด์ และกรดอะมิโนอิสระเพิ่มขึ้น ในขณะที่ปริมาณโปรตีนจะลดลง การติดตามปริมาณโปรตีนที่เหลืออยู่ สามารถทำได้หลายวิธี เช่น วิธี Kjeldhal, การวัดค่าการดูดกลืนแสง, Folin-Lowry Color Development และวิธี Coomasie Brilliant G 240 เป็นต้น และสามารถคำนวณระดับการย่อยสลายโปรตีนได้จากสมการ (1)

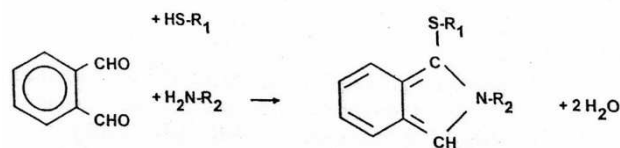
$$DH = \frac{\text{ปริมาณโปรตีนที่เหลืออยู่}}{\text{ปริมาณโปรตีนทั้งหมด}} \times 100 \quad \dots \dots \dots (1)$$

2.6.2 การวัดปริมาณกรดอะมิโนที่เพิ่มขึ้น

การวัดปริมาณกรดอะมิโนที่เพิ่มขึ้นส่วนใหญ่จะใช้วิธีการทำให้เกิดสี โดยอาศัยการทำปฏิกิริยาเฉพาะระหว่างสารเคมีบางชนิดกับหมู่อะมิโน ปฏิกิริยาที่รู้จักกันดีได้แก่ colorimetric ninhydrin reaction, trinitrobenzene sulfonic acid (TNBS) และ ortho-phthaldehyde (OPA) เป็นต้น สำหรับ colorimetric ninhydrin reaction เป็นการทำปฏิกิริยาระหว่างสาร ninhydrin และ กรดอะมิโน เกิดสารประกอบสีน้ำเงินเข้ม วิธีนี้เป็นวิธีการเก่าแก่ที่มีความไวสูง แต่ใช้เวลาในการวิเคราะห์นาน และปฏิกิริยาถูกกระบวนการได้ด้วยจากแก๊ซออกซิเจนและแอกมโอมโมเนียม (Moore และ Stein, 1948) วิธี TNBS เป็นการใช้สาร TNBS ซึ่งทำปฏิกิริยาจำเพาะต่อ primary amino group เกิดเป็นสารประกอบสีเหลือง และสามารถวัดค่าการดูดกลืนแสงที่ความยาวคลื่น 420 นาโนเมตร วิธี TNBS นี้มีข้อเสีย

คือ สาร TNBS เป็นสารไม่เสถียร สารละลายน้ำที่เตรียมเพื่อวิเคราะห์ต้องเก็บห่างจากแสง ใช้เวลาในการวิเคราะห์นาน และสารเคมีที่ใช้อาจปนเปื้อนด้วย picric acid ทำให้ค่า blank มีค่าสูง นอกจากนี้ TNBS ไม่สามารถทำปฏิกิริยากับ proline และ hydroxyproline แต่สามารถเกิดปฏิกิริยากับ ϵ - amino group ของ lysine ได้ (Adler-Nissen, 1979) วิธี OPA เป็นวิธีที่ใช้วิเคราะห์ระดับการย่อยสลายโปรตีนโดยการทำปฏิกิริยากับ primary amino group เช่นเดียวกับวิธี TNBS แต่มีข้อดีกว่าตรงที่วิธี OPA นั้นเป็นวิธีที่ง่าย มีความถูกต้องสูง และใช้เวลาในการเกิดปฏิกิริยาเพียงแค่ 2 นาทีก่อนวัดค่าการดูดกลืนแสง ทำให้สามารถติดตามค่า DH ในระหว่างการย่อยสลายโปรตีนได้อย่างต่อเนื่อง (Nielsen, Peterson และ Dambmann, 2001)

Nielsen, Peterson และ Dambmann (2001) อธิบายว่า การวิเคราะห์ ระดับการย่อยสลายโปรตีนด้วยวิธี OPA จะอาศัยการทำปฏิกิริยาของ OPA กับ primary amino group ในสภาวะที่มีสาร dithiothreitol (DTT) ซึ่งมีหมุนเวียนไฟฟ้า (SH-compound) เป็นองค์ประกอบในโมเลกุล ทำให้เกิดสารประกอบที่สามารถดูดกลืนแสงที่ความยาวคลื่น 340 นาโนเมตรได้ ดังแสดงในรูปที่ 2.1



รูปที่ 2.1 ปฏิกิริยาระหว่างสาร OPA (aromatic compound) และ primary amino group (H_2N-R_2) ในสภาวะที่มีสาร dithiothreitol (DTT: $HS-R_1$)

ที่มา : Nielsen, Peterson และ Dambmann (2001)

การคำนวณระดับการย่อยสลายโปรตีนโดยการวัดปริมาณกรดอะมิโนที่เพิ่มขึ้น สามารถหาได้จากการสมการ (2)

$$DH = \frac{Lt - L_0}{L_{max} - L_0} \times 100 \quad \dots \dots \dots \quad (2)$$

เมื่อ L_t = ปริมาณ α -amino acid ที่เวลา t
 L_0 = ปริมาณ α -amino acid เริ่มต้น
 L_{max} = ปริมาณ α -amino acid หลังจากย่อยโปรตีนเสร็จแล้ว

2.6.3 การได้เตรตปฐมานโปรดกอนที่ถูกปลดปล่อย

การไตรต่อปริมาณโปรตองที่ถูกปลดปล่อยหรือเทคนิค pH-stat เป็นการวัดปริมาณเบสที่ใช้เพื่อรักษาระดับ pH ของโปรตีนไฮโดรไลเซทในระหว่างการย่อยสลายโปรตีนไปเป็นเปปไทด์ และวิธีการนี้อาศัยหลักการคือ ในระหว่างการย่อยสลายโปรตีนไปเป็นเปปไทด์ และกรดอะมิโนอิสระ ในภาวะที่เป็นกลางหรือเป็นเบสเล็กน้อย หมู่ amino ที่ N-terminal จะรับโปรตองได้น้อยลง ในขณะที่หมู่ carboxyl ของ C-terminal จะปลดปล่อยโปรตองออกมาก ภาวะเช่นนี้ส่งผลให้ค่า pH ของโปรตีนไฮโดรไลเซลดลง ดังนั้นเพื่อรักษาระดับ pH ให้คงที่จึงต้องมีการเติมสารละลายเบสอย่างต่อเนื่อง โดยทั่วไปแล้วสารละลายเบสที่นิยมใช้ ได้แก่ สารละลายโซเดียมไฮดรอกไซด์ หรือ สารละลายแคลเซียมไฮดรอกไซด์ วิธีการนี้มีข้อดีคือ เป็นวิธีที่ง่าย รวดเร็ว และไม่ทำให้เกิดการเสียสภาพของโปรตีน แต่ค่าระดับการย่อยโปรตีนที่ได้จะอยู่ในลักษณะของค่าสามพัทธ์ การคำนวณระดับการย่อยสลายโปรตีนสามารถหาได้จากสมการ (3)

$$DH = B \times \frac{Nb}{Mb} \times \frac{1}{\alpha} \times \frac{1}{h_{tot}} \times 100 \dots \dots \dots (3)$$

เมื่อ	B	=	ปริมาณเบสที่ใช้ (มิลลิลิตร)
	Nb	=	ความเข้มข้นของเบสที่ใช้ (N)
	Mb	=	มวลของโปรตีน (กรัม)
	$\frac{1}{\alpha}$	=	ค่า calibration สำหรับ pH-stat ที่ pH 8.5 อุณหภูมิ 50-55 °C มีค่าเท่ากับ 1.04
	h_{tot}	=	จำนวนพันธะเปปไทด์ในโปรตีนซึ่งมีค่าเท่ากับ 8.3 สมมูลต่อ กิโลกรัม โปรตีน

2.7 สมบัติเชิงหน้าที่ของโปรตีนไอก็อโรไลเซท

สมบัติเชิงหน้าที่ของโปรตีนไอก็อโรไลเซท หมายถึง สมบัติทางกายภาพและทางเคมีของโปรตีน ซึ่งมีผลต่อพัฒนาการของผลิตภัณฑ์อาหารในระหว่างการแปรรูป เก็บรักษา ตลอดจนการบริโภค สมบัติเชิงหน้าที่เหล่านี้เป็นผลมาจากการคัดกรองของค่าประกอบทางเคมี และปริมาณกรดอะมิโนที่มีอยู่ในผลิตภัณฑ์ สมบัติเชิงหน้าที่ของโปรตีนไอก็อโรไลเซท เช่น สมบัติการละลาย สมบัติการอุ้มน้ำ สมบัติการเป็นอิมิลซิฟายเออร์ สมบัติการเกิดโฟม สมบัติการเป็นสารต้านอนุมูลอิสระ และ สมบัติในการเป็นสารยับยั้งการทำงานของ ACE เป็นต้น (Jamdar และคณะ, 2010) สำหรับงานวิจัยนี้ จะมุ่งศึกษาสมบัติเชิงหน้าที่ของโปรตีนไอก็อโรไลเซท คือ สมบัติในการต้านอนุมูลอิสระ และ สมบัติในการเป็นสารยับยั้งการทำงานของ ACE

2.8 สมบัติในการเป็นสารต้านอนุมูลอิสระ (antioxidant)

อนุมูลอิสระ (free radical) คือ โมเลกุล หรือสารที่ประกอบด้วยอะตอมซึ่งมีอิเล็กตรอนคู่ได้เดี่ยว (unpaired electron) เป็นองค์ประกอบ อนุมูลอิสระเหล่านี้ไม่เสถียร และมีพลังงานสูง จึงมีความว่องไวต่อการเกิดปฏิกิริยากับสารอื่นๆ (Aruoma, 1994) ปฏิกิริยาที่เกิดขึ้นนี้จะเรียกว่าปฏิกิริยาออกซิเดชัน ซึ่งมีการสูญเสียอิเล็กตรอนของสารให้กับอนุมูลอิสระ และเกิดอนุมูลอิสระชนิดใหม่ขึ้นในปฏิกิริยา อนุมูลอิสระเหล่านี้สามารถทำปฏิกิริยากับแก๊สออกซิเจน เกิดเป็น reactive oxygen species (ROS) ซึ่งมีความสำคัญต่อการเสื่อม腐爛ของเซลล์ในร่างกาย

สารต้านอนุมูลอิสระ คือ สารประกอบที่สามารถช่วย หรือ ยับยั้งการเกิดปฏิกิริยาออกซิเดชันได้ (Halliwell, 1997) กลไกในการยับยั้งปฏิกิริยาออกซิเดชันของสารต้านอนุมูลอิสระแต่ละชนิดจะมีความแตกต่างกัน เช่น สารประกอบพีนอลิกและ สารประกอบ aromatic amine จะกำจัดอนุมูลอิสระออกจากปฏิกิริยาลูกโซ่ (free radical scavenging antioxidant) ในขณะที่ในน้อยด้วยจะทำหน้าที่ในการกำจัด singlet oxygen เป็นต้น (Niki, 2010) จากข้อมูลดังกล่าวทำให้ในปัจจุบันมีการใช้ประโยชน์จากสารต้านอนุมูลอิสระมากขึ้น ทั้งในแง่ของการเป็นส่วนผสมในเครื่องสำอางค์ เพื่อชะลอการเสื่อมสภาพของเซลล์ และใช้เป็นส่วนผสมในอาหารเพื่อยืดอายุ การเก็บรักษาผลิตภัณฑ์ให้ยาวนานขึ้น

สำหรับสมบัติในการเป็นสารต้านอนุมูลอิสระของกรดอะมิโน เปปไทด์ และโปรตีน-ไฮโดรไลเซทนั้น พบร่วมกันว่า สามารถยับยั้งการเกิดปฏิกิริยาออกซิเดชันของไขมันได้โดยการทำปฏิกิริยา กับโลหะหนัง และ กำจัดอนุมูลอิสระออกจากระบบ เปปไทด์ส่วนใหญ่ที่มีสมบัติต้านอนุมูลอิสระ มักจะประกอบด้วยกรดอะมิโน คือ histidine, tyrosine, methionine, tryptophan และ lysine เป็นองค์ประกอบในโมเลกุล ชนิดของกรดอะมิโน และลำดับของกรดอะมิโน ล้วนส่งผลต่อสมบัติในการต้านอนุมูลอิสระของเปปไทด์ (Pena-Ramos และ Xiong, 2001)

Wu, Chen และ Shiao (2003) ผลิตโปรตีนไฮโดรไลเซทจากปลาแมคเคอเรล (*Scomber austriasicus*) ด้วยกระบวนการ autolysis เปรียบเทียบกับการใช้อเอนไซม์ Protease N ใน การย่อยสลาย โดยศึกษาถึงความสัมพันธ์ของปริมาณกรดอะมิโนอิสระ และ เปปไทด์ที่เปลี่ยนแปลงในระหว่างการย่อยสลาย ผลการทดลองพบว่า โปรตีนไฮโดรไลเซทที่ได้จากการย่อยสลายด้วยอเอนไซม์ Protease-N มีกรดอะมิโนอิสระ และเปปไทด์เป็นองค์ประกอบในปริมาณมากกว่าที่พบในโปรตีนไฮโดรไลเซทที่ได้จากการบวนการ autolysis โดยระบุว่า ปริมาณกรดอะมิโนอิสระ และ เปปไทด์ที่เพิ่มขึ้นนี้ส่งผลโดยตรงต่อการเพิ่มขึ้นของสมบัติในการเป็นสารต้านอนุมูลอิสระของโปรตีนไฮโดรไลเซท นอกจากนี้ ได้มีการศึกษาขนาดของเปปไทด์ที่เป็นองค์ประกอบในโปรตีนไฮโดรไลเซทจากปลาแมคเคอเรลที่ผลิตได้ โดยพบว่า ขนาดของเปปไทด์ส่งผลต่อความสามารถในการเป็นสารต้านอนุมูลอิสระ เช่นกัน โดยเปปไทด์ที่มีขนาดโมเลกุลประมาณ 1400 Da มีความสามารถในการต้านอนุมูลอิสระสูงกว่าเปปไทด์ที่มีขนาดโมเลกุล 900 Da และ 200 Da ตามลำดับ

2.8.1 วิธีวิเคราะห์ความสามารถในการเป็นสารต้านอนุมูลอิสระ

2.8.1.1 วิธี 2,2-Diphenyl-1-picrylhydrazyl (DPPH)

วิธี DPPH เป็นวิธีวัดความสามารถในการเป็นสารต้านอนุมูลอิสระ โดยอาศัยการส่งผ่านอิเล็กตรอนเดี่ยวจากสารต้านอนุมูลอิสระเข้าสู่อนุมูล DPPH• ซึ่งมีสีม่วง เกิดการรีดิวชันอนุมูล DPPH• ไปเป็นสารประกอบ DPPHn ซึ่งมีสีเหลือง และวัดการลดลงของสีโดยอาศัยการวัดค่าการดูดกลืนแสงด้วยเครื่องสเปกโตร-

ไฟโตเมตเตอร์ ที่ความยาวคลื่น 517 นาโนเมตร วิธี DPPH นี้มีข้อดีคือ เป็นวิธีวิเคราะห์ที่ง่าย รวดเร็ว และไม่ต้องใช้เครื่องมือมาก แต่ปฏิกิริยาอาจถูกรบกวนได้ง่ายจากแสง แก๊ซออกซิเจน และสารอีดีวี (Bernadini และคณะ, 2011) อนุมูล DPPH มีโครงสร้างที่เสถียรหากในระบบมีอนุมูลบางชนิดที่กว่างไวมากกว่า เช่น peroxy radical เป็นต้น สารต้านอนุมูลอิสระที่ต้องการทดสอบอาจทำปฏิกิริยากับอนุมูลกว่างไวเหล่านั้น ทำให้ค่าความสามารถที่คำนวณได้ผิดพลาดไปจากความเป็นจริง (Prior, Wu และ Schaich, 2005) การคำนวณความสามารถในการเป็นสารต้านอนุมูลอิสระโดยวิธี DPPH นั้น จะคำนวณของมาในรูปของ % DPPH radical scavenging โดยใช้น้ำกลันแทนตัวอย่างในสารละลายควบคุม ตามสมการ (4)

$$\% \text{ DPPH radical scavenging} = \frac{\text{A517 control} - \text{A 517 sample}}{\text{A 517 control}} \times 100 \quad \dots \dots \dots \quad (4)$$

Jun, Jung และ Kim (2004) ศึกษาความสามารถในการเป็นสารต้านอนุมูลอิสระของโปรตีนไข่ไก่โดยไลเซทจากโครง yellowfin sole (*Limanda aspera*) โดยใช้เอนไซม์เปปซิน พบร้า ผลิตภัณฑ์โปรตีนไข่ไก่โดยไลเซทประกอบด้วยเปปไทด์สายสั้นคือ RPFDLEPPY มีขนาดโมเลกุล 13 kDa ซึ่งมีสมบัติในการเป็นสารต้านอนุมูลอิสระที่มีประสิทธิภาพเมื่อวิเคราะห์ด้วยวิธี DPPH

Klompong และคณะ (2007) ศึกษาอิทธิพลของชนิดของเอนไซม์ และระดับการย่อยสลายที่มีต่อสมบัติในการเป็นสารต้านอนุมูลอิสระของโปรตีนไข่ไก่โดยไลเซทจากปลาสีกุนข้างเหลือง โดยวิธี DPPH พบร้าโปรตีนไข่ไก่โดยไลเซทจากปลาสีกุนข้างเหลือง (*Selaroides leptolepis*) ทั้งที่ได้จากการย่อยสลายด้วยเอนไซม์ Flavourzyme® และ Alcalase ซึ่งมีระดับการย่อยสลาย 5 เปอร์เซ็นต์มีค่า % DPPH radical scavenging activity สูงกว่าโปรตีนไข่ไก่โดยไลเซทที่ย่อยสลาย

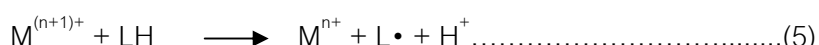
จุนกระทั้งมีระดับการย่ออยsslialyเป็น 15 และ 25 เปอร์เซ็นต์ โดยไม่พบความแตกต่างอย่างมีนัยสำคัญ ($p > 0.05$)

Thiansilakul, Benjakul และ Shahidi (2007) ศึกษาองค์ประกอบและสมบัติในการเป็นสารต้านอนุมูลอิสระของโปรตีนไข่డร่าไลเซทจากปลาทูแขก (round scad) (*Decapterus maruadsi*) ที่มีระดับการย่อยสลาย 60 เปอร์เซ็นต์ โดยใช้เอนไซม์ Flavourzyme[®] 500 L ในการย่อยสลาย เมื่อวิเคราะห์ความสามารถในการเป็นสารต้านอนุมูลอิสระโดยวิธี DPPH พบร่วง โปรตีนไข่డร่าไลเซทที่ได้มีค่า % radical scavenging activity เท่ากับ 59.9 เปอร์เซ็นต์

Wu, Chen และ Shiao (2003) รายงานว่า สมบัติในการเป็นสารต้านอนุมูลอิสระ เมื่อวิเคราะห์โดยวิธี DPPH ของโปรตีนไอก็อดร่าไลเซทจากปลาแมคเคอเรล (*Scomber austriasicus*) ที่ใช้เอนไซม์ protease N ในการย่อยสลาย มีค่า % scavenging effect สูงกว่าในโปรตีนไอก็อดร่าไลเซทที่ย่อยสลายด้วยกระบวนการ autolysis โดยพบว่า % scavenging effect ของโปรตีนไอก็อดร่าไลเซทที่ได้จะมีค่าเพิ่มขึ้นในช่วง 5 ชั่วโมงแรกของการย่อย และจะเริ่มคงที่ เมื่อเวลาในการย่อยนานขึ้น

2.8.1.2 วิธี Metal chelating activity

เนื่องจากไอออนของโลหะหนัก เช่น Fe^{2+} , Cu^{2+} และ Co^{2+} เป็นตัวสามารถเร่งอัตราการเกิดปฏิกิริยาออกซิเดชันโดยเฉพาะ Fe^{2+} จะทำปฏิกิริยาออกซิเดชันกับออกซิเจนในอากาศเกิดเป็นสาร Superoxide anion radical (O_2^-) ซึ่งเป็นอนุมูลอิสระตัวเริ่มต้นที่ทำให้เกิดอนุมูลอิสระตัวอื่นๆต่อไป ไอออนของโลหะเหล่านี้ยังสามารถส่งผ่านอิเล็กตรอนเข้าทำปฏิกิริยากับกรดไขมันไม่อิมเดว (Sarkar, 1987) เกิดเป็นอนุมูลอิสระที่มีความร่วง ไวด์ต่อการทำปฏิกิริยา ดังสมการที่ 5



นอกจากนี้ไออกอนของโลหะหนักยังสามารถทำปฏิกิริยา กับสารบางชนิด เช่น
ไฮโดรเปอร์ออกไซด์ (hydroperoxide) เกิดผลิตภัณฑ์คือ อนุมูลอิสระที่สามารถ
เร่งปฏิกิริยาอุดตื้อกลีเซริน ดังสมการที่ 6 และ 7 ตามลำดับ



อนุมูลอิสระที่เกิดขึ้นเหล่านี้สามารถเกิดปฏิกิริยาออกซิเดชัน ทำให้ผลิตภัณฑ์อาหารเสื่อมเสียได้ง่าย การเติมสารต้านอนุมูลอิสระที่มีความสามารถในการทำปฏิกิริยากับไฮอนของโลหะหนักลงในผลิตภัณฑ์อาหารจึงสามารถช่วยลดการเกิดปฏิกิริยาออกซิเดชันได้ (Klompong และคณะ, 2007) การวิเคราะห์ความสามารถในการเป็นสารต้านอนุมูลอิสระโดยการทำปฏิกิริย่าไฮอนของโลหะหนักนี้สามารถทำได้โดยอาศัยการทำปฏิกิริยาของสารต้านอนุมูลอิสระกับสารละลายน้ำ FeCl₂ โดยมีสารละลาย3-(2-pyridyl)-5,6-bis(4-phenyl-sulfonic acid)-1,2,4-triazine (ferrozine) ทำให้เกิดสีม่วงของ ferrozine-Fe²⁺ complex และวัดค่าการดูดกลืนแสงที่ความยาวคลื่น 562 นาโนเมตร เช่นเดียวกับวิธี DPPH การคำนวณความสามารถในการเป็นสารต้านอนุมูลอิสระโดยวิธี metal chelating activity นั้น จะคำนวณออกมาในรูปของ % metal chelating activity โดยใช้น้ำกลั่นแทนตัวอย่างในสารละลายควบคุม ตามสมการ 8

% Metal chelating activity = A562 control – A 562 sample × 100
A 562 control(8)

Dong และคณะ (2008) ศึกษาสมบัติในการเป็นสารต้านอนุมูลอิสระของโปรตีนไอก็อดร่าไลเซทที่ได้จากปลา Silver carp (*Hypophthalmichthys molitrix*) โดยวิธี metal chelating activity เปรียบเทียบกับคิทิพลของชนิดของเอนไซม์ และระยะเวลาในการย่อยสลายที่มีต่อสมบัติในการเป็นสารต้านอนุมูลอิสระของ

โปรตีนไอก็คร่าໄລເໜີຫຼາຍ ພບວ່າຄ່າ % relative chelating activity ມີຄ່າເພີ່ມຂຶ້ນ
ເນື່ອຮະຍະເວລາໃນກາຍ່ຍ່ອຍສລາຍຍາວນານຂຶ້ນ ໂດຍອີງຕາຍວ່າເນື່ອຮະຍະເວລາໃນ
ກາຍ່ຍ່ອຍສລາຍຍາວນານຂຶ້ນ ໂປຣຕິນຈະຖຸກເປີ້ນເປັນກຽດຂະໜົນແລະ ເປັນໄທດ໌
ຂະດເລັກທີ່ສາມາດທຳປົກກົງຢາກກັບໄອອອນຂອງໂລຮະໄດ້ ທຳໃໝ່ສາມາດຂະລອ
ກາຮເກີດປົກກົງຢາກອອກສີເຕັມໄດ້

Klompong และคณะ (2007) รายงานสมบัติในการเป็นสารต้านอนุมูลอิสระของโปรตีนไอกิโตรไลเซทจากปลาสีกุนข้างเหลือง (*Selaroides leptolepis*) เมื่อวิเคราะห์โดยวิธี metal chelating activity ว่า โปรตีนไอกิโตรไลเซทที่ได้จากการย่อยสลายโดยใช้เอนไซม์ Flavourzyme® 500 L มีค่า % metal chelating activity สูงกว่าในโปรตีนไอกิโตรไลเซทที่ใช้เอนไซม์ Alcalase ใน การย่อยสลาย และยังกล่าวว่า ค่า % metal chelating activity นี้จะเพิ่มขึ้น เมื่อระดับการย่อยสลายเพิ่มขึ้นโดยจะมีค่าประมาณ 80 เปอร์เซ็นต์, 90 เปอร์เซ็นต์ และ 93 เปอร์เซ็นต์ เมื่อใช้เอนไซม์ Flavourzyme® 500 L ในการย่อยสลาย ที่ระดับ การย่อยสลาย 5 เปอร์เซ็นต์, 15 เปอร์เซ็นต์ และ 25 เปอร์เซ็นต์ ตามลำดับ

2.8.1.3 วิธี TBA (Thiobarbituric acid)

ปฏิกิริยาออกซิเดชันของไขมัน (lipid oxidation) เป็นปฏิกิริยาเคมีที่เกิดจากการทำปฏิกิริยาของแก๊สออกซิเจนต่อไขมันพันธะคู่ของกรดไขมันไม่อิมตัวในอาหาร ก่อให้เกิดผลิตภัณฑ์ คือ สารไฮโดรperอ็อกไซด์ (hydroperoxide) ซึ่งสามารถเปลี่ยนแปลงเป็นสารอื่นๆ (เช่น malonaldehyde เป็นต้น) ที่ทำให้ผลิตภัณฑ์อาหารมีกลิ่นหืนได้ต่อไป ปฏิกิริยาออกซิเดชันของไขมันเป็นปฏิกิริยาลูกโซ่ ประกอบด้วย 3 ขั้นตอน คือ

1. ปฏิกรรมการมีอำนาจเป็นการเกิดอนุญาติสรุของกรดไขมันไม่อิมเดือนใน

2. ปฏิกิริยาโพรงแก๊สัน เป็นการทำปฏิกิริยาของออกซิเจนกับอนุมูลอิสระจากปฏิกิริยาเริ่มต้น เกิดเป็นสาร lipid peroxyl radical(LOO^{\bullet})



3. ปฏิกิริยาเทอร์มินอล เป็นการผลิตสารไฮโดรperoxyออกไซด์จากการทำปฏิกิริยาของ lipid peroxy radical และ H•



สารประกอบไอกไซโดเปอร์ออกไซด์ที่เกิดขึ้นเมื่อถูกเร่งปฏิกิริยาด้วยไอโอดินของโลหะ หรือ ความร้อน จะแตกตัวไปเป็นสารระหว่างโมเลกุลเล็ก ที่ทำให้เกิดกลิ่นรสไม่ดีในผลิตภัณฑ์อาหารได้ต่อไป (Fernandez, Perez-Alvarez และ Fernandez-Lopez, 1996)

การทดสอบความสามารถในการเป็นสารต้านอนุมูลอิสระโดยวิธี TBA นั้นอาศัยหลักการวัดสีชุมพูของสารประกอบเชิงชื่อน TBARS ที่เกิดจากการทำปฏิกิริยาของสาร TBA และ malonaldehyde ที่ความยาวคลื่น 535 นาโนเมตร และสามารถคำนวณ % TBA activity ได้จากสมการ 12

Dong และคณะ (2008) กล่าวถึง สมบัติในการต้านอนุมูลอิสระของ โปรตีนไอก็อดร่าไลเซทจากปลา silver carp ที่ย่อỷอยสลายด้วยเอนไซม์ Flavouzyme® 0.5 เปอร์เซ็นต์ (w/w) ว่า % inhibiting lipid oxidation ของโปรตีนไอก็อดร่าไลเซท มีค่าเพิ่มขึ้นจนกระทั่งสูงที่สุดเมื่อใช้เวลาในการย่อỷอยสลายเป็น 4 ชั่วโมง และจะเริ่มคงที่เมื่อเพิ่มเวลาในการย่อỷอยสลายเป็น 5 และ 6 ชั่วโมง ตามลำดับ โดยรายงานว่าความสัมพันธ์ระหว่างระยะเวลาในการย่อỷอยส่งผลต่อค่า % inhibiting lipid oxidation ในลักษณะที่ไม่เป็นเส้นตรง ทั้งนี้ Pihlanto (2006) อธิบายว่า

องค์ประกอบต่างๆ ในโปรตีนไฮโดรไลเซท เช่น prooxidative agent และสารประกอบที่ไม่ใช่โปรตีนซึ่งอาจเกิดขึ้นในระหว่างการย่อยสลาย เป็นต้น อาจส่งผลให้ความสามารถในการต้านอนุมูลอิสระของโปรตีนไฮโดรไลเซทมีค่าลดลง

Jeon, Byun และ Kim (1999) ผลิตโปรตีนไฮโดรไลเซทจากโครงปลาคอตโดยใช้เอนไซม์ที่สกัดได้จากทางเดินอาหารของปลา tuna และใช้เทคนิค ultrafiltration membrane เพื่อคัดแยกขนาดของเปปไทด์ที่เป็นองค์ประกอบในโปรตีนไฮโดรไลเซท โดยใช้คัดแยก 4 ขนาด คือ 30 KDa, 10 KDa, 5 KDa และ 3 KDa พบร้า ขนาดของเปปไทด์ส่งผลต่อคุณสมบัติเชิงหน้าที่ที่ต่างกัน โปรตีนไฮโดรไลเซทที่มีเปปไทด์ขนาด 10 K เป็นองค์ประกอบ มีความสามารถในการต้านอนุมูลอิสระใกล้เคียงกับสาร α -tocopherol ที่ใช้เป็นสารละลายน้ำคุณเมื่อวิเคราะห์โดยวิธี TBA

2.9 สมบัติในการเป็นสารยับยั้งการทำงานของACE (Angiotensin I converting enzyme inhibitor)

ภาวะความดันโลหิตสูง (hypertension) คือ ภาวะที่บุคคลมีระดับความดันโลหิต systolic และ/ หรือ diastolic ตั้งแต่ 140/90 mm Hg ขึ้นไป (Well และคณะ, 2009) ซึ่งภาวะความดันโลหิตสูงเป็นปัจจัยเสี่ยงสำคัญต่อการเกิดโรคหัวใจและหลอดเลือด โดยการศึกษาถึงความสัมพันธ์ของระดับความดันโลหิตต่ออัตราการเสียชีวิตจากโรคหัวใจและหลอดเลือดของบุคคลที่ช่วงอายุต่างๆ พบร้า อัตราการเสียชีวิตจากโรคหัวใจและหลอดเลือด ได้แก่ ภาวะหัวใจขาดเลือด (Ischemic heart disease) และ โรคหลอดเลือดสมอง (stroke) มีความสัมพันธ์แบบแปรผันตรงกับระดับความดันโลหิต ในทุกช่วงอายุของกลุ่มผู้ทดสอบ (40-89 ปี)

กลไกการควบคุมระดับความดันโลหิตในร่างกายสามารถแบ่งออกเป็น 3 ประเภท ตามระดับความเร็วในการตอบสนองต่อการเปลี่ยนแปลงของความดันโลหิต คือ early response, intermediate response และ late response ตามลำดับ early response เป็นการตอบสนองอย่างรวดเร็ว(ในระดับวินาที) ภายใต้การควบคุมของระบบประสาทอัตโนมัติ (sympathetic และ

parasympathetic) ส่งผลต่อการลดอัตราการเต้นของหัวใจ และทำให้เกิดการขยายตัวของหลอดเลือดแดง และหลอดเลือดดำ ในขณะที่ intermediate response จะเป็นการตอบสนองต่อการเปลี่ยนแปลงความดันโลหิตโดยใช้เวลาในระดับนาที หรือชั่วโมง ภายใต้การควบคุมของ renin-angiotensin-aldosterone system (RAAS) เมื่อความดันโลหิตในร่างกายลดลง ได้จะถูกกระตุ้นให้เกิดการหลั่งสาร renin เพิ่มขึ้น เพื่อทำหน้าที่ในการเปลี่ยน Angiotensinogen ไปเป็น Angiotensin I ซึ่งเป็นสารตั้งต้นในการทำปฏิกิริยา กับ Angiotensin I converting enzyme ให้ผลิตภัณฑ์เป็นสาร Angiotensin II ที่สามารถก่อให้เกิดการหดตัวของหลอดเลือด และกระตุ้นการหลั่งฮอร์โมน antidiuretic (ADH) จากไออกาลาแมส และฮอร์โมน aldosterone จากต่อมหมากไตทำให้การดูดซึมกลับของน้ำและเกลือจากท่อได้เข้าสู่หลอดเลือดเพิ่มขึ้น ปัจจัยเหล่านี้ทำให้ความดันโลหิตเพิ่มขึ้นได้ สำหรับ late response นั้น จะเป็นการตอบสนองที่เกิดขึ้นโดยใช้เวลาเป็นวัน หรือสัปดาห์ โดยเมื่อความดันโลหิตในร่างกายสูงขึ้น ได้จะทำหน้าที่ในการเพิ่มการขับน้ำและเกลือออกจากร่างกาย (Chobanian, 2003)

Angiotenin I converting enzyme (ACE, EC 3.4.15.1) เป็นเอนไซม์ประเภท zinc metallocarboxydipeptidase ที่ทำหน้าที่ในการควบคุมความดันโลหิตของร่างกาย โดยตัดพังะเปปไทด์ของสาร Angiotensin I (deca-peptide) จากปลาย carboxyl (C-terminal) ไปเป็นสาร Angiotensin II (octa-peptide) ซึ่งสามารถเหนี่ยวนำให้เกิดการหดตัวของหลอดเลือด ส่งผลให้ระดับความดันโลหิตในร่างกายเพิ่มขึ้น (Raghavan และ Kristinsson, 2009) สารบางชนิด เช่น เปปไทด์ที่เป็นองค์ประกอบในโปรตีนไอกิราไಡเซฟ เป็นต้น และยาสังเคราะห์บางประเภท เช่น Captopril[®] และ Enalapril[®] เป็นต้น มีความสามารถในการยับยั้งการทำงานของ ACE โดยจะเข้าทำปฏิกิริยา กับ ACE ตรงบริเวณร่องของเอนไซม์ ทำให้ปฏิกิริยาของเอนไซม์หยุดชะงัก ส่งผลให้การสังเคราะห์สาร Angiotensin II หยุดลง จึงสามารถรักษาระดับความดันโลหิตในร่างกายได้โดยการควบคุมปริมาณสาร Angiotensin II (Murray, Walsh และ FitzGerald, 2004)

ชนิดและขนาดของเปปไทด์เป็นปัจจัยสำคัญที่ส่งผลต่อความสามารถในการเป็นสารยับยั้งการทำงานของ ACE ขนาดของเปปไทด์ที่เหมาะสมควรอยู่ในช่วง 2 ถึง 12 มิลลิกรัมอะมิโน (Hernandez-Ledesma, Contreras และ Recio, 2011) โดย Natesh และคณะ (2003) อธิบายว่าบริเวณร่องของเอนไซม์ Angiotensin I ไม่สามารถทำปฏิกิริยาเชิงช้อนกับเปปไทด์ที่มี

โมเลกุลขนาดใหญ่ได้ แต่จะทำปฏิกิริยาได้ดีกับสารประกอบไตรเปปไทด์ที่มีกรดอะมิโนชนิดไม่ซ่อนน้ำเป็นองค์ประกอบ ตรงบริเวณปลาย carboxyl กรดอะมิโนที่มีประสิทธิภาพในการเป็นสารยับยั้งการทำงานของ ACE คือ tyrosine, tryptophan, phenylalanine, proline, leucine, isoleucine, valine, lysine และ alanine (Gomez-Ruiz, Ramos และ Recio, 2004)

Nakajima, Yoshie-Stark และ Ogushi (2009) ศึกษาความสามารถในการเป็นสารยับยั้งการทำงานของ ACE ในผลิตภัณฑ์โปรตีนไฮโดรไลเซทจากปลา 4 ชนิด คือ Atlantic salmon, Coho salmon, Alaska Pollack และ Southern blue whiting เปรียบเทียบอิทธิพลของเอนไซม์ 2 ชนิด คือ เอนไซม์ pancreatin และ เอนไซม์ pepsin ในการย่อยสลายโปรตีน พบร่วม โปรตีนไฮโดรไลเซทจากปลาทั้ง 4 ชนิดที่ได้จากการย่อยสลายด้วยเอนไซม์ pepsin ไม่แสดงความสามารถในการเป็นสารยับยั้งการทำงานของ ACE ในขณะที่เมื่อใช้เอนไซม์ pancreatin ในการย่อยสลายพบว่า โปรตีนไฮโดรไลเซทที่ได้จากการย่อยสลายปลา Alaska Pollack มีความสามารถในการเป็นสารยับยั้งการทำงานของ ACE สูงที่สุด แต่เมื่อศึกษาความสามารถในการเป็นสารยับยั้งการทำงานของ ACE โดยเปรียบเทียบอิทธิพลของพันธุ์ปลาแซลมอน 2 สายพันธุ์ คือ Atlantic salmon และ Coho salmon โดยใช้เอนไซม์ thermolysin ในการย่อยสลาย พบร่วม โปรตีนไฮโดรไลเซทที่ได้จากการย่อยสลายปลา Coho salmon มีความสามารถในการเป็นสารยับยั้งการทำงานของ ACE สูงกว่า โปรตีนไฮโดรไลเซทที่ได้จากการย่อยสลายปลา Atlantic salmon โดยมีกรดอะมิโนชนิดไม่ซ่อนน้ำ คือ valine, methionine, isoleucine, leucine และ phenylalanine เป็นองค์ประกอบในปริมาณมาก ซึ่งกรดอะมิโนเหล่านี้มีความสามารถในการยับยั้งการทำงานของ ACE

Tsai, Chen และ Pan (2008) ศึกษาคุณสมบัติของเปปไทด์ในโปรตีนไฮโดรไลเซทจาก hard clam (*Meretrix lusoria*) ซึ่งใช้เอนไซม์ Protamex สำหรับย่อยสลายโปรตีน ที่อุณหภูมิ 50°C เป็นเวลา 5 ชั่วโมง พบร่วม สารประกอบไดเปปไทด์ คือ Tyr-Asn และสารประกอบไตรเปปไทด์ คือ Val-Arg-Lys มีความสามารถในการเป็นสารยับยั้งการทำงานของ ACE โดยมีค่า IC_{50} เท่ากับ 51 μM และ 700 μM ตามลำดับ

การทดสอบความสามารถในการยับยั้งการทำงานของ ACE สามารถทำได้โดยอาศัยการทำปฏิกิริยาระหว่างเอนไซม์และสารตั้งต้น คือ hippuryl-L-histidyl-L-leucine ในขณะที่มีสารยับยั้งร่วมในปฏิกิริยา และวัดปริมาณ hippuric acid ที่เกิดขึ้น โดยการวัดค่ากรดกลีนแสงที่ความยาวคลื่น 228 นาโนเมตร และเทียบประสิทธิภาพในการยับยั้งกับสารมาตรฐาน Captopril[®] (1-(3-mercpto-2-D-methyl-1-oxopropyl)-1-proline) ซึ่งเป็นยาสังเคราะห์ที่มีประสิทธิภาพในการลดความดันโลหิต จากนั้นรายงานผลการวิเคราะห์ด้วยค่า % ACE inhibition หรือ IC₅₀ (Crushman และ Cheung, 1971)

2.10 กระบวนการทำแห้ง

กระบวนการทำแห้ง มีวัตถุประสงค์เพื่อยืดอายุการเก็บรักษาผลิตภัณฑ์ โดยอาศัยการถ่ายโอนโมเลกุลของน้ำออกจากโมเลกุลของอาหารทำให้ปริมาณน้ำอิสระในอาหารลดลง จึงสามารถยับยั้งการเจริญของจุลทรรศ และช่วยป้องกันความต่างๆ ที่อาจเกิดขึ้นในระหว่างการเก็บรักษาผลิตภัณฑ์ การทำแห้งสามารถทำได้หลายวิธี เช่น การทำแห้งด้วยวิธีพ่นกระเจา (spray dry) การทำแห้งแบบลมร้อน หรือการทำแห้งแบบแข็ง เป็นต้น การทำแห้งด้วยวิธีพ่นกระเจาหมายความว่าการผลิตผลิตภัณฑ์รูปแบบผง การใช้ลมร้อนอุณหภูมิสูงเพื่อทำแห้งโดยวิธีนี้อาจทำให้เกิดการสูญเสียกลินนิสและสมบัติในการให้ผลของผลิตภัณฑ์ แต่ผลิตภัณฑ์ที่ได้จะยังคงมีสารประกอบให้กลิ่นหลงเหลืออยู่ และสามารถคืนสภาพได้ดีกว่าเมื่อเทียบกับการทำแห้งโดยวิธีอื่นๆ (Kumar และ Mishira, 2004)

2.10.1 การทำแห้งแบบพ่นกระเจา

การทำแห้งแบบพ่นกระเจาเป็นวิธีทำแห้งที่นิยมใช้ผลิตผลิตภัณฑ์ในรูปแบบผง โดยโมเลกุลอาหารจะเคลื่อนที่ผ่านหัวฉีด (atomizer) กลายเป็นหยดละอองเล็กๆ ภายในเครื่องอบแห้ง และเกิดการระเหยน้ำออกจากโมเลกุลอย่างรวดเร็ว เมื่อถูกพัดผ่านด้วยลมร้อนอุณหภูมิสูง ผงผลิตภัณฑ์ที่ได้จะตกลงสู่ด้านล่างของ drying chamber และเคลื่อนที่เข้าสู่ cyclone ที่ใช้เก็บผงผลิตภัณฑ์ การอบแห้งแบบพ่นกระเจา มีข้อดีคือ เป็นการทำแห้งในระบบปิดจึงมีการปนเปื้อน

น้อย มีประสิทธิภาพสูง อัตราการแตกเปลี่ยนความร้อนสูง และใช้เวลารวดเร็วในการทำแห้ง อย่างไรก็ตามกระบวนการทำแห้งแบบพ่นกระเจาดายก็มีข้อเสียคือ หากไม่เลกุลอาหารมีองค์ประกอบหลักเป็นคาร์บอไฮเดรต โดยเฉพาะน้ำตาล เช่น น้ำตาลกลูโคส กาแลกโตส และซูโครส เป็นต้น เมื่อถูกความร้อนไม่เลกุลจะเกิดการพองตัวและเก็บกักน้ำไว้ภายในไม่เลกุล ทำให้อัตราการแตกเปลี่ยนความร้อนลดลง ส่งผลให้ผลิตภัณฑ์ที่ได้มีลักษณะ เหนียว และเกาะกันเป็นก้อน (Bhandari, Datta และ Howes, 1997) การเติมสารช่วยทำแห้งจำพวก молโทเดกซ์ทริน จะมีส่วนช่วยในการลดค่า stickiness ของผลิตภัณฑ์ได้

молโทเดกซ์ทริน คือ ผลิตภัณฑ์ที่ได้จากการย่อยแป้งด้วยกรด หรือเอนไซม์ ซึ่งเป็นสารที่นิยมใช้ในการเพิ่มความคงตัวของผลิตภัณฑ์อาหารในระหว่างกระบวนการทำแห้งแบบพ่นกระเจาดายไม่เลกุลของмолโทเดกซ์ทริน ประกอบด้วยน้ำตาล D-glucose เชื่อมต่อกันด้วยพันธะ α -1,4 glycosidic และมีค่า dextrose equivalent (DE) ไม่เกิน 20 (ค่า dextrose equivalent คือ ค่าที่แสดงจำนวนแป้งที่ถูกไฮดรอลิกซ์ หรือ ปริมาณน้ำตาลรีดิวซ์ที่มีอยู่ในผลิตภัณฑ์) สมบัติเชิงหน้าที่ของ molโทเดกซ์ทรินจะแตกต่างกันไปตามค่า DE โดยสมบัติเชิงหน้าที่สำคัญของ molโทเดกซ์ทริน เช่น bulking ความสามารถในละลาย กระจายตัว และความสามารถในการดูดซับความชื้น เป็นต้น

Silalai และ Roos (2011) พบร่วมกับการเติมмолโทเดกซ์ทรินที่มีค่า DE ระดับต่ำ (DE 9) จะช่วยลดค่า stickiness ของนमผงที่ผ่านกระบวนการทำแห้งแบบพ่นกระเจาดาย ได้ดีกว่าการเติมмолโทเดกซ์ทรินที่มีค่า DE ระดับสูง (DE 17)

Abdul-Hamid, Bakar และ Bee (2002) ศึกษาคุณค่าทางโภชนาการของผงโปรตีนไฮดรอลิกซ์จาก black tilapia (*Oreochromis mossambicus*) โดยเบริ่ยบเที่ยบอิทธิพลของอุณหภูมิลมร้อนที่ใช้ในการทำแห้งเป็น 2 ระดับ คือ $150^{\circ}\text{C}/76^{\circ}\text{C}$ และ

180°C/90°C ตามลำดับ ซึ่งมีการทดสอบмолโทเดกซ์ทริน บริมาณ 10 เปอร์เซ็นต์ต่อ ปริมาตรตัวอย่าง (ไม่ระบุค่า % DE ของмолโทเดกซ์ทริน) ผลการศึกษาพบว่า ผลิตภัณฑ์โปรตีนไฮโดรไลเซทที่ได้จากการทำแห้งในแต่ละอุณหภูมิ มีกรดอะมิโน คือ aspartic acid, glutamic acid, serine, arginine, threonine, alanine, proline, tyrosine, valine, methionine, isoleucine, leucine, phenylalanine และ lysine เป็น องค์ประกอบ การทำแห้งโดยใช้อุณหภูมิสูงส่งผลอย่างมีนัยสำคัญ ($p \leq 0.05$) ต่อการ ลดลงของปริมาณกรดอะมิโนเหล่านี้ แต่คุณภาพโปรตีนของผงโปรตีนไฮโดรไลเซทที่ได้ มีค่าสูง โดยพบว่าผงโปรตีนไฮโดรไลเซทที่ได้จากการทำแห้งที่อุณหภูมิ 150°C/76°C มี ค่า protein digestibility และ ค่า protein digestibility corrected amino acid score เป็น 92% และ 0.82 ตามลำดับ ในขณะที่ผงโปรตีนไฮโดรไลเซทที่ได้จากการทำแห้งที่ อุณหภูมิ 180°C/90°C มีค่า protein digestibility และ ค่า protein digestibility corrected amino acid score เป็น 88.4% และ 0.34 ตามลำดับ

2.11 การเปลี่ยนแปลงในระหว่างการเก็บรักษาผลิตภัณฑ์

ในระหว่างการเก็บรักษาผลิตภัณฑ์จะเกิดการเปลี่ยนแปลงองค์ประกอบ และ สมบัติเชิง หน้าที่ต่างๆ การพิจารณาการเปลี่ยนแปลงของผลิตภัณฑ์ในระหว่างการเก็บรักษา จะช่วยให้ สามารถกำหนดอายุการเก็บรักษาผลิตภัณฑ์อาหารได้ อายุการเก็บรักษาผลิตภัณฑ์คือ ระยะเวลา ที่ผลิตภัณฑ์อาหารยังคงสภาพเดิมและมีความปลอดภัยต่อการบริโภคภายใต้สภาวะการเก็บรักษา ที่เหมาะสม (Vankerschaver และคณะ, 1996) โดยทั่วไปแล้วผู้บริโภคจะนิยมใช้ลักษณะภายนอก ของผลิตภัณฑ์ เช่น สี ลักษณะเนื้อสัมผัส การเกิดการแยกตัวกันของอาหาร หรือ กลิ่น ในการ ประเมินคุณภาพของผลิตภัณฑ์ แต่ลักษณะภายนอกเหล่านี้ไม่สามารถบ่งบอกถึงคุณภาพทาง จุลทรรศน์ค่าทางเคมีของผลิตภัณฑ์ได้ (Lopez-Duarte และ Vidal-Quintanar, 2009) การศึกษาอายุการเก็บรักษาของผลิตภัณฑ์จึงมีความสำคัญที่จะช่วยยืนยันถึง ความปลอดภัยของผลิตภัณฑ์ คุณภาพทางประสาทสัมผัส และคุณค่าทางเคมีของการที่ยังคงอยู่ใน ผลิตภัณฑ์เหล่านั้นก่อนที่จะเกิดการเสื่อมเสีย

อายุการเก็บรักษาของผลิตภัณฑ์แต่ละชนิดจะแตกต่างกัน ขึ้นอยู่กับ องค์ประกอบใน ผลิตภัณฑ์ การเปลี่ยนแปลงทางเคมี และ การเปลี่ยนแปลงทางชีวภาพที่เกิดขึ้นในผลิตภัณฑ์ใน

ระหว่างการแปรรูป และการเก็บรักษา รวมถึงปริมาณความชื้น และ อุณหภูมิในการเก็บรักษา ผลิตภัณฑ์ด้วย เนื่องจากอาหารสดส่วนใหญ่จะมีอยู่ในการเก็บรักษาน้อยกว่าอาหารที่ผ่านกระบวนการแปรรูป เช่น การแช่แข็ง การทำให้เข้มข้น และ การทำให้แห้ง เป็นต้น กระบวนการเหล่านี้มีวัตถุประสงค์เพื่อลดปริมาณน้ำอิสระที่มีอยู่ในอาหาร จึงสามารถลดอัตรา การเจริญของ จุลินทรีย์ และ อัตราการเกิดปฏิกิริยาเคมีต่างๆ ผลิตภัณฑ์อาหารเหล่านี้จึงมีอายุการเก็บรักษาที่ ยาวนาน นอกจากกระบวนการการทำแห้งต่างๆ ที่ได้กล่าวข้างต้น การเลือกบรรจุภัณฑ์ที่เหมาะสม ก็ เป็นปัจจัยสำคัญที่จะช่วยยืดอายุการเก็บรักษาผลิตภัณฑ์ให้ยาวนานขึ้นโดยบรรจุภัณฑ์จะทำ หน้าที่สมมูลเป็นกำแพงในการป้องกันผลิตภัณฑ์อาหารจากสภาวะภายนอก (Cruz, Faria และ Van Dender, 2007) ดังนั้นบรรจุภัณฑ์จึงไม่ใช่เพียงแค่บรรจุผลิตภัณฑ์อาหาร แต่ควรจะป้องกัน และ เสริมคุณค่าให้กับผลิตภัณฑ์อาหารได้ (Roberston, 1993)

ในปัจจุบันมีการพัฒนาชนิดของบรรจุภัณฑ์ต่างๆ ในหลายรูปแบบโดยบรรจุภัณฑ์ ส่วนใหญ่จะผ่านกระบวนการลามิเนต (laminate) ซึ่งเป็นการเคลือบติดพิล์มพลาสติกหลายชั้น เข้าด้วยกันโดยเป็นพิล์มแผ่นเดียวหรือ เป็นการเคลือบพิล์มพลาสติกเข้ากับวัสดุอื่น เช่น กระดาษ หรือ ฟอยด์โลหะ เป็นต้น ทั้งนี้เพื่อเป็นการเพิ่มความคงทนให้กับบรรจุภัณฑ์ และสามารถ ป้องกันการซึมผ่านของแก๊ส ความชื้น หรือ สารเคมีจากภายนอกเข้าสู่ผลิตภัณฑ์ บรรจุภัณฑ์แต่ละ ชนิด จะเหมาะสมต่อการนำไปใช้ในผลิตภัณฑ์อาหารที่แตกต่างกัน สำหรับงานวิจัยนี้จะใช้บรรจุภัณฑ์ชนิด aluminium foil ใน การเก็บรักษาผลิตภัณฑ์ผงโปรตีนไอกetoile เพื่อพิจารณา การเปลี่ยนแปลงที่เกิดขึ้นในระหว่างการเก็บรักษา โดย aluminium foil มีคุณสมบัติในการป้องกัน การซึมผ่านของก๊าซ น้ำ กลิ่น น้ำมัน และแสง ได้ดี ทำให้สามารถป้องและถนอมผลิตภัณฑ์ที่ บรรจุอยู่ภายในได้ยาวนานกว่าพิล์มนิคื่นๆ (Jena และ Das, 2012) อุณหภูมิเนี่ยมฟอยด์ สามารถ ใช้เป็นบรรจุภัณฑ์สำหรับ อาหารและยาที่ต้องการคงคุณค่าของสมบัติต่างๆ ภายใต้ผลิตภัณฑ์

บทที่ 3
อุปกรณ์และขั้นตอนวิธีดำเนินงานวิจัย

วัตถุดิบ

โครงปลาโนล ได้มาจากปลาโนลคุณภาพดี มีน้ำหนักต่อตัวมากกว่า 800 กรัม ซึ่งผ่านการแล่เนื้อปลาออกเหลา จากบริษัท ทิพย์วนชัยซีฟู้ด จำกัด จังหวัดชลบุรี

โครงปลากระเพง ได้มาจากปลากระเพงคุณภาพดี มีน้ำหนักต่อตัว ประมาณ 400 – 800 กรัม ได้รับความอนุเคราะห์จาก มูลนิธิชัยพัฒนา ปลากระเพงที่ได้มานั้น เป็นปลากระเพงทั้งตัว จึงต้องนำมาแล่เนื้อออก ก่อนที่จะนำมาใช้เป็นวัตถุดิบสำหรับงานวิจัย

เคนไซเม Flavourzyme[®] 1000 L ได้รับความอนุเคราะห์จากบริษัท Brenntag Ingredients (Thailand) Public Co.,Ltd.

ครุภัณฑ์

ครุภัณฑ์	รุ่นที่ผลิต	ตราสินค้า/ประเทศผู้ผลิต
- UV- spectrophotometer	Genesys 10 UV	Thermospectral / U.S.A.
- Vortex	VTX-3000L	UZUSIO / Japan
- เครื่องบด(mincer)	KM 800	Kenwood / England
- Water bath shaker	GFL 1092	GFL / Singapore
- pH meter	Cyberscan 1000	Singapore
- Freezer -20°C	SF-C95	Sanyo / Japan
- Centrifuge	Rotanta 460R	Hettich / U.K.
- Oven	model 600	Memmert / Germany
- Soxhlet system	EV-16	Gerhardt / U.S.A.
- Kjeldahl system		
- Digestion unit	K - 424	BuCHI / Switzerland
- Scrubber unit	B - 141	BuCHI / Switzerland
- Distillation unit	B- 324	BuCHI / Switzerland
- Rotary evaporator	Aspirator A-35	EYELA / Japan
- Furnace	CWF 1200	Carbolite / England
- Spray dryer	B-290	BuCHI / Switzerland

- เครื่องชั่งน้ำหนัก 4 ตำแหน่ง BP 2105 Sartorius / Germany
- เครื่องวัดสี CR 300 series Minolta / Japan

เคมีภัณฑ์

สำหรับวิเคราะห์ proximate analysis

วิเคราะห์โปรตีน(Kjeldahl method)

- Selenium and Copper catalyst Merck A.R. grade
- Sulfuric acid QReC A.R. grade
- Sodium hydroxide Rankem A.R. grade
- Boric acid QReC A.R. grade
- Methyl red QReC A.R. grade
- Bromocresol green QReC A.R. grade
- Hydrochloric acid QReC A.R. grade

วิเคราะห์ไขมัน

- Petroleum ether QReC A.R. grade

วิเคราะห์เยื่อไผ่

- Sulfuric acid QReC A.R. grade
- Sodium hydroxide Rankem A.R. grade
- Hydrochloric acid QReC A.R. grade
- Ethanol QReC A.R. grade

สำหรับผลิตโปรตีนไฮโดรไลเซท

- Flavourzyme® 1000 L Novozyme® A.R. grade
- Sodium hydroxide Rankem A.R. grade

สำหรับวิเคราะห์ระดับการย่อยสลายโปรตีน (Degree of hydrolysis : DH)

- Disodium tetraborate decahydrate UNIVAR A.R. grade

- Sodium dodecyl sulfate	Ajax finechem	A.R. grade
- o-Phthaldialdehyde	Fluka	A.R. grade
- Ethanol	QReC	A.R. grade
- Dithiothreitol	Fluka	A.R. grade
- Serine	Fisher Scientific	A.R. grade

สำหรับวิเคราะห์ความสามารถในการเป็นสารต้านอนุมูลอิสระ

สำหรับวิธี DPPH

- DPPH	Fluka	A.R. grade
- Absolute ethanol	QReC	A.R. grade
- BHA (Butylate hydroxyanisole)	ACROS ORGANICS	A.R. grade

สำหรับวิธี Metal chelating activity

- Ferrous chloride	QReC	A.R. grade
- Ferrozine	QReC	A.R. grade
(3-(2-pyridyl)-5,6-bis(4-phenyl-sulfonic acid)-1,2,4-triazine)		

สำหรับวิธี TBA

- Soy bean oil		
- Absolute ethanol	QReC	A.R. grade
- Sodium dihydrogen phosphate	QReC	A.R. grade
- Disodium hydrogen phosphate	QReC	A.R. grade
- Sodium dodecyl sulfate	Ajax finechem	A.R. grade
- Glacial acetic acid	QReC	A.R. grade
- Sodium hydroxide	Rankem	A.R. grade
- TBA (Thiobarbituric acid)	Fluka	A.R. grade
- α -Tocopherol	Sigma	A.R. grade
- BHA (Butylate hydroxyanisole)	ACROS ORGANICS	A.R. grade

สำหรับวิเคราะห์ความสามารถในการเป็นสารยับยั้งการทำงานของ ACE (ACE-inhibitor)

- Angiotensin I converting enzyme	Sigma	A.R. grade
- Hippuryl-L-histidyl-L-leucine	Sigma	A.R. grade
- Hydrochloric acid	Ajax finechem	A.R. grade
- Ethyl acetate	QReC	A.R. grade
- Captopril [®]	Fluka	A.R. grade

สำหรับกระบวนการทำแห้ง

- Maltodextrin (10% DE) จากบริษัท เบอร์ลี่ ยุคเกอร์ สเปเชียลตี้ส์ Food grade

ขั้นตอนและวิธีการดำเนินงานวิจัย

3.1 การวิเคราะห์องค์ประกอบทางเคมีของโครงปลาโนลและโครงปลาภะพงก่อนการย้อมสลาย

ในการวิเคราะห์คุณภาพทางเคมีของโครงปลาโนล และ โครงปลาภะพง ก่อนการย้อมสลาย จะใช้โครงปลาโนล หรือโครงปลาภะพงซึ่งเก็บรักษาที่อุณหภูมิ -20 °C และผ่านการบดด้วยเครื่องบด (Kenwood KM 800) โดยจะวิเคราะห์ปริมาณความชื้น โปรตีน ไขมัน เยื่อใย และ เถ้าที่ เป็นองค์ประกอบในโครงปลาโนล และ โครงปลาภะพงเริ่มต้น (ภาคผนวก ค.) โดยอ้างอิงวิธีวิเคราะห์จาก AOAC (2000)

3.2 การผลิตโปรตีนไอกोไดร์ไลเซทจากโครงปลาโนล และโครงปลาภะพง

บดโครงปลาโนล ด้วยเครื่องบด (Kenwood KM 800) แบ่งตัวอย่าง 5 กรัม ผสมน้ำกลั้น 50 มิลลิลิตร โดยแปรความเข้มข้นของเอนไซม์ Flavourzyme[®] 1000 L เป็น 0, 1, 2 และ 3 เปอร์เซ็นต์ ต่อน้ำหนักตัวอย่าง ที่อุณหภูมิ 50 °C pH 7 เขย่าที่ความเร็ว 150 รอบต่อนาที เป็นเวลา 0, 1, 2 และ 3 ชั่วโมง ตามลำดับ จากนั้นยับยั้งการทำงานของเอนไซม์ Flavourzyme[®] 1000 L ที่อุณหภูมิ 75 °C เป็นเวลา 10 นาที ทำให้เย็นลงทันที และนำไปปั่นให้ละเอียดก่อนที่อุณหภูมิ 4 °C ความเร็ว 8500 รอบต่อนาที เก็บสารละลายส่วนใสที่อุณหภูมิ -20 °C จนกราฟทั้งหมดนำไปใช้วิเคราะห์ในส่วนต่อไป ดำเนินการทดลองผลิตโปรตีนไอกอไดร์ไลเซทจากโครงปลาภะพง เช่นเดียวกับในกรณีของโครงปลาโนล คัดเลือกสภาวะที่เหมาะสมต่อการผลิตโปรตีนไอกอไดร์ไลเซทจากโครงปลาโนล และโครงปลา

กะพง โดยพิจารณาจากความสามารถในการเป็นสารต้านอนุมูลอิสระและความสามารถในการยับยั้งการทำงานของ ACE (ซึ่งจะกล่าวถึงในหัวข้อต่อไป) โดยวิเคราะห์ผลการทดลองทางสถิติ ที่ระดับความเชื่อมั่น 95 เปอร์เซ็นต์และทดสอบความแตกต่างของค่าเฉลี่ย โดยใช้ Duncan's new multiple range test ทดลอง 3 ชุด

3.2.1 การวิเคราะห์ปริมาณโปรตีนที่เป็นองค์ประกอบในโปรตีนไอก็อดร์ไลเซท วิเคราะห์ปริมาณโปรตีนที่เป็นองค์ประกอบในผลิตภัณฑ์โปรตีนไอก็อดร์ไลเซทจากโครง ปานิช และปลากระพงด้วยวิธี Kjeldahl (AOAC, 2000) ทดลอง 3 ชุด

3.2.2 การวิเคราะห์ระดับการย่อยสลายโปรตีน (Degree of hydrolysis) (Nielsen, Peterson และ Dambmann 2001)

เตรียมสารละลาย o-phthaldialdehyde (OPA reagent) ด้วยการผสม di-sodium tetraborate decahydrate 7.620 กรัม และ sodium dodecyl sulfate 200 มิลลิกรัม ละลายในน้ำ deionized (DI) 150 มิลลิลิตร จนกระทั่งสารเคมีละลายหมด จากนั้นผสม dithiothreitol (DTT) 99 เปอร์เซ็นต์ บริมาณ 0.176 กรัม และสารละลาย OPA (ละลาย OPA 0.160 กรัม ใน ethanol 4 มิลลิลิตร) ปรับปริมาตรด้วยน้ำ deionized จนเป็น 200 มิลลิลิตร และปีเปตต์ใส่หลอดทดลอง หลอดละ 3 มิลลิลิตร และเติมสารละลายมาตราฐาน serine 0.050 กรัม ในน้ำ deionized 500 มิลลิลิตร

ชั่งน้ำหนักตัวอย่างที่แน่นอน 4 กรัม ละลายในน้ำ deionized 100 มิลลิลิตร ปีเปตต์สารละลาย 400 ไมโครลิตร ใส่ในหลอด OPA reagent เขย่าด้วย vortex เป็นเวลา 5 วินาที ตั้งทิ้งไว้ 2 นาที และวัดค่าการดูดกลืนแสงที่ความยาวคลื่น 340 นาโนเมตร จากนั้นคำนวณค่า degree of hydrolysis ดังนี้

$$\text{Serine-NH}_2 = \frac{\text{OD}_{\text{sample}} - \text{OD}_{\text{blank}}}{\text{OD}_{\text{standard}} - \text{OD}_{\text{blank}}} \times 0.9516 \times \frac{0.1 \times 100}{X \times P}$$

เมื่อ	Serine-NH ₂	=	meqv serine NH ₂ / g protein
X		คือ	น้ำหนักตัวอย่าง (กรัม)
P		คือ	เปอร์เซ็นต์โปรตีนของตัวอย่าง

0.1 คือ ปริมาตรของตัวอย่าง (ลิตร)

$$h = (\text{Serine-NH}_2 - \beta) / \alpha \text{ meqv/g protein}$$

เมื่อค่า $\alpha = 1.00$, $\beta = 0.40$ และ $h_{tot} = 8.6$ (ภาคผนวก ๘)

$$\text{Degree of hydrolysis} = \frac{h}{h_{\text{tot}}} \times 100$$

3.3 การวิเคราะห์ความสามารถในการเป็นสารต้านอนุมูลอิสระของปรดีน-ไไซโคโรไลเซท

3.3.1 ความสามารถในการเป็นสารต้านอนุมูลอิสระ โดยวิธี DPPH

(Yang และคณะ, 2009)

เตรียมสารละลายน้ำ DPPH (ละลายน้ำ DPPH 0.0098 กรัม ใน Absolute ethanol 250 มิลลิลิตร) ปีเปต์สารละลายน้ำ DPPH ใส่หลอดทดลอง หลอดละ 2.5 มิลลิลิตร ผสมกับโปรตีนไซโตรไรซ์จากโครงปลาโนล หรือ โครงปลาภะพง ปริมาณ 1.5 มิลลิลิตร (มีปริมาณโปรตีนเท่ากับ 3 มิลลิกรัมต่อมิลลิลิตร) เขย่าด้วย vortex 10 วินาที และตั้งทิ้งไว้ในที่มืด เป็นเวลา 30 นาที จากนั้นวัดค่าการดูดกลืนแสงที่ความยาวคลื่น 517 นาโนเมตร ใช้สารละลายน้ำ BHA ความเข้มข้น 10 ppm เป็นสารละลายน้ำเบรี่บเทียบ ทดลอง 3 ตัว และคำนวนค่า % DPPH radical scavenging ดังนี้

% DPPH radical scavenging = A517 control – A 517 sample

A 517 control

เมื่อ A 517 control

คือ ค่าการลดกลืนแสงของสารละลายน้ำควบคุม

ชั้นใช้น้ำกกลิ้น ในปริมาตรเท่ากันแทนที่ตัวอป่าง

A 517 sample

គីឡូ គោករាជ្យុកលិនសេងខែងព័ត៌មាន

3.3.2 ความสามารถในการเป็นสารต้านอนุมูลอิสระ โดยวิธี metal chelating activity (Klompong และคณะ, 2007)

การวัดความสามารถในการเป็นสารต้านอนุมูลอิสระ โดยวิธี metal chelating activity นั้น ดัดแปลงจากวิธีของ Klompong และคณะ (2007) โดยผสมน้ำกลัน 4.7 มิลลิลิตร และตัวอย่าง 1 มิลลิลิตร (กำหนดปริมาณโปรตีนเท่ากับ 3 มิลลิกรัมต่อมิลลิลิตร) ลงในหลอดทดลอง เขย่าให้เข้ากันด้วย vortex 10 วินาที จากนั้นผสมสารละลาย ferrous chloride (FeCl_2) ความเข้มข้น 2 มิลลิโมลาร์ ปริมาตร 0.1 มิลลิลิตร และสารละลาย 3-(2-pyridyl)-5,6-bis(4-phenyl-sulfonic acid)-1,2,4-triazine ความเข้มข้น 5 มิลลิโมลาร์ ปริมาตร 0.2 มิลลิลิตร และเขย่าด้วย vortex อีกครั้งเป็นเวลา 10 วินาที ตั้งทิ้งไว้ในที่มีด 20 นาที และวัดค่าการดูดกลืนแสงของสารละลายที่ความยาวคลื่น 562 นาโนเมตร ทดลอง 3 ชั้้า และคำนวณ % metal chelating activity ดังนี้

$$\% \text{ metal chelating activity} = \frac{\text{A562 control} - \text{A 562 sample}}{\text{A 562 control}}$$

เมื่อ A 562 control	คือ ค่าการดูดกลืนแสงของสารละลายควบคุม ซึ่งใช้น้ำกลัน ในปริมาตรเท่ากันแทนที่ตัวอย่าง
A 562 sample	คือ ค่าการดูดกลืนแสงของตัวอย่าง

3.3.3 สมบัติในการเป็นสารต้านอนุมูลอิสระของระบบที่มีไขมันเป็นองค์ประกอบ วิเคราะห์การเกิด lipid peroxidation ด้วยการทดสอบกับ TBA (Jeon, Byun และ Kim, 1999)

ผสมน้ำมันถั่วเหลือง ปริมาตร 0.2 มิลลิลิตร ในสารละลาย absolute ethanol ปริมาตร 10 มิลลิลิตร และสารละลาย phosphate buffer pH 7 ปริมาตร 10 มิลลิลิตร และเติมตัวอย่างปริมาตร 1 มิลลิลิตร (กำหนดปริมาณโปรตีนเท่ากับ 0.3 มิลลิกรัมต่อมิลลิลิตร) ลงในสารผสม และ

เยี่ย่าให้เข้ากันด้วย vortex เป็นเวลา 10 วินาที จากนั้นเติมน้ำกลันจนได้ปริมาตร 25 มิลลิลิตร บ่มสารละลายผสมที่อุณหภูมิ 45°C เป็นเวลา 7 วัน

เตรียม TBA reagent โดยผสมน้ำกลัน 0.8 มิลลิลิตร เข้ากับสารละลายโซเดียมโคเดซิลชัลเพต ความเข้มข้น 8.1 เปอร์เซ็นต์ ปริมาตร 0.2 มิลลิลิตร และสารละลายกรดอะซิติก 20 เปอร์เซ็นต์ ปริมาตร 1.5 มิลลิลิตร แล้วปรับ pH เป็น 3.5 ด้วยสารละลายโซเดียมไฮดรอกไซด์ ความเข้มข้น 10 นาโนมอล จากนั้นเติมสารละลาย TBA ความเข้มข้น 0.8 เปอร์เซ็นต์ ปริมาตร 1.5 มิลลิลิตร เยี่ย่าให้เข้ากันด้วย vortex เป็นเวลา 10 วินาที จากนั้น ปีเปตต์สารผสมของน้ำมันถั่วเหลือง และตัวอย่าง ปริมาตร 50 ไมโครลิตร ลงใน TBA reagent บ่มที่อุณหภูมิ 4°C เป็นเวลา 1 ชั่วโมง และบ่มต่อที่อุณหภูมิ 100°C เป็นเวลา 1 ชั่วโมง แล้ววัดค่าการดูดกลืนแสงของสารละลายที่ความยาวคลื่น 535 นาโนเมตร ใช้สารละลาย BHA ความเข้มข้น 10 ppm และสารละลาย α -tocopherol ความเข้มข้น 0.1 มิลลิโมลาร์ เป็นสารละลายเบรียบเทียบ ทดลอง 3 ชั้น และคำนวณ % TBA activity ratio ดังนี้

$$\% \text{ TBA activity ratio} = \frac{\text{A535 control} - \text{A 535 sample}}{\text{A 535 control}}$$

เมื่อ A 535 control คือ ค่าการดูดกลืนแสงของสารละลายควบคุม ซึ่งใช้น้ำกลัน ในปริมาตรเท่ากันแทนที่ตัวอย่าง A 535 sample คือ ค่าการดูดกลืนแสงของตัวอย่าง

3.4 การวิเคราะห์ความสามารถในการเป็นสารขับยักษ์การทำงานของACE

(Crushman และ Cheung, 1971)

ผสมตัวอย่าง ปริมาตร 50 ไมโครลิตร (มีปริมาณโปรตีน 0.006 ไมโครกรัมต่อไมโครลิตร) เข้ากับ Angiotensin I converting enzyme (25 munit / ml) ปริมาตร 50 ไมโครลิตร ลงในหลอดทดลอง夷ี่าให้เข้ากัน แล้วบ่มที่อุณหภูมิ 37°C เป็นเวลา 10 นาที จากนั้นนำออกมารเติมสารละลาย hippuryl-L-histidyl-leucine ความเข้มข้น 8.3 มิลลิโมลาร์ (ในสารละลาย sodium-borate buffer pH 8.3) ปริมาตร 150 ไมโครลิตร夷ี่าให้เข้ากัน แล้วบ่มที่อุณหภูมิ 37°C

เป็นเวลา 30 นาที และหยุดปฏิกิริยาด้วยการเติมสารละลาย hydrochloric acid ความเข้มข้น 1 มोลาร์ ปริมาตร 250 ไมโครลิตร แล้วเติมสารละลาย ethyl acetate ปริมาตร 0.5 มิลลิลิตร เขย่าสารละลายด้วย vortex เป็นเวลา 10 วินาที จากนั้นนำไปปั่นให้ยังคงตัวก่อนที่ความเร็ว 5000 รอบต่อนาที ปีเปต์เจพะสารละลายส่วนใสด้านบน ปริมาตร 0.2 มิลลิลิตร ลงในหลอดทดลอง แล้วนำไปอบ vacum dryer เพื่อระเหยสารละลาย ethyl acetate ที่อยู่ในหลอดทดลอง 2 ชั่วโมง จากนั้นปีเปต์น้ำกลัน ปริมาตร 1 มิลลิลิตร ลงในหลอดทดลอง และนำไปอบในเคราเวชค่าการดูดกลืนแสงของสารที่ความยาวคลื่น 228 นาโนเมตร ใช้สารละลาย captopril[®] ความเข้มข้น 0.1 มิลลิมอลาร์ เป็นสารเปรียบเทียบ ทดลอง 3 ชั้้า และคำนวณ % ACE inhibition ดังนี้

$$\% \text{ ACE inhibition} = \frac{\text{A 228 control} - \text{A 228 sample}}{\text{A 228 control}}$$

เมื่อ A 228 control คือ ค่าการดูดกลืนแสงของสารละลายควบคุม ซึ่งใช้

น้ำกลัน ในปริมาตรเท่ากันแทนที่ตัวอย่าง

A 228 sample คือ ค่าการดูดกลืนแสงของตัวอย่าง

3.5 การวิเคราะห์ชนิดและปริมาณกรดอะมิโนที่เป็นองค์ประกอบในโปรตีน

ไฮโดรไลเซษาจากโครงปลาโนล และโครงปลาภะพงที่ถูกตัดเลือก

วิเคราะห์ชนิด และปริมาณกรดอะมิโนที่เป็นองค์ประกอบในโปรตีนไฮโดรไลเซษาจากโครงปลาโนล และโครงปลาภะพงด้วยเทคนิค high performance liquid chromatography (HPLC) ตามวิธี inhouse method base on Journal of Chromatography A (2002), 961: 9-21 (ภาคผนวกที่ ค 5)

3.6 การวิเคราะห์ขนาดของเปปไทด์ที่เป็นองค์ประกอบในโปรตีนไฮโดรไลเซทจากโครงปลาโนล และโครงปลาภะพงที่ถูกคัดเลือก

วิเคราะห์ขนาดของเปปไทด์ที่เป็นองค์ประกอบในโปรตีนไฮโดรไลเซทจากโครงปลาโนล และโครงปลาภะพงด้วยเทคนิค Matrix assisted laser desorption/ ionization (MALDI-tof) ตามวิธีของ Boontha และคณะ (2008) (ภาคผนวกที่ ค 6)

3.7 การผลิตผงโปรตีนไฮโดรไลเซทด้วยกระบวนการทำแห้งแบบพ่นกระเจา

(Abdul-Hamid, Bakar และ Bee, 2002)

ละลายผงมอลトイเดร็กซ์ทริน (10% DE) 88 กรัม ลงในโปรตีนไฮโดรไลเซท (จากส่วน率ที่ถูกคัดเลือก 4 ส่วน ซึ่งได้ก่อตัวไว้ในหัวข้อ 3.2) ปริมาตร 800 มิลลิลิตร แล้วป้อนเข้าสู่เครื่องทำแห้งแบบพ่นกระเจา (BuCHI Mini Spray Dryer B290) อัตราเร็ว 7 มิลลิลิตร ต่อนาที (30% feed rate) ใช้อุณหภูมิลมร้อนขาเข้า 150°C อุณหภูมิลมร้อนขาออกอยู่ในช่วง 80-100°C จากนั้นคำนวณ % yield ของผงโปรตีนไฮโดรไลเซท ดังนี้

$$\% \text{ yield} = \frac{\text{น้ำหนักตัวอย่างสุดท้าย}}{\text{น้ำหนักตัวอย่างเริ่มต้น}} \times 100$$

3.8 การติดตามการเปลี่ยนแปลงสมบัติในการเป็นสารต้านอนุมูลอิสระ และความสามารถในการเป็นสารยับยั้งการทำงานของ ACE ของผงโปรตีนไฮโดรไลเซท

วิเคราะห์การเปลี่ยนแปลงความสามารถในการเป็นสารต้านอนุมูลอิสระ (วิเคราะห์โดยวิธี DPPH, metal chelating activity และ วิธี TBA) และความสามารถในการยับยั้งการทำงานของ ACE ของผงโปรตีนไฮโดรไลเซทจากโครงปลาโนล และโครงปลาภะพง ซึ่งบรรจุในถุง laminated aluminium foil ปิดสนิท ที่อุณหภูมิห้อง ทุกๆ 15 วัน เป็นระยะเวลา 90 วัน

บทที่ 4

ผลการทดลองและวิจารณ์ผลการทดลอง

การผลิตโปรตีนไอก็อโรไลเซทจากโครงปลาโนนิล และ โครงปลาภะพง สำหรับงานวิจัยนี้ ใช้เอนไซม์ Flavourzyme® 1000 L เพื่อย่อยสลายโปรตีนในโครงปลา โดยแบ่ง ปริมาณเอนไซม์ (0, 1, 2 และ 3 เปอร์เซ็นต์ต่อน้ำหนักตัวอย่าง) และ เวลาในการย่อย (0, 1, 2 และ 3 ชั่วโมง) เพื่อศึกษาสภาวะที่เหมาะสมต่อการนำผลิตภัณฑ์โปรตีนไอก็อโรไลเซทจากโครงปลาโนนิล และ โครงปลาภะพงไปใช้ประโยชน์ในด้านของการเป็นสารต้านอนุมูลอิสระ และ ยับยั้งการทำงานของ ACE ในภาระงานผลการทดลองนั้น จากรายงานในส่วนของโปรตีนไอก็อโรไลเซทจากโครงปลาโนนิลเป็นอันดับแรก และจึงตามด้วยผลการทดลองในส่วนของโปรตีนไอก็อโรไลเซทจากโครงปลาภะพง โดยจะเริ่มรายงานจากการพิจารณาองค์ประกอบทางเคมีเริ่มต้นของโครงปลาโนนิล ที่นำมาใช้เป็นแหล่งของโปรตีนตั้งต้นเพื่อผลิตโปรตีนไอก็อโรไลเซท

4.1 การวิเคราะห์องค์ประกอบทางเคมีของโครงปลาโนนิล ก่อนการย่อยสลาย

โครงปลาโนนิล ได้รับวัตถุดินในลักษณะโครงปลา ซึ่งเป็นส่วนที่เหลือจากการบดโดยได้รับความอนุเคราะห์จากบริษัท ทิพย์วันชัยซีฟู้ด จำกัด เริ่มต้นเตรียมโปรตีนไอก็อโรไลเซทด้วยการบดโครงปลาโนนิลด้วยเครื่องบด (Kenwood KM 800) โครงปลาโนนิลที่ได้ จะมีลักษณะเหลว และประกอบด้วยกระดูกขนาดเล็ก จากนั้นจะวิเคราะห์องค์ประกอบทางเคมีของโครงปลาโนนิลก่อนการย่อยสลาย เพื่อเป็นการพิจารณาคุณภาพของวัตถุดินเริ่มต้น โดยจะวิเคราะห์ ความชื้น โปรตีนไอก็อโรไลเซท และเกาที่เป็นองค์ประกอบในโครงปลาโนนิล ผลการวิเคราะห์องค์ประกอบทางเคมีของโครงปลาโนนิลเริ่มต้น แสดงในตารางที่ 4.1

ตารางที่ 4.1 องค์ประกอบทางเคมีของโครงปานิล

องค์ประกอบทางเคมี	โครงปานิล (เปอร์เซ็นต์)	
	น้ำหนักเปียก	น้ำหนักแห้ง
ความชื้น	65.34	-
โปรตีน	17.52	50.55
ไขมัน	10.61	30.61
คาร์บอไฮเดรต	1.24	3.58
เก้า	5.29	15.26

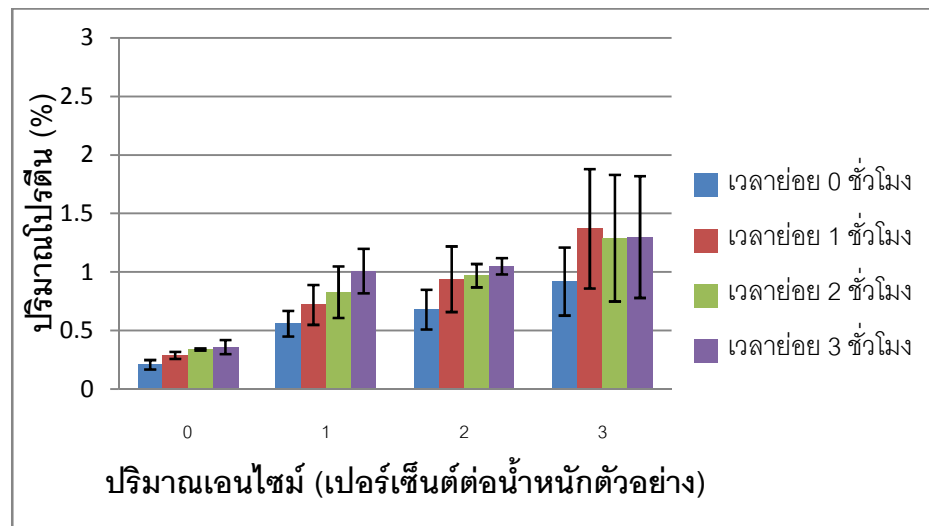
จากตารางที่ 4.1 โครงปานิลมีองค์ประกอบทางเคมี คือ ความชื้น 65.34 เปอร์เซ็นต์ (โดยน้ำหนักเปียก) มีโปรตีน ไขมัน คาร์บอไฮเดรต และเก้า เท่ากับ 50.55, 30.61, 3.58 และ 15.26 เปอร์เซ็นต์ (โดยน้ำหนักแห้ง) ตามลำดับ องค์ประกอบทางเคมีที่วิเคราะห์ได้นี้มีค่าใกล้เคียงกับ องค์ประกอบทางเคมีของโครงปานิล (*Oreochromis niloticus*) ซึ่ง เลิศชัย พัฒนวิจิตรา (2548) รายงานว่ามีความชื้นเป็นองค์ประกอบ 63.60 เปอร์เซ็นต์ (โดยน้ำหนักเปียก) มีโปรตีน ไขมัน และ เก้า เท่ากับ 34.62, 47.18 และ 12.45 เปอร์เซ็นต์ (โดยน้ำหนักแห้ง) ตามลำดับ ในขณะที่เมื่อ เปรียบเทียบกับองค์ประกอบทางเคมีของเนื้อปานิลสด ซึ่งมีปริมาณโปรตีน ไขมัน และเก้า เท่ากับ 67.7, 16.8 และ 10.8 เปอร์เซ็นต์ (โดยน้ำหนักแห้ง) ตามลำดับ (Steiner-Asiedu, Julshamn และ Lie, 1990) จะพบว่า โครงปานิลมีโปรตีนเป็นองค์ประกอบในปริมาณที่น้อยกว่าปริมาณโปรตีน ในเนื้อปานิลสด แต่มีปริมาณไขมัน และ เก้า เป็นองค์ประกอบมากกว่าที่พบในเนื้อปานิลสด เนื่องจากองค์ประกอบของโครงสร้างส่วนใหญ่ คือ โครงกระดูก ซึ่งประกอบด้วยแร่ธาตุ เช่น แคลเซียม เป็นต้น เป็นองค์ประกอบ (Wu, Stine และ Bechtel, 2011) ดังนั้นปริมาณเก้าที่ วิเคราะห์ได้จากโครงปานิลจะสูงกว่าที่พบในเนื้อปานิลสด นอกจากนี้ส่วนของเนื้อเยื่อเกี่ยวกับ ซึ่งเป็นองค์ประกอบของโครงปานิล ก็ส่งผลต่อการวิเคราะห์ปริมาณไขมันได้ เนื่องจากเนื้อเยื่อ เกี่ยวกับเหล่านี้จะมีเนื้อเยื่อไขมัน (adipose tissue) เป็นองค์ประกอบในปริมาณมาก

4.2 การผลิตโปรตีนไอก็อดร่าไลเซทจากโครงปลานิล

การเตรียมโปรตีนไอก็อดร่าไลเซทจากโครงปลานิล สำหรับงานวิจัยนี้จะใช้ Flavourzyme[®] 1000 L เป็นเอนไซม์ในการย่อยสลาย โดยแบรนด์มานเอนไซม์ และ ระยะเวลาในการย่อยสลาย เป็น 0, 1, 2 และ 3 เบอร์เซ็นต์(ต่อน้ำหนักตัวอย่าง) บ่มที่อุณหภูมิ 50°C pH 7 เขย่าที่ความเร็ว 150 รอบต่อนาที เป็นเวลา 0, 1, 2 และ 3 ชั่วโมง จากนั้นหยุดการทำงานของเอนไซม์ที่อุณหภูมิ 75 °C เป็นเวลา 10 นาที นำไปปั่นให้วิ่งตกรากอนที่อุณหภูมิ 4°C ความเร็ว 8500 รอบต่อนาที เป็นเวลา 25 นาที เก็บเฉพาะสารละลายส่วนใส่ไปเคราะห์ระดับการย่อยสลายโปรตีน (degree of hydrolysis : DH) และ ปริมาณโปรตีนที่เป็นองค์ประกอบในโปรตีนไอก็อดร่าไลเซทจากโครงปลานิล

4.2.1 การวิเคราะห์ปริมาณโปรตีนในโปรตีนไอก็อดร่าไลเซทจากโครงปลานิล

โปรตีนไอก็อดร่าไลเซทที่ผ่านการวิเคราะห์ระดับการย่อยสลายโปรตีนจะถูกนำมาวิเคราะห์ ปริมาณโปรตีนที่เป็นองค์ประกอบ โดยใช้วิธี Kjeldahl ซึ่งอาศัยหลักการวัดปริมาณไนโตรเจนที่เป็นองค์ประกอบในตัวอย่าง และเปลี่ยนเป็นปริมาณโปรตีนโดยใช้ conversion factor เท่ากับ 6.25 (Marco และคณะ, 2002) ผลการทดลองแสดงในรูปที่ 4.1 (ตารางภาคผนวกที่ ก.1) ซึ่งแสดงให้เห็นว่า สภาวะในการย่อยสลาย (ปริมาณเอนไซม์ และ เวลาในการย่อย) ส่งผลต่อการเพิ่มขึ้นของปริมาณโปรตีนที่เป็นองค์ประกอบในโปรตีนไอก็อดร่าไลเซทจากโครงปลานิล อย่างมีนัยสำคัญ ($p \leq 0.05$) โดยส่วนใหญ่ของโครงปลานิลบดเจือจางที่ได้ภายหลังจากการปั่นให้วิ่ง มีปริมาณโปรตีน เริ่มต้น 0.21 เบอร์เซ็นต์ และจะมีค่าเพิ่มขึ้นอย่างมีนัยสำคัญ ($p \leq 0.05$) เมื่อผ่านการย่อยสลาย ด้วยเอนไซม์ในปริมาณ 1 เบอร์เซ็นต์ต่อน้ำหนักตัวอย่างเป็นเวลา 2 ชั่วโมง และจะเพิ่มขึ้นจนกระทั่งมีค่าสูงที่สุด คือ 1.37 เบอร์เซ็นต์ เมื่อย่อยสลายโดยใช้ปริมาณเอนไซม์ 3 เบอร์เซ็นต์ต่อน้ำหนักตัวอย่างเป็นเวลา 1 ชั่วโมง จากนั้นปริมาณโปรตีนจะเริ่มมีค่าคงที่ ($p > 0.05$) เมื่อเพิ่มระยะเวลาในการย่อยให้ยาวนานขึ้น ซึ่งอาจเป็นผลมาจากการย่อยที่มากขึ้น ทำให้เอนไซม์สามารถย่อยสลายพันธะเปปไทด์ได้สมบูรณ์ จนกระทั่งสารตั้งต้นของเอนไซม์ถูกย่อยสลายจนหมด ทำให้ปริมาณโปรตีนซึ่งเป็นผลิตภัณฑ์ของปฏิกิริยาคงที่



รูปที่ 4.1 ปริมาณโปรตีนที่เป็นองค์ประกอบในโปรตีนไฮโดรไอลเซทจากโครงปานิล เมื่อย่อยสลายโดยใช้ปริมาณเอนไซม์ 0, 1, 2 และ 3 เปอร์เซ็นต์ต่อน้ำหนักตัวอย่าง และระยะเวลาในการย่อย 0, 1, 2 และ 3 ชั่วโมง

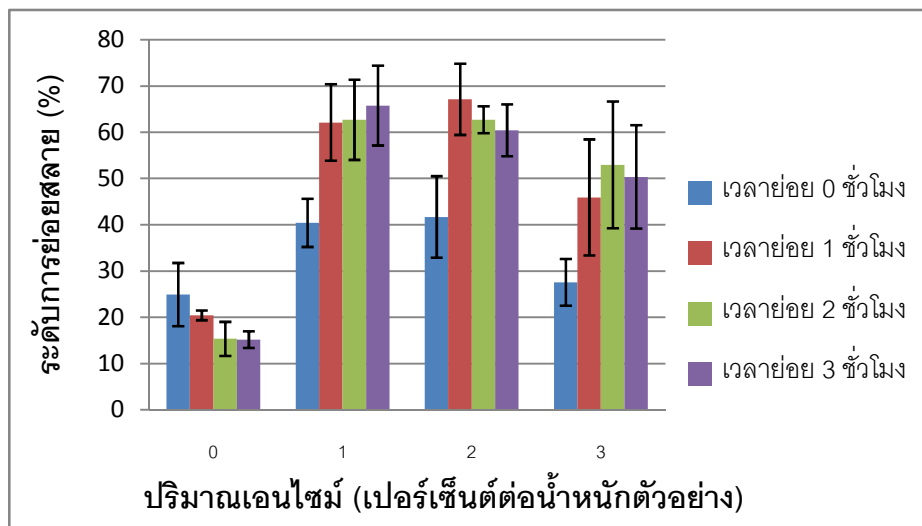
เมื่อพิจารณาปริมาณโปรตีนที่เป็นองค์ประกอบในโปรตีนไฮโดรไอลเซทจากโครงปานิล เปรียบเทียบกับปริมาณโปรตีนในโครงปานิลเริ่มต้น จะพบว่าปริมาณโปรตีนในโปรตีนไฮโดรไอลเซทจากโครงปานิลนั้น มีน้อยกว่าในโครงปานิลเริ่มต้น โดยเป็นผลมาจากการปีนส่วนใหญ่จะอยู่ในส่วนตะกอนโครงปานิล (residue) ภายหลังจากการป่นเหลว

4.2.2 การวิเคราะห์ระดับการย่อยสลายโปรตีน

การวิเคราะห์ระดับการย่อยสลายโปรตีนจะใช้วิธี OPA ซึ่งเป็นการทำปฏิกิริยาระหว่างสาร OPA และ primary amino group ในสภาพที่มีสาร dithiothreitol (DTT) เป็นองค์ประกอบ (Nielsen, Peterson และ Dambmann, 2001) วัดค่าการดูดกลืนแสงของสารที่เกิดขึ้นที่ความยาวคลื่น 340 นาโนเมตร และคำนวนระดับการย่อยสลายของโปรตีนในโปรตีนไฮโดรไอลเซทจากโครงปานิล ได้ผลการทดลองดังแสดงในรูปที่ 4.2 (ตารางภาคผนวกที่ ก.2)

ผลการทดลองแสดงให้เห็นว่า ส่วนใหญ่ของโครงปานิลบดเจือจาก (ไม่ผ่านการย่อยสลายด้วยเอนไซม์) ที่ได้ภายหลังการป่นเหลว ซึ่งใช้เป็นสารตั้งต้นสำหรับการเตรียมโปรตีนไฮโดรไอลเซทจากโครงปานิล มีระดับการย่อยสลายเริ่มต้น 24.90 เปอร์เซ็นต์ และจะมีค่าเพิ่มขึ้น

อย่างมีนัยสำคัญ ($p \leq 0.05$) เมื่อผ่านการย่อยสลายด้วยเอนไซม์ในปริมาณ 1 เปอร์เซ็นต์ต่อน้ำหนักตัวอย่าง โดยจะมีค่าสูงที่สุด คือ 67.10 เปอร์เซ็นต์ เมื่อย่อยสลายด้วยเอนไซม์ในปริมาณ 2 เปอร์เซ็นต์ต่อน้ำหนักตัวอย่าง เป็นเวลา 1 ชั่วโมง หลังจากนั้นระดับการย่อยสลายจะมีค่าคงที่ ($p > 0.05$) แม้จะเพิ่มปริมาณเอนไซม์ และเวลาในการย่อยให้มากขึ้น



รูปที่ 4.2 ระดับการย่อยสลายโปรตีนของโปรตีนไอก็อดราไลเซทจากโครงปลาโนล ที่ปริมาณเอนไซม์ 0, 1, 2 และ 3 เปอร์เซ็นต์ต่อน้ำหนักตัวอย่าง และระยะเวลาในการย่อยสลาย 0, 1, 2 และ 3 ชั่วโมง

เมื่อพิจารณาเฉพาะการเพิ่มขึ้นของปริมาณเอนไซม์ ที่เวลาในการย่อยเป็น 0 ชั่วโมง จะพบว่าการเพิ่มปริมาณเอนไซม์เพียงอย่างเดียว จะส่งผลต่อการเพิ่มขึ้นของระดับการย่อยสลาย โปรตีนในโปรตีนไอก็อดราไลเซทจากโครงปลาโนล เช่นเดียวกัน ทั้งนี้อาจเป็นผลเนื่องมาจากการกระบวนการผลิตโปรตีนไอก็อดราไลเซทจากงานวิจัยนี้ จะผสมโครงปลาโนลดเดือจาง ปริมาตร 50 มิลลิลิตร กับเอนไซม์ Flavourzyme[®] 1000 L ในภาชนะปูนพู่ และมีการยับยั้งการทำงานของเอนไซม์ ที่อุณหภูมิ 75 °C เป็นเวลา 10 นาที โดยการเพิ่มอุณหภูมิจาก 50 °C ถึง 75 °C จะใช้เวลาประมาณ 5 นาที จึงอาจส่งผลให้โปรตีนบางส่วนเกิดการย่อยสลายโดย proteolytic enzyme ในโครงปลาโนล และเอนไซม์ Flavourzyme[®] 1000 L ที่เติมลงไปก่อนที่เอนไซม์ Flavourzyme[®] 1000 L จะถูกยับยั้งการทำงาน จากการวิเคราะห์ผลการทดลองทางสถิติ (ตารางภาคผนวกที่ ข.2) สามารถกล่าวได้ว่า ปริมาณเอนไซม์และเวลาในการย่อยเป็นปัจจัยที่ส่งผลต่อการเพิ่มระดับการ

ย่อยสลายโปรตีน ซึ่งสอดคล้องกับผลการศึกษาการผลิตโปรตีนไอก็อโรไลเซทโดยผู้วิจัยอื่นๆ (ดวงใจ ลาภยืนยง, 2548; มัณฑร จันทร์เสนโจน์, 2550; Jamdar และคณะ, 2010) การวิเคราะห์ระดับการย่อยสลายโปรตีนด้วยวิธี OPA นั้นจะอาศัยการทำปฏิกิริยาระหว่างสาร OPA กับ primary amino group ซึ่งการเพิ่มปริมาณเอนไซม์ และเวลาในการย่อย จะทำให้ได้ผลิตภัณฑ์คือ กรดอะมิโน และเปปไทด์ขนาดเล็ก จึงสามารถทำปฏิกิริยากับสาร OPA ได้ดีขึ้น การที่ระดับการย่อยสลายโปรตีนของโปรตีนไอก็อโรไลเซทจากโครงปลานิล มีลักษณะเพิ่มขึ้นในช่วงแรก และเริ่มคงที่ในช่วงหลังของการย่อยสลายนั้น สามารถอธิบายได้โดยอาศัยพื้นฐานทางด้านการทำปฏิกิริยาระหว่างเอนไซม์และสารตั้งต้น คือ เมื่อสารตั้งต้นเริ่มหมดไป อัตราเร็วของปฏิกิริยาการย่อยสลายสารตั้งต้นด้วยเอนไซม์จะลดลงและคงที่ ทำให้อัตราการเกิดผลิตภัณฑ์ของปฏิกิริยาลดลงและคงที่ เช่นกัน ซึ่งผลการทดลองในส่วนนี้ สอดคล้องกับงานวิจัยของ Batista และคณะ (2010) ที่ผลิตโปรตีนไอก็อโรไลเซทจากปลา black scabbard ด้วยเอนไซม์ protamexTM โดยแปรความเข้มข้นของเอนไซม์เป็น 0.5, 1, 2 และ 4 เปอร์เซ็นต์ต่อน้ำหนักตัวอย่าง ย่อยสลายเป็นเวลา 2 ชั่วโมง วิเคราะห์ระดับการย่อยสลายโปรตีนด้วยวิธี OPA พบว่า โปรตีนไอก็อโรไลเซ�能ระดับการย่อยสลายน้อยที่สุด คือ 24 เปอร์เซ็นต์ โดยใช้เอนไซม์ protamexTM ปริมาณ 0.5 เปอร์เซ็นต์ และ ระดับการย่อยสลายจะมีค่าเพิ่มขึ้นเป็น 56.8 เปอร์เซ็นต์ เมื่อเพิ่มปริมาณเอนไซม์เป็น 2 เปอร์เซ็นต์ต่อน้ำหนักตัวอย่าง จากนั้นระดับการย่อยสลายจะมีค่าคงที่ แม้จะเพิ่มปริมาณเอนไซม์เป็น 4 เปอร์เซ็นต์ต่อน้ำหนักตัวอย่าง นอกจากนี้งานวิจัยของ ดวงใจ ลาภยืนยง (2548) ซึ่งผลิตโปรตีนไอก็อโรไลเซทจากเครื่องในหอยเป้าชื่อ โดยใช้เอนไซม์ Flavourzyme[®] 500 L ความเข้มข้น 1 เปอร์เซ็นต์ต่อน้ำหนักหอย ที่อุณหภูมิ 60°C pH 6 แปรระยะเวลาในการย่อยเป็น 30, 60, 90, 120 และ 180 นาที ตามลำดับ พบว่า เวลาในการย่อยมีผลต่อการเพิ่มขึ้นของระดับการย่อยสลาย โปรตีนจากเครื่องในหอยเป้าชื่ออย่างมีนัยสำคัญทางสถิติ ($p \leq 0.05$) โปรตีนไอก็อโรไลเซทที่ได้มีระดับการย่อยสลายสูงที่สุดคือ 52.89 เปอร์เซ็นต์ เมื่อย่อยสลายเป็นเวลา 180 นาที โดยอธิบายว่า เวลาในการย่อยที่เพิ่มมากขึ้นทำให้เอนไซม์สามารถย่อยสลายพันธุ์แบบเปปไทด์ได้มากยิ่งขึ้น

ปริมาณโปรตีนที่เป็นองค์ประกอบในโปรตีนไอก็อโรไลเซทจากโครงปลานิล จะไปใช้เป็นข้อมูลในการใช้กำหนดปริมาณโปรตีนที่เป็นองค์ประกอบในโปรตีนไอก็อโรไลเซทแต่ละสภาวะให้

เท่ากัน คือ 3 มิลลิกรัมต่อมิลลิลิตร (ในกรณีของสมบัติในการเป็นสารต้านอนุมูลอิสระ) และ 0.006 ไมโครกรัมต่อมิโครลิตร (ในกรณีของสมบัติในการเป็นสารยับยั้งการทำงานของ ACE) การทดลองในส่วนถัดไปจะเป็นการวิเคราะห์ความสามารถในการเป็นสารต้านอนุมูลอิสระของโปรตีนไอก็อดร่าไลเซทจากโครงปานิล เพื่อพิจารณาสภาวะที่เหมาะสมต่อการนำโปรตีนไอก็อดร่าไลเซทจากโครงปานิล ไปใช้ประโยชน์ในผลิตภัณฑ์อาหาร

4.3 สมบัติในการเป็นสารต้านอนุมูลอิสระของโปรตีนไอก็อดร่าไลเซทจากโครงปานิล

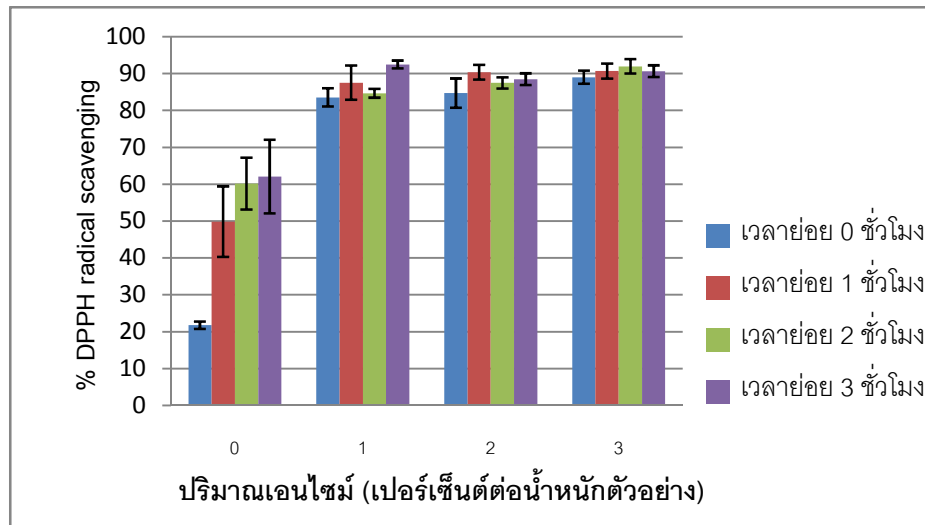
งานวิจัยนี้จะใช้วิธีทดสอบความสามารถในการเป็นสารต้านอนุมูลอิสระของโปรตีนไอก็อดร่าไลเซทจากโครงปานิล 3 วิธี คือ วิธี DPPH, วิธี Metal chelating activity และ วิธี TBA โดยใช้ปริมาณโปรตีนที่เป็นองค์ประกอบในโปรตีนไอก็อดร่าไลเซทจากโครงปานิลเท่ากับ 3 มิลลิกรัมต่อมิลลิลิตร ซึ่งวิธีทดสอบทั้งสามวิธี จะมีหลักการวิเคราะห์ที่แตกต่างกัน ขึ้นอยู่กับกลไกในการต้านอนุมูลอิสระของสารต้านอนุมูลอิสระแต่ละชนิด

เนื่องจากการวิเคราะห์สมบัติในการเป็นสารต้านอนุมูลอิสระของโปรตีนไอก็อดร่าไลเซทในปัจจุบัน ยังไม่มีวิธีในการวิเคราะห์ที่แน่นอน และเฉพาะเจาะจง การวิเคราะห์ความสามารถในการเป็นสารต้านอนุมูลอิสระเพียงวิธีเดียว จึงไม่เพียงพอที่จะอธิบายกลไกในการต้านอนุมูลอิสระของโปรตีนไอก็อดร่าไลเซทได้อย่างครอบคลุม ดังนั้นจึงควรวิเคราะห์สมบัติในการเป็นสารต้านอนุมูลอิสระของโปรตีนไอก็อดร่าไลเซท โดยอาศัยการวิเคราะห์ที่มีหลักการแตกต่างกัน (Zulueta, Esteve และ Frivola, 2009) งานวิจัยนี้เลือกใช้การวิเคราะห์ 3 วิธี คือ วิธี DPPH, วิธี metal chelating activity และ วิธี TBA เพื่อพิจารณาความสามารถในการเป็นสารต้านอนุมูลอิสระของโปรตีนไอก็อดร่าไลเซทให้ครบถ้วน และครอบคลุม

4.3.1 วิธี DPPH

วิธี DPPH เป็นวิธีทดสอบความสามารถในการต้านอนุมูลอิสระของสารต่างๆ โดยอาศัยการส่งผ่านอิเล็กตรอนเดียวจากสารต้านอนุมูลอิสระเข้าสู่อนุมูล DPPH• ซึ่งมีสีม่วง ที่ตั้งทิ้งไว้ในที่มืด 30 นาที เพื่อให้เกิดการรีดิวอร์ชันอนุมูล DPPH• ไปเป็นสารประกอบ DPPHn ที่มีสีเหลือง

(Yang และคณะ, 2009) และติดตามการลดลงของสีจากการวัดค่าการดูดกลืนแสงที่ความยาวคลื่น 517 นาโนเมตร รูปที่ 4.3 (ตารางภาคผนวกที่ ก.3) แสดงความสามารถในการขจัดอนุมูล DPPH• ของโปรตีนไอก็อดโรไลเซทจากโครงปลานิล



รูปที่ 4.3 อิทธิพลของปริมาณเอนไซม์ (Flavourzyme® 1000 L) 0, 1, 2 และ 3 เปอร์เซ็นต์ ต่อ น้ำหนักตัวอย่าง และ เวลาในการย่อย 0, 1, 2 และ 3 ชั่วโมง ที่ส่งผลต่อความสามารถในการขจัดอนุมูล DPPH• ของโปรตีนไอก็อดโรไลเซทจากโครงปลานิล

จากการวิเคราะห์ข้อมูลทางสถิติ (ตารางภาคผนวกที่ ก.3) พบว่า ปริมาณเอนไซม์ เวลาในการย่อย และปฏิสัมพันธ์ร่วมระหว่างปริมาณเอนไซม์และเวลาในการย่อยเป็นปัจจัยที่ส่งผลต่อค่า % DPPH radical scavenging ของโปรตีนไอก็อดโรไลเซทจากโครงปลานิลอย่างมีนัยสำคัญ ($p \leq 0.05$) โดยรูปที่ 4.3 แสดงว่า ส่วนใหญ่ของโครงปลานิลบดเจื้องจากที่ได้ภายหลังการบีบเนื้อ เช่น เริ่มต้น เท่ากับ 21.78 เปอร์เซ็นต์ และจะมีค่าเพิ่มขึ้น ($p \leq 0.05$) จนกระทั่งสูงที่สุด 92.47 เปอร์เซ็นต์ เมื่อย่อยสลายโดยใช้ปริมาณเอนไซม์ 1 เปอร์เซ็นต์ต่อน้ำหนักตัวอย่าง เป็นเวลา 3 ชั่วโมง พิจารณาเปรียบเทียบค่า % DPPH radical scavenging ของ BHA ซึ่งเป็นสารต้านอนุมูลอิสระสังเคราะห์ ที่ใช้เป็นสารละลายเปรียบเทียบสำหรับงานวิจัยนี้ พบว่า โปรตีนไอก็อดโรไลเซทจากโครงปลานิลที่ผ่านการย่อยสลายด้วยเอนไซม์ ซึ่งมีปริมาณโปรตีน 3 มิลลิกรัมต่อมิลลิลิตร มีประสิทธิภาพในการต้านอนุมูลอิสระ เมื่อวิเคราะห์ด้วย

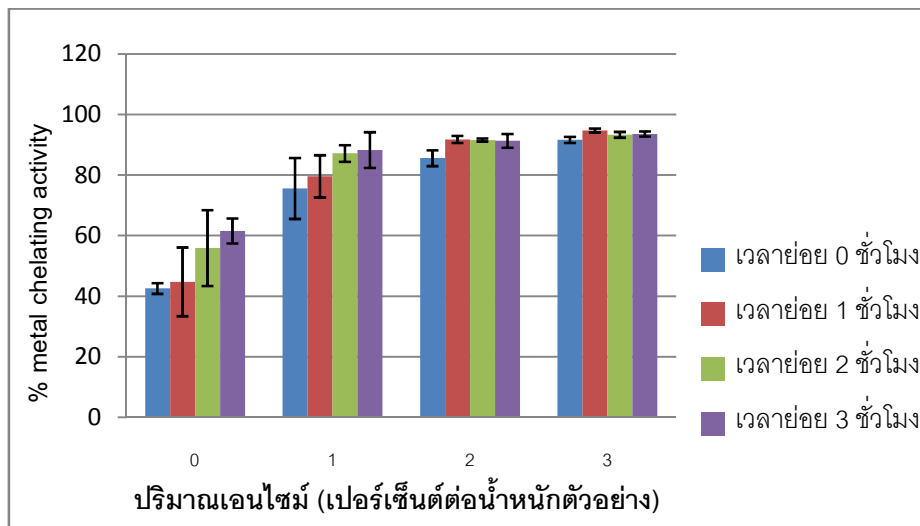
วิธี DPPH มากกว่าสารละลายน้ำ BHA ความเข้มข้น 10 ppm ซึ่งมีค่า % DPPH radical scavenging เท่ากับ 87.08 เปอร์เซ็นต์ (ไม่ได้แสดงผลการทดลองในรูปกราฟ)

สมบัติในการเป็นสารต้านอนุมูลอิสระของโปรตีนไอก็อโรไลเซท จะขึ้นอยู่กับชนิดของกรดอะมิโน ลำดับของกรดอะมิโนในสายเปปไทด์ และขนาดของเปปไทด์ที่เป็นองค์ประกอบในโปรตีนไอก็อโรไลเซท (Pena-Ramos และ Xiong, 2001) ซึ่งปัจจัยเหล่านี้จะเกิดการเปลี่ยนแปลงในระหว่างกระบวนการย่อยสลาย กรดอะมิโนบางชนิด เช่น histidine, tyrosine, tryptophan และ phenylalanine เป็นต้น มีความสามารถในการกำจัดอนุมูลอิสระออกจากระบบ ในขณะที่เปปไทด์ที่มีสมบัติในการเป็นสารต้านอนุมูลอิสระนั้น จะต้องมีขนาดที่เหมาะสมอยู่ในช่วงประมาณ 1300-1400 Da (Wu, Chen และ Shiao, 2003 ; Jun, Jung และ Kim, 2004) จึงสามารถอธิบายผลการทดลองได้ว่าการเพิ่มปริมาณเอนไซม์ และ เวลาในการย่อยสลาย จะส่งผลต่อการเพิ่มขึ้นของระดับการย่อยสลายโปรตีน ทำให้ได้ผลิตภัณฑ์คือ โปรตีนไอก็อโรไลเซทที่ประกอบด้วยกรดอะมิโน และเปปไทด์ที่มีขนาดเหมาะสมในการกำจัดอนุมูลอิสระ โดยงานวิจัยของ Wu, Chen และ Shiao (2003) ซึ่งศึกษาขนาดของเปปไทด์ที่เป็นองค์ประกอบในโปรตีนไอก็อโรไลเซทจากปลาแมคเคอเรล พบว่า ขนาดของเปปไทด์ ส่งผลต่อความสามารถในการเป็นสารต้านอนุมูลอิสระ โดยเปปไทด์ที่มีขนาดไม่เลกุลประมาณ 1400 Da มีความสามารถในการต้านอนุมูลอิสระสูงกว่าเปปไทด์ที่มีขนาดไม่เลกุล 900 Da และ 200 Da ตามลำดับ เช่นเดียวกับ Jun, Jung และ Kim (2004) ที่ย่อยสลายโครงปลา yellowfin sole ด้วยเอนไซม์เบปปิน พบร้า ผลิตภัณฑ์โปรตีนไอก็อโรไลเซทที่ได้ประกอบด้วยเปปไทด์สายสั้นคือ RPFDLEPPY มีขนาดไม่เลกุล 1300 Da มีสมบัติในการเป็นสารต้านอนุมูลอิสระที่มีประสิทธิภาพสูงเมื่อวิเคราะห์ด้วยวิธี DPPH

4.3.2 วิธี metal chelating activity

วิธี metal chelating activity เป็นการวัดความสามารถของสารในการทำปฏิกิริยา กับไอโอดินของโลหะ โดยอาศัยการทำปฏิกิริยาของสารต้านอนุมูลอิสระกับสารละลายน้ำ FeCl_2 เพื่อให้เกิดการจับกันของสารต้านอนุมูลอิสระ และ Fe^{2+} ก่อนที่จะเติมสารละลายน้ำ 3-(2-pyridyl)-5,6-bis(4-phenyl-sulfonic acid)-1,2,4-triazine (ferrozine) ซึ่งจะเข้าไปทำปฏิกิริยากับ Fe^{2+} อิสระ เกิด Fe^{2+} - ferrozine complex ซึ่งมีสีม่วง ตั้งทิ้งไว้ในที่มืด 20 นาที และวัดการลดลงของสี

ม่วงโดยอาศัยการวัดค่าการดูดกลืนแสงของสารที่ความยาวคลื่น 562 นาโนเมตร (Klompong และคณะ, 2007) รูปที่ 4.4 (ตารางภาคผนวกที่ ก.4) แสดงค่า % metal chelating activity ของโปรตีนไอก็อโรไลเซทจากโครงปลาโนล



รูปที่ 4.4 อิทธิพลของปริมาณเอนไซม์ (Flavourzyme® 1000 L) 0, 1, 2 และ 3 เปอร์เซ็นต์ต่อน้ำหนักตัวอย่าง และ เวลาในการย่อย 0, 1, 2 และ 3 ชั่วโมง ที่ส่งผลต่อค่า % metal chelating activity ของโปรตีนไอก็อโรไลเซทจากโครงปลาโนล

จากการวิเคราะห์ข้อมูลทางสถิติ (ตารางภาคผนวกที่ ข.4) พบว่า ปริมาณเอนไซม์ และเวลาในการย่อย เป็นปัจจัยที่ส่งผลต่อการเพิ่มขึ้นของค่า % metal chelating activity ของโปรตีนไอก็อโรไลเซทจากโครงปลาโนล อย่างมีนัยสำคัญ ($p \leq 0.05$) ในขณะที่ปฏิสัมพันธ์ร่วมระหว่าง ปริมาณเอนไซม์และเวลาในการย่อยกลับไม่ส่งผลอย่างมีนัยสำคัญ ($p > 0.05$) ต่อค่า % metal chelating activity ของโปรตีนไอก็อโรไลเซทจากโครงปลาโนล จากรูปที่ 4.4 สามารถอธิบายผลการทดลองได้ว่า % metal chelating activity ของส่วนใหญ่ของโครงปลาโนลลดลงเมื่อเจือจากที่ได้ภายหลังการเพิ่นเหวี่ยง มีค่าเริ่มต้น 42.59 เปอร์เซ็นต์ และจะมีค่าเพิ่มขึ้นจนกระทั่งสูงที่สุดในช่วง 85.59 – 94.72 เปอร์เซ็นต์ เมื่อเพิ่มปริมาณเอนไซม์ และเวลาในการย่อย ซึ่งส่งผลให้ระดับการย่อยสลายโปรตีนในโปรตีนไอก็อโรไลเซทจากโครงปลาโนลมีค่าเพิ่มขึ้น โปรตีนถูกเปลี่ยนเป็นกรดอะมิโนอิสระและเปเปปไทด์ขนาดเล็ก ที่สามารถทำปฏิกิริยากับไอออนของโลหะหนักได้ (Dong และคณะ, 2008)

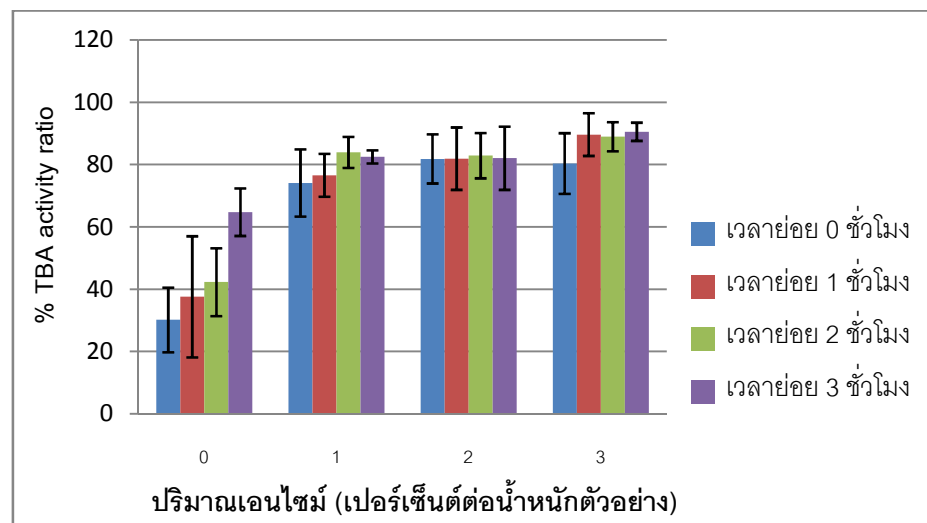
ทำให้ % metal chelating activity ของโปรตีนไอก็อโรไลเซทจากโครงปลาโนลีมีค่าเพิ่มขึ้น กรดอะมิโนบางชนิด เช่น lysine, arginine, aspartic acid, glutamic acid และ histidine เป็นต้น สามารถทำปฏิกิริยากับไอออนของโลหะหนักได้ ในขณะที่เปปไทด์ที่สามารถทำปฏิกิริยากับไอออนของโลหะหนักได้นั้น มักจะมีหมู่อะมิโน และ/หรือ หมู่คาร์บอชิล ที่บริเวณ side chain ของ กรดอะมิโนที่มีความเป็นกรด และ/ หรือ มีความเป็นเบสอยู่มาก นอกจานนี้ตำแหน่งของกรดอะมิโนในสาย เปปไทด์ก็ส่งผลต่อความสามารถในการทำปฏิกิริยากับไอออนของโลหะหนักเช่นกัน โดยพบว่าเปปไทด์ที่ประกอบด้วยกรดอะมิโน histidine ที่ตำแหน่ง N-terminal จะมีความสามารถในการทำปฏิกิริยากับไอออนของโลหะหนักได้กว่าเมื่อหี histidine ที่ตำแหน่ง C-terminal (Arcan และ Yemenciooglu, 2007; Saiga, Tanabe และ Nishimura, 2003; Suetsuna, Ukeda และ Ochi, 2000) ผลการทดลองในส่วนของ % metal chelating activity นี้สอดคล้องกับงานวิจัยของ Klompong และคณะ (2007) ซึ่งผลิตโปรตีนไอก็อโรไลเซทจากปลาสีกุนข้างเหลือง โดยใช้เอนไซม์ Flavourzyme[®] ในการย่อยสลาย และพบว่า % metal chelating activity มีค่าเพิ่มขึ้นอย่างมีนัยสำคัญ ($p \leq 0.05$) เมื่อเพิ่มระดับการย่อยสลายจาก 5 เป็น 15 เปอร์เซ็นต์ และจากนั้น % metal chelating activity จะมีค่าคงที่ แม้ระดับการย่อยสลายโปรตีนจะเพิ่มขึ้นเป็น 25 เปอร์เซ็นต์ โดยกล่าวว่าเปปไทด์ที่เป็นองค์ประกอบในโปรตีนไอก็อโรไลเซทจากปลาสีกุนข้างเหลือง จะทำหน้าที่เป็น primary และ secondary antioxidant ที่สามารถทำปฏิกิริยากับไอออนของโลหะหนักได้

4.3.3 สมบัติในการเป็นสารต้านอนุมูลอิสระของระบบที่มีไขมันเป็นองค์ประกอบ วิเคราะห์การเกิด lipid peroxidation ด้วยการทดสอบกับ TBA

สำหรับผลิตภัณฑ์อาหารซึ่งมีไขมันเป็นองค์ประกอบ เมื่อระยะเวลาในการเก็บรักษา ยาวนานขึ้น จะเกิดการเสื่อมคุณภาพเนื่องจากปฏิกิริยาออกซิเดชันของไขมัน ส่งผลให้ผลิตภัณฑ์อาหารเหล่านั้นไม่เป็นที่ยอมรับจากผู้บริโภค การเติมสารต้านอนุมูลอิสระที่สามารถต้านการเกิดปฏิกิริยาออกซิเดชันของไขมัน จึงอาจมีส่วนช่วยในการยืดอายุการเก็บรักษาผลิตภัณฑ์อาหารให้ยาวนานขึ้น งานวิจัยนี้จึงเลือกวิเคราะห์สมบัติในการเป็นสารต้านอนุมูลอิสระของโปรตีนไอก็อโรไลเซทจากโครงปลาโนล โดยการวัดการเกิด lipid peroxidation โดยใช้น้ำมันถั่วเหลืองเป็น

ตัวแทนของไขมันที่มีอยู่ในผลิตภัณฑ์อาหาร และจะทำการวิเคราะห์การเกิด lipid peroxidation ด้วยวิธี TBA ซึ่งเป็นการวัดความสามารถของสารในการต้านการเกิดปฏิกิริยาออกซิเดชันในระบบ ที่มีไขมันเป็นองค์ประกอบ การทดสอบโดยวิธีนี้จะเริ่มต้นจากการผสานน้ำมันตัวเหลืองและ ผลิตภัณฑ์โปรตีนไฮโดรไลเซทเข้ากับสารละลาย เอทานอลและสารละลายฟอกสเปตบัฟเฟอร์ บ่ม ทิ้งไว้ที่อุณหภูมิ 45 °C เป็นเวลา 7 วัน นำมาทำปฏิกิริยากับสาร TBA วิเคราะห์ค่า % TBA activity ratio ของโปรตีนไฮโดรไลเซทจากการติดตามค่าการดูดกลืนแสงของสารสีชุมพูที่เกิดขึ้นที่ ความยาวคลื่น 535 นาโนเมตร รูปที่ 4.5 (ตารางภาคผนวกที่ ก.5) แสดงค่า % TBA activity ratio ของโปรตีนไฮโดรไลเซทจากโครงปลานิล

จากการวิเคราะห์ผลทางสถิติ (ตารางภาคผนวกที่ ข.5) พบว่า ปริมาณเอนไซม์ และ เวลาในการย่อย ส่งผลต่อการเพิ่มขึ้นของค่า % TBA activity ratio ของโปรตีนไฮโดรไลเซทจาก โครงปลานิลอย่างมีนัยสำคัญทางสถิติ ($p \leq 0.05$) ในขณะที่ปฏิกิริยาพันธ์ร่วมระหว่างปริมาณ เอนไซม์และเวลาในการย่อยไม่ส่งผลต่อค่า % TBA activity ratio ของโปรตีนไฮโดรไลเซทจากโครง ปลานิลอย่างมีนัยสำคัญ ($p > 0.05$)



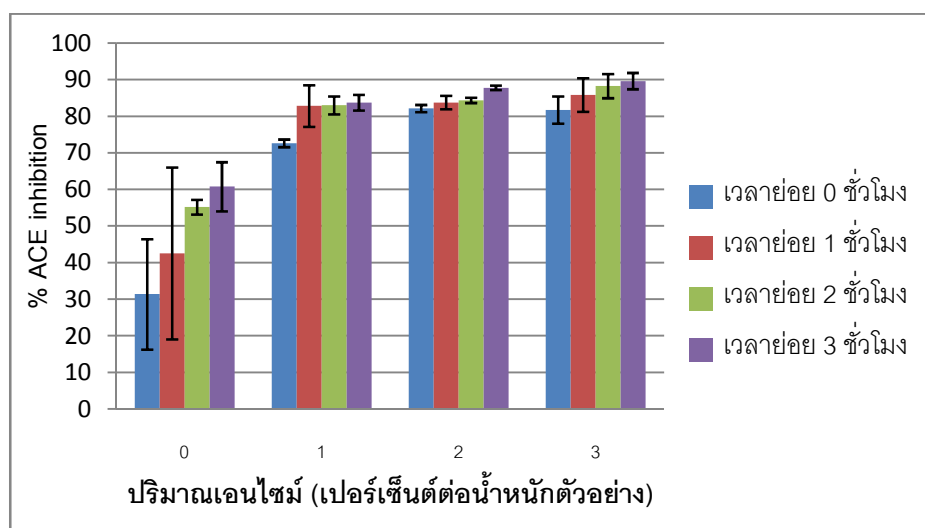
รูปที่ 4.5 อิทธิพลของปริมาณเอนไซม์ (Flavourzyme® 1000 L) 0, 1, 2 และ 3 เปอร์เซ็นต์ต่อน้ำหนักตัวอย่าง น้ำหนักตัวอย่าง และ เวลาในการย่อย 0, 1, 2 และ 3 ชั่วโมง ที่ส่งผลต่อค่า % TBA activity ratio ของโปรตีนไฮโดรไลเซทจากโครงปลานิล

จากรูป 4.5 จะเห็นว่าส่วนใหญ่ของโครงปลาโนลبدเจือจางที่ได้ภายหลังการบีบเบี้ยมมีค่า % TBA activity ratio เริ่มต้น 30.18 เปอร์เซ็นต์ และจะเพิ่มขึ้นจนกระทั่งมีค่าสูงที่สุดเท่ากับ 90.54 เปอร์เซ็นต์ เมื่อยอยถลายโดยใช้เอนไซม์บرومาน 3 เปอร์เซ็นต์ต่อน้ำหนักตัวอย่างเป็นเวลา 3 ชั่วโมง โปรดีนไอก็อโรไลเซทจากโครงปลาโนลสำหรับงานวิจัยนี้ประกอบด้วยบرومานโปรดีน 3 มิลลิกรัมต่อมิลลิลิตร มีประสิทธิภาพในการต้านการเกิด lipid peroxidation เมื่อพิจารณาในรูป % TBA activity ratio ที่มากกว่าสารละลาย α -tocopherol ความเข้มข้น 0.1 มิลลิโมลาร์ และสารละลาย BHA ความเข้มข้น 10 ppm ที่ใช้เป็นสารละลายเปรียบเทียบ (80.73 และ 80.49 เปอร์เซ็นต์ตามลำดับ) การวิเคราะห์ค่า % TBA activity ratio นั้นเป็นการวัดความสามารถของสาร (ในที่นี้คือโปรดีนไอก็อโรไลเซทจากโครงปลาโนล) ในการต้านการเกิดปฏิกิริยาออกซิเดชันของกรดไขมันไม่อิมตัวในอาหาร และใช้สาร TBA ทำปฏิกิริยากับผลิตภัณฑ์ที่เกิดขึ้นจากการถลายน้ำของ hydroperoxide (ชีสสาร hydroperoxide เป็นสาร intermediate จากปฏิกิริยาออกซิเดชันของไขมัน) ดังนั้นการที่ค่า % TBA activity ratio ของโปรดีนไอก็อโรไลเซทจากโครงปลาโนลซึ่งผ่านการย่อยถลายน้ำโดยเอนไซม์ค่าคงข้างสูง อาจมีสาเหตุมาจากโปรดีนไอก็อโรไลเซทจากโครงปลาโนล สามารถต้านการเกิดปฏิกิริยาออกซิเดชันของกรดไขมันไม่อิมตัวในน้ำมันถั่วเหลืองได้ ทำให้สาร hydroperoxide เกิดขึ้นได้น้อย และทำให้ผลิตภัณฑ์จากการถลายน้ำของสาร hydroperoxide เกิดขึ้นได้น้อย เช่นเดียวกัน โดยสันนิษฐานว่า โปรดีนไอก็อโรไลเซทจากโครงปลาโนลประกอบด้วยกรดอะมิโนที่มีสมบัติไม่ชอบน้ำในปริมาณมากจึงละลายในไขมันได้ดี และ ทำให้สามารถต้านปฏิกิริยาออกซิเดชันของไขมันได้ดี (Dong และคณะ, 2008 ; Rajapakse และคณะ, 2005)

4.4 ความสามารถในการเป็นสารยับยั้งการทำงานของ ACE

สารที่มีความสามารถในการยับยั้งการทำงานของ ACE คือสารที่สามารถทำปฏิกิริยากับ ACE ตรงบริเวณร่อง ส่งผลให้ปฏิกิริยาของเอนไซม์หยุดชะงัก และทำให้การสั่งเคราะห์สาร Angiotensin II หยุดลง ดังนั้นสารที่สามารถยับยั้งการทำงานของ ACE ได้ จึงสามารถควบคุมความดันโลหิตในร่างกายได้ โดยการควบคุมปริมาณสาร Angiotensin II (Murray, Walsh และ

FitzGerald, 2004) การวิเคราะห์ความสามารถในการยับยั้งการทำงานของ ACE สามารถทำได้ตามวิธีของ Crushman และ Cheung (1971) ซึ่งอาศัยการทำปฏิกิริยาของเอนไซม์ Angiotensin I และโปรตีนไอก็อโรไลเซทจากโครงปลา (ในที่นี้ทำหน้าที่เป็นสารยับยั้ง) บ่มที่อุณหภูมิ 37 °C เป็นเวลา 10 นาที จากนั้นเติมสาร hippuryl-L-histidyl-L-leucine (HHL) ซึ่งเป็นสารตั้งต้นของเอนไซม์ และบ่มที่อุณหภูมิ 37 °C เป็นเวลา 30 นาที หยุดปฏิกิริยาด้วยสารละลายกรดไอก็อโรคลอเริก ความเข้มข้น 1 มอลาร์ และสกัดสาร hippuric acid (ผลิตภัณฑ์ของปฏิกิริยา) ที่เกิดขึ้นด้วยสารละลายเอทิลอะซีเตต รูปที่ 4.6 (ตารางภาคผนวกที่ ก.6) แสดงค่า % ACE inhibition ของโปรตีนไอก็อโรไลเซทจากโครงปลา尼ล



รูปที่ 4.6 อิทธิพลของปริมาณเอนไซม์ (Flavourzyme® 1000 L) 0, 1, 2 และ 3 เพรอร์เซ็นต์ ต่อน้ำหนักตัวอย่าง และเวลาในการย่อย 0, 1, 2 และ 3 ชั่วโมง ที่ส่งผลต่อค่า % ACE inhibition ของโปรตีนไอก็อโรไลเซทจากโครงปลา尼ล

จากการวิเคราะห์ข้อมูลทางสถิติ (ตารางภาคผนวกที่ ก.6) พบว่าปริมาณเอนไซม์ และเวลาในการย่อย เป็นปัจจัยที่ส่งผลต่อการเพิ่มขึ้นของ % ACE inhibition ของโปรตีนไอก็อโรไลเซทจากโครงปลา尼ลอย่างมีนัยสำคัญทางสถิติ ($p \leq 0.05$) ในขณะที่ปฏิกิริยาพันธุ์ร่วมระหว่างปริมาณเอนไซม์ และเวลาในการย่อย ไม่ส่งผลต่อค่า % ACE inhibition ของโปรตีนไอก็อโรไลเซทจากโครงปลา尼ล ($p > 0.05$) ซึ่ง % ACE inhibition ของส่วนใหญ่ของโครงปลา尼ลลดลงจากการบดเจือจากที่ได้ภายหลังจากการบดเจือ มีค่าเริ่มต้น คือ 31.37 เพรอร์เซ็นต์ และจะมีค่าเพิ่มขึ้นเมื่อผ่านการย่อยโดย

ด้วยเอนไซม์ ที่เวลาต่างๆ จนกระทั่งมีค่าสูงที่สุด คือ 89.63 เปอร์เซ็นต์ เมื่อย่อยสลายโดยใช้ ปริมาณเอนไซม์ 3 เปอร์เซ็นต์ต่อน้ำหนักตัวอย่าง เป็นเวลา 3 ชั่วโมง และพบว่าโปรตีนไอก็อโรไลซ์ จากโครงปลาโนล(ประกอบด้วยโปรตีน 0.06 ไมโครกรัมต่อมิลลิลิตร) มีค่า % ACE inhibition มากกว่าสารละลาย Captopril[®] ความเข้มข้น 0.1 มิลลิโมลาร์ (79.12 เปอร์เซ็นต์) ที่ใช้เป็นสารละลายเบรียบเทียบ Captopril[®] เป็นยาที่ใช้ในการรักษาผู้ป่วยที่มีระดับความดันโลหิตสูง โดยจะเข้าทำปฏิกิริยาที่บริเวณร่องของ ACE ด้วยพันธะไอก็อโรเจน 6 พันธะ ทำให้เกิดการจับกันของ Captopril[®] และกรดอะมิโนของเอนไซม์อย่างแข็งแรง จึงสามารถยับยั้งการสังเคราะห์สาร Angiotensin II ได้อย่างสมบูรณ์ แต่ในกรณีของปฏิกิริยาระหว่างเปปไทด์กับกรดอะมิโนที่บริเวณร่องของ ACE นั้นจะเกิดขึ้นผ่านขั้นตอนกริเรียต่างๆ เช่น electrostatic repulsion, hydrophobic interaction และ พันธะไอก็อโรเจน เป็นต้น ซึ่งขั้นตอนกริเรียเหล่านี้จะเกิดขึ้นก็ต่อเมื่อเปปไทด์นั้นมีชนิดของกรดอะมิโนที่เหมาะสม อยู่ที่ตำแหน่งที่ถูกต้อง จึงจะสามารถทำปฏิกิริยากับกรดอะมิโนที่เป็นองค์ประกอบในบริเวณร่องของ ACE ได้อย่างมีประสิทธิภาพ (Zhan-li และคณะ, 2011) กรดอะมิโนที่มีความสามารถในการเป็นสารยับยั้งการทำงานของ ACE เช่น tyrosine, tryptophan, phenylalanine, proline, leucine, isoleucine, valine, lysine และ alanine เป็นต้น (Gomez-Ruiz, Ramos และ Recio, 2004) จะสามารถเกิดขั้นตอนกริเรียกับบริเวณร่องของ ACE ได้ด้วย electrostatic repulsion หรือ hydrophobic interaction ทำให้เปปไทด์ที่มีกรดอะมิโนเหล่านี้เป็นองค์ประกอบ สามารถยับยั้งการทำงานของ ACE ได้ดี ซึ่งปัจจัยเหล่านี้อาจส่งผลให้โปรตีนไอก็อโรไลซ์จากโครงปลาโนล สามารถยับยั้งการทำงานของ ACE ได้อย่างมีประสิทธิภาพ เมื่อพิจารณาในส่วนของโครงปลาโนลบดเจือจากที่ผ่านการย่อยสลายด้วยน้ำร้อนเพียงอย่างเดียว พบว่า เวลาในการย่อยสลายด้วยน้ำร้อนส่งผลต่อการเพิ่มขึ้นของ % ACE inhibition ของส่วนใสของโครงปลาโนลบดเจือจากได้เช่นกัน โดยการย่อยสลายด้วยน้ำร้อนอาจทำให้เกิดการย่อยสลายโปรตีนจากโครงปลาโนลได้บางส่วน จึงเกิดผลิตภัณฑ์เป็นกรดอะมิโน และ เปปไทด์ที่มีสมบัติในการยับยั้งการทำงานของ ACE ได้ (Tsia, Chen และ Pan, 2008) นอกจากนี้ ขนาดของเปปไทด์ที่เป็นปัจจัยสำคัญที่ส่งผลต่อความสามารถในการเป็นสารยับยั้งการทำงานของ ACE โดยเปปไทด์ที่มีขนาดเหมาะสม ควรจะเป็นเปปไทด์ขนาดเล็กอยู่ในช่วง 2-12 ไมโครกรดอะมิโน ซึ่งเปปไทด์ขนาดเล็กเหล่านี้จะสามารถทำปฏิกิริยาที่บริเวณร่องของ ACE ได้ดีกว่าเปปไทด์ที่มีขนาดใหญ่ (Hernandez-Ledesma, Contreras และ Recio, 2011) ซึ่ง Raghavan และ Kristinsson (2009) ทำการคัดแยกขนาดของเปปไทด์ที่เป็นองค์ประกอบในโปรตีนไอก็อโรไลซ์จากปลาโนล(มีระดับการย่อยสลายโปรตีน 7.5 เปอร์เซ็นต์) ออกเป็น 3 ขนาด คือ น้อยกว่า 10 kDa, อยู่ในช่วง 10 - 30 kDa

และมากกว่า 30 kDa ตามลำดับ พบร่วม เปปไทด์ที่มีขนาดน้อยกว่า 10 kDa มีค่า % ACE inhibitory activity มากที่สุด และจะลดลงอย่างมีนัยสำคัญ ($p \leq 0.05$) เมื่อเปปไทด์มีขนาดใหญ่ขึ้น ในขณะที่เมื่อระดับการย่อยสลายสูงขึ้นเป็น 25 เปอร์เซ็นต์ ขนาดของเปปไทด์กลับไม่มีผล ($p > 0.05$) ต่อ การเพิ่มขึ้นของค่า % ACE inhibitory activity ของโปรตีนไฮโดรไลซ์จากปลานิล เนื่องจากเปปไทด์ที่เป็นองค์ประกอบมีขนาดใกล้เคียงกัน

เมื่อทดสอบความสามารถในการเป็นสารต้านอนุมูลอิสระ และยับยั้งการทำงานของ ACE ของโปรตีนไฮโดรไลซ์จากโครงปลานิลแล้ว การทดลองในส่วนต่อไปจะเป็นการคัดเลือก สภาวะที่เหมาะสมสำหรับการผลิตโปรตีนไฮโดรไลซ์จากโครงปลานิล เพื่อนำไปวิเคราะห์ชนิด และปริมาณกรดอะมิโน และขนาดของเปปไทด์ที่เป็นองค์ประกอบในโปรตีนไฮโดรไลซ์จากโครงปลานิล สภาวะนั้นๆ

4.5 การวิเคราะห์ชนิดและปริมาณกรดอะมิโนที่เป็นองค์ประกอบในโปรตีนไฮโดรไลซ์จากโครงปลานิล ในสภาวะที่ถูกคัดเลือก

งานวิจัยนี้ใช้เทคนิค HPLC ในการวิเคราะห์ชนิด และปริมาณกรดอะมิโนที่เป็นองค์ประกอบในโปรตีนไฮโดรไลซ์จากสภาวะที่ได้คัดเลือกแล้ว เพื่อนำไปใช้ประโยชน์ในการเป็นสารต้านอนุมูลอิสระ และยับยั้งการทำงานของ ACE โดยจะทำการย่อยตัวอย่างโปรตีนไฮโดรไลซ์ด้วยสารละลายกรด และด่าง ในขั้นตอนของการคัดเลือกสภาวะที่เหมาะสม จึงพิจารณา สมบัติในด้านของการเป็นสารต้านอนุมูลอิสระของโปรตีนไฮโดรไลซ์ ด้วยวิธี DPPH, วิธี metal chelating activity, และวิธี TBA รวมไปถึงการพิจารณา % ACE inhibition ด้วยจากการวิเคราะห์ผลการทดลองทางสถิติ พบร่วม โปรตีนไฮโดรไลซ์จากโครงปลานิลที่ได้จากการย่อยสลายด้วยเอนไซม์ Flavourzyme[®] 1000 L ในปริมาณ 2 เปอร์เซ็นต์ต่อน้ำหนักตัวอย่าง เป็นเวลา 1 ชั่วโมง มีความเหมาะสมที่จะนำไปใช้ในการเป็นสารต้านอนุมูลอิสระ และยับยั้งการทำงานของ ACE โดยเป็นสภาวะการย่อยสลายที่ทำให้โปรตีนไฮโดรไลซ์จากโครงปลานิลมีสมบัติในการเป็นสารต้านอนุมูลอิสระ และยับยั้งการทำงานของ ACE ที่ค่อนข้างสูง กรดอะมิโนที่เป็นองค์ประกอบในโปรตีนไฮโดรไลซ์จากโครงปลานิลในสภาวะที่ถูกคัดเลือก จะช่วยอธิบายถึงคุณภาพของโปรตีนไฮโดรไลซ์เพื่อนำไปใช้ประโยชน์ในการเป็นสารต้านอนุมูลอิสระ และยับยั้งการทำงานของ ACE ดังนั้นงานวิจัยนี้จะวิเคราะห์ชนิดและปริมาณกรดอะมิโนที่เป็นองค์ประกอบในโปรตีนไฮโดรไลซ์จากโครงปลานิลที่ผ่านการย่อยสลายด้วยเอนไซม์ปริมาณ 2 เปอร์เซ็นต์ต่อน้ำหนักตัวอย่าง เป็นเวลา 1 ชั่วโมง เปรียบเทียบกับ ชนิดและปริมาณของกรดอะมิโนที่เป็นองค์ประกอบในส่วนใดของโครง

ปานิลبدเจื้อจากที่ไม่ผ่านการย่อยสลายด้วยเอนไซม์ ซึ่งแยกได้จากการปั่นเหวี่ยง ดังแสดงในตารางที่ 4.2

ตารางที่ 4.2 ชนิดและปริมาณกรดอะมิโน (มิลลิกรัม ต่อ 100 กรัม) ที่พบในโปรตีนไอก็อดร่าไลเซฟ จากโครงปานิลที่ผ่านการย่อยสลายด้วยเอนไซม์บิโรมาน 2 เปอร์เซ็นต์ต่อน้ำหนักตัวอย่าง เป็นเวลา 1 ชั่วโมง เปรียบเทียบกับ ชนิดและปริมาณกรดอะมิโน (มิลลิกรัม ต่อ 100 กรัม) ที่พบในส่วนไขข่องโครงปานิลبدเจื้อจาก

ชนิดของกรดอะมิโนที่เป็นองค์ประกอบ	ปริมาณกรดอะมิโน (มิลลิกรัม ต่อ 100 กรัม)
ส่วนไขข่องโครงปานิลبدเจื้อจากที่ซึ่งแยกได้จากการปั่นเหวี่ยง	โปรตีนไอก็อดร่าไลเซฟจากโครงปานิลที่ผ่านการย่อยสลายด้วยเอนไซม์ 2 เปอร์เซ็นต์ต่อน้ำหนักตัวอย่าง เป็นเวลา 1 ชั่วโมง
alanine	13
arginine	14
glutamic acid	16
glycine	10
histidine	1
isoleucine*	2
leucine*	6
lysine*	1
methionine*	1
phenylalanine*	1
cysteine	1
aspartic acid	6
tyrosine	1
proline	14
	58
	65
	120
	58
	7
	18
	49
	15
	25
	13
	11
	75
	20
	68

serine	4	29
threonine*	2	21
tryptophan*	0	2
valine*	4	43
total	97	697

*กรดอะมิโนจำเป็น

การย่อยสลายโปรตีนด้วยเอนไซม์ ส่งผลให้โปรตีนไฮโดรไลเซทจากโครงปลานิลที่ผ่านการย่อยสลายด้วยเอนไซม์ 2 เบอร์เซ็นต์ต่อน้ำหนักตัวอย่าง เป็นเวลา 1 ชั่วโมง มีปริมาณกรดอะมิโนเพิ่มขึ้น ซึ่งผลการทดลองนี้สอดคล้องกับทฤษฎีที่ว่า การเพิ่มปริมาณเอนไซม์ และ เวลาใน การย่อย ส่งผลให้ระดับการย่อยสลายโปรตีนสูงขึ้น ทำให้โปรตีนถูกเปลี่ยนเป็นเปปไทด์ และ กรดอะมิโนอิสระในปริมาณมากขึ้น จากตารางที่ 4.2 เมื่อพิจารณาสัดส่วนของกรดอะมิโนที่มีสมบัติในการต้านอนุมูลอิสระ เช่น tyrosine, tryptophan, phenylalanine, histidine และ cysteine เป็นต้น (Arcan และ Yemenicioglu, 2007; Pena-Ramos และ Xiong, 2001) ที่เป็นองค์ประกอบในโปรตีนไฮโดรไลเซทจากโครงปลานิล ที่ผ่านการย่อยสลายด้วยปริมาณเอนไซม์ 2 เบอร์เซ็นต์ต่อน้ำหนักตัวอย่าง เป็นเวลา 1 ชั่วโมง ต่อปริมาณกรดอะมิโนทั้งหมด เท่ากับ 0.08 ซึ่งเพิ่มขึ้นจากที่พบในส่วนไข่ของโครงปลานิลบดเจือจากที่ได้ภายหลังจากการปั่นเหวี่ยง (0.04) กรดอะมิโนเหล่านี้จะประกอบด้วยวงแหวนอะโรมาติก (aromatic ring) ชาลเฟอร์ (ในกรณีของ cysteine) และ วงแหวนอimidazole (imidazole ring) (ในกรณีของ histidine) เป็นองค์ประกอบในโมเลกุล จึงสามารถทำปฏิกิริยากับอนุมูลอิสระได้โดยการส่งผ่านอิเล็กตรอนให้กับอนุมูลอิสระ (Arcan และ Yemenicioglu, 2007; Rajapakse และคณะ, 2005) การเพิ่มขึ้นของสัดส่วนของกรดอะมิโนเหล่านี้ จึงอาจเป็นเหตุผลที่ทำให้โปรตีนไฮโดรไลเซทจากโครงปลานิล ที่ผ่านการย่อยสลายด้วยปริมาณเอนไซม์ 2 เบอร์เซ็นต์ต่อน้ำหนักตัวอย่าง เป็นเวลา 1 ชั่วโมง มีความสามารถในการเป็นสารต้านอนุมูลอิสระ มากกว่าในส่วนไข่ของโครงปลานิลบดเจือจากที่ได้ภายหลังจากการปั่นเหวี่ยง (ซึ่งมีค่า % DPPH radical scavenging เท่ากับ 21.78 เบอร์เซ็นต์ ดังที่แสดงในรูปที่ 4.3) และหากพิจารณาสัดส่วนของกรดอะมิโนที่สามารถทำปฏิกิริยากับไอออนของโลหะหนัก เช่น lysine, arginine, aspartic acid, glutamic acid และ histidine เป็นต้น (Arcan และ

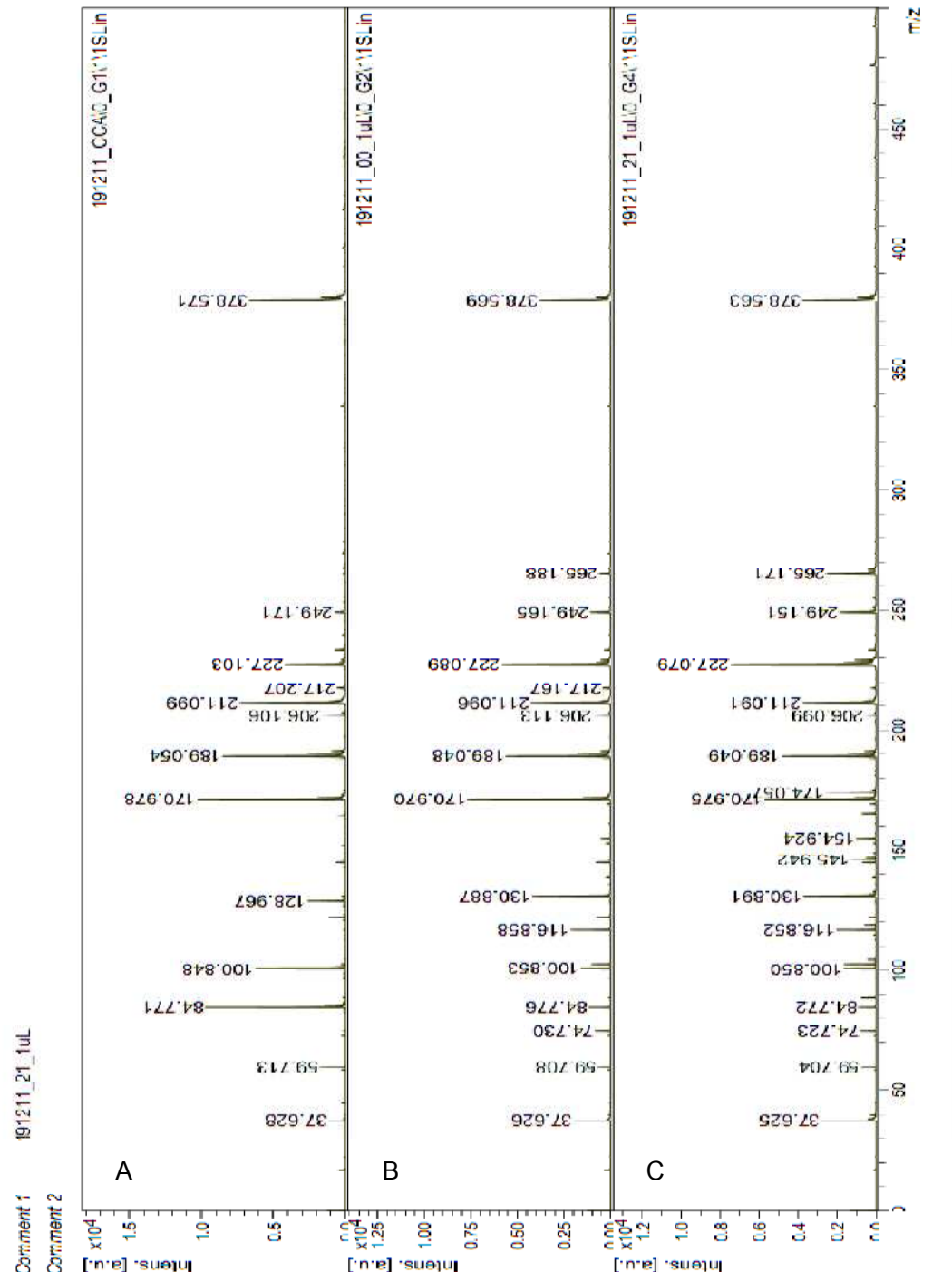
Yemenicioglu, 2007) ต่อปริมาณกรดอะมิโนทั้งหมด จะพบว่า โปรตีนไอก็อโรไลเซทจากโครงปลาโนลที่ย่อยสลายด้วยเอนไซม์ 2 เบอร์เท็นต์ต่อน้ำหนักตัวอย่าง เป็นเวลา 1 ชั่วโมง และ ส่วนใหญ่ของโครงปลานิลบดเจือจางที่ได้ภายหลังจากการป่นเหลว เช่น มีสัดส่วนของกรดอะมิโนที่สามารถทำปฏิกิริยากับไอโอดอนของโลหะหนักได้เป็น 0.40 และ 0.39 ปฏิกิริยาระหว่างกรดอะมิโนเหล่านี้กับไอโอดอนของโลหะหนักจะเกี่ยวข้องกับการเพิ่มขึ้นของหมู่คาร์บอชิลและหมู่อะมิโน ที่เป็นองค์ประกอบของ side chain ของกรดอะมิโน (Dong และคณะ, 2008 ; Arcan และ Yemenicioglu, 2007) นอกจากนี้เมื่อพิจารณาสัดส่วนกรดอะมิโนที่มีสมบัติไม่ชอบน้ำ เช่น glycine, methionine, lysine, tryptophan, alanine, histidine, valine และ proline เป็นต้น (Pena-Ramos และ Xiong, 2001; Zhu, Zhou และ Qian, 2006) กรดอะมิโนเหล่านี้ส่งผลต่อความสามารถในการเป็นสารต้านอนุมูลอิสระในระบบที่มีเข้มข้นเป็นองค์ประกอบ โดยพบว่า สัดส่วนของกรดอะมิโนไม่ชอบน้ำต่อกรดอะมิโนทั้งหมดในโปรตีนไอก็อโรไลเซทจากโครงปลานิลจากสภาวะที่คัดเลือก มีค่าเท่ากับ 0.40 ซึ่งใกล้เคียงกับสัดส่วนในส่วนใหญ่ของโครงปลานิลบดเจือจางที่ได้ภายหลังการป่นเหลว (0.45) จึงน่าจะส่งผลให้โปรตีนไอก็อโรไลเซทจากโครงปลานิลสภาวะที่คัดเลือก และส่วนใหญ่ของโครงปลานิลบดเจือจางมีค่า % TBA activity ratio ใกล้เคียงกัน แต่จากผลการทดลอง (รูปที่ 4.5) จะพบว่า โปรตีนไอก็อโรไลเซทจากโครงปลานิลสภาวะที่คัดเลือกมีค่า % TBA activity ratio สูงกว่าในส่วนใหญ่ของโครงปลานิลบดเจือจางอย่างมีนัยสำคัญทางสถิติ ($p \leq 0.05$) ซึ่งสามารถอธิบายได้ว่าความสามารถในการเป็นสารต้านอนุมูลอิสระของโปรตีนไอก็อโรไลเซทนั้นไม่ได้ขึ้นอยู่กับสัดส่วนของกรดอะมิโนที่เป็นองค์ประกอบ แต่จะขึ้นอยู่กับปัจจัยอื่นๆ เช่น ชนิดของกรดอะมิโน ลำดับของกรดอะมิโน และขนาดของเปปไทด์ เป็นต้น ข้อมูลของสัดส่วนของกรดอะมิโนที่มีสมบัติในการต้านอนุมูลอิสระต่อกรดอะมิโนทั้งหมด จึงไม่เพียงพอที่จะบอกร่องประสีทวิภาคในการเป็นสารต้านอนุมูลอิสระของโปรตีนไอก็อโรไลเซท สำหรับการพิจารณาสัดส่วนกรดอะมิโนที่มีความสามารถในการเป็นสารยับยั้งการทำงานของ ACE เช่น tyrosine, tryptophan, phenylalanine, proline, leucine, isoleucine, valine, lysine และ alanine เป็นต้น (Gomez-Ruiz, Ramos และ Recio, 2004) ที่เป็นองค์ประกอบในโปรตีนไอก็อโรไลเซทจากโครงปลานิลที่ผ่านการย่อยสลายด้วยเอนไซม์ปริมาณ 2 เบอร์เท็นต์ต่อน้ำหนักตัวอย่าง เป็นเวลา 1 ชั่วโมง ต่อปริมาณกรดอะมิโนทั้งหมด พบร่วมค่า 0.41 ซึ่งใกล้เคียงกับสัดส่วนของกรดอะมิโน

เหล่านี้ต่อกรดอะมิโนทั้งหมดในส่วนใสของโครงปานิลบดเจือจากที่ได้ภายหลังการป่นเหวี่ยง (0.43) โดยสามารถอธิบายผลการทดลองในส่วนของ % ACE inhibition (รูปที่ 4.6) ได้เช่นเดียวกับในกรณีของสัดส่วนของกรดอะมิโนไม่ชอบน้ำ

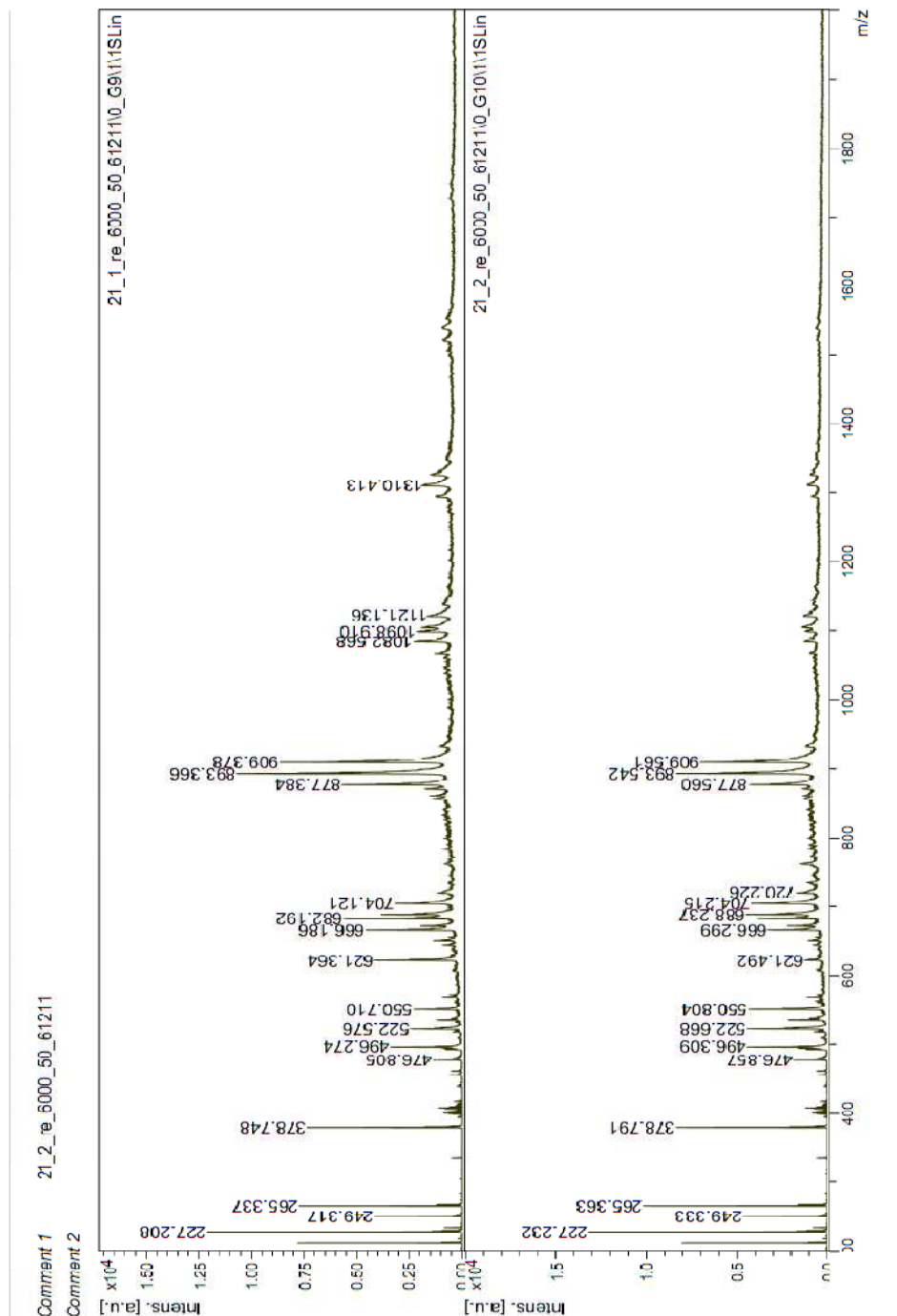
ปัจจัยสำคัญที่สามารถบ่งบอกถึงความสามารถในการเป็นสารต้านอนุมูลอิสระ และยับยั้งการทำงานของ ACE ของโปรตีนไอก็อดร่าไลเซทจากโครงปานิล คือ ขนาดของ เปปไทด์ที่เป็นองค์ประกอบในโปรตีนไอก็อดร่าไลเซท ดังนั้นงานวิจัยในส่วนต่อไป จึงเป็นการวิเคราะห์ขนาดของ เปปไทด์ในโปรตีนไอก็อดร่าไลเซทจากโครงปานิล โดยอาศัยหลักการวิเคราะห์มวลของสารด้วยเทคนิค MALDI-tof

4.6 การวิเคราะห์ขนาดของเปปไทด์

ในการวิเคราะห์ขนาดของเปปไทด์ที่เป็นองค์ประกอบในโปรตีนไอก็อดร่าไลเซทจากโครงปานิลสำหรับงานวิจัยนี้ จะใช้เทคนิค MALDI-tof ซึ่งอาศัยหลักการวิเคราะห์มวลของสารในการประเมินขนาดของเปปไทด์ โดยจะทำการวิเคราะห์ขนาดของเปปไทด์ในช่วง 0-6000 Da การวิเคราะห์ขนาดของเปปไทด์ที่เป็นองค์ประกอบในโปรตีนไอก็อดร่าไลเซทจะเป็นส่วนช่วยอธิบายเชื่อมโยงความสามารถของโปรตีนไอก็อดร่าไลเซทจากโครงปานิลในการเป็นสารต้านอนุมูลอิสระ และยับยั้งการทำงานของ ACE ในรูปที่ 4.7 แสดง mass spectrum ขนาดของเปปไทด์ในโปรตีนไอก็อดร่าไลเซทจากโครงปานิลที่ผ่านการย่อยสลายด้วยเอนไซม์ปริมาณ 2 เบอร์เซ็นต์ต่อน้ำหนักตัวอย่าง เป็นเวลา 1 ชั่วโมง เปรียบเทียบกับ mass spectrum ของส่วนใสของโครงปานิลบดเจือจากที่ไม่ผ่านการย่อยสลายด้วยเอนไซม์ และ mass spectrum ของสารละลาย α -cyano-4-hydroxycinnamic acid (CCA) อีกด้วยที่ใช้เป็น matrix สำหรับการทดสอบ และ รูปที่ 4.8 แสดง mass spectrum ขนาดของเปปไทด์ในโปรตีนไอก็อดร่าไลเซทจากโครงปานิล ที่ผ่านการย่อยสลายด้วยเอนไซม์ปริมาณ 2 เบอร์เซ็นต์ต่อน้ำหนักตัวอย่าง เป็นเวลา 1 ชั่วโมงเมื่อเพิ่มช่วงของการวิเคราะห์เป็น 400-1800 m/z ตามลำดับ



รูปที่ 4.7 mass spectrum แสดงการวิเคราะห์ข้อมูลของเปปไทด์ที่เป็นองค์ประกอบในปรัตีนไครโตรไลเซฟจากโครงปานินิลที่ผ่านการกรองด้วยสไลด์คัมเบโนไทร์ปิวเมกาน 2 เปอร์เซ็นต์ต่อหน่วยน้ำกตตัวอย่าง เป็นเวลา 1 ชั่วโมง (C) เปรียบเทียบกับข้อมูลของเปปไทด์ที่เป็นองค์ประกอบในโครงปานินิลบดเจือจาย CCA โดยใช้ matrix สำหรับทดสอบ (A) และสารละลายนิล (B)



เมื่อพิจารณา Mass spectrum แสดงขนาดเปปไทด์ในช่วง 0-400 Da ที่เป็นองค์ประกอบในโปรตีนไฮโดรไลเซทจากโครงปลาโนลที่ผ่านการย่อยสลายด้วยเอนไซม์บิรมาน 2 เปอร์เซ็นต์ต่อน้ำหนักตัวอย่าง เป็นเวลา 1 ชั่วโมง (รูป 4.7 C) จะพบว่า โปรตีนไฮโดรไลเซทจากโครงปลาโนลที่ผ่านการย่อยสลายด้วยเอนไซม์บิรมาน 2 เปอร์เซ็นต์ต่อน้ำหนักตัวอย่าง เป็นเวลา 1 ชั่วโมง ประกอบด้วยเปปไทด์ที่มีขนาดต่างๆ กันหลายขนาด ซึ่ง peak ส่วนหนึ่งของ spectrum นั้น เป็นผลมาจากการรับกวนของสารละลายน้ำ CCA อิมตัวที่ใช้เป็น matrix สำหรับการทดสอบ (รูป 4.7 A) ดังนั้นการวิเคราะห์ขนาดของเปปไทด์ที่เป็นองค์ประกอบในโปรตีนไฮโดรไลเซทจากโครงปลาโนลที่ผ่านการย่อยสลายด้วยเอนไซม์บิรมาน 2 เปอร์เซ็นต์ต่อน้ำหนักตัวอย่าง เป็นเวลา 1 ชั่วโมง จะต้องเทียบกับ spectrum ของสารละลายน้ำ CCA อิมตัวด้วย โดยเมื่อพิจารณาเบริร์ยบเทียบแล้ว พบว่าโปรตีนไฮโดรไลเซทจากโครงปลาโนล ที่ผ่านการย่อยสลายด้วยเอนไซม์บิรมาน 2 เปอร์เซ็นต์ต่อน้ำหนักตัวอย่าง เป็นเวลา 1 ชั่วโมง ประกอบด้วย เปปไทด์ที่มีขนาด 74.723, 116.852, 130.891, 145.942, 154.924, 174.057 และ 265.171 Da ร่วมกับรูปที่ 4.8 ที่แสดง Mass spectrum ขนาดของเปปไทด์ในช่วง 400-1800 Da ที่เป็นองค์ประกอบในโปรตีนไฮโดรไลเซทจากโครงปลาโนล ที่ผ่านการย่อยสลายด้วยเอนไซม์ที่สภาวะเดียวกัน ซึ่งพบเปปไทด์ที่มีขนาด 476.805, 496.274, 522.576, 550.710, 621.364, 666.186, 682.192, 704.121, 877.384, 893.366, 909.378, 1082.568, 1098.910, 1121.136 และ 1310.413 Da สำหรับเปปไทด์ขนาดใหญ่กว่า 1800 Da นั้นจะแสดงในรูปภาคผนวกที่ ง.7 โดยพบว่าประกอบด้วยเปปไทด์ที่มีขนาด คือ 2329.374, 3797.199, 4584.567, 4657.032, 5695.355 และ 5779.008 Da ในขณะที่ส่วนใหญ่ของโครงปลาโนลบดเจือจากที่ได้จากการปั่นเหวี่ยง จะประกอบด้วยเปปไทด์ที่มีขนาด 0-400 Da (แสดงในรูป 4.7 B) คือ 74.730, 116.858, 130.887 และ 265.188 Da แต่ไม่พบ เปปไทด์ที่มีขนาดในช่วง 400-1800 Da (ไม่แสดงผลการทดลอง) ในขณะที่จะพบเปปไทด์ขนาดใหญ่ (แสดงผลการทดลองในรูปภาคผนวกที่ ง.8) คือ 5678.141 และ 5781.973 Da ตามลำดับ ซึ่งจะเห็นว่า โปรตีน ไฮโดรไลเซทจากโครงปลาโนล ที่ผ่านการย่อยสลายด้วยเอนไซม์บิรมาน 2 เปอร์เซ็นต์ต่อน้ำหนักตัวอย่าง เป็นเวลา 1 ชั่วโมง จะประกอบด้วยเปปไทด์ที่มีขนาดเล็ก และมีความหลากหลายในช่วง 400-1800 Da หากกว่าเปปไทด์ที่เป็นองค์ประกอบในส่วนใหญ่ของโครงปลาโนลบดเจือจากที่ได้จากการปั่นเหวี่ยง ทั้งนี้เป็นเพราะว่า เอนไซม์ Flavourzyme® 1000 L ที่ใช้

ในการย่อยสลายน้ำเป็นเอนไซม์สมรรถว่าง endoprotease และ exoprotease ซึ่งจะสามารถย่อยสลายพันธะเปปไทด์ได้ จากทั้งปลายสาย และภายในสายเปปไทด์ ดังนั้นปริมาณเอนไซม์ และเวลาในการย่อยที่เพิ่มขึ้น จึงส่งผลให้เกิดการย่อยสลายพันธะเปปไทด์ได้มากขึ้น ผลิตภัณฑ์ที่ได้จะเป็นกรดอะมิโนอิสระ และเปปไทด์ขนาดเล็ก เมื่อพิจารณาขนาดของ เปปไทด์ที่ส่งผลต่อความสามารถในการเป็นสารต้านอนุมูลอิสระ และ ยับยั้งการทำงานของ ACE โดยพิจารณาขนาดของเปปไทด์ใน 2 ช่วง คือ เปปไทด์ที่มีขนาดประมาณ 1000-1300 Da ซึ่งมีรายงานว่าเป็นขนาดที่เหมาะสมสำหรับต้านอนุมูลอิสระ (Wu, Chen และ Shiao, 2003 ; Jun, Jung และ Kim, 2004) และเปปไทด์ที่มีขนาดอยู่ในช่วง ได หรือ ไตรเปปไทด์ (เป็นขนาดที่เหมาะสมในการยับยั้งการทำงานของ ACE (Tsai, Chen และ Pan, 2008)) พบว่า โปรตีนไอก็อไลเซฟจากโครงปลานิลที่ผ่านการย่อยสลายด้วยเอนไซม์ปริมาณ 2 เปอร์เซ็นต์ต่อน้ำหนักตัวอย่าง เป็นเวลา 1 ชั่วโมง ประกอบด้วยเปปไทด์ที่มีขนาด 400-1300 Da เป็นจำนวนมาก และมีได หรือ ไตรเปปไทด์ในปริมาณที่หลากหลายกว่าในส่วนของโครงปลานิล ที่ผ่านการย่อยสลายด้วยเอนไซม์ปริมาณ 2 เปอร์เซ็นต์ต่อน้ำหนักตัวอย่าง เป็นเวลา 1 ชั่วโมง มีค่ามากกว่าในส่วนของโครงปลานิล ที่ผ่านการย่อยสลายด้วยเอนไซม์ปริมาณ 2 เปอร์เซ็นต์ต่อน้ำหนักตัวอย่าง (รูปที่ 4.3, 4.4 ,4.5 และ 4.6 ตามลำดับ)

เนื่องจากโปรตีนไอก็อไลเซฟที่อยู่ในสถานะของเหลว จะต้องเก็บรักษาที่อุณหภูมิ -20°C และมีอายุการเก็บรักษาสั้นที่อุณหภูมิห้อง ดังนั้นเพื่อความสะดวกในการเก็บรักษา งานวิจัยนี้จึงศึกษาการผลิตผงโปรตีนไอก็อไลเซฟด้วยวิธีการทำแห้งแบบพ่นกระเจา และศึกษาสมบัติในการเป็นสารต้านอนุมูลอิสระ และ ยับยั้งการทำงานของ ACE ของผงโปรตีนไอก็อไลเซฟจากโครงปลานิลจากสภาวะที่คัดเลือก เปรียบเทียบกับผงส่วนใหญ่ของโครงปลานิล ที่ผ่านการย่อยสลายด้วยเอนไซม์ปริมาณ 2 เปอร์เซ็นต์ต่อน้ำหนักตัวอย่าง ที่เก็บรักษาที่อุณหภูมิห้อง ดังนั้นเพื่อความสะดวกในการใช้งาน จึงได้ศึกษาสมบัติในการเก็บรักษา

4.7 การผลิตผงโปรตีนไอก์โดยไรเซทจากโครงปานิล

การผลิตผงโปรตีนไอกิวิดรไลเซทจากโครงปลานิล ดัดแปลงจากวิธีของ Abdul-Hamid, Bakar และ Bee (2002) โดยจะใช้วิธีการทำแห้งแบบพ่นกระเจา (BuCHI Mini Spray Dryer B290) โดยมีอัตราการไหลของอากาศ (air flow) ภายในเครื่องทำแห้งคงที่ 30%, ค่า aspiration เท่ากับ 100, อุณหภูมิลมร้อนขาเข้า 150°C, อุณหภูมิลมร้อนขาออกอยู่ในช่วง 80-90°C, Feed rate 30% (7 มิลลิลิตรต่อน้ำที่) ใช้ maltodextrin (10% DE) ในปริมาณ 10 เปอร์เซ็นต์ของน้ำหนักตัวอย่าง เป็นสารช่วยทำแห้ง ตารางที่ 4.3 และ 4.4 แสดง % yield และ ค่าสีในระบบ L* a* b* ของผงโปรตีนไอกิวิดรไลเซทจากโครงปลานิล ตามลำดับ

ตารางที่ 4.3 % yield ของผลิตภัณฑ์ผงโปรตีนไฮโดรไลเซทจากโครงปลานิล

ปริมาณไชโตรไลเซทจากโครงสร้าง	น้ำหนักตัวอย่าง	น้ำหนักตัวอย่าง	% yield
ปริมาณเอนไซม์ (%)	เวลาในการแยก (นาที)	เริ่มต้น (กรัม)	สุดท้าย (กรัม)
2	1	88	32.21
0	0	88	32.37

ผงโปรตีนไอก่อร์ไอลเซทจากโครงปลาโนลที่ผ่านการย่อยสลายด้วยเอนไซม์บิวามัน 2 เปอร์เซ็นต์ต่อน้ำหนักตัวอย่าง เป็นเวลา 1 ชั่วโมง และผงส่วนใหญ่ของโครงปลาโนลคงเหลือจากการย่อยสลายเพียง 36.60 เปอร์เซ็นต์ และ 36.78 เปอร์เซ็นต์ ตามลำดับ โดยผงโปรตีนไอก่อร์ไอลเซทจากโครงปลาโนลที่ผ่านการย่อยสลายด้วยเอนไซม์บิวามัน 2 เปอร์เซ็นต์ต่อน้ำหนักตัวอย่าง เป็นเวลา 1 ชั่วโมง และผงส่วนใหญ่ของโครงปลาโนลคงเหลือจากการย่อยสลายเพียง 36.60 เปอร์เซ็นต์ และ 36.78 เปอร์เซ็นต์ ตามลำดับ และมีกลิ่นความปลา มีความชื้นเป็นองค์ประกอบ 6.93 และ 5.20 เปอร์เซ็นต์ ตามลำดับ

หลังจากพิจารณาแล้วก็จะแนวทางการภาพ เช่น สี และ กลิ่นของผงโปรตีนไอก็จะได้เช่น การวัดค่าสีในระบบ $L^* a^* b^*$ จะเป็นส่วนที่ช่วยในการพิจารณาคุณภาพของผลิตภัณฑ์ผงโปรตีนไอก็จะได้เช่นที่ได้ให้มีความแม่นยำมากขึ้น

ตารางที่ 4.4 ค่าสีในระบบ $L^* a^* b^*$ ของผงโปรตีนไอก็อดร์ไลเซทจากโครงปลานิล

โปรตีนไอก็อดร์ไลเซทจากโครงปลานิล		ค่าสี		
ปริมาณเอนไซม์ (%)	เวลาในการย่อย(ชั่วโมง)	L^*	a^*	b^*
2	1	67.61 ± 2.83	-1.14 ± 0.14	2.67 ± 0.13
0	0	72.69 ± 0.30	-1.45 ± 0.01	2.16 ± 0.04

ตารางที่ 4.4 แสดงค่าสีของผงโปรตีนไอก็อดร์ไลเซทจากโครงปลานิลที่ได้จากการทำแห้งในทั้ง 2 สภาพโดยระบบ $L^* a^* b^*$ พบว่า ผงโปรตีนไอก็อดร์ไลเซทที่ได้จากการทำแห้งโปรตีนไอก็อดร์ไลเซทจากโครงปลานิล ที่ผ่านการย่อยสลายด้วยเอนไซม์ปริมาณ 2 เปอร์เซ็นต์ต่อน้ำหนักตัวอย่าง เป็นเวลา 1 ชั่วโมง จะมีสีค่อนข้างเหลือง โดยมีค่าความสว่าง (L^*) เป็น 67.61 เปอร์เซ็นต์ค่าสีแดง (a^*) -1.14 เปอร์เซ็นต์ และ ค่าสีเขียว (b^*) 2.67 เปอร์เซ็นต์ ในขณะที่ผงส่วนใหญ่ของโครงปลานิลบดเจื้อจาง จะมีสีค่อนข้างขาว มีค่าความสว่าง (L^*) เป็น 72.69 เปอร์เซ็นต์ ค่าสีแดง (a^*) -1.45 เปอร์เซ็นต์ และ ค่าสีเขียว (b^*) 2.16 เปอร์เซ็นต์ ตามลำดับ เนื่องจากเอนไซม์ Flavourzyme[®] 1000 L ที่ใช้ในการย่อยสลายจะมีสีน้ำตาล ดังนั้นโปรตีนไอก็อดร์ไลเซทที่ผ่านกระบวนการย่อยสลายด้วยเอนไซม์ Flavourzyme[®] 1000 L จึงมีสีเข้ม ซึ่งเป็นผลมาจากการย่อยสลายที่ใช้เอนไซม์ Flavourzyme[®] ที่ใช้สำหรับผลิตโปรตีนไอก็อดร์ไลเซท (Thiansilakul, Benjakul และ Shahidi, 2007) และสภาวะในกรวยย่อยสลายที่ใช้ความร้อน เป็นเวลานาน จะทำให้เกิดปฏิกิริยาต่างๆ ได้ง่าย และมากขึ้น เช่น ปฏิกิริยาออกซิเดชัน และ ปฏิกิริยาการเกิดสีน้ำตาล เป็นต้น ปฏิกิริยาเหล่านี้จะทำให้ผลิตภัณฑ์โปรตีนไอก็อดร์ไลเซทที่ได้มีสีเข้ม (Dong และคณะ, 2007)

หลังจากพิจารณาลักษณะทางกายภาพของผงโปรตีนไอก็อดร์ไลเซทจากโครงปลานิลที่ได้แล้ว ขั้นตอนต่อไปจะเป็นการวิเคราะห์ปริมาณโปรตีนที่เป็นองค์ประกอบใน ผงโปรตีนไอก็อดร์ไลเซทจากสภาวะที่คัดเลือกเทียบกับผงส่วนใหญ่ของโครงปลานิลบดเจื้อจาง ดังแสดงในตารางที่ 5

ตารางที่ 4.5 ปริมาณโปรตีนที่เป็นองค์ประกอบในผงโปรตีนไอก็อโรไลเซทจากโครงปลาโนล

ผงโปรตีนไอก็อโรไลเซทจากโครงปลาโนล	ปริมาณโปรตีน (กรัม ต่อ 100 กรัม)
ปริมาณเอนไซม์ (%)	เวลาในการย่อย
	(ชั่วโมง)
2	1
0	0
	7.56
	3.44

ปริมาณโปรตีนที่เป็นองค์ประกอบในตัวอย่างทั้งสองที่วิเคราะห์ได้ จะนำมาใช้ในการคำนวณปริมาณตัวอย่างที่ต้องใช้ในการวิเคราะห์สมบัติในการต้านอนุมูลอิสระ(โดยวิธี DPPH, วิธี metal chelating activity และ วิธี TBA) และยับยั้งการทำงานของ ACE เพื่อให้มีปริมาณโปรตีนที่เป็นองค์ประกอบใกล้เคียงกับตัวอย่างทั้งสองที่อยู่ในสภาพของเหลวก่อนการทำแท้แห้ง จากตารางที่ 4.5 พบร้า ผงโปรตีนไอก็อโรไลเซทจากโครงปลาโนลที่ผ่านการย่อยສลายด้วยเอนไซม์ปริมาณ 2 เปอร์เซ็นต์ต่อน้ำหนักตัวอย่าง เป็นเวลา 1 ชั่วโมง มีปริมาณโปรตีนเป็นองค์ประกอบ 7.56 กรัมต่อ 100 กรัม มากกว่า ปริมาณโปรตีนในผงส่วนใหญ่ของโครงปลาโนลبدเจ้อจาง ซึ่งมีค่า 3.44 กรัมต่อ 100 กรัม โดยเป็นผลมาจากการปริมาณโปรตีนในโปรตีนไอก็อโรไลเซทจากโครงปลาโนล สภาวะที่คัดเลือกในสภาพของเหลว มีมากกว่าในส่วนใหญ่ของโครงปลาโนลbdเจ้อจางที่ได้ภายหลังจากการปั่นหวีร่วง (ของเหลว) (มีปริมาณโปรตีน 1.17 และ 0.24 กรัมต่อ 100กรัม ตามลำดับ)

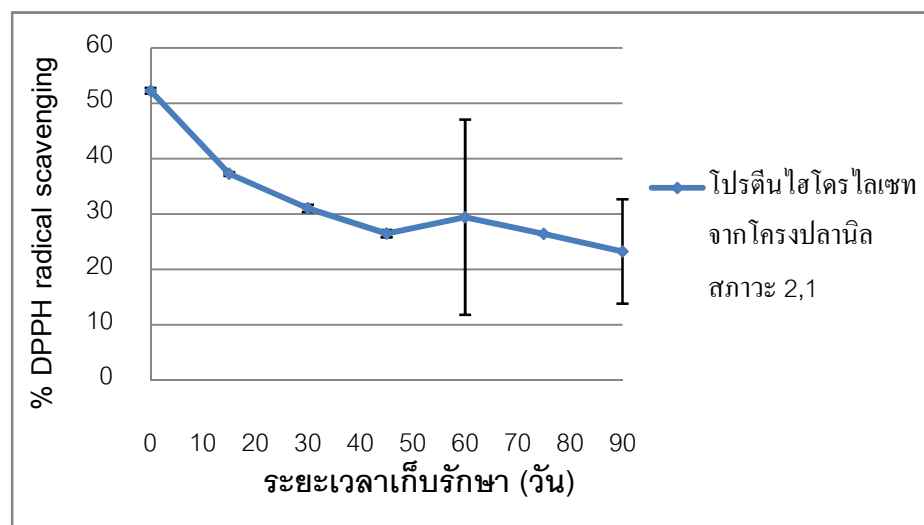
4.7.1 การติดตามการเปลี่ยนแปลงสมบัติในการเป็นสารต้านอนุมูลอิสระ และสมบัติในการเป็นสารยับยั้งการทำงานของ ACE ของผงโปรตีนไอก็อโรไลเซทจากโครงปลาโนล ในระหว่างการเก็บรักษา

งานวิจัยนี้จะติดตามอายุการเก็บรักษาของผงโปรตีนไอก็อโรไลเซทจากโครงปลาโนล โดยเก็บตัวอย่างผงโปรตีนไอก็อโรไลเซทในถุง laminated aluminium foil (PE-Al-PP) ปิดสนิท ที่อุณหภูมิห้อง เป็นเวลา 90 วัน ทำการวิเคราะห์ความสามารถในการเป็นสารต้านอนุมูลอิสระ และยับยั้งการทำงานของ ACE ของผงโปรตีนไอก็อโรไลเซท ทุกๆ 15 วัน ในด้านการเป็นสารต้านอนุมูลอิสระ ติดตามโดยวิเคราะห์ค่า % DPPH radical scavenging, ค่า % metal chelating activity

และค่า % TBA activity ratio และสำหรับความสามารถในการเป็นสารยับยั้งการทำงานของ ACE นั้นจะพิจารณาการเปลี่ยนแปลงของค่า % ACE inhibition

4.7.1.1 การติดตามการเปลี่ยนแปลงสมบัติในการเป็นสารต้านอนุมูลอิสระโดยวิธี DPPH

สำหรับการติดตามการเปลี่ยนแปลงสมบัติในการเป็นสารต้านอนุมูลอิสระโดยวิธี DPPH นั้น จะทำการทดลองโดยชั่งน้ำหนักผงโปรตีนไอก็อโรไลเซทจากโครงปานิลที่ผ่านการย่อยสลายด้วยเอนไซม์ปริมาณ 2 เปอร์เซ็นต์ต่อน้ำหนักตัวอย่าง เป็นเวลา 1 ชั่วโมง และ ผงจากการทำแห้งของส่วนใหญ่ของโครงปานิลเดือดเจือจางที่ได้ภายหลังจากการปั่นเหวี่ยง มาละลายน้ำกลัน และผสมกับสารละลาย DPPH เขียว่าให้เข้ากันด้วย vortex ตั้งทิ้งไว้ 30 นาที แล้ววัดค่าการดูดกลืนแสงของสารละลายผสมที่ความยาวคลื่น 517 นาโนเมตร โดยค่า % DPPH radical scavenging ของผงโปรตีนไอก็อโรไลเซทจากโครงปานิลที่ผ่านการย่อยสลายด้วยเอนไซม์ปริมาณ 2 เปอร์เซ็นต์ต่อน้ำหนักตัวอย่าง เป็นเวลา 1 ชั่วโมงนั้นจะแสดงในรูปที่ 4.9 (ตารางภาคผนวกที่ ก.7)



รูปที่ 4.9 การเปลี่ยนแปลงของ % DPPH radical scavenging ของผงโปรตีนไอก็อโรไลเซทจากโครงปานิลที่ผ่านการย่อยสลายด้วยเอนไซม์ปริมาณ 2 เปอร์เซ็นต์ต่อน้ำหนักตัวอย่าง เป็นเวลา 1 ชั่วโมง

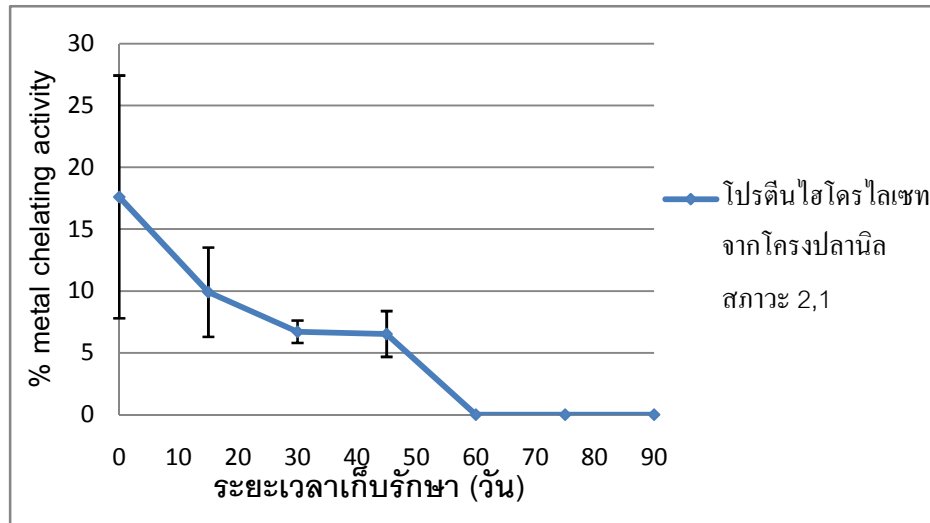
ค่า % DPPH radical scavenging ของผงโปรตีนไอก็อโรไลเซทจากโครงปลานิลที่ผ่านการย่อยสลายด้วยเอนไซม์ปริมาณ 2 เปอร์เซ็นต์ต่อน้ำหนักตัวอย่าง เป็นเวลา 1 ชั่วโมง มีค่าเริ่มต้นเท่ากับ 52.25 เปอร์เซ็นต์ และ จะมีค่าลดลงอย่างมีนัยสำคัญ ($p \leq 0.05$) เมื่อผ่านการเก็บรักษาเป็นเวลา 30 วัน จากนั้นเมื่อระยะเวลาในการเก็บรักษานานขึ้นเป็น 45-90 วัน % DPPH radical scavenging ของผงโปรตีนไอก็อโรไลเซทจากสภาวะที่คัดเลือกจะไม่เปลี่ยนแปลงอย่างมีนัยสำคัญทางสถิติ ($p > 0.05$) ผลการทดลองนี้สอดคล้องกับงานวิจัยของ Thiansilakul, Benjakul และ Shahidi (2007) ซึ่งศึกษาการเปลี่ยนแปลงค่า % DPPH radical scavenging ของผงโปรตีนไอก็อโรไลเซทจาก round scad (เตรียมโดยการทำแห้งแบบแช่เยือกแข็ง) ในระหว่างการเก็บรักษาที่อุณหภูมิ 25°C เป็นเวลา 6 สัปดาห์ พบร่วมกับผงโปรตีนไอก็อโรไลเซทจาก round scad มีค่า % DPPH radical scavenging เริ่มต้นประมาณ 59.9 เปอร์เซ็นต์ และจะลดลงอย่างมีนัยสำคัญทางสถิติ ($p \leq 0.05$) เมื่อผ่านการเก็บรักษาเป็นเวลา 1 สัปดาห์ และไม่พบการเปลี่ยนแปลงอย่างมีนัยสำคัญของค่า % DPPH radical scavenging เมื่อเพิ่มระยะเวลาในการเก็บรักษาที่อุณหภูมิ 25 °C เป็นเวลา 6 สัปดาห์ สำหรับผงส่วนใหญ่ของโครงปลานิลบดเจือจาก นั้นไม่สามารถคำนวณค่า % DPPH radical scavenging ได้ เนื่องจากสารละลายน้ำและสารอ่อนล้าในผงส่วนใหญ่ของโครงปลานิลบดเจือจาก และสารละลายน้ำ DPPH มีลักษณะชุ่น ทำให้ค่าการดูดกลืนแสงที่วัดได้นั้นมีค่ามากกว่าค่าการดูดกลืนแสงของสารละลายน้ำคุณ จึงไม่สามารถคำนวณค่า % DPPH radical scavenging ได้ ทั้งนี้คาดว่าเกิดจากการที่ผงส่วนใหญ่ของโครงปลานิลบดเจือจากประกอบด้วยโปรตีนในปริมาณที่น้อยกว่าในส่วนของผงโปรตีนไอก็อโรไลเซทจากโครงปลานิลสภาวะที่คัดเลือก ดังนั้นเพื่อให้ปริมาณโปรตีนเท่ากัน จึงต้องใช้ผงส่วนใหญ่ของโครงปลานิลบดเจือจากในปริมาณมาก ทำให้มีมอโนโบทีกซ์ทริน ซึ่งไม่ละลายน้ำ อยู่ในระบบที่ทำการตรวจวัดในปริมาณมาก สารละลายน้ำจึงมีความชุ่น และไม่สามารถวัดการเกิดปฏิกิริยาได้ ซึ่งตรงกันข้ามกับในกรณีของผงโปรตีนไอก็อโรไลเซทจากโครงปลานิล ที่ผ่านการย่อยสลายด้วยเอนไซม์ปริมาณ 2 เปอร์เซ็นต์ต่อน้ำหนักตัวอย่าง เป็นเวลา 1 ชั่วโมง จะมีโปรตีนเป็นองค์ประกอบในปริมาณมาก จึงใช้ในปริมาณน้อย นอกจานนี้ผงโปรตีนไอก็อโรไลเซทจากโครงปลานิลที่สภาวะนี้ จะมีระดับการย่อยสลายโปรตีนค่อนข้างสูง ซึ่งจะทำให้เกิดเปปไทด์ขนาดเล็กที่มีความเป็นชั้นมากขึ้น จึงสามารถสร้างพันธะไอก็อโรไลเซทกับน้ำ และส่งผลต่อความสามารถในการละลายที่เพิ่มขึ้น (Klompong และคณะ, 2007; Dong และคณะ,

2008) เมื่อเปรียบเทียบค่า % DPPH radical scavenging ของผงโปรตีนไอก็อดร์ไลเซทจากโครงปลานิลที่ผ่านการย่อยสลายด้วยเอนไซม์บิโรมาณ 2 เปอร์เซ็นต์ต่อน้ำหนักตัวอย่าง เป็นเวลา 1 ชั่วโมง กับ โปรตีนไอก็อดร์ไลเซท (ของเหลว) ที่สภาวะเดียวกัน จะพบว่า ผงโปรตีนไอก็อดร์ไลเซทมีค่า % DPPH radical scavenging น้อยกว่าค่า % DPPH radical scavenging ของโปรตีนไอก็อดร์ไลเซท (ของเหลว) อาจเนื่องมาจากความร้อนที่ใช้ในการทำแห้งโปรตีนไอก็อดร์ไลเซท ทำให้กรดอะมิโนและเปปไทด์บางส่วนเกิดการเสียสภาพรวมชาติ (Abdul-Hamid, Bakar และ Bee, 2002)

4.7.1.2 การติดตามการเปลี่ยนแปลงสมบัติในการเป็นสารต้านอนุมูลอิสระโดยวิธี metal chelating activity

ในการติดตามการเปลี่ยนแปลงของค่า % metal chelating activity ของผงโปรตีนไอก็อดร์ไลเซทจากโครงปลานิล ที่ผ่านการย่อยสลายด้วยเอนไซม์บิโรมาณ 2 เปอร์เซ็นต์ต่อน้ำหนักตัวอย่าง เป็นเวลา 1 ชั่วโมง นั้นจะทำการทดลองโดยดัดแปลงจากวิธีของ Klompong และคณะ (2007) โดยเริ่มต้นจากการซึ่งตัวอย่างผงโปรตีนไอก็อดร์ไลเซทจากโครงปลาที่ผ่านการย่อยสลายด้วยเอนไซม์บิโรมาณ 2 เปอร์เซ็นต์ต่อน้ำหนักตัวอย่าง เป็นเวลา 1 ชั่วโมง ละลายในน้ำกลัน และผสมกับสารละลาย FeCl_2 และสารละลาย 3-(2-pyridyl)-5,6-bis(4-phenyl-sulfonic acid)-1,2,4-triazine (ferrozine) เขียวให้เข้ากัน และตั้งทึ้งไว้ 20 นาที จากนั้นวัดค่ากรดกลีนแสงที่ความยาวคลื่น 562 นาโนเมตร

รูปที่ 4.10 (ตารางภาคผนวกที่ ก.9) แสดงให้เห็นว่า ระยะเวลาในการเก็บรักษา ส่งผลให้ผงโปรตีนไอก็อดร์ไลเซทจากโครงปลานิล มีความสามารถในการเป็นสารต้านอนุมูลอิสระลดน้อยลง เมื่อวิเคราะห์ด้วยวิธี metal chelating activity ผงโปรตีนไอก็อดร์ไลเซทจากโครงปลานิลที่ผ่านการย่อยสลายด้วยเอนไซม์บิโรมาณ 2 เปอร์เซ็นต์ต่อน้ำหนักตัวอย่างเป็นเวลา 1 ชั่วโมง มีค่า % metal chelating activity เริ่มต้น 17.61 เปอร์เซ็นต์ และจะลดลงอย่างมีนัยสำคัญ ($p \leq 0.05$) เป็น 9.90 เปอร์เซ็นต์ เมื่อผ่านการเก็บรักษาเป็นเวลา 30 วัน และจะมีค่าไม่เปลี่ยนแปลงอย่างไม่มีนัยสำคัญ ($p > 0.05$) เมื่อเพิ่มระยะเวลาในการเก็บรักษา เป็น 45 วัน



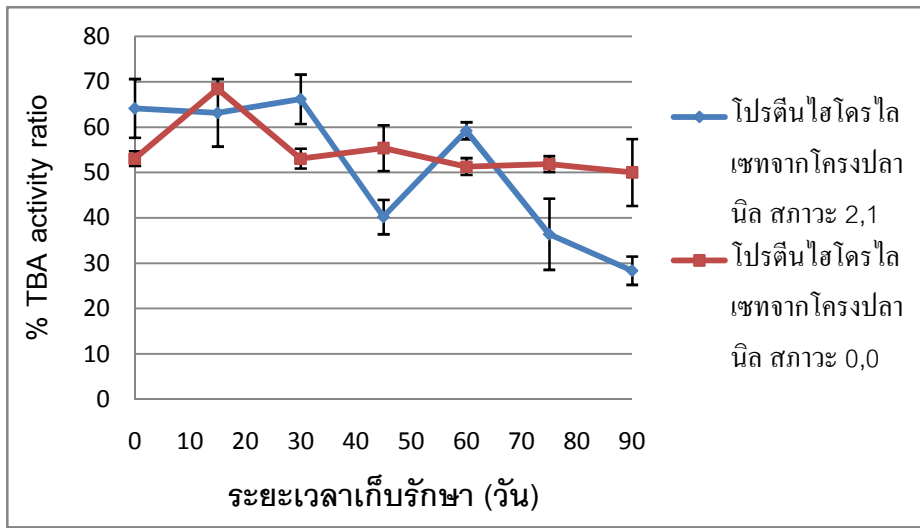
รูปที่ 4.10 การเปลี่ยนแปลงของ % metal chelating activity ของผงโปรตีนไอก็อโรไลเซทจากโครงปลานิล ที่ผ่านการย้อมสลายด้วยเอนไซม์บิรมาน 2 เปอร์เซ็นต์ต่อน้ำหนักตัวอย่าง เป็นเวลา 1 ชั่วโมง

จะไม่สามารถวิเคราะห์ค่า % metal chelating activity ของผงโปรตีนไอก็อโรไลเซทจากโครงปลานิลที่ผ่านการย้อมสลายด้วยเอนไซม์บิรมาน 2 เปอร์เซ็นต์ต่อน้ำหนักตัวอย่าง เป็นเวลา 1 ชั่วโมงได้ ทั้งนี้เนื่องมาจากสารละลายผสมระหว่างผงโปรตีนไอก็อโรไลเซทจากโครงปลานิลที่ผ่านการย้อมสลายด้วยเอนไซม์บิรมาน 2 เปอร์เซ็นต์ต่อน้ำหนักตัวอย่าง เป็นเวลา 1 ชั่วโมง และน้ำกลั่น มีลักษณะขุ่น ซึ่งส่วนหนึ่งอาจเป็นผลมาจากการความสามารถในการละลายที่ลดต่ำลงในระหว่างการเก็บรักษา (Klompong และคณะ, 2007 ; Dong และคณะ, 2008 ; Thiansilakul, Benjakul และ Shahidi, 2007) นอกจากนี้การลดลงของค่า % metal chelating activity ของผงโปรตีนไอก็อโรไลเซทจากโครงปลานิลที่ผ่านการย้อมสลายด้วยเอนไซม์บิรมาน 2 เปอร์เซ็นต์ต่อน้ำหนักตัวอย่าง เป็นเวลา 1 ชั่วโมง เมื่อระยะเวลาในการเก็บรักษายาวนานขึ้น อาจเป็นผลมาจากการดออกมิโน และเปปไทด์ที่เป็นองค์ประกอบในผงโปรตีนไอก็อโรไลเซทถูกทำลายไป หรือทำปฏิกิริยา กับสารอื่นในระบบ (Thiansilakul, Benjakul และ Shahidi, 2007)

4.7.1.3 การติดตามการเปลี่ยนแปลงสมบัติในการเป็นสารต้านอนุมูลอิสระโดยวิธี TBA

การติดตามการเปลี่ยนแปลงของค่า % TBA activity ratio ของผงโปรตีนไอก็อดร์ไลเซท จากโครงปลาโนลที่ผ่านการย่อยสลายด้วยเอนไซม์บิริมาณ 2 เปอร์เซ็นต์ต่อน้ำหนักตัวอย่าง เป็นเวลา 1 ชั่วโมง สามารถทำได้โดยผสมตัวอย่างเข้ากับน้ำมันถั่วเหลือง เอทานอล และสารละลายฟอกสเฟตบัฟเฟอร์ pH 7 บ่มที่อุณหภูมิ 40°C เป็นเวลา 7 วัน และวิเคราะห์ค่า % TBA activity ratio โดยการทำปฏิกิริยา กับ TBA reagent แล้ววัดค่าการดูดกลืนแสงของสารที่ความยาวคลื่น 535 นาโนเมตร รูปที่ 4.11 (ตารางภาคผนวกที่ ก.11 และ ก.12) แสดงการเปลี่ยนแปลงของ % TBA activity ratio ของผงโปรตีน ไอก็อดร์ไลเซทจากโครงปลาโนลที่ผ่านการย่อยสลายด้วยเอนไซม์บิริมาณ 2 เปอร์เซ็นต์ต่อน้ำหนักตัวอย่าง เป็นเวลา 1 ชั่วโมง เทียบกับผงส่วนใสของโครงปลาโนลبدเจ้อจาง

จากรูปที่ 4.11 จะเห็นว่า การลดลงของค่า % TBA activity ratio ของผงโปรตีนไอก็อดร์ไลเซท มีค่าค่อนข้างแปรปรวน กล่าวคือ % TBA activity ratio ของผงโปรตีนไอก็อดร์ไลเซท จากโครงปลาโนล ที่ผ่านการย่อยสลายด้วยเอนไซม์บิริมาณ 2 เปอร์เซ็นต์ต่อน้ำหนักตัวอย่าง เป็นเวลา 1 ชั่วโมง จะมีค่าลดลง ($p \leq 0.05$) เมื่อผ่านการเก็บรักษาเป็นเวลา 45 วัน จากนั้นจะเพิ่มขึ้น และลดลงอย่างมีนัยสำคัญ ($p \leq 0.05$) ที่ระยะเวลาใน การเก็บรักษา 60 วัน และ 75-90 วัน ตามลำดับ ซึ่งอาจเป็นผลมาจากอันตรกิริยาระหว่างสารประกอบไอก็อดร์เปอร์ออกไซด์ และผลิตภัณฑ์จากการสลายตัวของไอก็อดร์เปอร์ออกไซด์ กับกรดอะมิโน และโปรตีน ที่เกิดขึ้นในระหว่างการเก็บรักษา โดยมี pH อุณหภูมิ และค่ากิจกรรมของน้ำ (water activity; a_w) เป็นปัจจัยสำคัญในการเร่งอัตราการเกิดปฏิกิริยา (Ladikos และ Lougovois, 1990) ทั้งนี้อันตรกิริยาดังกล่าวอาจส่งผลต่อความแปรปรวนของค่า % TBA activity ratio ของผงโปรตีนไอก็อดร์ไลเซทจากโครงปลาโนล ที่ผ่านการย่อยสลายด้วยเอนไซม์บิริมาณ 2 เปอร์เซ็นต์ต่อน้ำหนักตัวอย่าง เป็นเวลา 1 ชั่วโมง ได้ nok จากนี้การลดลงของค่า % TBA activity ratio ของผลิตภัณฑ์ผงโปรตีนไอก็อดร์ไลเซทอาจเกิดขึ้นเนื่องจากแก๊สออกซิเจนบางส่วนซึ่งผ่านเข้าสู่ผลิตภัณฑ์ได้ในระหว่างการเก็บรักษา

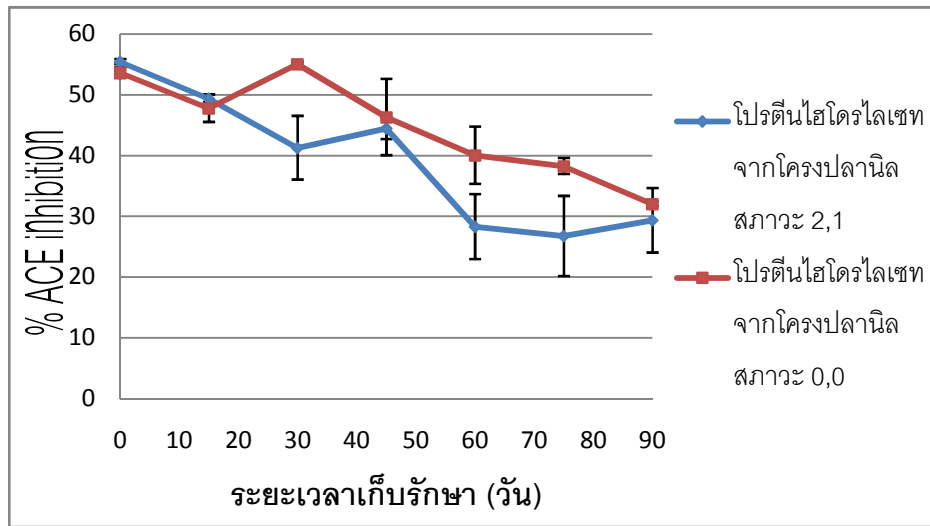


รูปที่ 4.11 การเปลี่ยนแปลงของ % TBA activity ratio ของผงโปรตีนไฮโดรไอลเซทจากโครงปลา尼ลที่ผ่านการย้อมสลายด้วยเอนไซม์บิรมาน 2 เบอร์เซ็นต์ต่อน้ำหนักตัวอย่าง เป็นเวลา 1 ชั่วโมง และผงส่วนใหญ่ของโครงปลาโนบดเจื้อจาง

โดยงานวิจัยของ Jena และ Das (2012) รายงานค่า oxygen transmission rate ของบรรจุภัณฑ์ชนิด Laminate PE-AI-PE ว่ามีค่าเท่ากับ $0.6 \text{ cm}^3 \text{ m}^{-2} \text{ day}^{-1}$ ซึ่งมีผลทำให้ผลิตภัณฑ์ coconut milk powder ที่เก็บที่อุณหภูมิ 38°C เป็นระยะเวลา 50 วัน มีอัตราการเกิดปฏิกิริยาออกซิเดชันมากขึ้นในขณะที่เมื่อพิจารณาค่า % TBA activity ratio ของผงส่วนใหญ่ของโครงปลาโนบดเจื้อจาง จะพบความแปรปรวนในช่วง 30 วันแรกของการเก็บรักษา และจากนั้นค่า % TBA activity ratio ของผงส่วนใหญ่ของโครงปลาโนบดเจื้อจาง จะมีค่าคงที่ เมื่อเพิ่มเวลาในการเก็บเป็น 45-90 วัน สาเหตุอาจเกิดขึ้นเนื่องจากเปปไทด์ขนาดใหญ่ที่เป็นองค์ประกอบในผงส่วนใหญ่ของโครงปลาโนบดเจื้อจาง สามารถรักษาเสถียรภาพในระบบที่มีไขมันเป็นองค์ประกอบได้ดีกว่าเปปไทด์ที่มีขนาดเล็ก

4.7.1.4 การวิเคราะห์ความสามารถในการเป็นสารยับยั้งการทำงานของ ACE
สำหรับการติดตามการเปลี่ยนแปลงของค่า % ACE inhibition ของผงโปรตีนไฮโดรไอลเซทจากโครงปลาโนบดเจื้อจาง ทำการวิเคราะห์โดยชั้นน้ำหนักตัวอย่าง ผสมกับเอนไซม์ Angiotensin I converting และสารละลายน้ำ 30 นาที และหยุดปฏิกิริยาด้วยสารละลายน้ำกรดไฮโดรคลอริก จากนั้นเติมสารละลายน้ำทิลอะ-

ชีเตต ปั่นเหวี่ยง และนำไปประเทยสารละลายเอทิลอะซีเตตในสภาวะสุญญากาศ ได้ผลการทดลองดังต่อไปนี้ (ตารางภาคผนวกที่ ก.13 และ ก.14)



รูปที่ 4.12 การเปลี่ยนแปลงของ % ACE inhibition ของผงโปรตีนไอก็อโรไลเซทจากโครงปลาโนลที่ผ่านการย่อยสลายด้วยเอนไซม์ปริมาณ 2 เปอร์เซ็นต์ต่อน้ำหนักตัวอย่าง เป็นเวลา 1 ชั่วโมง และผงส่วนใหญ่ของโครงปลาโนลบดเจือจาง

รูปที่ 4.12 แสดงให้เห็นว่า ระยะเวลาในการเก็บรักษาส่งผลต่อการลดลงของค่า % ACE inhibition ของผงโปรตีนไอก็อโรไลเซทจากโครงปลาโนลที่ผ่านการย่อยสลายด้วยเอนไซม์ปริมาณ 2 เปอร์เซ็นต์ต่อน้ำหนักตัวอย่าง เป็นเวลา 1 ชั่วโมง และผงส่วนใหญ่ของโครงปลาโนลบดเจือจาง อย่างมีนัยสำคัญทางสถิติ ($p \leq 0.05$) เนื่องจากความสามารถในการเป็นสารยับยั้งการทำงานของ ACE ของโปรตีนไอก็อโรไลเซทจากโครงปลาโนลนั้น เป็นผลมาจากการลดลงของค่า % ACE inhibition (Hernandez-Ledesma, Contreras และ Recio, 2011) กระบวนการทำแห้งแบบพ่นกระเจยที่ใช้ความร้อนสูงในการระเหยน้ำออกจากการผลิตภัณฑ์ ทำให้ปริมาณกรดอะมิโนที่เป็นองค์ประกอบในผงโปรตีนไอก็อโรไลเซทจากปลาโนลมีปริมาณลดลง (Abdul-Hamid, Barkar และ Bee, 2002) โดยมีรายงานว่ากระบวนการทำแห้งที่ความร้อน (thermal processing) มีผลทำให้เกิดการ cross-linked ของ

กรดอะมิโนที่เป็นองค์ประกอบในสายเปปไทด์ และทำให้เกิดปฏิกิริยา racemization ปฏิกิริยาเหล่านี้ส่งผลต่อการเปลี่ยนแปลงองค์ประกอบของกรดอะมิโนในสายเปปไทด์ ทำให้ปริมาณเปปไทด์ที่มีความสามารถในการเป็นสารยับยั้งการทำงานของ ACE เกิดการเปลี่ยนแปลง (Lopez-Fandino, Otte และ van Camp, 2006) ปฏิกิริยาของชีเดชันที่เกิดขึ้นในระหว่างการแปรรูปและเก็บรักษา สามารถเห็นได้ยวนำให้เกิดการออกชีเดชันของกรดอะมิโนบางชนิด เช่น methionine และ tryptophan เป็นต้น ซึ่งส่วนหนึ่งอาจเป็นผลมาจากการบรรจุภัณฑ์ที่ใช้ในการเก็บรักษาผงโปรตีนไอก็อฟลีเซทจากงานวิจัยนี้เป็นบรรจุภัณฑ์ชนิด laminated aluminium foil ชนิด PE-Al-PP ซึ่งไม่ได้บรรจุแบบสูญญากาศ จึงอาจยอมให้เกิดการซึมผ่านของแก๊สออกซิเจน และความชื้นได้ในระหว่างการเก็บรักษา ปฏิกิริยาของชีเดชันของกรดอะมิโนเหล่านี้จะทำให้เกิดการเปลี่ยนแปลงโครงสร้างของเปปไทด์ที่มีความสามารถในการเป็นสารยับยั้งการทำงานของ ACE

ในงานวิจัยนี้ นอกจากจะศึกษาสมบัติในการเป็นสารต้านอนุมูลอิสระและความสามารถในการเป็นสารยับยั้งการทำงานของ ACE ของโปรตีนไอก็อฟลีเซทจากโครงปานิลแล้ว ยังได้ทำการทดลองในส่วนของโครงปลาสเตชัน ซึ่งมีองค์ประกอบทางเคมีแตกต่างไปจากในส่วนของโครงปานิล การรายงานผลการทดลองในหัวข้อถัดไป จะเป็นส่วนขององค์ประกอบทางเคมีของโครงปลาสเตชันเริ่มต้น และสมบัติเชิงหน้าที่ในการเป็นสารต้านอนุมูลอิสระ และยับยั้งการทำงานของ ACE ของโปรตีนไอก็อฟลีเซทจากโครงปลาสเตชัน ตามลำดับ

4.9 การวิเคราะห์คุณภาพทางเคมีของโครงปลาสเตชัน ก่อนการย่อยสลาย

การทดลองในส่วนนี้จะเป็นการวิเคราะห์องค์ประกอบทางเคมีของโครงปลาสเตชันเริ่มต้น ก่อนการย่อยสลาย ปลาสเตชันที่ใช้ในงานวิจัยนี้ได้รับความอนุเคราะห์จากมูลนิธิชัยพัฒนา ในลักษณะของปลาสเตชันสุดคุณภาพดี น้ำหนักตัวละประมาณ 400 -800 กรัม ซึ่งจะต้องนำมาแล่เนื้อออกก่อน ส่วนโครงปานิลมาใช้ในการทดลองนี้ องค์ประกอบทางเคมีของโครงปลาสเตชันเริ่มต้น ก่อนการย่อยสลายแสดงในตารางที่ 4.6

ตารางที่ 4.6 องค์ประกอบทางเคมีของโครงปลาสติก

องค์ประกอบทางเคมี	โครงปลาสติก (เปอร์เซ็นต์)	
	น้ำหนักเปรียก	น้ำหนักแห้ง
ความชื้น	73.35	-
โปรตีน	18.51	69.46
ไขมัน	2.74	10.28
คาร์บอไฮเดรต	3.16	11.86
เกล้า	2.24	8.40

โครงปลาสติกประกอบด้วยความชื้น 73.35 เปอร์เซ็นต์ (โดยน้ำหนักเปรียก) มีโปรตีน ไขมัน คาร์บอไฮเดรต และเกล้า เท่ากับ 69.46, 10.28, 11.86 และ 8.40 เปอร์เซ็นต์ (โดยน้ำหนักแห้ง) ตามลำดับเปรียบเทียบกับองค์ประกอบทางเคมีของเนื้อปลาสติกเหลือที่พับตามครรภชาติ ซึ่งประกอบด้วย ความชื้น โปรตีน และไขมัน เท่ากับ 81.3, 94.3 และ 1.39 เปอร์เซ็นต์ (Gonzalez และคณะ, 2006) ตามลำดับ พบว่า โครงปลาสติกมีความชื้น และไขมันในปริมาณมากกว่าที่พับ ในเนื้อปลาสติก ในขณะที่มีโปรตีนเป็นองค์ประกอบในปริมาณน้อยกว่า โดยโครงปลา หรือ ก้างปลา นั้นจะประกอบด้วยเนื้อเยื่อไขมัน และแคลเซียมเป็นส่วนใหญ่ (Wu, Stine และ Bechtel, 2011)

เมื่อเปรียบเทียบองค์ประกอบทางเคมีของโครงปลาสติกนิด คือ โครงปานิล และ โครงปลาสติก จะพบว่า โครงปานิลมีไขมัน และเกล้า เป็นองค์ประกอบในปริมาณ (เปอร์เซ็นต์ โดยน้ำหนักแห้ง) มากกว่าโครงปลาสติก ในขณะที่มีปริมาณโปรตีน (โดยน้ำหนักแห้ง) น้อยกว่า ปริมาณโปรตีนในโครงปลาสติก เนื่องจากโครงปานิลสำหรับงานวิจัยนี้ ได้มาจากโรงงาน ที่แล่นเนื้อปลาจากปานิลขนาดตัวละประมาณ 800 กรัม และเป็นส่วนที่เหลือจากการแล่นเนื้อปลาในโรงงานอุตสาหกรรม ซึ่งจะมีส่วนของเนื้อปลาติดมาในปริมาณน้อย ในขณะที่โครงปลาสติก ได้มา จากปลาสติก ขนาดกลาง (น้ำหนักอยู่ในช่วง 400-800 กรัม) และมีส่วนของเนื้อปลาติดมาในปริมาณมากกว่า ทำให้โครงปานิลมีปริมาณไขมัน และเกล้าเป็นองค์ประกอบมากกว่าในโครงปลาสติก แต่มีปริมาณโปรตีนน้อยกว่าในโครงปลาสติก นอกจ้านี้ ชนิด ช่วงอายุ และสภาพต่างๆ

(เช่นถุงกาล เพศ กายวิภาค หรือ ช่วงเวลาวางไข่ เป็นต้น) ก็ส่งผลต่อความแตกต่างขององค์ประกอบทางเคมีของสัตว์น้ำ (นกมล อัศวากेशมนี, 2541)

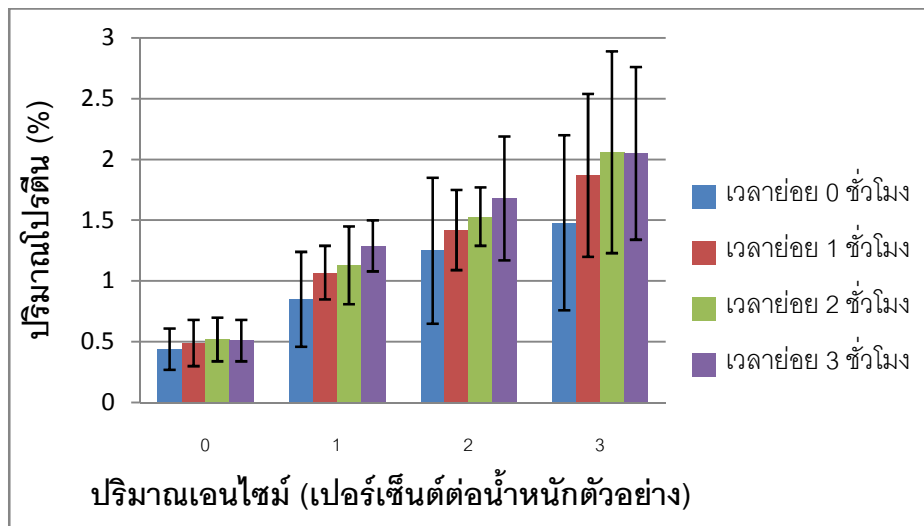
โครงปลากระพงที่ได้นี้จะนำมาใช้เป็นวัตถุดิบในการผลิตโปรตีนไอกอโรไลเซทจากโครงปลากระพง เพื่อหาสภาวะที่เหมาะสมสำหรับผลิตโปรตีนไอกอโรไลเซทจากโครงปลากระพง ให้สามารถนำไปใช้ประโยชน์ในด้านของการเป็นสารต้านอนุมูลอิสระ และยับยั้งการทำงานของ ACE ต่อไป

4.10 การผลิตโปรตีนไอกอโรไลเซทจากโครงปลากระพง

การเตรียมโปรตีนไอกอโรไลเซทจากโครงปลากระพง จะใช้ Flavourzyme[®] 1000 L เป็นเอนไซม์ในการย่อยสลาย เช่นเดียวกับการผลิตโปรตีนไอกอโรไลเซทจากโครงปลานิล โดยมี ปริมาณเอนไซม์ และ ระยะเวลาในการย่อย เป็นปัจจัยแปรผัน แปรปริมาณเอนไซม์ Flavourzyme[®] 1000 L ที่ใช้ในการย่อยสลายโปรตีน เป็น 0, 1, 2 และ 3 เบอร์เซ็นต์ (ต่อน้ำหนักตัวอย่าง) บ่มที่อุณหภูมิ 50°C pH 7 เขย่าที่ความเร็ว 150 รอบต่อนาที เป็นเวลา 0, 1, 2 และ 3 ชั่วโมง จากนั้นหยุดการทำงานของเอนไซม์ที่อุณหภูมิ 75°C เป็นเวลา 10 นาที นำไปปั่นให้เข้ากันทั่วทุก部分ที่อุณหภูมิ 4°C ความเร็ว 8500 รอบต่อนาที เป็นเวลา 25 นาที เก็บเฉพาะสารละลายส่วนใสไปวิเคราะห์ระดับการย่อยสลายโปรตีน (DH) และ ปริมาณโปรตีนที่เป็นองค์ประกอบในโปรตีนไอกอโรไลเซทจากโครงปลากระพง

4.10.1 การวิเคราะห์ปริมาณโปรตีนที่เป็นองค์ประกอบในโปรตีนไอกอโรไลเซทจากโครงปลากระพง

การวิเคราะห์ปริมาณโปรตีนที่เป็นองค์ประกอบในโปรตีนไอกอโรไลเซทจากโครงปลากระพง จะใช้วิธี Kjeldahl ซึ่งอาศัยหลักการวัดปริมาณไนโตรเจนที่เป็นองค์ประกอบในตัวอย่าง และเปลี่ยนเป็นปริมาณโปรตีนโดยใช้ conversion factor เท่ากับ 6.25 ผลการทดลองแสดงในรูปที่ 4.13 (ตารางภาคผนวกที่ ก.15)



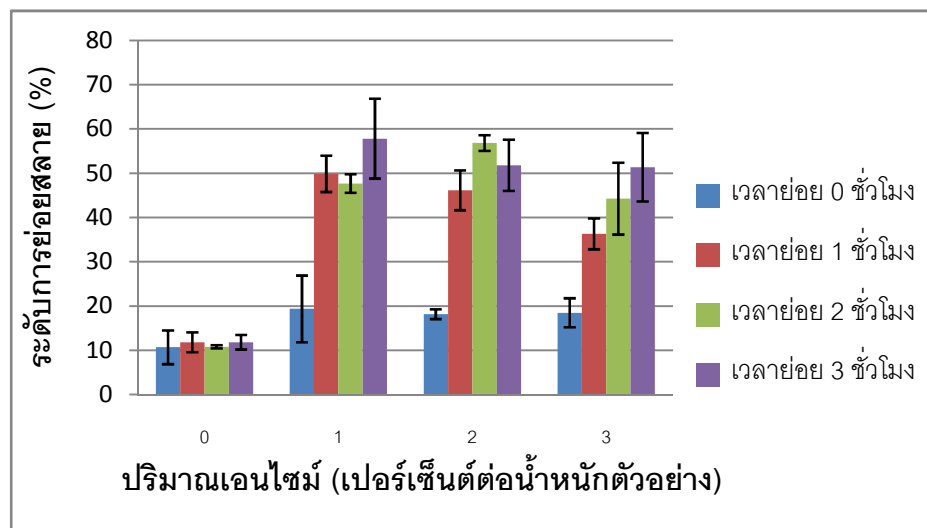
รูปที่ 4.13 ปริมาณโปรตีนที่เป็นองค์ประกอบในโปรตีนไฮโดรไลเซทจากโครงปลาการพง เมื่อย่อยสลายโดยใช้ปริมาณเอนไซม์ 0, 1, 2 และ 3 เปอร์เซ็นต์ต่อน้ำหนักตัวอย่าง และระยะเวลาในการย่อยเป็น 0, 1, 2 และ 3 ชั่วโมง

ส่วนใหญ่ของโครงปลาการพงบดเจือจางที่ได้ภายหลังจากการบันเหลี่ยง มีปริมาณโปรตีนเริ่มต้น 0.44 เปอร์เซ็นต์ และจะมีค่าเพิ่มขึ้นอย่างมีนัยสำคัญ ($p \leq 0.05$) เมื่อเพิ่มปริมาณเอนไซม์ และเวลาในการย่อย โดยโปรตีนไฮโดรไลเซทจากโครงปลาการพง จะมีปริมาณโปรตีนสูงที่สุด เท่ากับ 2.06 เปอร์เซ็นต์ เมื่อย่อยสลายโดยใช้ปริมาณเอนไซม์ 3 เปอร์เซ็นต์ต่อน้ำหนักตัวอย่าง เป็นเวลา 2 ชั่วโมงนอกจากนี้ยังพบว่า โปรตีนไฮโดรไลเซทจากโครงปลาการพง มีโปรตีนเป็นองค์ประกอบในปริมาณที่มากกว่าปริมาณโปรตีนในโปรตีนไฮโดรไลเซทจากโครงปลาานิลเนื่องจากโครงปลาการพง และโครงปลาานิลเริ่มต้น มีปริมาณโปรตีน (โดยน้ำหนักแห้ง) และคุณภาพของโปรตีนที่แตกต่างกัน เป็นผลทำให้คุณภาพทางเคมีของโปรตีนไฮโดรไลเซทจากโครงปลาการพง และ โปรตีนไฮโดรไลเซทจากโครงปลาานิลมีความแตกต่างกันด้วย ปัจจัยสำคัญต่างๆ เช่น ธรรมชาติของแหล่งโปรตีนตั้งต้นที่ใช้เป็นวัตถุดิบสำหรับผลิตโปรตีนไฮโดรไลเซท ธรรมชาติของเอนไซม์ และสภาพที่ใช้ในการย่อยสลาย (pH , อุณหภูมิ, ระยะเวลาในการย่อย, ความเข้มข้นของสารตั้งต้น และความเข้มข้นของเอนไซม์) เป็นต้น ก็ส่งผลต่อคุณภาพทางเคมีของโปรตีนไฮโดรไลเซท (Adler-Nissen, 1986)

4.10.2 การวิเคราะห์ระดับการย่อร่อยสลายโปรตีน

การวิเคราะห์ระดับการย่อร่อยสลายโปรตีนจะใช้วิธี OPA ซึ่งอาศัยการทำปฏิกิริยา

ระหว่างสาร OPA และ primary amino group ในสภาวะที่มีสาร dithiothreitol (DTT) เป็นองค์ประกอบ วัดค่าการดูดกลืนแสงของสารที่เกิดขึ้นที่ความยาวคลื่น 340 นาโนเมตรและคำนวณระดับการย่อร่อยสลายของโปรตีนในโปรตีนไอก็อโรไลเซทจากโครงปลา gere พง รูปที่ 4.14 (ตารางภาคผนวกที่ ก.16) แสดงระดับการย่อร่อยสลายโปรตีนของโปรตีนไอก็อโรไลเซทจากโครงปลา gere พง



รูปที่ 4.14 ระดับการย่อร่อยสลายโปรตีนของโปรตีนไอก็อโรไลเซทจากโครงปลา gere พง ที่ปริมาณเอนไซม์ 0, 1, 2 และ 3 เปอร์เซ็นต์ต่อน้ำหนักตัวอย่าง และระยะเวลาในการย่อรอย 0, 1, 2 และ 3 ชั่วโมง

จากการวิเคราะห์ผลทางสถิติ พบว่า ปริมาณเอนไซม์ และเวลาในการย่อรอย ส่งผลต่อการเพิ่มขึ้นของระดับการการย่อร่อยสลายของโปรตีนไอก็อโรไลเซทจากโครงปลา gere พงอย่างมีนัยสำคัญ ($p \leq 0.05$) แต่ปฏิสัมพันธ์ร่วมระหว่างปริมาณเอนไซม์และเวลาในการย่อรอยไม่ส่งผลต่อการเพิ่มขึ้นของระดับการย่อร่อยสลายโปรตีน ($p > 0.05$) ผลการทดลองในรูปที่ 4.14 แสดงให้เห็นว่า ระดับการย่อร่อยสลายโปรตีนในส่วนใหญ่ของโครงปลา gere พงบด เจือจากที่ได้ภายหลังจากการปั่นเหวี่ยง มีค่าเริ่มต้น 10.68 เปอร์เซ็นต์ และจะมีค่าเพิ่มขึ้น จนกระทั่งเริ่มคงที่ เมื่อเพิ่มปริมาณเอนไซม์ และเวลาในการย่อรอย

จึงสามารถกล่าวได้ว่า ปริมาณเอนไซม์และเวลาในการย่อย ส่งผลให้ปฏิกริยาระหว่างเอนไซม์และสารตั้งต้นเกิดได้สมบูรณ์มากขึ้น (Batista และคณะ, 2010; ดวงใจ ลากาญจน์, 2548) จึงได้ผลิตภัณฑ์คือ เปปีไทด์ และกรดอะมิโนในปริมาณมากขึ้น เช่นเดียวกับงานวิจัยของ อันยพร จันทร์แสตนโรว์ (2550) ซึ่งศึกษาปัจจัยที่ส่งผลต่อระดับการย่อยสลายโปรตีนในหอยเป้าอีกครั้ง โดยใช้เอนไซม์ Flavourzyme® พบร่วม การเพิ่มปริมาณเอนไซม์และระยะเวลาในการย่อยส่งผลต่อการเพิ่มขึ้นของระดับการย่อยสลายของโปรตีนในหอยเป้าอีกอย่างมีนัยสำคัญทางสถิติ ($p \leq 0.05$) เมื่อเปรียบเทียบระหว่างระดับการย่อยสลายของโปรตีนไฮโดรไลเซทจากโครง_GL และโปรตีนไฮโดรไลเซทจากโครง_GL พบว่า ระดับการย่อยสลายของโปรตีนไฮโดรไลเซทจากหังโครง_GL และโครง_GL มีแนวโน้มที่เพิ่มขึ้นกว่าคือ มีค่าระดับการย่อยสลายเริ่มต้นต่ำ และจะมีค่ามากขึ้น เมื่อเพิ่มปริมาณเอนไซม์และเวลาในการย่อย แต่เมื่อปริมาณเอนไซม์ และเวลาในการย่อยสูงถึงระดับหนึ่ง (เช่น การใช้เอนไซม์ในปริมาณ 3 เปอร์เซ็นต์ต่อน้ำหนักตัวอย่าง เป็นเวลา 2 หรือ 3 ชั่วโมง เป็นต้น) ระดับการย่อยสลายโปรตีนในโปรตีนไฮโดรไลเซทจะมีค่าคงที่ ทั้งนี้เป็นเพราะว่า ที่สภาวะดังกล่าว สารตั้งต้นของเอนไซม์ หรือ ปริมาณเอนไซม์ลดลงจนกระทั่งหมดไปในที่สุด จึงไม่เกิดการย่อยสลายพันธะเปปไทด์ด้วยเอนไซม์อีก

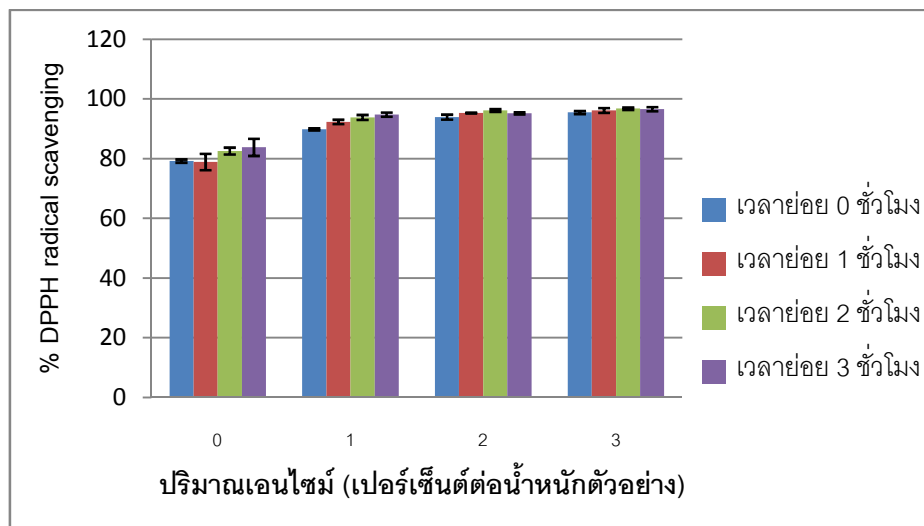
สำหรับการทดลองในส่วนต่อไปนั้นจะเป็นการศึกษาคุณสมบัติในการเป็นสารต้านอนุมูลอิสระของโปรตีนไอก็อดร่าไลเซทจากโครงปลาสเตชัน เพื่อพิจารณาคัดเลือกสภาวะที่เหมาะสมต่อการนำโปรตีนไอก็อดร่าไลเซทจากโครงปลาสเตชันไปใช้ประโยชน์ในการเป็นสารต้านอนุมูลอิสระ

4.11 สมบัติในการเป็นสารต้านอนุมูลอิสระของโปรตีนไฮโดรไลเซทจากโครงสร้างพลา gere พง

การวิเคราะห์สมบัติในการเป็นสารต้านอนุมูลอิสระของโปรตีนไอก็ได้เช่นกัน โดยจะใช้วิธีการทดสอบที่มีหลักการแตกต่างกัน คือ วิธี DPPH วิธี metal chelating activity และ วิธี TBA เพื่อใช้ในการพิจารณาผลไก่ในการเป็นสารต้านอนุมูลอิสระของโปรตีนไอก็ได้เช่นกัน ปัจจุบันได้อ้างถึงผลลัพธ์ที่ได้จากการทดลองในห้องปฏิบัติการแล้ว

4.11.1 วิธี DPPH

วิธี DPPH เป็นวิธีทดสอบที่อาศัยการส่งผ่านอิเลกตรอนเดี่ยวกับสารต้านอนุมูลอิสระ เช่นอนุมูล DPPH• ซึ่งมีสีม่วง โดยจะทำปฏิกิริยาเข่นเดียวกับในส่วนของโปรตีนไฮโดรไลเซทจากโครงปลาโนล รูปที่ 4.15 (ตารางภาคผนวกที่ ก.17) แสดงความสามารถในการขจัดอนุมูล DPPH ของโปรตีนไฮโดรไลเซทจากโครงปลาภะพง



รูปที่ 4.15 อิทธิพลของปริมาณเอนไซม์ (Flavourzyme® 1000 L) 0, 1, 2 และ 3 เปอร์เซ็นต์ต่อน้ำหนักตัวอย่าง และเวลาในการย่อยสลาย 0, 1, 2 และ 3 ชั่วโมง ที่ส่งผลต่อความสามารถในการขจัดอนุมูล DPPH ของโปรตีนไฮโดรไลเซทจากโครงปลาภะพง

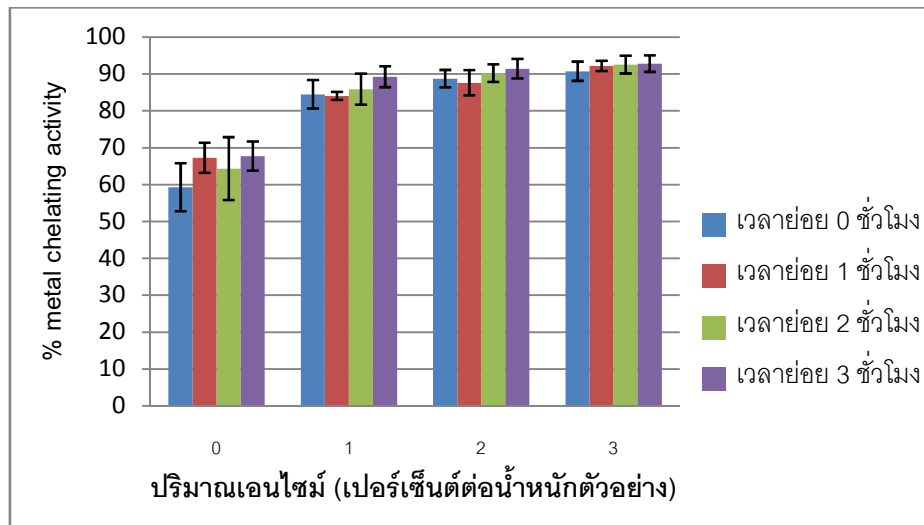
ผลการทดลองในรูปที่ 4.15 แสดงค่า % DPPH radical scavenging ของส่วนใสของโครงปลาภะพงบดเจือจางที่ได้ภายหลังจากการบีบแห้ง เนื้อค่าเฉลี่ยตัน 79.24 เปอร์เซ็นต์ และจะเพิ่มขึ้นจนมีค่าสูงที่สุด คือ 96.80 เปอร์เซ็นต์ เมื่อย่อยสลายด้วยเอนไซม์ Flavourzyme® 1000 L ปริมาณ 3 เปอร์เซ็นต์ต่อน้ำหนักตัวอย่าง เป็นเวลา 2 ชั่วโมง จากการวิเคราะห์ผลทางสถิติ พบว่า ปริมาณเอนไซม์ เวลาในการย่อย และปฏิกิริยาพันธุ์ร่วมระหว่างปริมาณเอนไซม์และเวลาในการย่อย เป็นปัจจัยที่ส่งผลต่อค่า % DPPH radical scavenging ของโปรตีนไฮโดรไลเซทจากโครงปลาภะพงอย่างมีนัยสำคัญ ($p \leq 0.05$) เปรียบเทียบกับผลการทดลองในส่วนของโปรตีนไฮโดรไลเซท

จากโครงปลานิล จะพบว่า ส่วนใหญ่ของโครงปลากระพงบดเจือจางที่ได้ภายหลังจากการบดปั่นเหวี่ยง มีค่า % DPPH radical scavenging เริ่มต้นสูงกว่าในส่วนใหญ่ของโครงปลานิลบดเจือจางที่ได้ภายหลังจากการบดปั่นเหวี่ยง ซึ่งเกิดขึ้นได้จากการความแตกต่างทางคุณภาพของโปรตีนที่เป็นองค์ประกอบในโครงปลานิล และโครงปลากระพง การเพิ่มปริมาณเอนไซม์ และเวลาในการย่อยจะทำให้โปรตีนถูกย่อยลายมากขึ้น ส่งผลให้ได้ผลิตภัณฑ์คือ กรดอะมิโนอิสระ และเปปไทด์ในปริมาณมากขึ้น กรดอะมิโนบางชนิด เช่น tyrosine, tryptophan และ phenylalanine จะมีวงแหวนอะโรมาติก เป็นโครงสร้างในโมเลกุล จึงสามารถทำปฏิกิริยากับ unpaired electron ของอนุมูล DPPH[•] ได้ (Rajapakse และคณะ, 2005) ซึ่งผลการทดลองในส่วน % DPPH radical scavenging แสดงคลื่นร่องกับงานวิจัยของ Klompong และคณะ (2007) ที่ย่อยสลายปลาสติกข้าวเหลือง (*Selaroides leptolepis*) ด้วยเอนไซม์ Flavourzyme® จนกระทั่งโปรตีนไฮโดรไลเซทที่ได้มีระดับการย่อยสลายโปรตีนเท่ากับ 5, 15 และ 25 เปอร์เซ็นต์ และศึกษาอิทธิพลของระดับการย่อยสลายโปรตีนที่มีต่อสมบัติในการเป็นสารต้านอนุมูลอิสระของโปรตีนไฮโดรไลเซทจากปลาสติกข้าวเหลือง (*Selaroides leptolepis*) โดยวิธี DPPH พบร้าโปรตีนไฮโดรไลเซทจากปลาสติกข้าวเหลือง (ระดับการย่อยสลาย 5 เปอร์เซ็นต์) มีค่า % DPPH radical scavenging เท่ากับ 70 เปอร์เซ็นต์ และค่า % DPPH radical scavenging จะไม่เปลี่ยนแปลงแม้จะเพิ่มระดับการย่อยสลายเป็น 15 และ 25 เปอร์เซ็นต์ โดยอธิบายว่า โปรตีนไฮโดรไลเซทจากปลาสติกข้าวเหลืองประกอบด้วยสารซึ่งสามารถให้อิเล็กตรอน และ ทำปฏิกิริยากับอนุมูลอิสระ เพื่อเปลี่ยนอนุมูลอิสระให้เป็นสารที่เสถียร จึงสามารถหยุดปฏิกิริยาลูกโซ่ที่เกิดจากอนุมูลอิสระได้ ซึ่งเปปไทด์จะมีขนาดเล็กลงเมื่อระดับการย่อยสลายมากขึ้น โดยเปปไทด์ที่มีขนาดเหมาะสมจะมีความสามารถในการเป็นสารต้านอนุมูลอิสระ (Jun, Jung และ Kim, 2004 ; Wu, Chen และ Shiao, 2003)

4.11.2 วิธี metal chelating activity

วิธี metal chelating activity อาศัยหลักการวัดความสามารถของสารในการทำปฏิกิริยากับไอออนของโลหะ ในขณะที่มีสารละลาย 3-(2-pyridyl)-5,6-bis(4-phenyl-sulfonic acid)-1,2,4-triazine (ferrozine) ซึ่งทำให้เกิดสีม่วง แล้วตั้งทิ้งไว้ในที่มืด 20 นาที วัดค่าการ

ดูดกลืนแสงของสารที่ความยาวคลื่น 562นาโนเมตร รูปที่ 4.16 (ตารางภาคผนวกที่ ก.18) แสดงค่า % metal chelating activity ของโปรตีนไอก็อโรไลเซทจากโครงปลาสเตช



รูปที่ 4.16 อิทธิพลของปริมาณเอนไซม์ (Flavourzyme® 1000 L) 0, 1, 2 และ 3 เบอร์เซ็นต์ ต่อน้ำหนักตัวอย่าง และ เวลาในการเยื่อย 0, 1, 2 และ 3 ชั่วโมง ที่ส่งผลต่อ % metal chelating activity ของโปรตีนไอก็อโรไลเซทจากโครงปลาสเตช

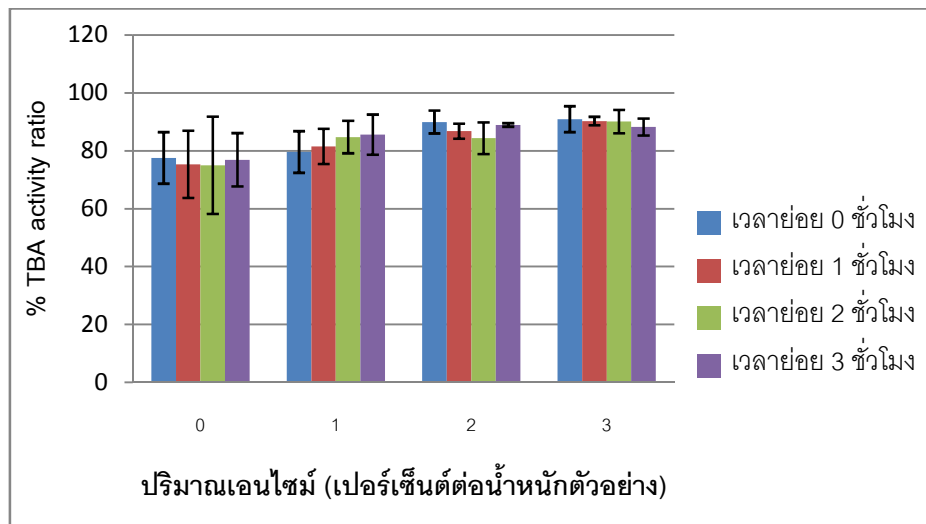
% metal chelating activity ของส่วนใหญ่ของโครงปลาสเตชบดเจือจากที่ได้ภายหลังจากการปั่นเหวี่ยง มีค่าเฉลี่ยตัน 59.27 เบอร์เซ็นต์ และจะมีแนวโน้มเพิ่มขึ้น เมื่อเพิ่มปริมาณเอนไซม์ และ เวลาในการเยื่อย จากการวิเคราะห์ผลการทดลองทางสถิติ พบร่วมกับ บริมาณเอนไซม์ เป็นปัจจัยที่ส่งผลต่อค่า % metal chelating activity ของโปรตีนไอก็อโรไลเซทจากโครงปลาสเตชอย่างมีนัยสำคัญ($p \leq 0.05$) ในขณะที่เวลาในการเยื่อย และ ปฏิกิริยาพันธ์ร่วมระหว่างปริมาณเอนไซม์ และ เวลาในการเยื่อยไม่ส่งผลต่อค่า % metal chelating activity ของโปรตีนไอก็อโรไลเซทจากโครงปลาสเตช โดยสามารถอธิบายผลการทดลองได้ในลักษณะเดียวกับการอธิบายผลการทดลองในส่วนของโปรตีนไอก็อโรไลเซทจากโครงปลาสเตช คือ บริมาณเอนไซม์ และเวลาในการเยื่อยที่เพิ่มขึ้น ส่งผลให้โปรตีนถูกเปลี่ยนเป็นกรดอะมิโนิสระ และเปปไทด์ขนาดเล็ก ที่สามารถทำปฏิกิริยากับไอโอดินของ iodophenylได้ (Dong และคณะ, 2008 ; Klompong และคณะ, 2007) จึงทำให้ % metal chelating activity ของโปรตีนไอก็อโรไลเซทจากโครงปลาสเตชมีแนวโน้มเพิ่มขึ้น เปรียบเทียบกับ

ผลการทดลองในส่วนของโปรตีนไฮโดรไลเซทจากโครงปลาโนล จะพบว่า % metal chelating activity ของโปรตีนไฮโดรไลเซทจากโครงปลากระพงมีแนวโน้มเพิ่มขึ้นเพียงเล็กน้อยเท่านั้น ซึ่งเป็นไปได้ว่าส่วนใหญ่ของโครงปลากระพงบดเจือจางที่ได้ภายหลังจากการบีบแห้ง อาจมีกรดอะมิโนและเปปไทด์ขนาดเล็ก เป็นองค์ประกอบในปริมาณที่แตกต่างจากส่วนใหญ่ของโครงปลาโนลบดเจือจาง มากกว่าส่วนใหญ่ของโครงปลาโนลบดเจือจาง นอกจากนี้ขนาด และ ลำดับของกรดอะมิโนในสายเปปไทด์ที่เกิดขึ้นจากการบดเจือจางย่อยสลาย ก็มีความแตกต่างกันด้วย จึงส่งผลต่อการเพิ่มความสามารถในการเป็นสารต้านอนุมูลอิสระที่แตกต่างกันของโปรตีนไฮโดรไลเซท

4.11.3 สมบัติในการเป็นสารต้านอนุมูลอิสระของระบบที่มีไขมันเป็นองค์ประกอบ วิเคราะห์การเกิด lipid peroxidation ด้วยการทดสอบ กับ TBA

ในอาหาร หรือผลิตภัณฑ์ที่มีไขมันเป็นองค์ประกอบ จะเกิดปฏิกิริยาออกซิเดชันของไขมันได้ง่าย ซึ่งการวิเคราะห์ความสามารถของสารในการเป็นสารต้านการเกิดปฏิกิริยาออกซิเดชันของไขมัน จะนิยมวิเคราะห์การเกิด lipid peroxidation และใช้วิธี TBA ในการทดสอบ โดยในขั้นตอนแรกจะเป็นการผสมน้ำมันถั่วเหลืองกับสารต้านอนุมูลอิสระ แล้วบ่มทิ้งไว้เป็นเวลา 7 วัน จากนั้นขั้นตอนที่สอง จะเป็นการติดตามปฏิกิริยาออกซิเดชันของไขมันที่เกิดขึ้น ด้วยการทำปฏิกิริยากับสาร TBA (ซึ่งได้กล่าวอย่างละเอียด ในบทที่ 3) โดยค่า % TBA activity ratio ของโปรตีนไฮโดรไลเซทจากโครงปลากระพง แสดงในรูปที่ 4.17 (ตารางภาคผนวกที่ ก.19)

การเปลี่ยนแปลงของ ค่า % TBA activity ratio ของโปรตีนไฮโดรไลเซทจากโครงปลากระพงมีแนวโน้มที่ต่างไปจากโปรตีนไฮโดรไลเซทจากโครงปลาโนล กล่าวคือ ค่า % TBA activity ratio ของโปรตีนไฮโดรไลเซทที่ได้จากโครงปลากระพงมีค่าสูง และมีแนวโน้มเพิ่มขึ้นเมื่อผ่านการย่อยสลายด้วยเอนไซม์เป็นเวลานานขึ้น ซึ่งจากการวิเคราะห์ผลทางสถิติ (ตารางภาคผนวกที่ ข.17) พบว่า ปริมาณเอนไซม์ส่งผลต่อค่า % TBA activity ratio ของโปรตีนไฮโดรไลเซทจากโครงปลากระพงอย่างมีนัยสำคัญ ($p \leq 0.05$)

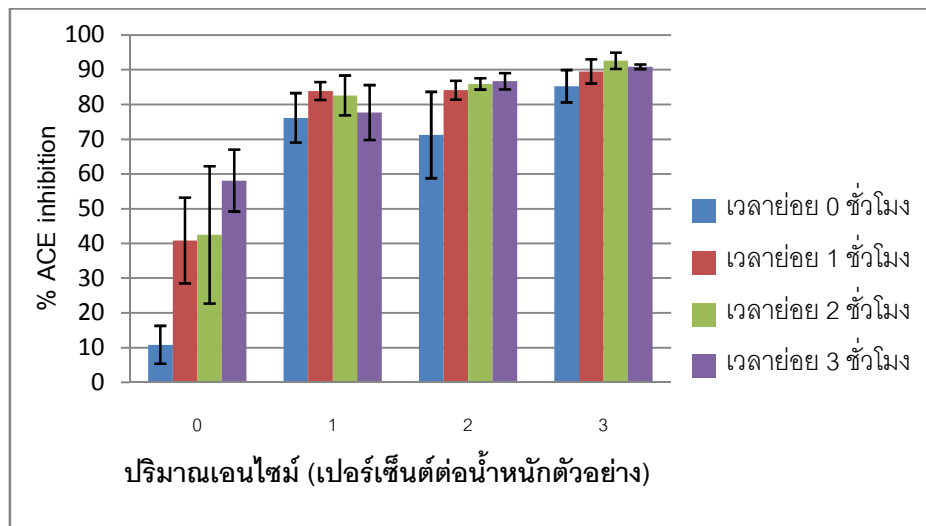


รูปที่ 4.17 อิทธิพลของปริมาณเอนไซม์ (Flavourzyme® 1000 L) 0, 1, 2 และ 3 เปอร์เซ็นต์ ต่อ น้ำหนักตัวอย่าง และ เวลาในการย่อย 0, 1, 2 และ 3 ชั่วโมง ที่ส่งผลต่อ % TBA activity ratio ของ โปรตีนไอก็อโรไลซ์จากโครงปลาสเตช

ในขณะที่เวลาในการย่อย และปฏิสัมพันธ์ร่วมระหว่างปริมาณเอนไซม์ และเวลาในการย่อยกลับ ไม่ส่งผล ($p > 0.05$) ต่อค่า %TBA activity ratio ของโปรตีนไอก็อโรไลซ์จากโครงปลาสเตช โดย สันนิษฐานว่าเป็นผลมาจากการ หรือสัดส่วนของกรดอะมิโนไม่ชอบน้ำในโปรตีนไอก็อโรไลซ์ จากโครงปลาสเตชแต่ละส่วนจะมีค่าใกล้เคียงกัน ซึ่งการเพิ่มปริมาณเอนไซม์ และเวลาในการย่อย อาจทำให้ได้กรดอะมิโน และเปปไทด์ขนาดเล็กที่มีสมบัติชอบน้ำ และ ไม่ชอบน้ำเกิดขึ้น (Jeon, Byun และ Kim, 1999) จึงส่งผลให้สัดส่วนของกรดอะมิโนที่ไม่ชอบน้ำต่อปริมาณกรดอะมิโน ทั้งหมดมีค่าคงที่ จึงต้านการเกิดปฏิกิริยาออกซิเดชันของไขมันได้ใกล้เคียงกันด้วย

4.12 ความสามารถในการเป็นสารยับยั้งการทำงานของ ACE ของโปรตีนไอก็อโรไลซ์จากโครงปลาสเตช

ความสามารถในการยับยั้งการทำงานของ ACE ของโปรตีนไอก็อโรไลซ์จากโครงปลาสเตช สามารถวิเคราะห์ได้เช่นเดียวกับการวิเคราะห์ความสามารถของโปรตีนไอก็อโรไลซ์จาก โครงปานิล ตามวิธีของ Crushman และ Cheung (1971) รูปที่ 4.18 (ตารางภาคผนวกที่ ก.20) แสดงค่า % ACE inhibition ของโปรตีนไอก็อโรไลซ์จากโครงปลาสเตช



รูปที่ 4.18 อิทธิพลของปริมาณเอนไซม์ (Flavourzyme® 1000 L) 0, 1, 2 และ 3 เปอร์เซ็นต์ต่อน้ำหนักตัวอย่าง และเวลาในการย่อย 0, 1, 2 และ 3 ชั่วโมง ที่ส่งผลต่อ % ACE inhibition ของโปรตีนไอก็อแลเชฟจากโครงปลาการพง

ส่วนใหญ่ของโครงปลาการพงบดเจือจางที่ได้ภายหลังจากการบีบแห้ง มีค่า % ACE inhibition เริ่มต้น 10.82 เปอร์เซ็นต์ และมีแนวโน้มเพิ่มขึ้นเมื่อเพิ่มปริมาณเอนไซม์และเวลาในการย่อย และปฏิสัมพันธ์ร่วมระหว่างปริมาณเอนไซม์ และเวลาในการย่อย เป็นปัจจัยที่ส่งผลต่อความสามารถในการเป็นสารยับยั้งการทำงานของ ACE ของโปรตีนไอก็อแลเชฟจากโครงปลาการพง ($p \leq 0.05$) การเพิ่มปริมาณเอนไซม์ และเวลาในการย่อย ทำให้ระดับการย่อยสลายโปรตีนในโปรตีนไอก็อแลเชฟจากโครงปลาการพงมีค่ามากขึ้น ส่งผลให้เกิดผลิตภัณฑ์ที่เป็นกรดอะมิโนและเปปไทด์ขนาดเล็กที่มีความสามารถในการเป็นสารยับยั้งการทำงานของ ACE ในปริมาณที่มากขึ้นด้วย (Raghavan และ Kristinsson, 2009) นอกจากนี้ขนาดของเปปไทด์ที่เป็นองค์ประกอบในโปรตีนไอก็อแลเชฟ และชนิดของกรดอะมิโนในสายเปปไทด์ ก็เป็นปัจจัยสำคัญที่ส่งผลต่อความสามารถของโปรตีนไอก็อแลเชฟ ในการเป็นสารยับยั้งการทำงานของ ACE เช่นกัน (Pan และคณะ, 2012 ; Tsai, Chen และ Pan, 2008) จากงานวิจัยของ Pan และคณะ (2012) พบว่าการย่อยสลาย whey protein ด้วยเอนไซม์ trypsin ทำให้ค่า % ACE inhibition ของ whey protein hydrolysate เพิ่มสูงขึ้นอย่างมีนัยสำคัญ ($p \leq 0.05$) จากสภาวะที่ไม่ผ่านการย่อยสลาย

ด้วยเอนไซม์ และเมื่อใช้เทคนิค ultrafiltration คัดแยกขนาดของเปปไทด์ที่เป็นองค์ประกอบใน whey protein hydrolysate ออกเป็น 3 ขนาด คือ เล็กกว่า 6 kDa, อยู่ในช่วง 6-10 kDa และมากกว่า 10 kDa ตามลำดับ พบฯ เปปไทด์ซึ่งมีขนาดเล็กกว่า 6 kDa มีค่า % ACE inhibition 64.26 เปอร์เซ็นต์มากกว่า ค่า % ACE inhibition ที่พบฯ เปปไทด์ที่มีขนาดอยู่ในช่วง 6-10 kDa (51.54 เปอร์เซ็นต์) และมากกว่า 10 kDa (40.46 เปอร์เซ็นต์) ตามลำดับ เมื่อเปรียบเทียบกับผลการทดลองในส่วนของ % ACE inhibition ของส่วนไขขาวของโครงปลาโนลบดเจือจากจะพบว่า ส่วนไขขาวของโครงปลาโนลบดเจือจากมีค่า % ACE inhibition สูงกว่าในส่วนไขขาวของโครงปลาภะพงบดเจือจาก ซึ่งอาจเป็นเพราะโครงปลาโนลที่ใช้เป็นวัตถุดิบสำหรับงานวิจัยนี้ เป็นส่วนเหลือทิ้งจากกระบวนการผลิตปลาแล้วในโรงงานอุตสาหกรรม ซึ่งปกติแล้วจะขายเป็นอาหารสัตว์ จึงไม่ได้มีการดูแลสภาวะในการเก็บอย่างดี โดยเฉพาะในการควบคุมอุณหภูมิ ดังนั้นโครงปลาโนลเหล่านี้อาจเกิดการ autolysis ดังจะสังเกตได้จากระดับการย่อยสลายโปรตีนในส่วนไขขาวของโครงปลาโนลบดเจือจากมีค่าสูง (รูปที่ 4.2) จึงส่งผลให้ส่วนไขขาวของโครงปลาโนลบดเจือจากมีค่า % ACE inhibition สูงกว่าในส่วนไขขาวของโครงปลาภะพงบดเจือจาก

4.13 การวิเคราะห์ชนิดและปริมาณกรดอะมิโนที่เป็นองค์ประกอบในโปรตีน

ไฮโดรไลเซทจาก โครงปลาภะพง ในสภาวะที่ถูกคัดเลือก

เข่นเดียวกับกรณีโปรตีนไฮโดรไลเซทจากโครงปลาโนล การวิเคราะห์ชนิด และปริมาณกรดอะมิโนที่เป็นองค์ประกอบในโปรตีนไฮโดรไลเซทจากโครงปลาภะพงจะเป็นขั้นตอนที่สำคัญเพื่อเชื่อมโยงถึงคุณภาพของโปรตีนไฮโดรไลเซทจากโครงปลาภะพง กับความสามารถในการเป็นสารต้านอนุมูลอิสระ และยับยั้งการทำงานของ ACE ซึ่งงานวิจัยนี้จะเลือกเฉพาะสภาวะที่เหมาะสมต่อการนำโปรตีนไฮโดรไลเซทจากโครงปลาภะพง ไปใช้ประโยชน์ทั้งในด้านของการเป็นสารต้านอนุมูลอิสระและยับยั้งการทำงานของ ACE โดยจะพิจารณาจาก % DPPH radical scavenging, % metal chelating activity, % TBA activity ratio และ % ACE inhibition ตามลำดับ ซึ่งพบว่า โปรตีนไฮโดรไลเซทจากโครงปลาภะพงที่ได้จากการย่อยสลายด้วยเอนไซม์ Flavourzyme[®] 1000 L ในปริมาณ 3 เปอร์เซ็นต์ต่อน้ำหนักตัวอย่าง เป็นเวลา 2 ชั่วโมง มีความเหมาะสมที่จะนำไปใช้ในการเป็นสารต้านอนุมูลอิสระ และยับยั้งการทำงานของ ACE เพราะ

โปรตีนไอก็อดร่าไลเซทที่ได้จะมีประสิทธิภาพในการเป็นสารต้านอนุมูลอิสระ และความสามารถในการเป็นสารยับยั้งการทำงานของ ACE อยู่ในช่วงที่สูงที่สุด โดยจะวิเคราะห์ชนิดและปริมาณกรดอะมิโนที่เป็นองค์ประกอบในส่วนไขข่องโครงปลากะพงบดเจือจางที่ได้ภายหลังจากการปั่นเหวี่ยง ซึ่งไม่ผ่านการย่อยสลายด้วยเอนไซม์ ตารางที่ 4.8 แสดงชนิด และ ปริมาณกรดอะมิโนในโปรตีนไอก็อดร่าไลเซทจากโครงปลากะพงที่ย่อยสลายโดยใช้เอนไซม์ Flavourzyme® 1000 L ความเข้มข้น 3 เปอร์เซ็นต์ต่อน้ำหนักตัวอย่าง เป็นเวลา 2 ชั่วโมง เทียบกับชนิด และปริมาณกรดอะมิโนที่เป็นองค์ประกอบในส่วนไขข่องโครงปลากะพงบดเจือจาง

ตารางที่ 4.7 ชนิดและปริมาณกรดอะมิโน (มิลลิกรัม ต่อ 100 กรัม) ที่พบในโปรตีนไอก็อดร่าไลเซท จากโครงปลากะพงที่ผ่านการย่อยสลายด้วยเอนไซม์บرمาม 3 เปอร์เซ็นต์ต่อน้ำหนักตัวอย่าง เป็นเวลา 2 ชั่วโมง เปรียบเทียบกับชนิดและปริมาณกรดอะมิโน (มิลลิกรัม ต่อ 100 กรัม) ที่พบในส่วนไขข่องโครงปลากะพงบดเจือจาง

ชนิดของกรดอะมิโนที่ เป็นองค์ประกอบ	ปริมาณกรดอะมิโน (มิลลิกรัม ต่อ 100 กรัม)	
	ส่วนไขข่องโครงปลากะพงบด เจือจาง ซึ่งแยกได้จากการปั่น เหวี่ยง	โปรตีนไอก็อดร่าไลเซทจากโครง ปลากะพงที่ผ่านการย่อย สลายด้วยเอนไซม์ 3 เปอร์เซ็นต์ต่อน้ำหนักตัวอย่าง ย่อยสลายเป็นเวลา 2 ชั่วโมง
alanine	59	106
arginine	63	113
glutamic acid	23	137
glycine	14	64
histidine	2	10
isoleucine*	5	25
leucine*	12	64

lysine*	3	21
methionine*	4	33
phenylalanine*	4	19
cysteine	11	15
aspartic acid	17	100
tyrosine	2	26
proline	9	62
serine	7	41
threonine*	5	30
tryptophan*	0	2
valine*	8	58
total	248	926

*กรดอะมิโนจำเป็น

โปรตีนไอก็อดไรเซทจากโครงปลากะพงที่ได้จากการย่อยสลายโดยไซเอนไซม์ Flavourzyme® 1000 L ปริมาณ 3 เปอร์เซ็นต์ต่อน้ำหนักตัวอย่าง เป็นเวลา 2 ชั่วโมง มีกรดอะมิโนเป็นองค์ประกอบ 926 มิลลิกรัมต่อ 100กรัม โปรตีนไอก็อดไรเซท ในจำนวนนี้มีสัดส่วนกรดอะมิโนที่มีสมบัติในการต้านอนุมูลอิสระ เช่น tyrosine, tryptophan, phenylalanine, histidine และ cysteine เป็นต้น (Arcan และ Yemencioglu, 2007; Pena-Ramos และ Xiong, 2001) ต่อปริมาณกรดอะมิโนทั้งหมดเท่ากับ 0.06 มีสัดส่วนของกรดอะมิโนที่สามารถทำปฏิกิริยากับไฮดรอนของโลหะหนัก เช่น lysine, arginine, aspartic acid, glutamic acid และ histidine เป็นต้น (Arcan และ Yemencioglu, 2007) ต่อปริมาณกรดอะมิโนทั้งหมด เท่ากับ 0.41 มีสัดส่วนกรดอะมิโนที่มีสมบัติไม่ชอบน้ำ เช่น glycine, methionine, lysine, tryptophan, alanine, histidine, valine และ proline เป็นต้น (Pena-Ramos และ Xiong, 2001; Zhu, Zhou และ Qian, 2006) เท่ากับ 0.38 และมีสัดส่วนของกรดอะมิโนที่มีความสามารถในการเป็นสารยับยั้งการทำงานของ ACE เช่น tyrosine, tryptophan, phenylalanine, proline, leucine, isoleucine, valine, lysine และ alanine เป็นต้น (Gomez-Ruiz, Ramos และ Recio, 2004) ต่อปริมาณกรดอะมิโนทั้งหมดเท่ากับ 0.41 ในขณะที่ส่วนใหญ่ของโครงปลากะพงบดเจือจาก มีสัดส่วนกรดอะมิโนที่มีสมบัติในการ

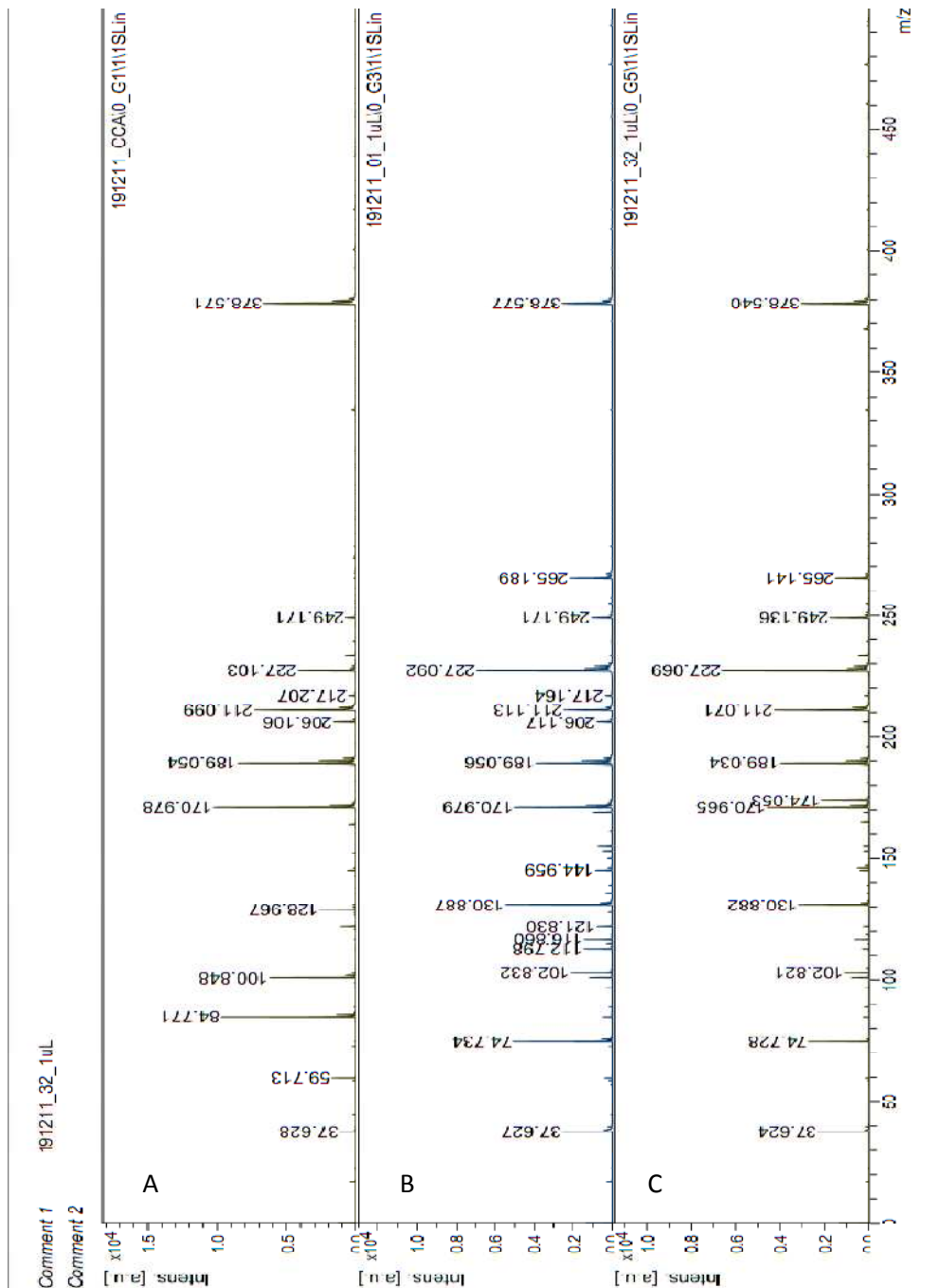
ต้านอนุมูลอิสระ กรดอะมิโนที่สามารถทำปฏิกิริยากับไอกอนของโลหะหนัก กรดอะมิโนที่มีสมบัติไม่ชอบน้ำ และ กรดอะมิโนที่มีความสามารถในการเป็นสารยับยั้งการทำงานของ ACE ต่อปริมาณกรดอะมิโนเท่านั้น แต่กับ 0.03, 0.43, 0.40, 0.41 ตามลำดับ ซึ่งจะเห็นได้ว่า โปรตีนไฮโดรไลเซทจากโครงปลาสเตทที่ผ่านการย่อยสลายด้วยเอนไซม์ปริมาณ 3 เปอร์เซ็นต์ต่อน้ำหนักตัวอย่าง เป็นเวลา 2 ชั่วโมง มีกรดอะมิโนเท่านั้น 4 กลุ่ม ในสัดส่วนที่ใกล้เคียงกับที่พบในส่วนไขสูของโครงปลาสเตท บดเจือจาง จึงน่าจะส่งผลให้ % DPPH radical scavenging, % metal chelating activity, % TBA activity ratio และ % ACE inhibition ของโปรตีนไฮโดรไลเซทจากโครงปลาสเตทที่ผ่านการย่อยสลายด้วยเอนไซม์ปริมาณ 3 เปอร์เซ็นต์ต่อน้ำหนักตัวอย่าง เป็นเวลา 2 ชั่วโมง มีค่าใกล้เคียงกับที่วิเคราะห์ได้ในส่วนไขสูของโครงปลาสเตทบดเจือจาง แต่จากการทดลอง (รูปที่ 4.17) กลับพบว่า โปรตีนไฮโดรไลเซทจากโครงปลาสเตทสภาวะที่คัดลีอก กลับมีค่า % DPPH radical scavenging, % metal chelating activity, % TBA acitivity ratio และ % ACE inhibition มากกว่าที่วิเคราะห์ได้ในส่วนไขสูของโครงปลาสเตทบดเจือจาง ซึ่งอาจกล่าวได้ว่าสมบัติในการเป็นสารต้านอนุมูลอิสระ และยับยั้งการทำงานของ ACE ของโปรตีนไฮโดรไลเซทจากโครงปลาสเตตนั้นไม่ได้ขึ้นอยู่กับสัดส่วนของกรดอะมิโนที่มีสมบัติดังกล่าวต่อปริมาณกรดอะมิโนเท่านั้นเพียงอย่างเดียว แต่ยังมีปัจจัยอื่นๆ เช่น ชนิดของกรดอะมิโน ลำดับของกรดอะมิโน และขนาดของเปปไทด์ เป็นต้น ซึ่งเป็นปัจจัยสำคัญที่ต้องพิจารณา ดังนั้นจึงมีการวิเคราะห์ขนาดของเปปไทด์ที่เป็นองค์ประกอบในโปรตีนไฮโดรไลเซทจากโครงปลาสเตทด้วย ซึ่งจะรายงานผลในหัวข้อต่อไป

4.14 การวิเคราะห์ขนาดของเปปไทด์ที่เป็นองค์ประกอบในโปรตีนไฮโดรไลเซทจากโครงปลาสเตทสภาวะที่ถูกคัดเลือก

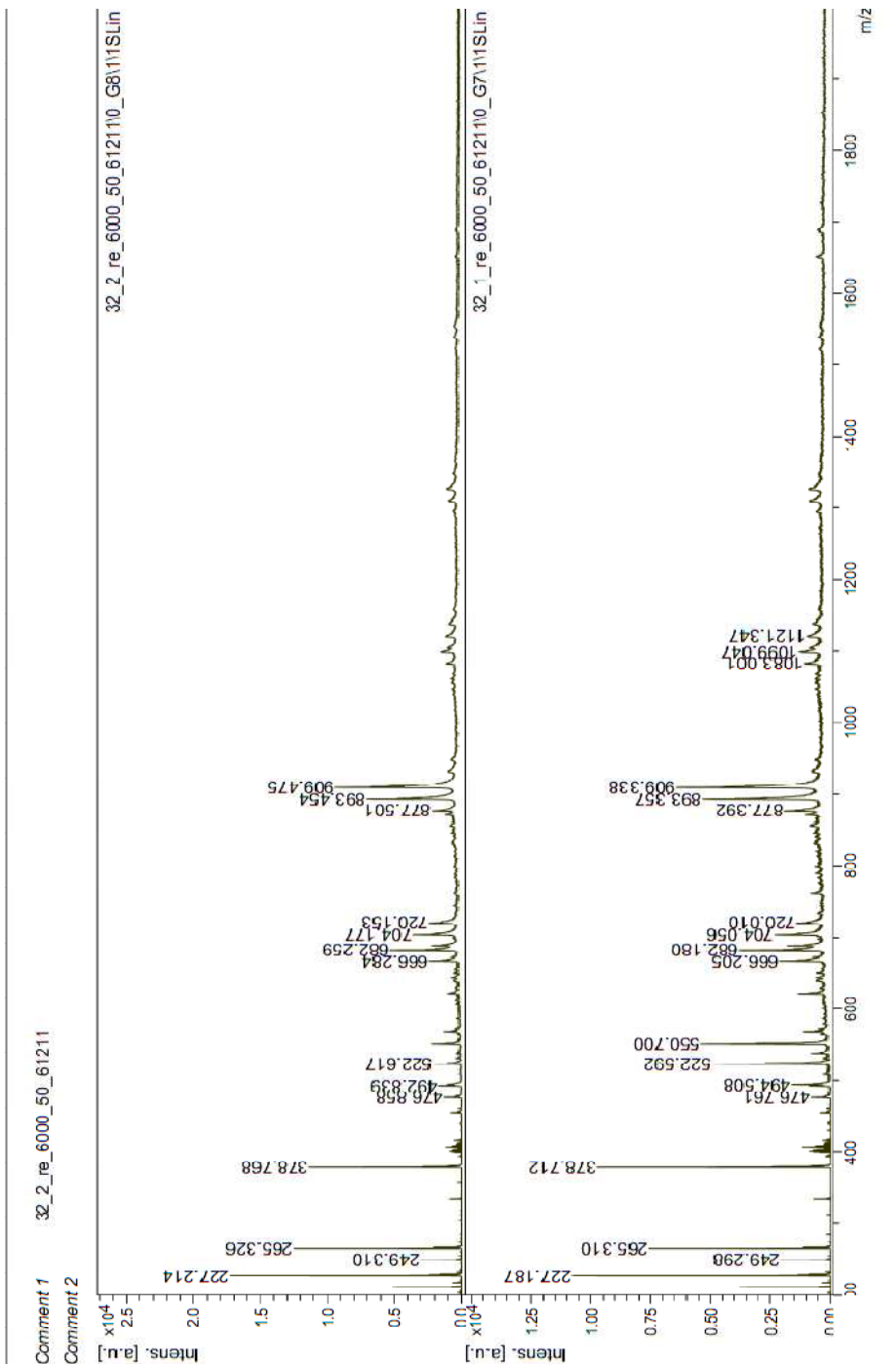
การวิเคราะห์ขนาดของเปปไทด์ที่เป็นองค์ประกอบในโปรตีนไฮโดรไลเซทจากโครงปลาสเตท จะใช้วิธีวิเคราะห์เดียวกับในโปรตีนไฮโดรไลเซทจากโครงปลาสเตท กล่าวคือจะใช้เทคนิค MALDI-tof ซึ่งอาศัยหลักการวิเคราะห์มวลของสารในการประเมินขนาดของเปปไทด์ รูปที่ 4.19 แสดง mass spectrum ของขนาดของเปปไทด์ในโปรตีนไฮโดรไลเซทจากโครงปลาสเตทที่ผ่านการย่อยสลายด้วยเอนไซม์ปริมาณ 3 เปอร์เซ็นต์ต่อน้ำหนักตัวอย่าง เป็นเวลา 2 ชั่วโมง เปรียบเทียบกับ mass spectrum ของส่วนไขสูของโครงปลาสเตทบดเจือจาง และ mass spectrum ของ

สารละลาย α -cyano-4-hydroxycinnamic acid (CCA) อิมตัวที่ใช้เป็น matrix สำหรับการทดสอบ สำหรับชุดที่ 4.20 จะแสดง mass spectrum ของขนาดของเปปไทด์ในโปรตีนไฮโดรไลซ์จากโครง_GLUTathioneที่ผ่านการย่อยสลายด้วยเอนไซม์บริมาณ 3 เปอร์เซ็นต์ต่อน้ำหนักตัวอย่างเป็นเวลา 2 ชั่วโมงเมื่อเพิ่มช่วงของการทดสอบเป็น 0-1800 Da

Mass spectrum แสดงการวิเคราะห์ขนาดเปปไทด์ที่เป็นองค์ประกอบในโปรตีนไฮโดรไลซ์จากโครง_GLUTathioneที่ผ่านการย่อยสลายด้วยเอนไซม์บริมาณ 3 เปอร์เซ็นต์ต่อน้ำหนักตัวอย่างเป็นเวลา 2 ชั่วโมง ประกอบด้วยเปปไทด์ที่มีขนาด 74.728, 102.821, 130.882, 174.053, 265.141, 476.671, 494.508, 522.592, 550.700, 666.205, 682.180, 704.056, 720.010, 877.392, 893.357, 909.338, 1083.001, 1099.047 และ 1121.347 Da โดยจะมีเปปไทด์ขนาดใหญ่ คือ 3837.519, 5756.854 และ 5813.418 Da ตามลำดับ (แสดงในรูปภาคผนวกที่ ง.9) ในขณะที่ส่วนใหญ่ของโครง_GLUTathioneที่ผ่านการย่อยสลายด้วยเอนไซม์บริมาณ 3 เปอร์เซ็นต์ต่อน้ำหนักตัวอย่างเป็นเวลา 2 ชั่วโมง จะประกอบด้วยเปปไทด์ที่มีขนาดเล็กและมีความหลากหลายในช่วง 400 -1000 Da มากกว่าในส่วนของเปปไทด์ที่เป็นองค์ประกอบในส่วนใหญ่ของโครง_GLUTathioneที่ผ่านการย่อยสลายด้วยเอนไซม์บริมาณ 3 เปอร์เซ็นต์ต่อน้ำหนักตัวอย่างเป็นเวลา 2 ชั่วโมง ประกอบด้วยเปปไทด์ที่มีขนาดน้อยกว่า 1000 Da (ซึ่งจะมีกรดอะมิโนเป็นองค์ประกอบไม่เกิน 10 โมเลกุลกรดอะมิโน) ซึ่งจะสามารถทำปฏิกิริยาที่บริเวณเร่งของ ACE ได้ดีกว่าเปปไทด์ที่มีขนาดใหญ่ (Natesh และคณะ, 2003) จึงทำให้ค่า % ACE inhibition ของโปรตีนไฮโดรไลซ์จากโครง_GLUTathioneที่ผ่านการย่อยสลายด้วยเอนไซม์ที่สภาวะดังกล่าวมีค่าสูง ในขณะที่เปปไทด์ที่มีขนาดประมาณ 1000-1100 Da นั้นเป็นเปปไทด์ที่มีขนาดใกล้เคียงกับขนาดของเปปไทด์ที่พบในรายงานของ Wu, Chen และ Shiu (2003) และ Jun, Jung และ Kim (2004)



รูปที่ 4.19 mass spectrum แสดงการวิเคราะห์ขนาดของเปปไทด์ที่เป็นองค์ประกอบในโปรตีนไฮโดรไลซ์จากโครงปลากะพงที่ผ่านการย่อยสลายด้วยเอนไซม์บิวามัน 3 เปปไทด์ที่มีขนาดต่อหน่วยตัวอย่าง เป็นเวลา 2 ชั่วโมง (C) เปรียบเทียบกับขนาดของเปปไทด์ในส่วนไขข่องโครงปลานิลบดเจ็อกาง (B) และสารละลายน้ำ CCA0 อีกตัวที่ใช้เป็น matrix สำหรับทดสอบ (A)



ที่ 4.20 mass spectrum แสดงการวิเคราะห์ขนาดของเปปไทด์ที่เป็นองค์ประกอบในปรตีนไฮโดรไซเดทจากโครงสร้างพังผืดที่ผ่านการรีอยด์สลายด้วยเอนไซม์บิวามาน 3 เปอร์เซ็นต์ต่อหน่วยเวลา 2 ชั่วโมง ทำการวิเคราะห์ 2 ชั่วโมง โดยเปลี่ยนขนาดของเปปไทด์ที่ต้องการวิเคราะห์เป็น 400 - 1800 Da

ซึ่งรายงานว่าเปปไทด์ที่มีขนาดประมาณ 1300-1400 Da มีความสามารถในการเป็นสารต้านอนุมูลอิสระ ดังนั้น เปปไทด์ขนาด 1000 -1100 Da ดังกล่าวจึงอาจส่งผลต่อความสามารถในการเป็นสารต้านอนุมูลอิสระที่ค่อนข้างสูงของโปรตีนไฮโดรไลเซทจากโครงปลาสเตฟ

การทดลองในส่วนถัดไปจะเป็นการวิเคราะห์คุณภาพของผงโปรตีนไฮโดรไลเซทจากโครงปลาสเตฟ ซึ่งผ่านกระบวนการทำแห้งแบบพ่นกระเจาในสภาวะเช่นเดียวกับการผลิตผง โปรตีนไฮโดรไลเซทจากโครงปลาโนล โดยจะติดตามสมบัติในด้านของการเป็นสารต้านอนุมูลอิสระ และยับยั้งการทำงานของ ACE ในระหว่างการเก็บรักษา 90 วัน

4.15 การผลิตผงโปรตีนไฮโดรไลเซทจากโครงปลาสเตฟ

การผลิตผงโปรตีนไฮโดรไลเซทจากโครงปลาสเตฟ จะใช้กระบวนการทำแห้งแบบพ่นกระเจา ในสภาวะเช่นเดียวกับที่ได้กล่าวไปแล้วในส่วนของการผลิตผงโปรตีนไฮโดรไลเซทจากโครงปลาโนล โดยจะพิจารณาลักษณะทางกายภาพ เช่น สี และ กลิ่น ของผลิตภัณฑ์ เป็นต้น ดังแสดงในตารางที่ 4.8, 4.9 และ 4.10 แสดง % yield, ค่าสีในระบบ L* a* b* และ ปริมาณโปรตีนที่เป็นองค์ประกอบ ในโปรตีนไฮโดรไลเซทจากโครงปลาสเตฟ ตามลำดับ

ตารางที่ 4.8 % yield ของผลิตภัณฑ์ผงโปรตีนไฮโดรไลเซทจากโครงปลาสเตฟ

โปรตีนไฮโดรไลเซท ปริมาณเอนไซม์ (%)	เวลาในการ ย่อย(ชั่วโมง)	น้ำหนักตัวอย่าง (เริ่มต้น)	น้ำหนักตัวอย่าง (สุดท้าย)	% yield
3	2	88	32.29	36.69
0	1	88	32.33	36.74

ผงโปรตีนไฮโดรไลเซทที่ได้จากการทำแห้งแบบพ่นกระเจาของโปรตีนไฮโดรไลเซทจากโครงปลาสเตฟ ทั้งสภาวะที่ย่อยสายโดยใช้เอนไซม์ 3 เปอร์เซ็นต์ต่อน้ำหนักตัวอย่าง เป็นเวลา 2 ชั่วโมง และส่วนใหญ่ของโครงปลาสเตฟคงเดี้ยวจาง มีค่า % yield ใกล้เคียงกัน คือ 36.69 เปอร์เซ็นต์ และ 36.74 เปอร์เซ็นต์ ตามลำดับ ผงโปรตีนไฮโดรไลเซทจากโครงปลาสเตฟทั้ง 2 สภาวะ มีลักษณะเป็นผงละเอียด โดยผงโปรตีนไฮโดรไลเซทที่ได้จากสภาวะที่ใช้ปริมาณเอนไซม์ 3

เปอร์เซ็นต์ต่อน้ำหนักตัวอย่าง เป็นเวลา 2 ชั่วโมง จะมีสีเหลือง และมีกลิ่นความปลาภากว่าผงส่วนใหญ่ของโครงปลากะพงบดเจือจาง

ตารางที่ 4.9 ค่าสีในระบบ L* a* b* ของผงโปรตีนไอก่อร์ไดเซลจากโครงปลากะพง

โปรตีนไอก่อร์ไดเซล			ค่าสี	
ปริมาณเอนไซม์ (%)	เวลาในการย่อย (ชั่วโมง)	L*	a*	b*
3	2	71.87 ± 0.50	-1.31 ± 0.04	4.20 ± 0.31
0	1	72.63 ± 0.68	-1.27 ± 0.07	0.66 ± 0.07

ตารางที่ 4.9 แสดงค่าสีของผงโปรตีนไอก่อร์ไดเซลจากโครงปลากะพงที่ผ่านการย่อยโดย слายด้วยเอนไซม์ปริมาณ 3 เปอร์เซ็นต์ต่อน้ำหนักตัวอย่าง เป็นเวลา 2 ชั่วโมง ซึ่งมีสีค่อนข้างเหลือง มีค่าความสว่าง (L*) เป็น 71.87 เปอร์เซ็นต์ ค่าสีแดง (a*) -1.31 เปอร์เซ็นต์ และ ค่าสีเขียว (b*) 4.30 เปอร์เซ็นต์ ตามลำดับ ในขณะที่ผงส่วนใหญ่ของโครงปลากะพงบดเจือจาง จะมีสีขาว มีค่าความสว่าง (L*) เป็น 72.63 เปอร์เซ็นต์ ค่าสีแดง (a*) -1.27 เปอร์เซ็นต์ และ ค่าสีเขียว (b*) 0.66 เปอร์เซ็นต์ ตามลำดับ ซึ่งสามารถอธิบายโดยใช้เหตุผลเช่นเดียวกับในกรณีของผงโปรตีนไอก่อร์ไดเซลจากโครงปลานิด คือ สีเหลืองที่เกิดขึ้นในส่วนของผงโปรตีนไอก่อร์ไดเซลจากโครงปลากะพงที่ผ่านการย่อย слายด้วยเอนไซม์ปริมาณ 3 เปอร์เซ็นต์ต่อน้ำหนักตัวอย่าง เป็นเวลา 2 ชั่วโมง นั้น เป็นผลมาจากการเอนไซม์ Flavourzyme® ที่ใช้สำหรับผลิตโปรตีนไอก่อร์ไดเซล (Thiansilakul, Benjakul และ Shahidi, 2007)

ตารางที่ 4.10 ปริมาณโปรตีนที่เป็นองค์ประกอบในผงโปรตีนไอก่อร์ไดเซลจากโครงปลากะพง

ผงโปรตีนไอก่อร์ไดเซลจากโครงปลากะพง		ปริมาณโปรตีน (กรัม ต่อ 100 กรัม)
ปริมาณเอนไซม์ (%)	เวลาในการย่อย	
	(ชั่วโมง)	
3	2	9.20
0	1	3.33

ตารางที่ 4.10 แสดงว่า ผงโปรตีนไอก็อโรไลเซทจากโครงปลาสเตชันที่ผ่านการย่อยสลายด้วยเอนไซม์บิริมาณ 3 เปอร์เซ็นต์ต่อน้ำหนักตัวอย่าง เป็นเวลา 2 ชั่วโมง มีบิริมาณโปรตีนที่เป็นองค์ประกอบ (9.20 กรัมต่อ 100กรัม)มากกว่า บิริมาณโปรตีนในผงส่วนใหญ่ของโครงปลาสเตชันบดเฉือน (3.33 กรัมต่อ 100กรัม) บิริมาณโปรตีนที่เป็นองค์ประกอบในผงไอก็อโรไลเซทที่ได้จะใช้ในการคำนวนบิริมาณตัวอย่างที่ต้องใช้ในการวิเคราะห์สมบัติในการต้านอนุมูลอิสระ และยับยั้งการทำงานของ ACE เพื่อให้มีบิริมาณโปรตีนที่เป็นองค์ประกอบใกล้เคียงกับที่วิเคราะห์ได้ในไอก็อโรไลเซทจากโครงปลาสเตชัน ที่ผ่านการย่อยสลายด้วยเอนไซม์บิริมาณ 3 เปอร์เซ็นต์ต่อน้ำหนักตัวอย่าง เป็นเวลา 2 ชั่วโมง (ของเหลว) และส่วนใหญ่ของโครงปลาสเตชันบดเฉือน (ของเหลว) ตามลำดับ

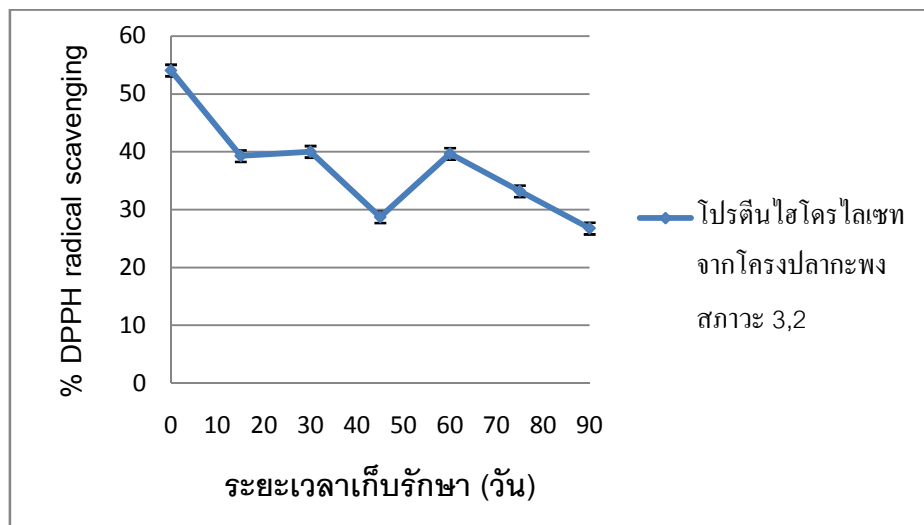
4.15.1 การติดตามการเปลี่ยนแปลงสมบัติในการเป็นสารต้านอนุมูลอิสระ และสมบัติในการเป็นสารยับยั้งการทำงานของ ACE ของผงโปรตีนไอก็อโรไลเซทจากโครงปลาสเตชัน ในระหว่างการเก็บรักษา

การพิจารณาอายุการเก็บรักษาของผงโปรตีนไอก็อโรไลเซทจากโครงปลาสเตชันสำหรับงานวิจัยนี้ จะเก็บตัวอย่างผงโปรตีนไอก็อโรไลเซทจากโครงปลาสเตชัน ในแผ่น laminated aluminium foil (PE/AI/PP) ปิดสนิท ที่อุณหภูมิห้อง เป็นเวลา 90 วัน ทำการวิเคราะห์ความสามารถของผงโปรตีนไอก็อโรไลเซทในด้านของการเป็นสารต้านอนุมูลอิสระ และ ยับยั้งการทำงานของ ACE ทุกๆ 15 วัน ในด้านของการเป็นสารต้านอนุมูลอิสระจะติดตามการเปลี่ยนแปลงของค่า % DPPH radical scavenging, ค่า % metal chelating activity และ ค่า % TBA activity ratio และสำหรับความสามารถในการเป็นสารยับยั้งการทำงานของ ACE นั้นจะพิจารณาการเปลี่ยนแปลงของค่า % ACE inhibition ของผงโปรตีนไอก็อโรไลเซทในแต่ละสภาวะ

4.15.1.1 การติดตามการเปลี่ยนแปลงสมบัติในการเป็นสารต้านอนุมูลอิสระ โดยวิธี DPPH

การติดตามการเปลี่ยนแปลงค่า % DPPH radical scavenging ของผงโปรตีนไอก็อโรไลเซทจากโครงปลาสเตชันที่ผ่านการย่อยสลายด้วยเอนไซม์บิริมาณ 3 เปอร์เซ็นต์ต่อน้ำหนัก

ตัวอย่าง เป็นเวลา 2 ชั่วโมง และผงส่วนใสของโครงปลาการพงบดเจือจากนั้นจะวิเคราะห์ในลักษณะ เช่นเดียวกับกรณีของผงโปรตีนไอก็อโรไลเซทจากโครงปลาานิล โดยรูปที่ 4.21 (ตารางภาคผนวกที่ ก.21) แสดงการเปลี่ยนแปลงของค่า % DPPH radical scavenging ของผงโปรตีนไอก็อโรไลเซทจากโครงปลาการพงที่ผ่านการย่อยสลายด้วยเอนไซม์ปริมาณ 3 เปอร์เซ็นต์ต่อน้ำหนักตัวอย่าง เป็นเวลา 2 ชั่วโมง เปรียบเทียบกับผงส่วนใสของโครงปลาการพงบดเจือจาก



รูปที่ 4.21 การเปลี่ยนแปลงของ % DPPH radical scavenging ของผงโปรตีนไอก็อโรไลเซทจากโครงปลาการพงที่ผ่านการย่อยสลายด้วยเอนไซม์ปริมาณ 3 เปอร์เซ็นต์ต่อน้ำหนักตัวอย่าง เป็นเวลา 2 ชั่วโมง

รูปที่ 4.21 แสดงการเปลี่ยนแปลงค่า % DPPH radical scavenging ของโปรตีนไอก็อโรไลเซทจากโครงปลาการพงที่ผ่านการย่อยสลายด้วยเอนไซม์ปริมาณ 3 เปอร์เซ็นต์ต่อน้ำหนักตัวอย่าง เป็นเวลา 2 ชั่วโมงซึ่งมีค่าเริ่มต้น 54.07 เปอร์เซ็นต์ และจะมีค่าลดลงอย่างมีนัยสำคัญ ($p \leq 0.05$) เมื่อผ่านการเก็บรักษาเป็นเวลา 15 วัน ในขณะที่ผงส่วนใสของโครงปลาการพงบดเจือจากนั้นไม่สามารถคำนวณค่า % DPPH radical scavenging ได้เนื่องจากสารละลายผสมระหว่างผงส่วนใสของโครงปลาการพงบดเจือจาก และน้ำกลัน มีลักษณะอ่อนทำให้ค่าการดูดกลืนแสงที่วัดได้นั้นมีค่ามากกว่าค่าการดูดกลืนแสงของสารละลายควบคุม (ตารางภาคผนวกที่ ก.22) เมื่อเปรียบเทียบค่า % DPPH radical scavenging ของผงโปรตีนไอก็อโรไลเซทจากโครงปลาการพงที่

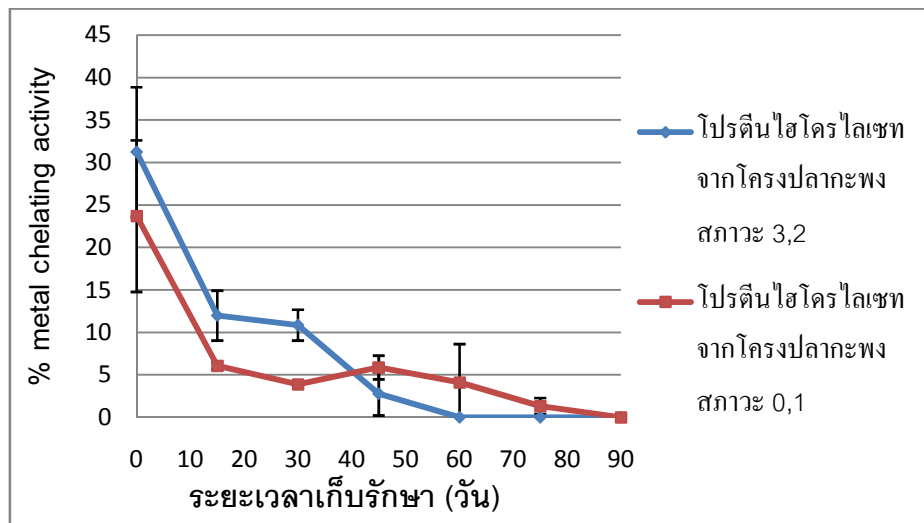
ผ่านการย่อยสลายด้วยเอนไซม์บิรามาน 3 เปอร์เซ็นต์ต่อน้ำหนักตัวอย่าง เป็นเวลา 2 ชั่วโมง กับ โปรตีนไอก็อดร่าไลเซทจากโครงปลาสเตฟฟ์ (ของเหลว) ที่สภาวะเดียวกัน จะพบว่า ผงโปรตีนไอก็อดร่าไลเซทมีค่า % DPPH radical scavenging น้อยกว่าค่า % DPPH radical scavenging ของโปรตีนไอก็อดร่าไลเซทจากโครงปลาสเตฟฟ์ (ของเหลว) เนื่องมาจากความร้อนที่ใช้ในการทำแห้งโปรตีนไอก็อดร่าไลเซท อาจทำให้โปรตีนบางส่วนเกิดการเสียสภาพรวมชาติ และอาจทำให้กรดอะมิโนบางชนิด เช่น lysine, phenylalanine และ tyrosine เป็นต้น ถูกทำลาย (Abdul-hamid, Bakar และ Bee, 2002)

4.15.1.2 วิธี metal chelating activity

สำหรับการติดตามการเปลี่ยนแปลงของ % metal chelating activity ของผงโปรตีนไอก็อดร่าไลเซทจากโครงปลาสเตฟฟ์ที่ผ่านการย่อยสลายด้วยเอนไซม์บิรามาน 3 เปอร์เซ็นต์ต่อน้ำหนักตัวอย่าง เป็นเวลา 2 ชั่วโมง นั้นจะทำในลักษณะที่คล้ายกับผงโปรตีนไอก็อดร่าไลเซทจากโครงปลาสเตฟฟ์ คือ ซึ่งน้ำหนักตัวอย่างผงโปรตีนไอก็อดร่าไลเซทจากโครงปลาสเตฟฟ์ ละลายน้ำกลืน และผสมกับสารละลาย FeCl_2 และสารละลาย 3-(2-pyridyl)-5,6-bis(4-phenyl-sulfonic acid)-1,2,4-triazine (ferrozine) ตั้งทิ้งไว้ 20 นาที แล้ววัดค่าการดูดกลืนแสงของสารละลายที่ความยาวคลื่น 562 นาโนเมตร รูปที่ 4.22 (ตารางภาคผนวกที่ ก.23 และ ก.24) แสดงค่า % metal chelating activity ของผงโปรตีนไอก็อดร่าไลเซทจากโครงปลาสเตฟฟ์ที่ผ่านการย่อยสลายด้วยเอนไซม์บิรามาน 3 เปอร์เซ็นต์ต่อน้ำหนักตัวอย่าง เป็นเวลา 2 ชั่วโมง เทียบกับผงส่วนใหญ่ของโครงปลาสเตฟฟ์บดเจื้อจาง

รูปที่ 4.22 แสดงให้เห็นว่า ผงโปรตีนไอก็อดร่าไลเซทจากโครงปลาสเตฟฟ์ที่ผ่านการย่อยสลายด้วยเอนไซม์บิรามาน 3 เปอร์เซ็นต์ต่อน้ำหนักตัวอย่าง เป็นเวลา 2 ชั่วโมง และ ผงส่วนใหญ่ของโครงปลาสเตฟฟ์บดเจื้อจาง มีสมบัติในการเป็นสารต้านอนุมูลอิสระเริ่มต้น 31.23 เปอร์เซ็นต์ และ 23.69 เปอร์เซ็นต์ ตามลำดับ เมื่อวิเคราะห์ด้วยวิธี metal chelating activity และจะมีค่าลดน้อยลงอย่างมีนัยสำคัญ ($p \leq 0.05$) ในระหว่างการเก็บรักษา ผงโปรตีนไอก็อดร่าไลเซทจากโครงปลาสเตฟฟ์ที่ผ่านการย่อยสลายด้วยเอนไซม์บิรามาน 3 เปอร์เซ็นต์ต่อน้ำหนักตัวอย่าง เป็นเวลา 2 ชั่วโมง

จะมีค่า % metal chelating activity น้อยที่สุดเท่ากับ 2.78 เปอร์เซ็นต์ เมื่อผ่านการเก็บรักษาเป็นเวลา 45 วันและจะไม่สามารถคำนวณค่า % metal chelating activity ได้เมื่อระยะเวลาในการเก็บรักษานานขึ้นเป็น 60-90 วัน ตามลำดับ



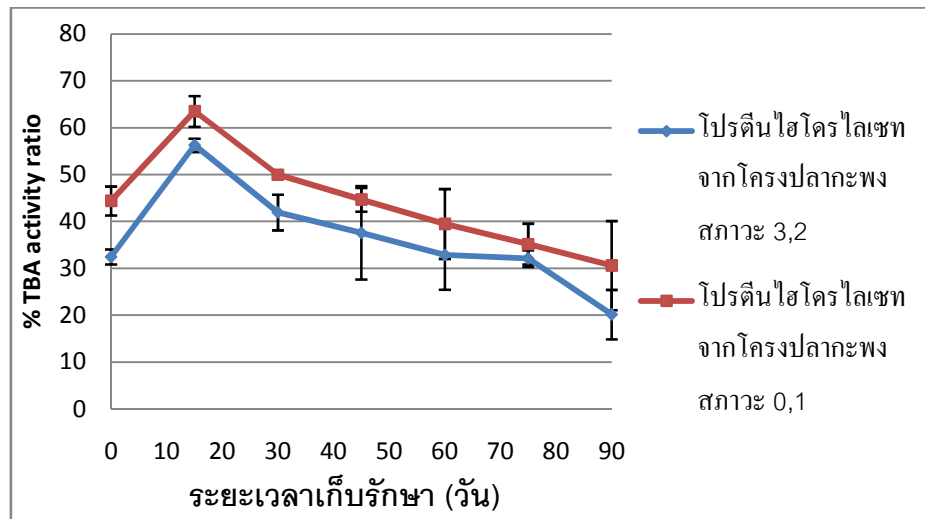
รูปที่ 4.22 การเปลี่ยนแปลงของ % metal chelating activity ของโปรตีนไอกอร์ไอลเชทจากโครงสร้างพลาสติกที่ผ่านการย่อยสลายด้วยเอนไซม์บิโรมาน 3 เปอร์เซ็นต์ต่อน้ำหนักตัวอย่าง เป็นเวลา 2 ชั่วโมงและ ผงส่วนใหญ่ของโครงสร้างพลาสติกคงเหลือ

ในขณะที่ผงส่วนใหญ่ของโครงสร้างพลาสติกคงเหลือ จะมีค่า % metal chelating activity น้อยที่สุด คือ 1.33 เปอร์เซ็นต์ เมื่อผ่านการเก็บรักษาเป็นเวลา 75 วัน กระบวนการทำแท่งแบบพ่นกระเจาซึ่งใช้ความร้อนสูงในการระเหยน้ำออกจากโมเลกุลอหาร ส่งผลให้ค่า % metal chelating activity เริ่มต้นของโปรตีนไอกอร์ไอลเชทจากโครงสร้างพลาสติกที่ผ่านการย่อยสลายด้วยเอนไซม์บิโรมาน 3 เปอร์เซ็นต์ต่อน้ำหนักตัวอย่าง เป็นเวลา 2 ชั่วโมง และ ผงส่วนใหญ่ของโครงสร้างพลาสติกคงเหลือ มีค่าน้อยกว่า % metal chelating activity ของโปรตีนไอกอร์ไอลเชท (ของเหลว) ที่ สภาวะเดียวกัน โดย Thiansilakul, Benjakul และ Shahidi (2007) ศึกษาการเปลี่ยนแปลงของค่า % metal chelating activity ของโปรตีนไอกอร์ไอลเชทจาก round scad (ซึ่งผ่านกระบวนการทำแท่งแบบแข็ง) เป็นเวลา 6 สัปดาห์ พบว่า โปรตีนไอกอร์ไอลเชทจาก round scad มีค่า % metal chelating activity เริ่มต้นประมาณ 57 เปอร์เซ็นต์ และจะลดลงอย่างมีนัยสำคัญทาง

สถิติ ($p \leq 0.05$) เมื่อเก็บรักษาที่อุณหภูมิ 25°C เป็นเวลา 4 สัปดาห์ โดยอธิบายว่าเป็นผลมาจากการต้านอนุมูลิสระที่เป็นองค์ประกอบในผงโปรตีนไฮโดรไลเซทถูกทำลายในระหว่างการเก็บรักษา

4.15.1.3 วิธี TBA

การติดตามการเปลี่ยนแปลงของค่า % TBA activity ratio ของผงโปรตีนไฮโดรไลเซทจากโครง_GL佞ที่ผ่านการย่อยสลายด้วยเอนไซม์บромามาน 3 เปอร์เซ็นต์ต่อน้ำหนักตัวอย่าง เป็นเวลา 2 ชั่วโมง สามารถทำได้โดยผสมตัวอย่างเข้ากับน้ำมันถั่วเหลือง เอทานอล และสารละลายฟอกสเฟตบัฟเฟอร์ pH 7 ปั่นที่อุณหภูมิ 40°C เป็นเวลา 7 วัน และวิเคราะห์ค่า % TBA activity ratio โดยการทำปฏิกิริยา กับ TBA reagent แล้ววัดค่าการดูดกลืนแสงของสารที่ความยาวคลื่น 535 นาโนเมตร รูปที่ 4.23(ตารางภาคผนวกที่ ก.25 และ ก.26) แสดงการเปลี่ยนแปลงของ % TBA activity ratio ของผงโปรตีน ไฮโดรไลเซทจากโครง_GL佞ที่ผ่านการย่อยสลายด้วยเอนไซม์บромามาน 3 เปอร์เซ็นต์ต่อน้ำหนักตัวอย่าง เป็นเวลา 2 ชั่วโมง เทียบกับผงส่วนใหญ่ของโครง_GL佞



รูปที่ 4.23 การเปลี่ยนแปลงของ % TBA activity ratio ของผงโปรตีน ไฮโดรไลเซทจากโครง_GL佞ที่ผ่านการย่อยสลายด้วยเอนไซม์บромามาน 3 เปอร์เซ็นต์ต่อน้ำหนักตัวอย่าง เป็นเวลา 2 ชั่วโมง และผงส่วนใหญ่ของโครง_GL佞

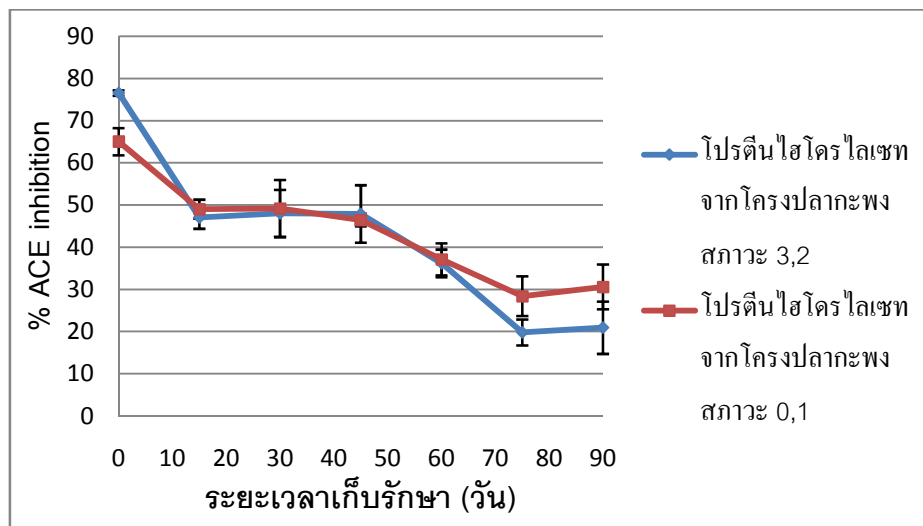
จากรูปที่ 4.23 แสดงให้เห็นว่า ค่า% TBA activityratio ของผงโปรตีนไอก็อโรไลเซทจากโครงปลาสเตฟที่ผ่านการย่อยสลายด้วยเอนไซม์ปริมาณ 3 เปอร์เซ็นต์ต่อน้ำหนักตัวอย่าง เป็นเวลา 2 ชั่วโมง จะเพิ่มขึ้นอย่างมีนัยสำคัญ ($p \leq 0.05$) เมื่อผ่านการเก็บรักษาเป็นเวลา 15 วัน และจะมีแนวโน้มลดลง เมื่อระยะเวลาในการเก็บรักษายาวนานขึ้น ซึ่งส่วนหนึ่งเป็นผลมาจากการปิดผนึกบรรจุภัณฑ์โดยไม่ใช้ระบบสูญญากาศ ทำให้แก๊สออกซิเจนสามารถซึมผ่านเข้าสู่บรรจุภัณฑ์ได้ การซึมผ่านของแก๊สออกซิเจนนี้เป็นปัจจัยหนึ่งในการเร่งอัตราการเกิดปฏิกิริยาออกซิเดชันของไขมัน ซึ่งการวิเคราะห์ความสามารถในการเป็นสารต้านอนุมูลอิสระของสารโดยวิธี TBA นั้น จะวัดความสามารถของสารในการต้านปฏิกิริยาออกซิเดชันของไขมัน สารประกอบต่างๆ ที่อาจเกิดขึ้นเนื่องจากปฏิกิริยานี้ เช่น ไฮโดรเปอร์ออกไซด์ และผลิตภัณฑ์จากการสลายตัวของไฮโดรเปอร์ออกไซด์ สามารถเกิดอันตรกิริยากับกรดอะมิโน และโปรตีนได้ (Ladikos และ Lougovois ,1990) ซึ่งอันตรกิริยาดังกล่าวอาจส่งผลต่อการลดลงของค่า % TBA activity ratio ของผงโปรตีนไอก็อโรไลเซทที่เก็บรักษาเป็นเวลานานขึ้น

4.15.1.4 ความสามารถในการเป็นสารยับยั้งการทำงานของ ACE

ในส่วนของการติดตามการเปลี่ยนแปลงของ % ACE inhibition นั้นก็เช่นเดียวกับในส่วนของผงโปรตีนไอก็อโรไลเซทจากโครงปลาสเตฟที่ก.27 และ ก.28) แสดงการเปลี่ยนแปลงของค่า % ACE inhibition ของผงโปรตีนไอก็อโรไลเซทจากโครงปลาสเตฟที่ผ่านการย่อยสลายด้วยเอนไซม์ปริมาณ 3 เปอร์เซ็นต์ต่อน้ำหนักตัวอย่าง เป็นเวลา 2 ชั่วโมง และผงส่วนใหญ่ของโครงปลาสเตฟท์บดเจือจาง

รูปที่ 4.24 แสดงให้เห็นว่า ระยะเวลาในการเก็บรักษาส่งผลกระทบต่อการลดลงของค่า % ACE inhibition ของผงโปรตีนไอก็อโรไลเซทจากโครงปลาสเตฟที่ผ่านการย่อยสลายด้วยเอนไซม์ปริมาณ 3 เปอร์เซ็นต์ต่อน้ำหนักตัวอย่าง เป็นเวลา 2 ชั่วโมงอย่างมีนัยสำคัญทางสถิติ ($p \leq 0.05$) ซึ่งสามารถอธิบายผลการทดลองได้เช่นเดียวกับในผงโปรตีนไอก็อโรไลเซทจากโครงปลาสเตฟท์ กล่าวคือ การลดลงของ % ACE inhibition นี้เป็นผลมาจากการที่กรดอะมิโน และเปปไทด์ถูกทำลาย อันเนื่องมาจากความร้อน และปฏิกิริยาออกซิเดชันที่เกิดขึ้นในระหว่างกระบวนการการทำแห้ง

แบบพ่นกระจาย (Abdul-Hamid, Bakar และ Bee, 2006) และในระหว่างการเก็บรักษา (Hernandez-Ledesma, Contreras และ Recio, 2011) ทำให้เกิดการเปลี่ยนแปลงปริมาณของเปปไทด์ที่มีความสามารถในการเป็นสารยับยั้งการทำงานของ ACE (Lopez-Fandino, Otte และ van Camp, 2006)



รูปที่ 4.24 การเปลี่ยนแปลงของ % ACE inhibition ของผงโปรตีนไอกาลโซลจากโครงปลาภะพงที่ผ่านการย้อมสลายด้วยเคนไซม์ปริมาณ 3 เปอร์เซ็นต์ต่อน้ำหนักตัวอย่าง เป็นเวลา 2 ชั่วโมง และผงส่วนใหญ่ของโครงปลาภะพงบดเจื้อฯ

การผสมмолโทเด็กทรินซ์ ซึ่งเป็นพอลิเมอร์ของน้ำตาล D-glucose ลงไปในโปรตีนไอกาลโซลอาจทำให้เกิดปฏิกิริยา Maillard และปฏิกิริยา glycation ระหว่างเปปไทด์และмолโทเด็กทรินซ์ได้ในระหว่างการการทำแห้ง และเก็บรักษา ปฏิกิริยาเหล่านี้จะทำให้เกิดการเปลี่ยนแปลงสมบัติเชิงหน้าที่ของเปปไทด์ และส่งผลต่อการเปลี่ยนแปลงโครงสร้างของกรดอะมิโนบางชนิด เช่น lysine, methionine, tyrosine, histidine, tryptophan และ proline (Lopez-Fandino, Otte และ van Camp, 2006) เป็นต้น นอกจากนี้ปฏิกิริยาของซีเดชันที่เกิดขึ้นในระหว่างการแปรรูปและเก็บรักษา ก็ส่งผลต่อการเสื่อมสลายของกรดอะมิโนและเปปไทด์ ที่เป็นองค์ประกอบในผงโปรตีนไอกาลโซลจากโครงปลาภะพงด้วย

บทที่ 5

สรุปผลการทดลอง และข้อเสนอแนะ

5.1 สรุปผลการทดลอง

การผลิตโปรตีนไอก็อโรไลเซทจากโครงปลานิล และโครงปลาภะพง โดยใช้ปริมาณเอนไซม์ และเวลาในการย่อยที่แตกต่างกัน ส่งผลให้โปรตีนไอก็อโรไลเซทจากโครงปลานิล และโครงปลาภะพงที่ได้มีระดับการย่อยสลายโดยโปรตีน ปริมาณโปรตีนที่เป็นองค์ประกอบ และสมบัติในการเป็นสารต้านอนุมูลอิสระ และยับยั้งการทำงานของ ACE แตกต่างกัน สามารถคัดเลือกสภาวะที่เหมาะสมในการผลิตโปรตีนไอก็อโรไลเซทจากโครงปลานิล และโครงปลาภะพงได้จากการพิจารณาค่า % DPPH radical scavenging, % metal chelating activity, % TBA activity ratio และ % ACE inhibition โดยพบว่า สภาวะที่เหมาะสมสำหรับการผลิตโปรตีนไอก็อโรไลเซทจากโครงปลานิล คือสภาวะที่ย่อยสลายโดยใช้เอนไซม์ Flavourzyme[®] 1000 L ปริมาณ 2 เปอร์เซ็นต์ต่อน้ำหนักตัวอย่าง เป็นเวลา 1 ชั่วโมง โปรตีนไอก็อโรไลเซทที่ได้ประกอบด้วยกรดอะมิโน 697 มิลลิกรัมต่อ 100 กรัมโปรตีนไอก็อโรไลเซท มีเปปไทด์ขนาดเล็กในช่วง 400 – 1300 Da เป็นองค์ประกอบในปริมาณมาก และมีค่า % DPPH radical scavenging, % metal chelating activity, % TBA activity ratio และ % ACE inhibition ที่สูงกว่าในส่วนของโครงปลานิลبدเจ้อจากซึ่งไม่ผ่านการย่อยสลายด้วยเอนไซม์ คือ 90.38, 91.80, 70.54 และ 81.90 เปอร์เซ็นต์ ตามลำดับ โดยชนิดของกรดอะมิโน ปริมาณกรดอะมิโน และขนาดของเปปไทด์ที่เป็นองค์ประกอบในโปรตีนไอก็อโรไลเซท จะส่งผลต่อความสามารถในการเป็นสารต้านอนุมูลอิสระ และยับยั้งการทำงานของ ACE ในขณะที่สภาวะที่เหมาะสมสำหรับการผลิตโปรตีนไอก็อโรไลเซทจากโครงปลาภะพง คือสภาวะที่ย่อยสลายโดยใช้เอนไซม์ Flavourzyme[®] 1000 L ปริมาณ 3 เปอร์เซ็นต์ต่อน้ำหนักตัวอย่าง เป็นเวลา 2 ชั่วโมง โปรตีนไอก็อโรไลเซทที่ได้มีค่า % DPPH radical scavenging, % metal chelating activity, % TBA activity ratio และ % ACE inhibition เท่ากับ 96.80, 92.54, 90.12 และ 92.59 เปอร์เซ็นต์ ตามลำดับ ซึ่งค่าเหล่านี้อยู่ในช่วงที่สูงที่สุดเมื่อเทียบกับโปรตีนไอก็อโรไลเซทจากโครงปลาภะพงสภาวะอื่นๆ นอกจากนี้ยังพบว่ามีกรดอะมิโน 926 มิลลิกรัมต่อ 100 กรัมโปรตีนไอก็อโรไลเซท และมีเปปไทด์ขนาดเล็กในช่วง 400-1100 Da เป็นองค์ประกอบ

ในการเปรียบเทียบระหว่างโปรตีนไอก็อดร่าไลเซทจากโครงปลาโนลที่ผ่านการย่อยสลายด้วยเอนไซม์ บริมาณ 2 เปอร์เซ็นต์ต่อน้ำหนักตัวอย่าง เป็นเวลา 1 ชั่วโมง และโปรตีนไอก็อดร่าไลเซทจากโครงปลา กะพงที่ผ่านการย่อยสลายด้วยเอนไซม์บริมาณ 3 เปอร์เซ็นต์ต่อน้ำหนักตัวอย่าง เป็นเวลา 2 ชั่วโมง นั้นจะพบว่า โปรตีนไอก็อดร่าไลเซทจากโครงปลากระพง มีประสิทธิภาพในการเป็นสารต้านอนุมูล อิสระ และยับยั้งการทำงานของ ACE หากกว่าในส่วนของโปรตีนไอก็อดร่าไลเซทจากโครงปลาโนล

สำหรับการพิจารณาการเปลี่ยนแปลงสมบัติเชิงหน้าที่ของผงโปรตีนไอก็อดร่าไลเซทจาก โครงปลาโนลที่ผ่านการย่อยสลายด้วยเอนไซม์บริมาณ 2 เปอร์เซ็นต์ต่อน้ำหนักตัวอย่าง เป็นเวลา 1 ชั่วโมง และผงโปรตีนไอก็อดร่าไลเซทจากโครงปลากระพงที่ผ่านการย่อยสลายด้วยเอนไซม์บริมาณ 3 เปอร์เซ็นต์ต่อน้ำหนักตัวอย่าง เป็นเวลา 2 ชั่วโมง ซึ่งทำให้แบบพ่นกระ Jain นั้นพบว่า ผงโปรตีน ไอก็อดร่าไลเซทจากหั้ง 2 สภาวะ มีลักษณะเป็นผงละเอียด สีเหลือง และ มีกลิ่นความปลาเล็กน้อย มี สมบัติในการเป็นสารต้านอนุมูลอิสระ และยับยั้งการทำงานของ ACE โดยผงโปรตีนไอก็อดร่าไลเซท จากโครงปลาโนลที่ผ่านการย่อยสลายด้วยเอนไซม์บริมาณ 2 เปอร์เซ็นต์ต่อน้ำหนักตัวอย่าง เป็น เวลา 1 ชั่วโมงมีค่า % DPPH radical scavenging, % metal chelating activity, % TBA activity ratio และ % ACE inhibition เริ่มต้นเท่ากับ 52.25, 17.61, 64.12 และ 55.46 เปอร์เซ็นต์ ตามลำดับ ซึ่งสูงกว่าในส่วนของผงโครงปลาโนลบดเจือจาง และค่าเหล่านี้จะลดลงอย่างมี นัยสำคัญ ($p \leq 0.05$) เมื่อผ่านการเก็บรักษาที่อุณหภูมิห้อง เป็นเวลา 30 วัน ในขณะที่ผงโปรตีน ไอก็อดร่าไลเซทจากโครงปลากระพงที่ผ่านการย่อยสลายด้วยเอนไซม์บริมาณ 3 เปอร์เซ็นต์ต่อน้ำหนัก ตัวอย่าง เป็นเวลา 2 ชั่วโมง จะมีค่า % DPPH radical scavenging, % metal chelating activity, % TBA activity ratio และ % ACE inhibition เริ่มต้น คือ 54.07, 31.23, 32.44 และ 76.51 เปอร์เซ็นต์ ตามลำดับ ซึ่งในจำนวนค่าเหล่านี้ มีเพียงค่า % TBA activity ratio ของผงโปรตีน ไอก็อดร่าไลเซทจากโครงปลากระพงที่ผ่านการย่อยสลายด้วยเอนไซม์บริมาณ 3 เปอร์เซ็นต์ต่อน้ำหนัก ตัวอย่าง เป็นเวลา 2 ชั่วโมงเท่านั้น ที่มีค่าเริ่มต้นน้อยกว่าในส่วนของผงส่วนใหญ่ของโครงปลากระพง บดเจือจาง และค่าทั้ง 4 ค่าดังกล่าวจะลดลงอย่างมีนัยสำคัญ ($p \leq 0.05$) เมื่อผ่านการเก็บรักษา เป็นเวลา 15 วัน ดังจะเห็นได้ว่าผงโปรตีนไอก็อดร่าไลเซทจากโครงปลาโนลที่ผ่านการย่อยสลายด้วย เอนไซม์บริมาณ 2 เปอร์เซ็นต์ต่อน้ำหนักตัวอย่าง เป็นเวลา 1 ชั่วโมงนั้น จะสามารถเก็บรักษาที่

อุณหภูมิห้องได้ยาวนานกว่าผงโปรตีนไอก็จะแยกจากโครงปลาสเตชัน ที่ผ่านการย่อยสลายด้วยเอนไซม์บرومาน 3 เปอร์เซ็นต์ต่อน้ำหนักตัวอย่าง เป็นเวลา 2 ชั่วโมง

5.2 ข้อเสนอแนะ

เนื่องจากสมบัติในการเป็นสารต้านอนุมูลอิสระ และยับยั้งการทำงานของ ACE ของโปรตีนไอก็จะแยกจากโครงปลาสเตชัน แล้วโครงปลาสเตชันนั้นไม่ได้ขึ้นอยู่กับชนิดของกรดอะมิโนปริมาณกรดอะมิโน และขนาดของเปปไทด์ ที่เป็นองค์ประกอบเบ่าที่สุด หากแต่ยังขึ้นอยู่กับลำดับของกรดอะมิโนที่เป็นองค์ประกอบในสายเปปไทด์ด้วย ซึ่งการวิเคราะห์สมบัติในการเป็นสารต้านอนุมูลอิสระ และสมบัติในการยับยั้งการทำงานของ ACE สำหรับงานวิจัยนี้เป็นการวิเคราะห์ความสามารถของโปรตีนไอก็จะแยกจากโครงปลาสเตชัน หรือโครงปลาสเตชัน ซึ่งมีกรดอะมิโน หรือเปปไทด์หลายชนิดเป็นองค์ประกอบ โดยกรดอะมิโน และเปปไทด์เหล่านี้อาจจะส่งผลที่แตกต่างกันต่อสมบัติในการเป็นสารต้านอนุมูลอิสระ และยับยั้งการทำงานของ ACE ของโปรตีนไอก็จะแยก เซทได้ ดังนั้นในการต่อยอดงานวิจัยจึงควรมีการทำ purification เพื่อแยกเปปไทด์ที่มีสมบัติในการเป็นสารต้านอนุมูลอิสระ และยับยั้งการทำงานของ ACE และนำมาวิเคราะห์ลำดับของกรดอะมิโนที่เป็นองค์ประกอบในสายเปปไทด์นั้นๆ นอกจากนี้ผลการทดลองทั้งหมดสำหรับงานวิจัยนี้เป็นผลการทดลองที่ได้มาจากการทดลองในห้องปฏิบัติการ (*in vitro*) เท่านั้น จึงควรมีการทดสอบในสัตว์ทดลอง (*in vivo*) เพื่อนำมาใช้ในการพิจารณาประสิทธิภาพของโปรตีนไอก็จะแยกในระบบของสิ่งมีชีวิต

รายการอ้างอิง

ภาษาไทย

ดวงใจ ลาภยืนยง. 2548. การใช้โปรดีเจสในการผลิตโปรตีนไฮโดรไลเซทจากหอยเป้าอี๊ด Haliotis asinina Linnaeus. วิทยานิพนธ์ปริญญาบัณฑิต, สาขาวิชาเทคโนโลยีทางอาหาร ภาควิชาเทคโนโลยีทางอาหาร คณะวิทยาศาสตร์ จุฬาลงกรณ์มหาวิทยาลัย.

นฤมล อัศวเกศมนี. 2541. เทคโนโลยีผลิตภัณฑ์ประมง. นครศรีธรรมราช : สถาบันราชภัฏนครศรีธรรมราช.

ธันยพร จันทร์เสน่ห์โรจน์. 2550. การผลิตและสมบูติเชิงหน้าที่ของไฮโดรไลเซทจากหอยเป้าอี๊ด (Haliotis asinina). วิทยานิพนธ์ปริญญาบัณฑิต, สาขาวิชาเทคโนโลยีทางอาหาร ภาควิชาเทคโนโลยีทางอาหาร คณะวิทยาศาสตร์ จุฬาลงกรณ์มหาวิทยาลัย.

ปัญญา สุวรรณสมุทร. 2545. การเลี้ยงปลาในกระชัง. กรุงเทพมหานคร : โครงการหนังสือเกษตรชุมชน มหาวิทยาลัยเกษตรศาสตร์.

ประจิตร วงศ์รต้น, ประวิทย์ สุวนิรนาถ, กัจวัลย์ จันทร์ใจติ, สัจจา ยืนยง และ อ้อมยิพย์ รุจิเรย์.

2531. การเพาะเลี้ยงปลากะพงขาว (หลักการและแนวปฏิบัติ). โครงการหนังสือเผยแพร่ความรู้ทางการประมง. สำนักพิมพ์ ช่องนนท์.

ประมง, กรม. ยุทธศาสตร์การพัฒนาปลานิล (พ.ศ. 2553 - 2557). [ออนไลน์]. 2554. แหล่งที่มา:

<http://www.fisheries.go.th/freshwater/web3/images/download/yutasat.pdf>

[26 มีนาคม 2555]

ปราณี ค่านเปรื่อง. 2547. เอนไซม์ทางอาหาร. พิมพ์ครั้งที่ 4. กรุงเทพมหานคร : สำนักพิมพ์แห่งจุฬาลงกรณ์มหาวิทยาลัย.

เดศชัย พัฒนวิจิตร. 2548. เอนไซม์ย่อยสลายโปรตีนจาก Bacillus licheniformis เพื่อเตรียมโปรตีนไฮโดรไลเซทจากโครงปแลนิล Oreochromis niloticus. วิทยานิพนธ์ปริญญาบัณฑิต, สาขาวิชาเทคโนโลยีทางอาหาร ภาควิชาเทคโนโลยีทางอาหาร คณะวิทยาศาสตร์ จุฬาลงกรณ์มหาวิทยาลัย.

อุดม เรืองนพคุณ. 2547. การเลี้ยงปลานิล. กรุงเทพมหานคร : อักษรสยามการพิมพ์.

រាយចក្រខ្សោយ

- Abdul-Hamid, A., Bakar, J., and Bee, G.H. 2002. Nutritional quality of spray dried protein hydrolysate from Black Tilapia (*Oreochromis mossambicus*). Food Chemistry 78: 69-74.
- AOAC. 2000. Official Methods of the Analysis. 17th edition. Washington DC: Association of Official Analysis Chemists.
- Adler-Nissen, J. 1979. Determination of the degree of hydrolysis of food protein hydrolysates by trinitrobenzenesulfonic acid. Journal of Agriculture and Food Chemistry 27(6): 1256-1262.
- Adler-Nissen, J. 1986. Enzymatic Hydrolysis of Food Protein. London: Elsevier Applied Science.
- Arcan, I., and Yemencioglu, A. 2007. Antioxidant activity of protein extracts from heat-treated or thermally processed chickpeas and white beans. Food Chemistry 103: 301-312.
- Aruoma, O.I. 1994. Free radical and antioxidant strategies in sports. Journal of Nutritional Biochemistry 5: 370-381.
- Asbjorn, G. 1993. Enzymic processing of marine raw materials. Process Biochemistry 28: 1-15.
- Batista, I., Ramos, C., Coutinho, J., Bandarra, N.M., and Nunes, M.L. 2010. Characterization of protein hydrolysates and lipids obtained from black scabbardfish (*Aphanopus carbo*) by-products and antioxidative activity of the hydrolysates produced. Process Biochemistry 45: 18-24.
- Benjakul, S., and Morrissey, M. 1997. Protein hydrolysate from pacific whiting solid wastes. Journal of Agriculture and Food Chemistry 45: 3423-3430.
- Bernadini, R.D. et al., 2011. Review : Antioxidant and antimicrobial peptidic hydrolysates from muscle protein sources and by-products. Food Chemistry 124: 1296-1307.

- Bhandari, B.R., Datta, N., and Howes, T. 1997. Problems associated with spray drying of sugar-rich foods. Drying Technology 15(2): 671-684.
- Boontha, B., Nukkuntod, J., Hirankarn, N., Chaumpluk, P., and Vilaivan, T. 2008. Multiplex mass spectrometric genotyping of single nucleotide polymorphisms employing pyrrolidinyl peptide nucleic acid in combination with ion-exchange capture. Analytical Chemistry 80: 8178-8186.
- Chobanian A.V. 2003. The seventh report of the Joint National Committee on Prevention, Detection, Evaluation and Treatment of High Blood Pressure. Hypertension 42: 1206-1252.
- Cohen, S.A., and Michaud, D.P. 1993. Synthesis of fluorescent derivatizing reagent, 6-aminoquinolyl-N-hydroxysuccinimidyl carbamate, and its application for the analysis of hydrolysate amino acid via high performance liquid chromatography. Analytical Biochemistry 211: 279-287.
- Crushman, D.W., and Cheung, H.S. 1971. Spectrophotometric assay and properties of the angiotensin converting enzyme of rabbit lung. Biochem Pharmacology 20: 1637-1648.
- Cruz, A.G., Faria, J., and Vandender, A. 2007. Packaging system and probiotic dairy foods. Food Research International 40: 951-956.
- Dekker, E., Raghavan, S., Kristinsson, H.G., and Marshall, M.R. 2011. Oxidative stability of mahimahi red muscle dipped in tilapia protein hydrolysate. Food Chemistry 124: 640-645.
- Dong, S., et al. 2008. Antioxidant and biochemical properties of protein hydrolysates prepared from Silver carp (*Hopophthalmichthys molitrix*). Food Chemistry 107: 1485-1493.
- Fernandez, J., Perez-Alvarez, J.A., and Fernandez-Lopes, J.A. 1996. Thiobarbituric acid test for monitoring lipid oxidation in meat. Food Chemistry 59(3): 345-353.

- Gomez-Ruiz, J.A., Ramos, M., and Recio, I. 2004. Angiotensin converting enzyme-inhibitory activity of peptides isolated from Manchego cheese stability under simulated gastrointestinal digestion. International Dairy Journal 14: 1075-1080.
- Gonzalez, S., Flick, G.J., O'Keefe, S.F., Duncan, S.E., McLean, E., and Craig, S.R. 2006. Composition of farmed and wild yellow perch (*Perca flavescens*). Journal of Food Composition and Analysis 19: 720-726.
- Halliwell, B. 1997. Antioxidants : the basic- what they are and how to evaluate them. Journal of Advance Pharmacology 38: 3-20.
- Hernandez-Ledesma, B., Contreras, M.d.M., and Recio, I. 2011. Antihypertensive peptides: Production, bioavailability and incorporation into foods. Advances in Colloid and Interface Science 165(1): 23-35.
- Jamdar, S.N., Rajalakshmi, V., Pednekar, M.D., Juan, F., Yardi, V., and Sharma, A. 2010. Influence of degree of hydrolysis on functional properties, antioxidant activity and ACE inhibitory activity of peanut protein hydrolysate. Food Chemistry 121(1): 178-184.
- Je, Y.J., Lee, K.H., Lee, M.H., and Ahn, C.B. 2009. Antioxidant and antihypertensive protein hydrolysates produced from tuna liver by enzymatic hydrolysis. Food Research International 42: 1266-1272.
- Jena, S. and Das, H. 2012. Shelf life prediction of aluminum foil laminated polyethylene packed vacuum dried coconut milk powder. Journal of Food Engineering 108(1): 135–142.
- Jeon, Y.J., Byun, H.G., and Kim, S.K. 1999. Improvement of functional properties of cod frame protein hydrolysates using ultrafiltration membrane. Process Biochemistry 35: 471-478.

- Jun, S.Y., Jung, W.K. and Kim, S.K. 2004. Purification and characterization of an antioxidative peptide from enzymatic hydrolysate of yellowfin sole (*Limanda aspera*) frame protein. European Food Research and Technology 219(1): 20-26.
- Khantaphant, S., Benjakul, S., and Kishimura, H. 2011. Antioxidative and ACE inhibitory activities of protein hydrolysates from the muscle of brownstripe red snapper prepared using pyloric caeca and commercial protease. Process Biochemistry 46: 318-327.
- Klompong, V., Benjakul, S., Kantachote D., and Shahidi F. 2007. Antioxidative activity and functional properties of protein hydrolysate of yellow stripe trevally (*Selaroides leptolepis*) as influenced by the degree of hydrolysis and enzyme type. Food Chemistry 102: 1317-1327.
- Kristinsson, H.G., and Rasco, B.A. 2000. Hydrolysis of salmon muscle proteins by an enzyme mixture extracted from atlantic salmon. Journal of Food Biochemistry 24(3): 177-187.
- Kumar, P., and Mishira, H.N. 2004. Yoghurt powder-a review of process technology, storage and utilization. Food and Bioproducts Processing 82(C2): 133–142.
- Ladikos, D., and Lougovois, V. 1990. Lipid oxidation in muscle food : Review. Food Chemistry 35: 295-314.
- Lopez-Duarte, A.L., and Vidal-Quintanar, R.L. 2009. Oxidation of linoleic acid as a marker for shelflife of corn flour. Food Chemistry 114: 478-483.
- Lopez-Fandino, R., Otte, J., and van Camp, J. 2006. Review: Physiological, chemical and technological aspects of milk-protein-derived peptides with antihypertensive and ACE-inhibitory activity. International Dairy Journal 16: 1277-1293.
- Marco, A., Rubio, R., Compano, R., and Casals, I. 2002. Comparison of the Kjeldahl method and a combustion method for total nitrogen determination in animal feed. Talanta 57: 1019-1026.

- McCance, R.A. and Widdowson, E.M. 1978. The Composition of Foods, Fourth revised and extended edition of MRC Special Report No.297. Amsterdam, London and Elsevier, HMSO.
- Mestdagh, F., De Meulenaer, B., De, Clippeleer, J., Devlieghere, F., and Huyghebaert, A. 2005. Protective influence of several packaging material on light-oxidation of milk. Journal of Dairy Science 88: 499-510.
- Moore, S., and Stein, W.W. 1948. Amino acid free photometric ninhydrin method for use in the chromatography of amino acid. Journal of Biological Chemistry 179: 367-388.
- Murray, B.A., Walsh, D.J., and FitzGerald, R.J. 2004. Modification of the furanacryloyl-L-phenylalanylglycylglycine assay for determination of angiotensin-I-converting enzyme inhibitory activity. Journal of Biochemical and Biophysical Methods 59: 127-137.
- Nakajima, K., Yoshie-Stark, Y., and Ogushi, M. 2009. Comparison of ACE inhibitory and DPPH radical scavenging activities of fish muscle hydrolysates. Food Chemistry 114: 844-851.
- Natesh, R., Schwager, S.L.U., Sturrock, E.D., and Acharya, K.R. 2003. Crystal structure of the human angiotensin-converting enzyme-lisinopril complex. Nature (421) 551-554.
- Nielsen, P.M., Petersen, D., and Dambmann, C. 2001. Improved method for determining food protein degree of hydrolysis. Journal of Food Science 66(5): 642-646.
- Niki, E. 2010. Review : Assessment of antioxidant capacity *in vitro* and *in vivo*. Journal of Free Radical Biology and Medicine 49: 503-515.
- Nilsang, S., Lertsiri, S., Suphantharika, M., and Assavanig, A. 2005. Optimization of enzymatic hydrolysis of fish soluble concentrate by commercial proteases. Journal of Food Engineering 70: 571-578.

- Nilsang, S., Lertsiri, S., Suphanharika, M., and Assavanig, A. 2006. Food industry and fermented foods and related waste treatment in Thailand [online]. Available from: <http://www.google.com/oral presentations 09> [2006, Mar 16]
- Pan, D., Cao, J., Guo, H., and Zhao, B. 2012. Studies on purification and the molecular mechanism of a novel ACE inhibitory peptide from whey protein hydrolysate. Food Chemistry 130: 121-126.
- Pena-Ramos, E.A., and Xiong, Y.L. 2001. Antioxidative activity of whey protein hydrolysates in a liposomal system. Journal of Dairy Science 84: 2577-2583.
- Pihlanto, A. 2006. Antioxidative peptides derived from milk proteins. International Diary Journal 16: 562-569.
- Prior, R., Wu, X., and Schaich, K. 2005. Standardized method for the determination of antioxidant capacity and phenolics in food and dietary supplements. Journal of Agricultural and Food Chemistry 53:4290-4302.
- Raghavan, S., and Kristinsson, H.G. 2009. ACE-inhibitory activity of tilapia protein hydrolysates. Food Chemistry 117: 582-588.
- Rajapakse, N., Mendis, E., Jung, W.K., Je, Y.J., and Kim, S.K. 2005. Purification of radical scavenging peptide from fermented mussel sauce and its antioxidant properties. Food Research International 38: 175-182.
- Roberston, G.L. 1993. Food Packaging Principle and Practice. New York: Markel Decker.
- Saiga, A., Tanabe, S., and Nishimura, T. 2003. Antioxidant activity of peptides obtained from porcine myofibrillar proteins by protease treatment. Journal of Agricultural and Food Chemistry 51:3661-3667.
- Sarkar, B. 1987. Metal protein interactions. Progress in Food and Nutrition Science 11:363-400.
- Shahidi, F. 1994. Seafood processing by-products. In F.Shahidi and J.R. Botta (eds.), Seafoods Chemistry, Processing Technology and Quality, pp. 320-334. London: Blackie Academic and Professional.

- Silalai, N., and Roos, Y.H. 2011. Mechanical relaxation times as indicators of stickiness in skim milk–maltodextrin solids systems. *Journal of Food Engineering* 106(4): 306-317.
- Silvestre, M.P.C. 1997. Review of method for the analysis of protein hydrolysate. *Food Chemistry* 60(2):263-271.
- Steiner-Asiedu, M., Julshamn, K., and Lie, O. 1990. Effect of local processing methods(cooking, frying and smoking)on three fish species from Gana: part I. proximate composition, fatty acids, minerals, trace elements and vitamin. *Food Chemistry* 40: 309-321.
- Suetsuna, K., Ukeda, H., and Ochi, H. 2000. Isolation and characterization of free radical scavenging activities peptides derived from casein. *Journal of Nutritional Biochemistry* 11: 128-131.
- Thiansilakul, Y., Benjakul, S., and Shahidi, F. 2007. Compositions, functional properties and antioxidative activity of protein hydrolysates prepared from round scad (*Decapterus maruadsi*). *Food Chemistry* 103: 1385-1394.
- Tsai, J.S., Chen, J.L. and Pan, B.S. 2008. ACE-inhibitory peptides identified from the muscle protein hydrolysate of hard clam (*Meretrix lusoria*). *Process Biochemistry* 43: 743-747.
- Vankerschaver, K., Willocx, C., Smout, M., Hendrickx, andTobback, P.1996. Modeling and prediction of visual shelf life of minimally processed endive. *Journal of Food Science* 61: 1094–1098.
- Well, B.G., Dipiro, J.T., Schwinghammer, T.L., and Dipiro, C.V. 2009. *Pharmacotherapy Handbook*. 7th ed. Singapore: McGraw-Hill.
- Whitaker, J.R. 1994. *Principles of Enzymology for Food Sciences*. New York : Marcel Dekker.
- Wu, H.C., Chen, H.M., and Shiao, C.Y. 2003. Free amino acids and peptides as related to antioxidant properties in protein hydrolysates of mackerel (*Scomber austriasicus*). *Food Research International* 36: 949-957.

- Wu, T.H., Stine, J.J., and Bechtel, P.J. 2011. Preliminary chemical and nutritional characterization of liver from longnose skates (*Raja rhina*). Journal of Food Composition and Analysis 24: 356-361.
- Yang, J.I., Liang, W.S., Chow, C.J., and Siebert, K.J. 2009. Process for the production of tilapia retorted skin gelatin hydrolysates with optimized antioxidative properties. Process Biochemistry 44: 1152-1157.
- Zhan-li, W., Sai-sai, Z., Wei, W., Feng-qin, F., and Wei-guang, S. 2011. A novel angiotensin I converting enzyme inhibitory peptide from the milk casein : virtual screening and docking studies. Agricultural Science in China 10(3): 463-467.
- Zhu, K., Zhou, H. and Qian, H. 2006. Antioxidant and free radical-scavenging activities of wheat germ protein hydrolysates (WGPH) prepared with alcalase. Process Biochemistry 41: 1296-1302.
- Zulueta, A., Esteve, M. J., and Frivola, A. 2009. ORAC and TEAC assays comparison to measure the antioxidant activity of food products. Food Chemistry 114: 310-316.

ภาคผนวก

ภาคผนวก ก.

ตารางผลการทดลอง

ตารางที่ ก.1 อิทธิพลของปริมาณเอนไซม์ (Flavourzyme® 1000 L) 0, 1, 2 และ 3 เปอร์เซ็นต์ต่อ
น้ำหนักตัวอย่าง และ เวลาในการย่อย 0, 1, 2 และ 3 ชั่วโมง ที่ส่งผลต่อปริมาณโปรตีนในโปรตีน
ไฮโดรไลซ์จากโครงปลานิล (%)

ตัวอย่าง		% โปรตีน(mean ± SD)
ปริมาณเอนไซม์ (%)	เวลาในการย่อย (ชั่วโมง)	
0	0	0.21 ± 0.04 ^a
0	1	0.29 ± 0.03 ^a
0	2	0.34 ± 0.01 ^{ab}
0	3	0.36 ± 0.11 ^{ab}
1	0	0.56 ± 0.02 ^{abc}
1	1	0.72 ± 0.17 ^{abc}
1	2	0.83 ± 0.22 ^{bcd}
1	3	1.01 ± 0.19 ^{cde}
2	0	0.68 ± 0.17 ^{abc}
2	1	0.94 ± 0.28 ^{cde}
2	2	0.97 ± 0.10 ^{cde}
2	3	1.05 ± 0.07 ^{cde}
3	0	0.92 ± 0.29 ^{cde}
3	1	1.37 ± 0.51 ^e
3	2	1.29 ± 0.54 ^{de}
3	3	1.30 ± 0.62 ^{de}

a, b, c,... ตัวเลขที่มีอักษรกำกับต่างกันมีความแตกต่างกันอย่างมีนัยสำคัญ ($p \leq 0.05$)

ตารางที่ ก.2 อิทธิพลของปริมาณเอนไซม์ (Flavourzyme® 1000 L) 0, 1, 2 และ 3 เปอร์เซ็นต์ต่อ
น้ำหนักตัวอย่าง และ เวลาในการย่อยสลาย 0, 1, 2 และ 3 ชั่วโมง ที่ส่งผลต่อระดับการย่อยสลาย
โปรตีนในโปรตีนไฮโดรไลซ์จากโครงปลานิล

ตัวอย่าง		เวลาในการย่อย (ชั่วโมง)	ระดับการย่อยสลาย(mean ± SD)
ปริมาณเอนไซม์ (%)			
0	0	0	24.90 ± 6.82 ^a
0	1	1	20.41 ± 1.06 ^a
0	2	2	15.33 ± 3.68 ^a
0	3	3	15.15 ± 1.80 ^a
1	0	0	40.39 ± 5.20 ^{bc}
1	1	1	62.10 ± 8.25 ^{de}
1	2	2	62.68 ± 8.68 ^{de}
1	3	3	65.76 ± 8.64 ^e
2	0	0	41.66 ± 8.81 ^c
2	1	1	61.10 ± 7.69 ^e
2	2	2	62.70 ± 2.90 ^{de}
2	3	3	60.41 ± 5.60 ^{de}
3	0	0	27.54 ± 5.06 ^{ab}
3	1	1	45.90 ± 12.53 ^c
3	2	2	52.95 ± 13.70 ^{cde}
3	3	3	50.34 ± 11.17 ^{cd}

a, b, c,... ตัวเลขที่มีอักษรกำกับต่างกันมีความแตกต่างกันอย่างมีนัยสำคัญ ($p \leq 0.05$)

ตารางที่ ก.3 อิทธิพลของปริมาณเอนไซม์ (Flavourzyme® 1000 L) 0, 1, 2 และ 3 เปอร์เซ็นต์ต่อ
น้ำหนักตัวอย่าง และ เวลาในการย่อย 0, 1, 2 และ 3 ชั่วโมง ที่ส่งผลต่อความสามารถในการขจัด
อนุมูล DPPH ของโปรตีนไฮโดรไลซ์จากโครงปลานิล

ปริมาณเอนไซม์ (%)	เวลาในการย่อย (ชั่วโมง)	ตัวอย่าง		% DPPH radical scavenging (mean ± SD)	
		0	0	21.78	± 1.00 ^a
0	1	49.85	± 9.57 ^b		
0	2	60.17	± 7.04 ^c		
0	3	62.06	± 10.00 ^c		
1	0	83.55	± 2.45 ^d		
1	1	87.53	± 4.65 ^{de}		
1	2	84.66	± 1.19 ^{de}		
1	3	92.47	± 1.07 ^e		
2	0	84.70	± 3.96 ^{de}		
2	1	90.38	± 2.00 ^{de}		
2	2	97.47	± 1.53 ^{de}		
2	3	88.48	± 1.59 ^{de}		
3	0	89.07	± 1.79 ^{de}		
3	1	90.67	± 2.06 ^{de}		
3	2	91.97	± 1.98 ^{de}		
3	3	90.66	± 1.58 ^{de}		

a, b, c,... ตัวเลขที่มีอักษรกำกับต่างกันมีความแตกต่างกันอย่างมีนัยสำคัญ ($p \leq 0.05$)

*% DPPH radical scavenging ของ BHA มีค่าเท่ากับ 87.08 ± 0.30 เปอร์เซ็นต์

ตารางที่ ก.4 อิทธิพลของปริมาณเอนไซม์ (Flavourzyme[®] 1000 L) 0, 1, 2 และ 3 เปอร์เซ็นต์ต่อ
น้ำหนักตัวอย่าง และ เวลาในการย่อย 0, 1, 2 และ 3 ชั่วโมง ที่ส่งผลต่อค่า % metal chelating
activity ของโปรตีนไฮโดรไลเซทจากโครงปدانิด

ปริมาณเอนไซม์ (%)	เวลาในการย่อย (ชั่วโมง)	ตัวอย่าง		% metal chelating activity (mean ± SD)
0	0			42.59 ± 1.78 ^a
0	1			44.76 ± 11.37 ^a
0	2			55.90 ± 12.50 ^b
0	3			61.57 ± 4.12 ^b
1	0			75.63 ± 10.07 ^c
1	1			79.61 ± 6.98 ^{cd}
1	2			87.18 ± 2.74 ^{de}
1	3			88.29 ± 5.89 ^{de}
2	0			85.59 ± 2.62 ^{de}
2	1			91.80 ± 1.17 ^e
2	2			91.61 ± 0.49 ^e
2	3			91.34 ± 2.28 ^e
3	0			91.63 ± 0.99 ^e
3	1			94.72 ± 0.66 ^e
3	2			93.34 ± 0.95 ^e
3	3			93.61 ± 0.87 ^e

a, b, c,... ตัวเลขที่มีอักษรกำกับต่างกันมีความแตกต่างกันอย่างมีนัยสำคัญ ($p \leq 0.05$)

ตารางที่ ก.5 อิทธิพลของปริมาณเอนไซม์ (Flavourzyme® 1000 L) 0, 1, 2 และ 3 เปอร์เซ็นต์ต่อ
น้ำหนักตัวอย่าง และ เวลาในการย้อม 0, 1, 2 และ 3 ชั่วโมง ที่ส่งผลต่อค่า % TBA activity ratio
ของโปรตีนไอก็อกโตฟิลเมทจากโครงปลาโนล

ปริมาณเอนไซม์ (%)	เวลาในการย้อม (ชั่วโมง)	ตัวอย่าง			% TBA activity ratio (mean ± SD)
0	0			30.18	± 10.36 ^a
0	1			37.58	± 19.43 ^a
0	2			42.30	± 10.89 ^a
0	3			64.73	± 7.62 ^b
1	0			74.12	± 10.80 ^{bc}
1	1			76.57	± 6.90 ^{bc}
1	2			83.91	± 4.96 ^c
1	3			82.51	± 2.10 ^c
2	0			81.82	± 7.87 ^{bc}
2	1			81.90	± 10.01 ^{bc}
2	2			82.87	± 7.26 ^c
2	3			82.04	± 10.14 ^{bc}
3	0			80.36	± 9.73 ^{bc}
3	1			89.64	± 6.84 ^c
3	2			88.95	± 4.68 ^c
3	3			90.54	± 2.93 ^c

a, b, c,... ตัวเลขที่มีอักษรกำกับต่างกันมีความแตกต่างกันอย่างมีนัยสำคัญ ($p \leq 0.05$)

% TBA activity ratio ของ α - tocopherol 0.1 มิลลิไมลาร์ มีค่าเท่ากับ 80.73 ± 3.35

เปอร์เซ็นต์

% TBA activity ratio ของสารละลาย BHA เพิ่มขึ้น 10 ppm มีค่า 80.49 ± 2.98

เปอร์เซ็นต์

ตารางที่ ก.6 อิทธิพลของปริมาณเอนไซม์ (Flavourzyme® 1000 L) 0, 1, 2 และ 3 เปอร์เซ็นต์ต่อ
น้ำหนักตัวอย่างและ เวลาในการย่อย 0, 1, 2 และ 3 ชั่วโมง ที่ส่งผลต่อค่า % ACE inhibition ของ
โปรตีนไอก็อโรไลเซทจากโครงปลานิล

ตัวอย่าง		% ACE inhibition
ปริมาณเอนไซม์ (%)	เวลาในการย่อย (ชั่วโมง)	
0	0	31.37 ± 15.09 ^a
0	1	42.56 ± 23.48 ^{ab}
0	2	55.17 ± 2.02 ^{bc}
0	3	60.77 ± 6.70 ^{cd}
1	0	72.63 ± 1.04 ^{de}
1	1	82.82 ± 5.70 ^e
1	2	83.00 ± 2.46 ^e
1	3	83.74 ± 2.13 ^e
2	0	82.14 ± 0.97 ^e
2	1	83.77 ± 1.83 ^e
2	2	84.38 ± 0.73 ^e
2	3	87.78 ± 0.61 ^e
3	0	81.72 ± 3.74 ^e
3	1	85.82 ± 4.58 ^e
3	2	88.25 ± 3.30 ^e
3	3	89.63 ± 2.22 ^e

a, b, c,... ตัวเลขที่มีอักษรกำกับต่างกันมีความแตกต่างกันอย่างมีนัยสำคัญ ($p \leq 0.05$)

% ACE inhibition ของ Captopril® ความเข้มข้น 0.1 mM มีค่าเท่ากับ 79.12 ± 4.33

เปอร์เซ็นต์

ตารางที่ ก.7 การเปลี่ยนแปลงของ % DPPH radical scavenging ของผงโปรตีนไอก็อดร่าล่าเชท จากโครงปลาโนลที่ผ่านการย้อมสลายด้วยเอนไซม์ปริมาณ 2 เปอร์เซ็นต์ต่อน้ำหนักตัวอย่าง เป็นเวลา 1 ชั่วโมง เมื่อผ่านการเก็บรักษาเป็นเวลา 90 วัน

ระยะเวลาในการเก็บรักษา(วัน)	% DPPH radical scavenging
0	52.25 ± 052 ^b
15	37.24 ± 0.36 ^{ab}
30	31.01 ± 0.66 ^a
45	26.47 ± 0.65 ^a
60	29.42 ± 17.63 ^a
75	26.39 ± 0.14 ^a
90	23.25 ± 9.42 ^a

a, b, c,... ตัวเลขที่มีอักษรกำกับต่างกันมีความแตกต่างกันอย่างมีนัยสำคัญ ($p \leq 0.05$)

ตารางที่ ก.8 การเปลี่ยนแปลงของ % DPPH radical scavenging ของผงส่วนใหญ่ของโครงปลาโนลดจืดจาก เมื่อผ่านการเก็บรักษาเป็นเวลา 90 วัน

ระยะเวลาในการเก็บรักษา(วัน)	% DPPH radical scavenging
0	ไม่สามารถวิเคราะห์ได้
15	ไม่สามารถวิเคราะห์ได้
30	ไม่สามารถวิเคราะห์ได้
45	ไม่สามารถวิเคราะห์ได้
60	ไม่สามารถวิเคราะห์ได้
75	ไม่สามารถวิเคราะห์ได้
90	ไม่สามารถวิเคราะห์ได้

a, b, c,... ตัวเลขที่มีอักษรกำกับต่างกันมีความแตกต่างกันอย่างมีนัยสำคัญ ($p \leq 0.05$)

ตารางที่ ก.9 การเปลี่ยนแปลงของ % metal chelating activity ของผงโปรตีนไอก็อโรไลเซทจากโครงปลาโนนิลที่ผ่านการย่อยสลายด้วยเอนไซม์ปริมาณ 2 เปอร์เซ็นต์ต่อน้ำหนักตัวอย่าง เป็นเวลา 1 ชั่วโมง เมื่อผ่านการเก็บรักษาเป็นเวลา 90 วัน

ระยะเวลาในการเก็บรักษา(วัน)	% metal chelating activity
0	17.61 ± 9.82 ^b
15	9.90 ± 3.61 ^{ab}
30	6.71 ± 0.90 ^a
45	6.53 ± 1.85 ^a
60	ไม่สามารถวิเคราะห์ได้
75	ไม่สามารถวิเคราะห์ได้
90	ไม่สามารถวิเคราะห์ได้

a, b, c,... ตัวเลขที่มีอักษรกำกับต่างกันมีความแตกต่างกันอย่างมีนัยสำคัญ ($p \leq 0.05$)

ตารางที่ ก.10 การเปลี่ยนแปลงของ % metal chelating activity ของผงส่วนใสของโครงปลาโนนิล บดเจือจาง เมื่อผ่านการเก็บรักษาเป็นเวลา 90 วัน

ระยะเวลาในการเก็บรักษา(วัน)	% metal chelating activity
0	ไม่สามารถวิเคราะห์ได้
15	ไม่สามารถวิเคราะห์ได้
30	ไม่สามารถวิเคราะห์ได้
45	ไม่สามารถวิเคราะห์ได้
60	ไม่สามารถวิเคราะห์ได้
75	ไม่สามารถวิเคราะห์ได้
90	ไม่สามารถวิเคราะห์ได้

a, b, c,... ตัวเลขที่มีอักษรกำกับต่างกันมีความแตกต่างกันอย่างมีนัยสำคัญ ($p \leq 0.05$)

ตารางที่ ก.11 การเปลี่ยนแปลงของ % TBA activity ratio ของผงโปรตีนไอก็อดร่าไลเซทจากโครงปลาโนลที่ผ่านการย่อยสลายด้วยเอนไซม์ปริมาณ 2 เปอร์เซ็นต์ต่อน้ำหนักตัวอย่าง เป็นเวลา 1 ชั่วโมง เมื่อผ่านการเก็บรักษาเป็นเวลา 90 วัน

ระยะเวลาในการเก็บรักษา(วัน)	% TBA activity ratio
0	64.12 ± 6.48 ^b
15	63.15 ± 7.44 ^b
30	66.15 ± 5.44 ^b
45	40.18 ± 3.79 ^a
60	59.21 ± 1.87 ^b
75	36.41 ± 7.86 ^a
90	28.35 ± 2.11 ^a

a, b, c,... ตัวเลขที่มีอักษรกำกับต่างกันมีความแตกต่างกันอย่างมีนัยสำคัญ ($p \leq 0.05$)

ตารางที่ ก.12 การเปลี่ยนแปลงของ % TBA activity ratio ของผงส่วนใหญ่ของโปรตีนโครงปลาโนลบดเจือจาง เมื่อผ่านการเก็บรักษาเป็นเวลา 90 วัน

ระยะเวลาในการเก็บรักษา(วัน)	% TBA activity ratio
0	53.06 ± 1.62 ^b
15	68.42 ± 0.93 ^a
30	53.07 ± 2.17 ^b
45	55.36 ± 5.05 ^b
60	51.31 ± 1.86 ^b
75	51.85 ± 1.75 ^b
90	50.00 ± 7.38 ^b

a, b, c,... ตัวเลขที่มีอักษรกำกับต่างกันมีความแตกต่างกันอย่างมีนัยสำคัญ ($p \leq 0.05$)

ตารางที่ ก.13 การเปลี่ยนแปลงของ % ACE inhibitionของผงโปรตีนไอก็อดโรไลเซทจากโครง
ปลาโนลที่ผ่านการย่อยสลายด้วยเอนไซม์ปริมาณ 2 เปอร์เซ็นต์ต่อน้ำหนักตัวอย่าง เป็นเวลา 1
ชั่วโมง เมื่อผ่านการเก็บรักษาเป็นเวลา 90 วัน

ระยะเวลาในการเก็บรักษา(วัน)	% ACE inhibition
0	55.46 ± 0.43 ^a
15	49.39 ± 0.64 ^{ab}
30	41.28 ± 5.25 ^b
45	44.49 ± 1.77 ^b
60	28.30 ± 5.35 ^a
75	26.75 ± 6.60 ^a
90	29.32 ± 5.30 ^a

a, b, c,... ตัวเลขที่มีอักษรกำกับต่างกันมีความแตกต่างกันอย่างมีนัยสำคัญ ($p \leq 0.05$)

ตารางที่ ก.14 การเปลี่ยนแปลงของ % ACE inhibitionของผงส่วนใสของโครงปลาโนลบดเจือจาง
เมื่อผ่านการเก็บรักษาเป็นเวลา 90 วัน

ระยะเวลาในการเก็บรักษา(วัน)	% ACE inhibition
0	53.63 ± 0.86 ^{de}
15	47.80 ± 2.25 ^e
30	55.07 ± 0.32 ^{de}
45	46.33 ± 6.28 ^{cd}
60	40.04 ± 4.72 ^{bc}
75	38.27 ± 1.32 ^{ab}
90	32.04 ± 0.37 ^a

a, b, c,... ตัวเลขที่มีอักษรกำกับต่างกันมีความแตกต่างกันอย่างมีนัยสำคัญ ($p \leq 0.05$)

ตารางที่ ก.15 อิทธิพลของปริมาณเอนไซม์ (Flavourzyme® 1000 L) 0, 1, 2 และ 3 เปอร์เซ็นต์ ต่อน้ำหนักตัวอย่าง และ เวลาในการย่อย 0, 1, 2 และ 3 ชั่วโมง ที่ส่งผลต่อปริมาณโปรตีนใน โปรตีนไฮโดรไลซ์จากโครงปลากะพง (%)

ตัวอย่าง			% โปรตีน(mean ± SD)		
ปริมาณเอนไซม์ (%)	เวลาในการย่อย (ชั่วโมง)				
0	0		0.44	±	0.17 ^a
0	1		0.49	±	0.19 ^a
0	2		0.52	±	0.18 ^a
0	3		0.51	±	0.17 ^a
1	0		0.85	±	0.39 ^{ab}
1	1		1.07	±	0.22 ^{abc}
1	2		1.13	±	0.32 ^{acd}
1	3		1.29	±	0.21 ^{abcd}
2	0		1.25	±	0.60 ^{abcd}
2	1		1.42	±	0.33 ^{bcd}
2	2		1.53	±	0.24 ^{bcd}
2	3		1.68	±	0.51 ^{bcd}
3	0		1.48	±	0.72 ^{bcd}
3	1		1.87	±	0.67 ^{cd}
3	2		2.06	±	0.83 ^d
3	3		2.05	±	0.71 ^d

a, b, c,... ตัวเลขที่มีอักษรกำกับต่างกันมีความแตกต่างกันอย่างมีนัยสำคัญ ($p \leq 0.05$)

ตารางที่ ก.16 ผลของปริมาณเอนไซม์ (Flavourzyme® 1000 L) 0, 1, 2 และ 3 เปอร์เซ็นต์ต่อ
น้ำหนักตัวอย่าง และ ระยะเวลาในการย่อย 0, 1, 2 และ 3 ชั่วโมง ต่อค่าระดับการย่อยสลายของ
โปรตีนไฮโดรไลซ์จากโครงปลากะพง

ตัวอย่าง				
ปริมาณเอนไซม์ (%)	เวลาในการย่อย (ชั่วโมง)	ระดับการย่อยสลาย(mean ± SD)		
0	0	10.68	±	3.84 ^a
0	1	11.80	±	2.24 ^a
0	2	10.79	±	0.35 ^a
0	3	11.82	±	1.64 ^a
1	0	19.35	±	7.53 ^a
1	1	49.86	±	4.09 ^{cd}
1	2	47.68	±	2.10 ^c
1	3	57.82	±	9.02 ^d
2	0	18.15	±	1.10 ^a
2	1	46.13	±	4.51 ^c
2	2	56.14	±	1.77 ^d
2	3	51.81	±	5.78 ^{cd}
3	0	18.48	±	3.27 ^a
3	1	36.30	±	3.48 ^b
3	2	44.25	±	8.11 ^{bc}
3	3	51.36	±	7.12 ^{cd}

a, b, c,... ตัวเลขที่มีอักษรกำกับต่างกันมีความแตกต่างกันอย่างมีนัยสำคัญ ($p \leq 0.05$)

ตารางที่ ก.17 อิทธิพลของปริมาณเอนไซม์ (Flavourzyme® 1000 L) 0, 1, 2 และ 3 เปอร์เซ็นต์ ต่อหน้าหนักตัวอย่าง และ เวลาในการย่อย 0, 1, 2 และ 3 ชั่วโมง ที่ส่งผลต่อความสามารถในการขจัดอนุญล DPPH ของไบโตรีนไฮเดรไลซ์จากโครงปลากะพง

ปริมาณเอนไซม์ (%)	เวลาในการย่อย (ชั่วโมง)	% DPPH radical scavenging (mean ± SD)	
		0	79.24 ± 0.54 ^a
0	1	78.94 ± 2.72 ^a	
0	2	82.60 ± 1.13 ^b	
0	3	83.82 ± 2.86 ^b	
1	0	83.82 ± 0.37 ^c	
1	1	92.33 ± 0.73 ^d	
1	2	93.86 ± 0.81 ^{de}	
1	3	94.80 ± 0.70 ^{ef}	
2	0	93.96 ± 0.82 ^{de}	
2	1	95.34 ± 0.14 ^{ef}	
2	2	96.23 ± 0.46 ^f	
2	3	95.23 ± 0.36 ^{ef}	
3	0	95.53 ± 0.51 ^{ef}	
3	1	96.19 ± 0.79 ^f	
3	2	96.80 ± 0.39 ^f	
3	3	96.60 ± 0.70 ^f	

a, b, c,... ตัวเลขที่มีอักษรกำกับต่างกันมีความแตกต่างกันอย่างมีนัยสำคัญ ($p \leq 0.05$)

*% DPPH radical scavenging ของ BHA มีค่าเท่ากับ 87.08 ± 0.30 เปอร์เซ็นต์

ตารางที่ ก.18 อิทธิพลของปริมาณเอนไซม์ (Flavourzyme® 1000 L) 0, 1, 2 และ 3 เปอร์เซ็นต์ต่อ
น้ำหนักตัวอย่าง และ เวลาในการย้อม 0, 1, 2 และ 3 ชั่วโมง ที่ส่งผลต่อค่า % metal chelating
activity ของโปรตีนไฮโดรไลเซทจากโครงปลาสเตชัน

ปริมาณเอนไซม์ (%)	เวลาในการย้อม (ชั่วโมง)	ตัวอย่าง		% Metal chelating activity
		0	1	
0	0	59.27	± 6.53 ^a	
0	1	67.24	± 4.09 ^b	
0	2	64.31	± 8.53 ^{ab}	
0	3	67.73	± 3.93 ^b	
1	0	84.48	± 3.87 ^c	
1	1	84.04	± 1.07 ^c	
1	2	85.87	± 4.19 ^{cd}	
1	3	89.24	± 2.85 ^{cd}	
2	0	88.71	± 2.35 ^{cd}	
2	1	87.61	± 3.42 ^{cd}	
2	2	90.23	± 2.39 ^{cd}	
2	3	91.41	± 2.45 ^{cd}	
3	0	90.72	± 2.60 ^{cd}	
3	1	92.16	± 1.37 ^d	
3	2	92.54	± 2.41 ^d	
3	3	92.74	± 2.23 ^d	

a, b, c,... ตัวเลขที่มีอักษรกำกับต่างกันมีความแตกต่างกันอย่างมีนัยสำคัญ ($p \leq 0.05$)

ตารางที่ ก.19 อิทธิพลของปริมาณเอนไซม์ (Flavourzyme® 1000 L) 0, 1, 2 และ 3 เปอร์เซ็นต์ ต่อเนื้อหนักตัวอย่าง และ เวลาในการย่อย 0, 1, 2 และ 3 ชั่วโมง ที่ส่งผลต่อค่า % TBA activity ratio ของโปรตีนไฮโดรไลซ์จากโครง_GLAG พง

ตัวอย่าง		% TBA activity ratio
ปริมาณเอนไซม์ (%)	เวลาในการย่อย (ชั่วโมง)	
0	0	77.55 ± 8.90 ^{ab}
0	1	75.35 ± 11.61 ^a
0	2	74.49 ± 16.82 ^a
0	3	76.91 ± 9.21 ^{ab}
1	0	79.59 ± 7.18 ^{ab}
1	1	81.55 ± 6.08 ^{ab}
1	2	84.75 ± 5.59 ^{ab}
1	3	85.59 ± 6.92 ^{ab}
2	0	89.95 ± 3.95 ^b
2	1	86.79 ± 2.59 ^{ab}
2	2	84.35 ± 5.449 ^{ab}
2	3	88.92 ± 0.60 ^{ab}
3	0	90.92 ± 4.47 ^b
3	1	90.29 ± 1.46 ^b
3	2	90.12 ± 4.04 ^b
3	3	88.21 ± 2.90 ^{ab}

a, b, c,... ตัวเลขที่มีอักษรกำกับต่างกันมีความแตกต่างกันอย่างมีนัยสำคัญ ($p \leq 0.05$)

*% TBA activity ratio ของ α - tocopherol 0.1 มิลลิไมลาร์ มีค่าเท่ากับ 80.73 ± 3.35

เปอร์เซ็นต์

*% TBA activity ratio ของ สารละลาย BHA เช้มขัน 10 ppm มีค่าเท่ากับ 80.49 ± 2.98

เปอร์เซ็นต์

ตารางที่ ก.20 อิทธิพลของปริมาณเอนไซม์ (Flavourzyme® 1000 L) 0, 1, 2 และ 3 เปอร์เซ็นต์ ต่อน้ำหนักตัวอย่าง และ เวลาในการย่อย 0, 1, 2 และ 3 ชั่วโมง ที่ส่งผลต่อค่า % ACE inhibition ของโปรตีนไอกไซด์ไลซេทจากโครงสร้างพัง

ตัวอย่าง		% ACE inhibition
ปริมาณเอนไซม์ (%)	เวลาในการย่อย (ชั่วโมง)	
0	0	10.82 ± 5.48 ^a
0	1	40.84 ± 12.34 ^b
0	2	42.45 ± 19.75 ^b
0	3	58.09 ± 8.90 ^c
1	0	76.17 ± 7.12 ^{de}
1	1	83.89 ± 2.58 ^{def}
1	2	82.62 ± 5.73 ^{def}
1	3	77.66 ± 7.91 ^{def}
2	0	71.20 ± 12.44 ^{cd}
2	1	84.11 ± 2.74 ^{def}
2	2	83.92 ± 1.62 ^{def}
2	3	86.69 ± 2.35 ^{ef}
3	0	85.25 ± 4.65 ^{def}
3	1	89.52 ± 3.47 ^{ef}
3	2	92.59 ± 2.32 ^f
3	3	90.86 ± 0.66 ^{ef}

a, b, c,... ตัวเลขที่มีอักษรกำกับต่างกันมีความแตกต่างกันอย่างมีนัยสำคัญ ($p \leq 0.05$)

% ACE inhibition ของ Captopril® ความเข้มข้น 0.1 มิลลิโมลาร์ มีค่าเท่ากับ

79.12 ± 4.33 เปอร์เซ็นต์

ตารางที่ ก.21 การเปลี่ยนแปลงของ % DPPH radical scavenging ของผงโปรตีนไอก์โนโลเจต์
จากโครงปลาสติก พท.ที่ผ่านการย้อมสลายด้วยเอนไซม์ปริมาณ 3 เปอร์เซ็นต์ต่อน้ำหนักตัวอย่าง เป็น
เวลา 2 ชั่วโมงเมื่อผ่านการเก็บรักษาเป็นเวลา 90 วัน

ระยะเวลาในการเก็บรักษา(วัน)	% DPPH radical scavenging
0	54.07 ± 2.05 ^d
15	39.27 ± 0.83 ^c
30	40.01 ± 0.42 ^c
45	28.68 ± 0.91 ^{ab}
60	39.65 ± 3.87 ^c
75	33.17 ± 0.43 ^b
90	26.74 ± 2.62 ^a

a, b, c,... ตัวเลขที่มีอักษรกำกับต่างกันมีความแตกต่างกันอย่างมีนัยสำคัญ ($p \leq 0.05$)

ตารางที่ ก.22 การเปลี่ยนแปลงของ % DPPH radical scavenging ของผงส่วนใหญ่ของโครงปลา
สติกบดเจือจาก เมื่อผ่านการเก็บรักษาเป็นเวลา 90 วัน

ระยะเวลาในการเก็บรักษา(วัน)	% DPPH radical scavenging
0	ไม่สามารถวิเคราะห์ได้
15	ไม่สามารถวิเคราะห์ได้
30	ไม่สามารถวิเคราะห์ได้
45	ไม่สามารถวิเคราะห์ได้
60	ไม่สามารถวิเคราะห์ได้
75	ไม่สามารถวิเคราะห์ได้
90	ไม่สามารถวิเคราะห์ได้

ตารางที่ ก.23 การเปลี่ยนแปลงของ % metal chelating activity ของผงโปรตีนไฮโดรไลเซฟจากโครงปลาภะพงที่ผ่านการย่อยสลายด้วยเอนไซม์บิริมาณ 3 เปอร์เซ็นต์ต่อน้ำหนักตัวอย่าง เป็นเวลา 2 ชั่วโมง เมื่อผ่านการเก็บรักษาเป็นเวลา 90 วัน

ระยะเวลาในการเก็บรักษา(วัน)	% metal chelating activity
0	31.23 ± 7.64 ^c
15	11.98 ± 2.94 ^b
30	10.86 ± 1.81 ^b
45	2.78 ± 2.55 ^a
60	ไม่สามารถวิเคราะห์ได้
75	ไม่สามารถวิเคราะห์ได้
90	ไม่สามารถวิเคราะห์ได้

a, b, c,... ตัวเลขที่มีอักษรกำกับต่างกันมีความแตกต่างกันอย่างมีนัยสำคัญ ($p \leq 0.05$)

ตารางที่ ก.24 การเปลี่ยนแปลงของ % metal chelating activity ของผงส่วนใหญ่ของโครงปลาภะพงบดเจือจาก เมื่อผ่านการเก็บรักษาเป็นเวลา 90 วัน

ระยะเวลาในการเก็บรักษา(วัน)	% metal chelating activity
0	23.69 ± 8.92 ^b
15	6.07 ± 0.45 ^a
30	3.89 ± 0.09 ^a
45	5.88 ± 1.39 ^a
60	4.11 ± 4.52 ^a
75	1.33 ± 0.94 ^a
90	ไม่สามารถวิเคราะห์ได้

a, b, c,... ตัวเลขที่มีอักษรกำกับต่างกันมีความแตกต่างกันอย่างมีนัยสำคัญ ($p \leq 0.05$)

ตารางที่ ก.25 การเปลี่ยนแปลงของ % TBA activity ratio ของผงโปรดีนไชโคโรไลเซทจากโครง
ปลากระพงที่ผ่านการย้อมสลายด้วยเอนไซม์ปริมาณ 3 เปอร์เซ็นต์ต่อน้ำหนักตัวอย่าง เป็นเวลา 2
ชั่วโมง เมื่อผ่านการเก็บรักษาเป็นเวลา 90 วัน

ระยะเวลาในการเก็บรักษา(วัน)	% TBA activity ratio
0	32.44 ± 1.62 ^{ab}
15	56.25 ± 1.40 ^c
30	41.92 ± 3.81 ^b
45	37.60 ± 9.96 ^b
60	32.89 ± 7.44 ^b
75	32.09 ± 1.75 ^{ab}
90	20.15 ± 5.27 ^a

a, b, c,... ตัวเลขที่มีอักษรกำกับต่างกันมีความแตกต่างกันอย่างมีนัยสำคัญ ($p \leq 0.05$)

ตารางที่ ก.26 การเปลี่ยนแปลงของ % TBA activity ratio ของผงส่วนใหญ่ของโครงปลากระพงบด
เจือจาง เมื่อผ่านการเก็บรักษาเป็นเวลา 90 วัน

ระยะเวลาในการเก็บรักษา(วัน)	% TBA activity ratio
0	44.38 ± 3.08 ^{bc}
15	63.48 ± 3.26 ^d
30	50.00 ± 0.00 ^c
45	44.64 ± 2.52 ^{bc}
60	39.47 ± 7.44 ^{abc}
75	35.18 ± 4.36 ^{ab}
90	30.59 ± 9.50 ^a

a, b, c,... ตัวเลขที่มีอักษรกำกับต่างกันมีความแตกต่างกันอย่างมีนัยสำคัญ ($p \leq 0.05$)

**ตารางที่ ก.27 การเปลี่ยนแปลงของ % ACE inhibition ของผงโปรตีนไอก์โนไดโรไลเซทจากโครงปลา
กะพงที่ผ่านการย่อยสลายด้วยเอนไซม์บริมาณ 2 เปอร์เซ็นต์ต่อน้ำหนักตัวอย่าง เป็นเวลา 1 ชั่วโมง
เมื่อผ่านการเก็บรักษาเป็นเวลา 90 วัน**

ระยะเวลาในการเก็บรักษา(วัน)	% ACE inhibition
0	76.51 ± 0.64 ^d
15	47.04 ± 2.68 ^c
30	48.03 ± 5.57 ^c
45	47.87 ± 6.82 ^c
60	36.17 ± 3.26 ^b
75	19.81 ± 3.08 ^a
90	20.93 ± 6.21 ^a

a, b, c,... ตัวเลขที่มีอักษรกำกับต่างกันมีความแตกต่างกันอย่างมีนัยสำคัญ ($p \leq 0.05$)

**ตารางที่ ก.28 การเปลี่ยนแปลงของ % ACE inhibition ของผงส่วนใสของโครงปลากระเพรา
เจือจาง เมื่อผ่านการเก็บรักษาเป็นเวลา 90 วัน**

ระยะเวลาในการเก็บรักษา(วัน)	% ACE inhibition
0	65.00 ± 3.21 ^d
15	49.01 ± 2.26 ^c
30	49.16 ± 6.75 ^c
45	46.43 ± 1.50 ^{bc}
60	37.14 ± 3.78 ^{ab}
75	28.42 ± 4.70 ^a
90	30.62 ± 5.30 ^a

a, b, c,... ตัวเลขที่มีอักษรกำกับต่างกันมีความแตกต่างกันอย่างมีนัยสำคัญ ($p \leq 0.05$)

ภาคผนวก ข.
ตารางผลการวิเคราะห์ทางสถิติ

ตารางภาคผนวกที่ ข.1 การวิเคราะห์ความแปรปรวนของปริมาณโปรตีนที่เป็นองค์ประกอบในโปรตีนไอก็อดร่าลีเซฟจากโครงปลาโนล เมื่อย่อyle โดยใช้ปริมาณเอนไซม์ และ ระยะเวลาในการย่อyle ที่ระดับต่างๆ

SOV	df	SS	MS	F	Sig.
ปริมาณเอนไซม์ (A)	3	5.398	1.799	25.846	0.000
เวลาในการย่อyle (B)	3	0.876	0.292	4.195	0.013
AB	9	0.201	0.022	0.322	0.962
ERROR	32	0.258	0.070		

ตารางภาคผนวกที่ ข.2 การวิเคราะห์ความแปรปรวนของระดับการย่อyleโดยสลายโปรตีน ในโปรตีนไอก็อดร่าลีเซฟจากโครงปลาโนล

SOV	df	SS	MS	F	Sig.
ปริมาณเอนไซม์ (A)	3	12110.561	4036.854	63.803	0.000
เวลาในการย่อyle (B)	3	1962.402	654.134	10.339	0.000
AB	9	1760.936	195.660	3.092	0.009
ERROR	32	1961.400	63.271		

ตารางภาคผนวกที่ ข.3 การวิเคราะห์ความแปรปรวนของสมบัติในการเป็นสารต้านอนุมูลอิสระของโปรตีนไฮโดรไอลเซทจากโครงปลานิล เมื่อใช้วิธี DPPH

SOV	df	SS	MS	F	Sig.
ปริมาณเอนไซม์ (A)	3	14483.757	4827.919	248.569	0.00
เวลาในการย่อย (B)	3	1301.880	433.960	22.343	0.00
AB	9	2013.485	223.721	11.518	0.00
ERROR	32	621.531	19.423		

ตารางภาคผนวกที่ ข.4 การวิเคราะห์ความแปรปรวนของสมบัติในการเป็นสารต้านอนุมูลอิสระของโปรตีนไฮโดรไอลเซทจากโครงปลานิล เมื่อใช้วิธี metal chelating activity

SOV	df	SS	MS	F	Sig.
ปริมาณเอนไซม์ (A)	3	13362.335	4454.112	138.371	0.00
เวลาในการย่อย (B)	3	706.131	235.377	7.312	0.01
AB	9	458.878	50.986	1.584	0.162
ERROR	32	1030.072	32.190		

ตารางภาคผนวกที่ ข.5 การวิเคราะห์ความแปรปรวนของสมบัติในการเป็นสารต้านอนุมูลอิสระของโปรตีนไฮโดรไอลเซทจากโครงปลานิล เมื่อใช้วิธี TBA

SOV	df	SS	MS	F	Sig.
ปริมาณเอนไซม์ (A)	3	14260.985	4753.662	56.567	0.000
เวลาในการย่อย (B)	3	1125.018	375.006	4.462	0.010
AB	9	1267.877	140.875	1.676	0.136
ERROR	32	2689.138	84.036		

ตารางภาคผนวกที่ ข.6 การวิเคราะห์ความแปรปรวนของสมบัติในการเป็นสารยับยั้งการทำงานของ ACE ของโปรตีนไฮโดร ila เซทจากโครงปลานิล

SOV	df	SS	MS	F	Sig.
ปริมาณเอนไซม์ (A)	3	8075.018	2691.673	46.477	0.000
เวลาในการย่อย (B)	3	831.360	277.120	4.785	0.014
AB	9	485.298	53.922	0.931	0.525
ERROR	32	926.627	57.914		

ตารางภาคผนวกที่ ข.7 การวิเคราะห์ความแปรปรวนของความสามารถในการจัดอนุมูล DPPH ของผงโปรตีนไฮโดร ila เซทจากโครงปลานิลที่ผ่านการย่อยสลายด้วยเอนไซม์ปริมาณ 2 เปอร์เซ็นต์ ต่อน้ำหนักตัวอย่าง เป็นเวลา 1 ชั่วโมง ที่ผ่านการเก็บรักษาเป็นเวลา 90 วัน

SOV	df	SS	MS	F	Sig.
เวลาในการเก็บ	6	1166.808	194.468	3.385	0.068
ERROR	7	402.185	57.455		
TOTAL	13	1568.993			

ตารางภาคผนวกที่ ข.8 การวิเคราะห์ความแปรปรวนของ % metal chelating activity ของผง โปรตีนไฮโดร ila เซทจากโครงปลานิลที่ผ่านการย่อยสลายด้วยเอนไซม์ปริมาณ 2 เปอร์เซ็นต์ ต่อน้ำหนักตัวอย่าง เป็นเวลา 1 ชั่วโมง ที่ผ่านการเก็บรักษาเป็นเวลา 90 วัน

SOV	df	SS	MS	F	Sig.
เวลาในการเก็บ	6	517.459	86.243	5.307	0.023
ERROR	7	113.747	16.250		
TOTAL	13	631.207			

ตารางภาคผนวกที่ ข.9 การวิเคราะห์ความแปรปรวนของ% TBA activity ratio ของผงโปรตีนไอก็อดร่าลีเชฟจากโครงปลาโนลที่ผ่านการย่อยสลายด้วยเอนไซม์บิโรมาน 2 เปอร์เซ็นต์ต่อน้ำหนักตัวอย่าง เป็นเวลา 1 ชั่วโมง ที่ผ่านการเก็บรักษาเป็นเวลา 90 วัน

SOV	df	SS	MS	F	Sig.
เวลาในการเก็บ	6	2918.995	486.499	16.140	0.001
ERROR	7	210.997	30.142		
TOTAL	13	3129.992			

ตารางภาคผนวกที่ ข.10 การวิเคราะห์ความแปรปรวนของ% TBA activity ratio ของผงส่วนได้ของโครงปลาโนลบดเจือจาง ที่ผ่านการเก็บรักษาเป็นเวลา 90 วัน

SOV	df	SS	MS	F	Sig.
เวลาในการเก็บ	6	471.317	78.553	5.806	0.018
ERROR	7	94.701	13.529		
TOTAL	13	566.018			

ตารางภาคผนวกที่ ข.11 การวิเคราะห์ความแปรปรวนของ% ACE inhibition ของผงโปรตีนไอก็อดร่าลีเชฟจากโครงปลาโนลที่ผ่านการย่อยสลายด้วยเอนไซม์บิโรมาน 2 เปอร์เซ็นต์ต่อน้ำหนักตัวอย่าง เป็นเวลา 1 ชั่วโมง ที่ผ่านการเก็บรักษาเป็นเวลา 90 วัน

SOV	df	SS	MS	F	Sig.
เวลาในการเก็บ	6	1565.127	260.854	13.853	0.001
ERROR	7	131.815	18.831		
TOTAL	13	1696.942			

ตารางภาคผนวกที่ ข.12 การวิเคราะห์ความแปรปรวนของ% ACE inhibition ของผงส่วนใหญ่ของโครงปลาโนลิดเจือจาก ที่ผ่านการเก็บรักษาเป็นเวลา 90 วัน

SOV	df	SS	MS	F	Sig.
เวลาในการเก็บ	6	842.462	140.410	14.185	0.001
ERROR	7	69.290	9.899		
TOTAL	13	911.752			

ตารางภาคผนวกที่ ข.13 การวิเคราะห์ความแปรปรวนของปริมาณโปรตีนที่เป็นองค์ประกอบในโปรตีนไอก็อดร่าไลเซฟจากโครงปลากระพง เมื่อย่อyle สายโดยใช้ปริมาณเอนไซม์ และ ระยะเวลาใน การย่อyle ที่ระดับต่างๆ

SOV	df	SS	MS	F	Sig.
ปริมาณเอนไซม์ (A)	3	12.363	4.121	19.246	0.000
เวลาในการย่อyle (B)	3	0.973	0.324	1.515	0.229
AB	9	0.298	0.033	0.155	0.997
ERROR	32	6.852	0.214		

ตารางภาคผนวกที่ ข.14 การวิเคราะห์ความแปรปรวนของระดับการย่อyle สายโปรตีน ในโปรตีนไอก็อดร่าไลเซฟจากโครงปลากระพง

SOV	df	SS	MS	F	Sig.
ปริมาณเอนไซม์ (A)	3	8499.035	2833.012	116.881	0.000
เวลาในการย่อyle (B)	3	5087.832	1695.944	69.969	0.000
AB	9	1945.314	216.146	8.918	0.000
ERROR	32	775.627	24.238		

ตารางภาคผนวกที่ ข.15 การวิเคราะห์ความแปรปรวนของสมบัติในการเป็นสารต้านอนุมูลอิสระของโปรตีนไฮโดรไอลเซทจากโครงปลาสเตชัน เมื่อใช้วิธี DPPH

SOV	df	SS	MS	F	Sig.
ปริมาณเอนไซม์ (A)	3	1739.729	579.910	431.662	0.000
เวลาในการย้อม (B)	3	71.756	23.919	17.804	0.000
AB	9	34.615	3.846	2.863	0.14
ERROR	32	42.990	1.343		

ตารางภาคผนวกที่ ข.16 การวิเคราะห์ความแปรปรวนของสมบัติในการเป็นสารต้านอนุมูลอิสระของโปรตีนไฮโดรไอลเซทจากโครงปลาสเตชัน เมื่อใช้วิธี metal chelating activity

SOV	df	SS	MS	F	Sig.
ปริมาณเอนไซม์ (A)	3	5634.412	1878.137	125.803	0.000
เวลาในการย้อม (B)	3	122.822	40.941	2.742	0.059
AB	9	95.712	10.635	0.712	0.694
ERROR	32	477.736	14.929		

ตารางภาคผนวกที่ ข.17 การวิเคราะห์ความแปรปรวนของสมบัติในการเป็นสารต้านอนุมูลอิสระของโปรตีนไฮโดรไอลเซทจากโครงปลาสเตชัน เมื่อใช้วิธี TBA

SOV	df	SS	MS	F	Sig.
ปริมาณเอนไซม์ (A)	3	1307.353	435.784	8.210	0.000
เวลาในการย้อม (B)	3	17.775	5.925	0.112	0.953
AB	9	133.522	14.836	0.280	0.976
ERROR	32	1698.528	53.079		

ตารางภาคผนวกที่ ข.18 การวิเคราะห์ความแปรปรวนของสมบัติในการเป็นสารยับยั้งการทำงานของ ACE ของโปรตีนไอก็อโรไลเซทจากโครงปลาสเตชัน

SOV	df	SS	MS	F	Sig.
ปริมาณเอนไซม์ (A)	3	19546.137	6515.379	104.388	0.000
เวลาในการย้อม (B)	3	2245.307	748.436	11.991	0.000
AB	9	1972.621	219.180	3.512	0.004
ERROR	32	1997.282	62.415		

ตารางภาคผนวกที่ ข.19 การวิเคราะห์ความแปรปรวนของความสามารถในการจัดอนุมูล DPPH ของโปรตีนไอก็อโรไลเซทจากโครงปลาสเตชันที่ผ่านการย้อมสลายด้วยเอนไซม์ปริมาณ 3 เปอร์เซ็นต์ต่อน้ำหนักตัวอย่าง เป็นเวลา 2 ชั่วโมง ที่ผ่านการเก็บรักษาเป็นเวลา 90 วัน

SOV	df	SS	MS	F	Sig.
เวลาในการเก็บ	6	1001.393	166.899	41.739	0.000
ERROR	7	27.991	3.999		
TOTAL	13	1029.383			

ตารางภาคผนวกที่ ข.20 การวิเคราะห์ความแปรปรวนของ % metal chelating activity ของของโปรตีนไอก็อโรไลเซทจากโครงปลาสเตชันที่ผ่านการย้อมสลายด้วยเอนไซม์ปริมาณ 3 เปอร์เซ็นต์ต่อน้ำหนักตัวอย่าง เป็นเวลา 2 ชั่วโมง ที่ผ่านการเก็บรักษาเป็นเวลา 90 วัน

SOV	df	SS	MS	F	Sig.
เวลาในการเก็บ	6	1566.058	261.010	23.778	0.000
ERROR	7	76.838	10.977		
TOTAL	13	1642.896			

ตารางภาคผนวกที่ ข.21 การวิเคราะห์ความแปรปรวนของ % metal chelating activity ของผงส่วนใสของโครงปลากระพงบดเจือจาง ที่ผ่านการเก็บรักษาเป็นเวลา 90 วัน

SOV	df	SS	MS	F	Sig.
เวลาในการเก็บ	6	769.317	128.219	8.703	0.006
ERROR	7	103.131	14.733		
TOTAL	13	872.448			

ตารางภาคผนวกที่ ข.22 การวิเคราะห์ความแปรปรวนของ % TBA activity ratio ของผงโปรตีนไอกโรไลเซทจากโครงปลากระพงที่ผ่านการย้อมสลายด้วยเอนไซม์บริมาณ 3 เปอร์เซ็นต์ต่อน้ำหนักตัวอย่าง เป็นเวลา 2 ชั่วโมง ที่ผ่านการเก็บรักษาเป็นเวลา 90 วัน

SOV	df	SS	MS	F	Sig.
เวลาในการเก็บ	6	1742.495	245.416	9.527	0.004
ERROR	7	180.313	25.759		
TOTAL	13	1652.808			

ตารางภาคผนวกที่ ข.23 การวิเคราะห์ความแปรปรวนของ % TBA activity ratio ของผงส่วนใสของโครงปลากระพงบดเจือจาง ที่ผ่านการเก็บรักษาเป็นเวลา 90 วัน

SOV	df	SS	MS	F	Sig.
เวลาในการเก็บ	6	1388.192	231.365	8.474	0.006
ERROR	7	191.117	27.302		
TOTAL	13	1579.309			

ตารางภาคผนวกที่ ข.24 การวิเคราะห์ความแปรปรวนของ % ACE inhibition ของผงโปรตีนไชโตรีไลเซทจากโครงปลากะพงที่ผ่านการย่อยสลายด้วยเอนไซม์บرومาน 3 เปอร์เซ็นต์ต่อหนึ่งวันก ตัวอย่าง เป็นเวลา 2 ชั่วโมง ที่ผ่านการเก็บรักษาเป็นเวลา 90 วัน

SOV	df	SS	MS	F	Sig.
เวลาในการเก็บ	6	4514.152	752.359	36.604	0.000
ERROR	7	143.880	20.554		
TOTAL	13	4658.032			

ตารางภาคผนวกที่ ข.25 การวิเคราะห์ความแปรปรวนของ % ACE inhibition ของผงส่วนใหญ่ของโครงปลากะพงบดเจือจาง ที่ผ่านการเก็บรักษาเป็นเวลา 90 วัน

SOV	df	SS	MS	F	Sig.
เวลาในการเก็บ	6	1933.579	322.263	17.662	0.001
ERROR	7	127.723	18.246		
TOTAL	13	2061.303			

ภาคผนวก ค
วิธีวิเคราะห์ทางเคมี

ค.1 การวิเคราะห์ความชื้น (AOAC, 2000)

1. เครื่องมือ และอุปกรณ์

- ตู้อบ
- เดซิเคเตอร์
- ถ้วยอลูมิเนียม

2. วิธีการวิเคราะห์

อบถ้วยอลูมิเนียม พร้อมฝาในตู้อบ ที่อุณหภูมิ 105 °C เป็นเวลา 2 ชั่วโมง ทิ้งให้เย็นในเดซิเคเตอร์ ประมาณ 30 นาที ซึ่งน้ำหนักที่คงที่ของถ้วยอลูมิเนียมพร้อมฝาจากนั้นซึ่งน้ำหนักที่แน่นอนของตัวอย่างที่จะวิเคราะห์ให้ได้ 5 กรัม ใส่ในถ้วยอลูมิเนียมพร้อมฝา นำเข้าไปอบในตู้อบที่อุณหภูมิ 105 °C โดยไม่ต้องปิดฝาถ้วยอลูมิเนียม เป็นเวลา 3 ชั่วโมง เมื่อครบเวลาที่กำหนด จึงปิดฝาถ้วยอลูมิเนียม และทิ้งไว้ให้เย็นในเดซิเคเตอร์ เป็นเวลา 30 นาที และซึ่งน้ำหนักที่คงที่ของตัวอย่างภายหลังการอบแห้ง

3. วิธีการคำนวณ

$$\text{ร้อยละของปริมาณความชื้น} = \frac{(W1 + S) - W2}{S} \times 100$$

เมื่อ W1 คือ น้ำหนักของถ้วยอลูมิเนียม พร้อมฝาหลังอบ หน่วยเป็นกรัม

 W2 คือ น้ำหนักของตัวอย่างก่อนอบ หน่วยเป็นกรัม

 S คือ น้ำหนักของถ้วยอลูมิเนียม พร้อมฝาและตัวอย่างหลังอบ หน่วยเป็นกรัม

ค.2 การวิเคราะห์โปรตีน (AOAC, 2000)

1. เครื่องมือ และอุปกรณ์

- เครื่องชั่ง ความละเอียด 0.1 มิลลิกรัม
- เครื่องย่อยโปรตีน
- หลอดย่อยโปรตีน

- เครื่องดูดควันกรด
- เครื่องกลั่น
- Flask ขนาด 250 มิลลิลิตร
- Burette ขนาด 50 มิลลิลิตร

2. สารเคมี

- สารเร่งปฏิกิริยา (สารผสมของซีลีเนียม หรือ คอปเปอร์)
 - สารละลายกรดชัลฟูริกเข้มข้น
 - สารละลายโซเดียมไฮดรอกไซด์ ความเข้มข้น 40 เปอร์เซ็นต์
 - บอริกอินดิเคเตอร์ ความเข้มข้น 4 เปอร์เซ็นต์
- ละลายกรดบอริก 40 กรัม ในน้ำกลั่นต้มเดือด 800 มิลลิลิตร ทิ้งไว้ให้เย็น แล้วเติม บอริมิคริซอลกาวิน 50 มิลลิลิตร (ละลาย บอริมิคริซอลกาวิน 0.05 กรัม ใน เอทานอล 50 มิลลิลิตร) และ เมทิลเรด 35 มิลลิลิตร (ละลาย เมทิลเรด 0.05 กรัม ใน เอทานอล 50 มิลลิลิตร) ปรับปริมาณสารละลายทั้งหมดเป็น 1000 มิลลิลิตร กวนให้เข้ากันเป็นเวลา 10 นาที

- สารละลายกรดไฮโดรคลอโริก 0.1 นอร์มอล

3. วิธีการวิเคราะห์

ขั้นตอนย่างให้ได้น้ำหนักที่แน่นอน 1 กรัม ใส่ลงในหลอดกลั่น เติมสารเเร่งปฏิกิริยา 7 กรัม และ สารละลายกรดชัลฟูริกเข้มข้น 15 มิลลิลิตร จากนั้นต่อหลอดกลั่นเข้ากับชุด เครื่องย่อยโปรตีน ทำการย่อยที่ความร้อนระดับ 8 เป็นเวลา 30 นาที จนได้สารละลาย สีน้ำตาลใส ทิ้งไว้ให้เย็นและไม่มีกรดหลงเหลืออยู่ จากนั้นต่อหลอดย่อยเข้ากับชุดเครื่อง กลั่นโดยเติมบอริกอินดิเคเตอร์ 25 มิลลิลิตร ลงใน flask ขนาด 250 มิลลิลิตร เพื่อรับ สิ่งที่กลั่นได้ ตั้งค่าชุดเครื่องกลั่น โดยใช้ปริมาณสารละลายโซเดียมไฮดรอกไซด์ 40 เปอร์เซ็นต์ 75 มิลลิลิตร เป็นเวลา 3 นาที นำสิ่งที่กลั่นได้ มาไห่雷 tract กับ สารละลายกรด ไฮโดรคลอโริก ความเข้มข้น 0.1 นอร์มอล จนกว่าทั้งสารละลายเปลี่ยนจากสีเขียวเป็นสีเทา ที่จุดดูด

4. วิธีการคำนวณ

$$\text{ร้อยละของปริมาณโปรตีน} = \frac{\text{C} \times \text{ปริมาตรกรดไฮดรอลอวิก (มิลลิลิตร)}}{\text{น้ำหนักตัวอย่าง (กรัม)}}$$

เมื่อ C คือ ความเข้มข้นของกรดไฮดรอลอวิก (นอร์มอล) $\times 1.4 \times 6.25$

ค.3 การวิเคราะห์ไขมัน โดยการสกัดด้วยปิโตรเลียมอีเทอร์ (AOAC, 2000)

1. เครื่องมือ และอุปกรณ์

- Soxhlet system
- thimble
- ขวดกันกลม
- ตู้อบ 105 °C

2. สารเคมี

- ตัวทำละลายปิโตรเลียมอีเทอร์

3. วิธีการวิเคราะห์

ชั้งน้ำหนักที่แน่นอนของตัวอย่างอบแห้ง 5 กรัม ใส่ thimble (โดยตัวอย่างนี้เป็นตัวอย่างที่ผ่านการอบแห้งที่อุณหภูมิ 105 °C เป็นเวลา 3 ชั่วโมง) แล้วนำ thimble นี้ใส่ใน extraction unit จากนั้นชั้งน้ำหนักที่แน่นอนของขวดกันกลม และเติมตัวทำละลายปิโตรเลียมอีเทอร์ ลงในขวดกันกลม ปริมาตร 250 มิลลิลิตร ต่อขวดกันกลมเข้ากับ extraction unit และให้ความร้อนที่อุณหภูมิระดับ 3 ของเตาให้ความร้อน ทำการสกัดเป็นเวลา 3 ชั่วโมง จึงจะหยดตัวทำละลายออกด้วยเครื่องระบายน้ำ นำขวดกันกลมนี้ไปอบที่อุณหภูมิ 105 °C นาน 1 ชั่วโมง และทิ้งไว้ให้เย็นในเดซิเคเตอร์ และชั้งน้ำหนักที่แน่นอนของขวด

4. วิธีการคำนวณ

$$\text{ร้อยละของปริมาณไขมัน} = \frac{(W_3 - W_2)}{W_1} \times 100$$

เมื่อ W_1 คือ น้ำหนักตัวอย่าง หน่วยเป็นกรัม

W_2 คือ น้ำหนักขาดกันกลม หน่วยเป็นกรัม

W_3 คือ น้ำหนักขาดกันกลม และ ไขมันที่ได้จากการสกัด หน่วยเป็นกรัม

ค.4 การวิเคราะห์ถ้า (AOAC, 2000)

1. เครื่องมือ และอุปกรณ์

- ถ้วยครูซิเบิล
- เตาเผา อุณหภูมิ 550°C
- ตู้อบ 105°C
- คีมคีบครูซิเบิล
- เครื่องชั่งน้ำหนัก ความละเอียด 0.1 มิลลิกรัม
- เเดซิเคเตอร์

2. วิธีการวิเคราะห์

อบถ้วยครูซิเบิลที่อุณหภูมิ 105°C เป็นเวลา 2 ชั่วโมง ทิ้งไว้ให้เย็นในเดซิเคเตอร์ เป็นเวลา 30 นาที แล้วชั่งน้ำหนักที่คงที่ของครูซิเบิล จากนั้นชั่งน้ำหนักตัวอย่างที่แน่นอน 2 กรัม ใส่ลงในถ้วยครูซิเบิล และเผาตัวอย่างพร้อมถ้วยครูซิเบิลบนเตาให้ความร้อนจนกระทั่งหมดคawan และนำเข้าไปเผาต่อในเตาเผาที่อุณหภูมิ 550°C เป็นเวลา 3 ชั่วโมง (หากเผาใหม่ไม่สมบูรณ์อาจต้องเพิ่มเวลาให้มากขึ้น) ตั้งทิ้งไว้ในตู้อบอุณหภูมิ 105°C เป็นเวลา 1 ชั่วโมง จากนั้นทิ้งไว้ให้เย็นในเดซิเคเตอร์ และชั่งน้ำหนักที่คงที่อีกครั้งหนึ่ง

3. วิธีการคำนวณ

$$\frac{\text{ร้อยละของปริมาณเกล้า} = \frac{(W_1 - W_2) \times 100}{S}}$$

เมื่อ

W₁ คือ น้ำหนักถ้วยครูซิเบิล และ ตัวอย่าง (ก่อนเผา) หน่วยเป็นกรัม

W₂ คือ น้ำหนักถ้วยครูซิเบิล และ ตัวอย่าง (หลังเผา) หน่วยเป็นกรัม

S คือ น้ำหนักตัวอย่าง (ก่อนเผา) หน่วยเป็นกรัม

ค.5 การวิเคราะห์ชนิด และปริมาณกรดอะมิโนอิสระที่เป็นองค์ประกอบในโปรตีน ไฮโดรไลเซท

(In house method based on Journal of Chromatography A (2002). 961: 9-21)

ค.5.1 การวิเคราะห์ปริมาณกรดอะมิโน tryptophan

ชั้งตัวอย่างโปรตีนไฮโดรไลเซทหนัก 0.5 – 5 กรัม ย่อยด้วยสารละลาย Ba(OH)₂ ชิมตัวที่อุณหภูมิ 110°C เป็นเวลา 24 ชั่วโมง นำไปประเทยแห้ง และละลายกลับด้วยน้ำ จากนั้นนำสารละลายที่ได้ไปทำปฏิกิริยากับสารละลาย OPA และวิเคราะห์ปริมาณกรดอะมิโน tryptophan ด้วยเทคนิค HPLC ใช้ detector แบบ fluorescence Ex: 340 Em : 455

ค.5.2 การวิเคราะห์ปริมาณกรดอะมิโน proline

ชั้งตัวอย่างโปรตีนไฮโดรไลเซทหนัก 0.5 – 5 กรัม ย่อยด้วยสารละลายกรดไฮดรคลอริก ความเข้มข้น 6 มอลาร์ ที่อุณหภูมิ 110°C เป็นเวลา 24 ชั่วโมง นำไปประเทยแห้ง และละลายกลับด้วยน้ำ จากนั้นนำสารละลายที่ได้ไปทำปฏิกิริยากับสารละลาย fluorenylmethyloxycarbonyl chloride (FMOC-Cl) และวิเคราะห์ปริมาณกรดอะมิโน proline ด้วยเทคนิค HPLC ใช้ detector แบบ fluorescence Ex: 270 Em : 316

ค.5.3 การวิเคราะห์ปริมาณกรดอะมิโนที่เหลือ

ชั้งตัวอย่างโปรตีนไฮโดรไลเซทหนัก 0.5 – 5 กรัม ย่อยด้วยสารละลายกรดไฮดรคลอริก ความเข้มข้น 6 มอลาร์ ที่อุณหภูมิ 110°C เป็นเวลา 24 ชั่วโมง นำไปประเทยแห้ง และละลายกลับ

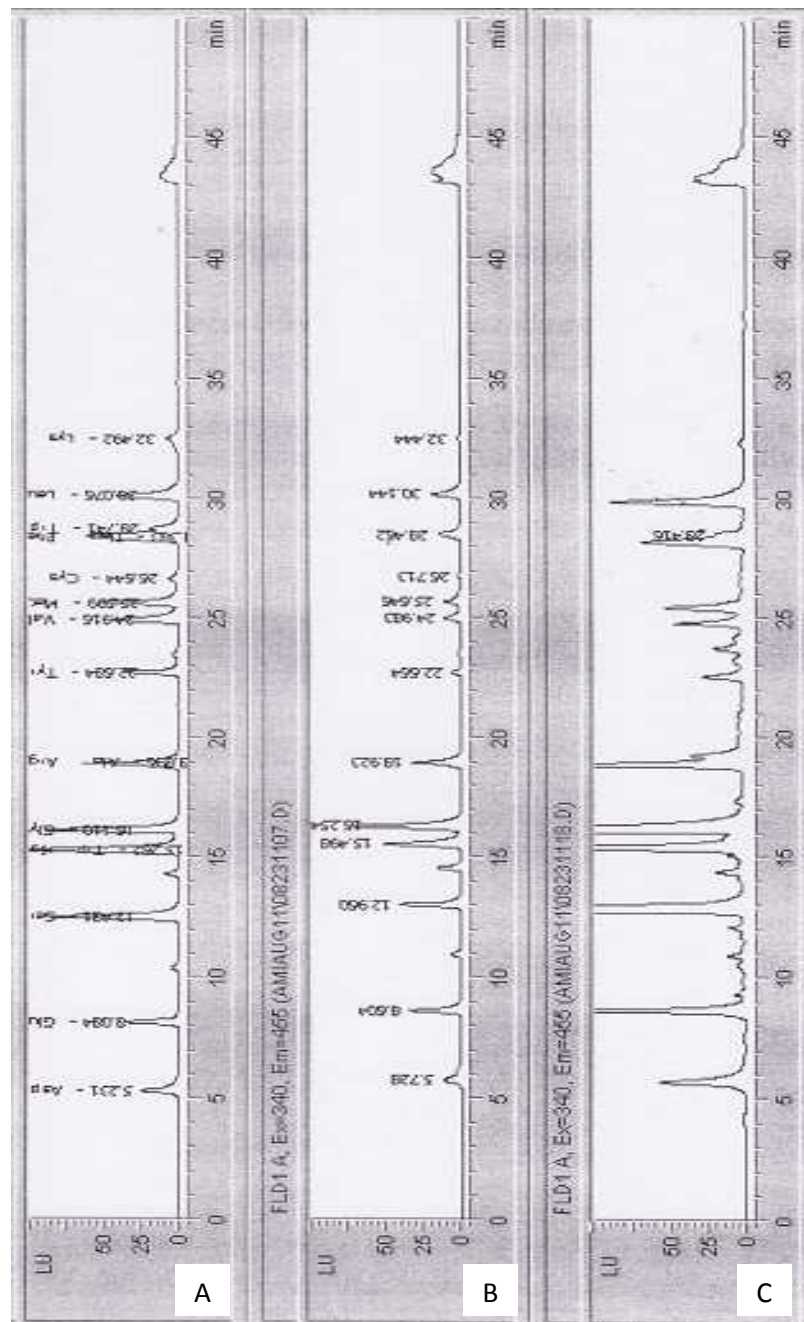
ด้วยน้ำกลัน จากนั้นนำสารละลายที่ได้ไปทำปฏิกิริยา กับสารละลาย OPA และวิเคราะห์ปริมาณกรดอะมิโน tryptophan ด้วยเทคนิค HPLC ใช้ detector แบบ fluorescence Ex: 340 Em : 455

ค.6 การวิเคราะห์ขนาดของเปปไทด์ที่เป็นองค์ประกอบในโปรตีนไฮโดรไลเซทด้วยเทคนิค MALDI-tof (Boontha และคณะ, 2008)

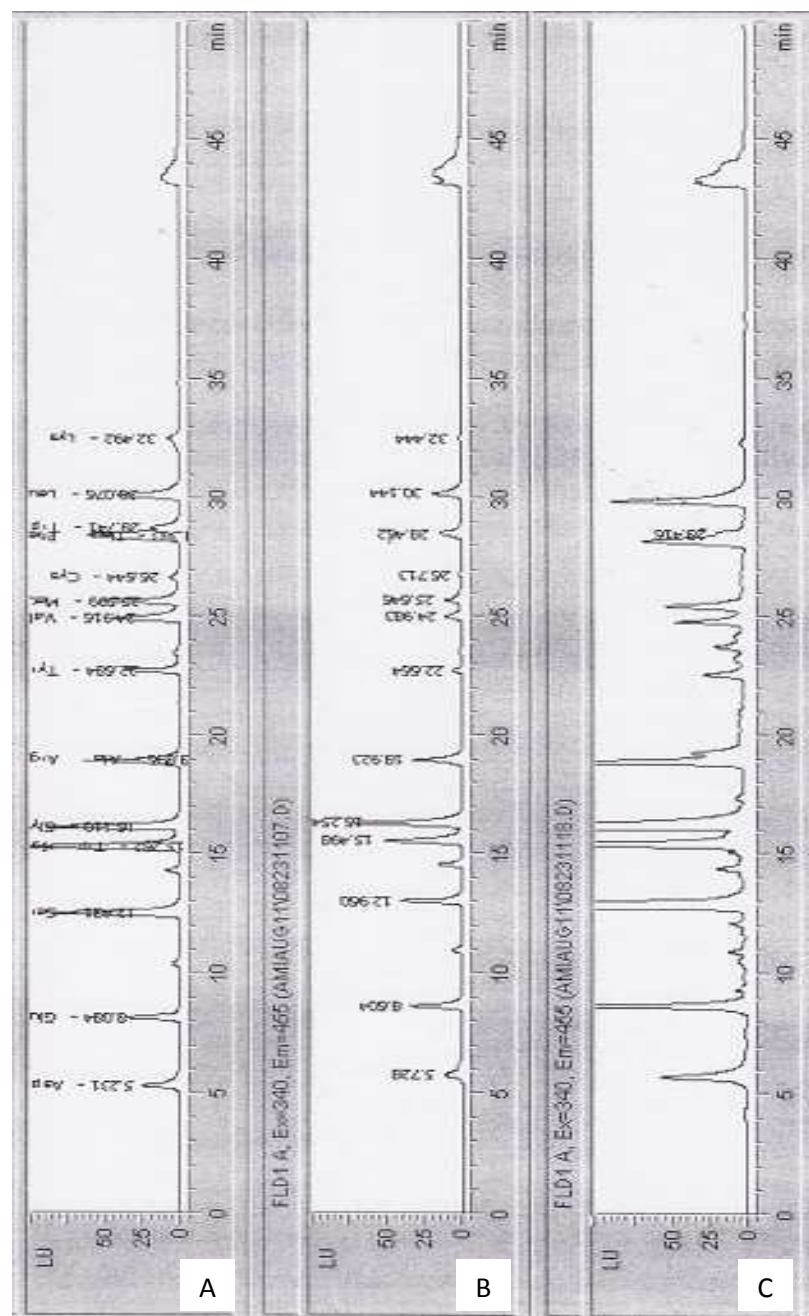
วิเคราะห์ขนาดของเปปไทด์ที่เป็นองค์ประกอบในโปรตีนไฮโดรไลเซท ด้วย Microflex MALDI-TOF mass spectrometer (Bruker Daltonics) โดยผสมตัวอย่าง 1 ไมโครลิตร เข้ากับสารละลาย matrix (ชีงสารละลาย matrix ประกอบด้วย α -cyano-4-hydroxycinnamic acid (CCA) ใน TFA เข้มข้น 0.1 เปอร์เซ็นต์ ในสารละลาย acetonitrile / น้ำ (ในอัตราส่วน 1:2)) 10 ไมโครลิตร จากนั้นหยดสารผสมของตัวอย่าง และ matrix ปริมาณ 1 ไมโครลิตร ลงบน target รอจนแห้งแล้ววิเคราะห์ขนาดของเปปไทด์โดยใช้ระบบตรวจวัดแบบ positive ion linear time – of – flight ที่ความต่างศักย์ 20 kV

ภาคผนวก ง.

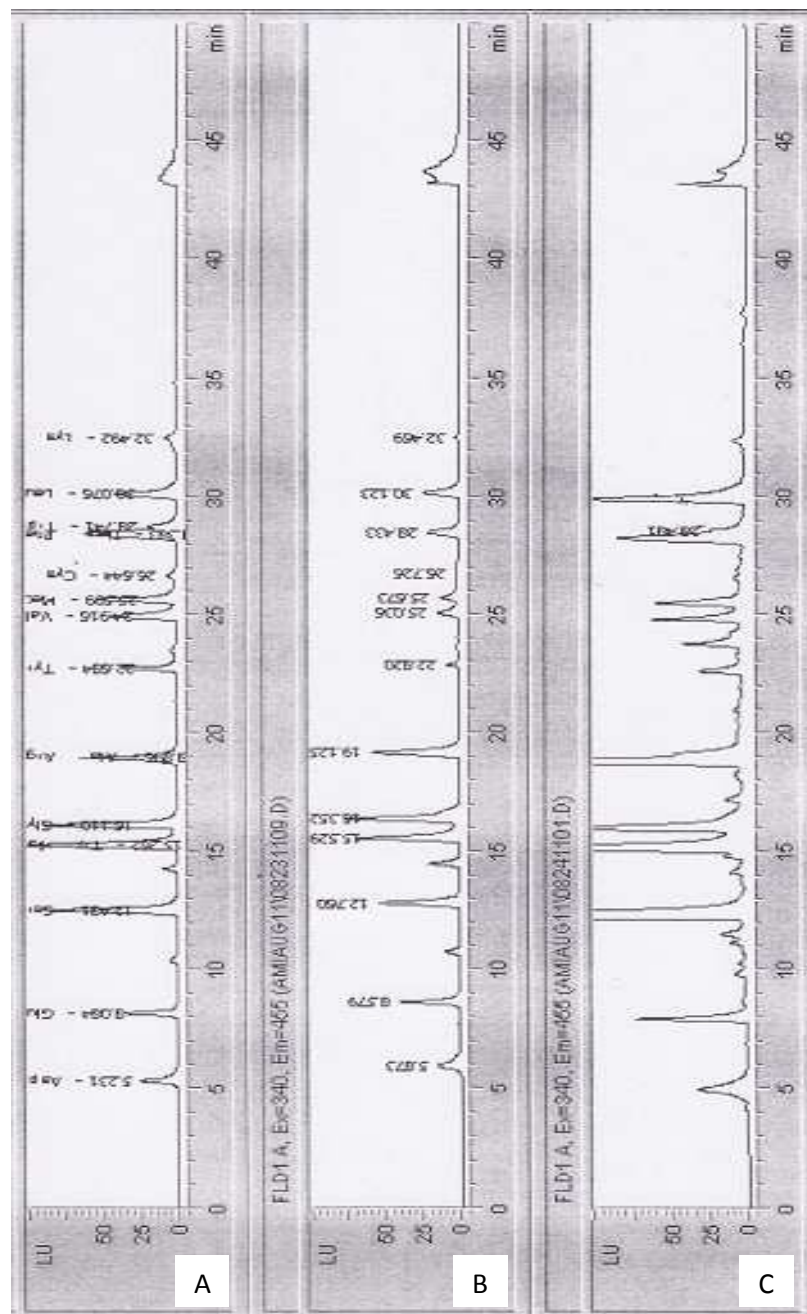
โครงมาโตแกรมแสดงผลการวิเคราะห์ชนิดและปริมาณกรดอะมิโนอิสระ



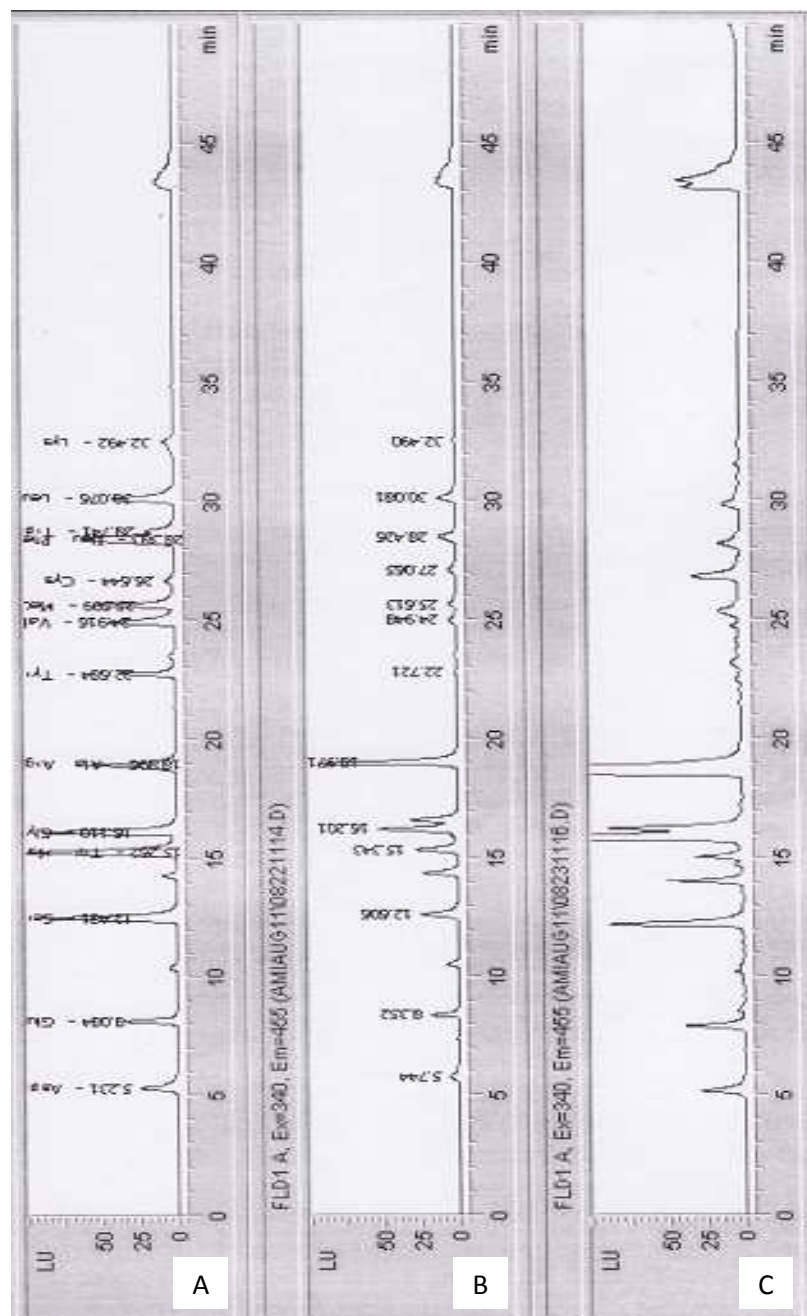
รูปภาคผนวกที่ ง.1 โครงมาโตแกรมแสดงชนิดและปริมาณกรดอะมิโนที่เป็นองค์ประกอบในโปรตีนไอก็อดราลีเซฟจากโครงปานานิล สภาวะที่ผ่านการย่อยสลายด้วยเอนไซม์ปริมาณ 2 เปอร์เซ็นต์ต่อน้ำหนักตัวอย่าง เป็นเวลา 1 ชั่วโมง (B และ C ตามลำดับ) โดยเปรียบเทียบกับโครงมาโตแกรมของกรดอะมิโนมาตรฐาน (A)



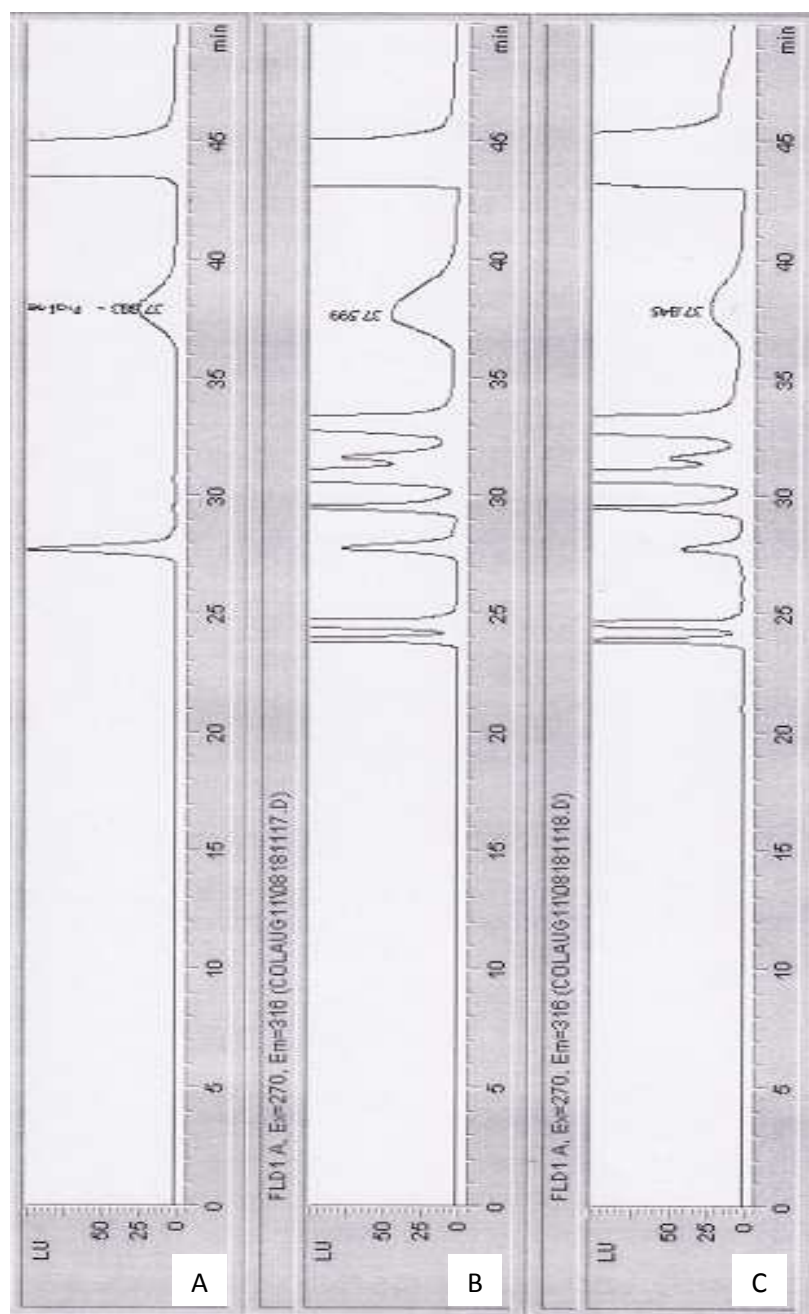
รูปภาคผนวกที่ ง.2 โครงการติดแกรมแสดงชนิดและปริมาณกรดอะมิโนที่เป็นองค์ประกอบในโครง
ปลานิลบดเจือจาง (B และ C ตามลำดับ) โดยเบริญบทียบกับโครงการติดแกรมของกรดอะมิโนใน
มาตรฐาน (A)



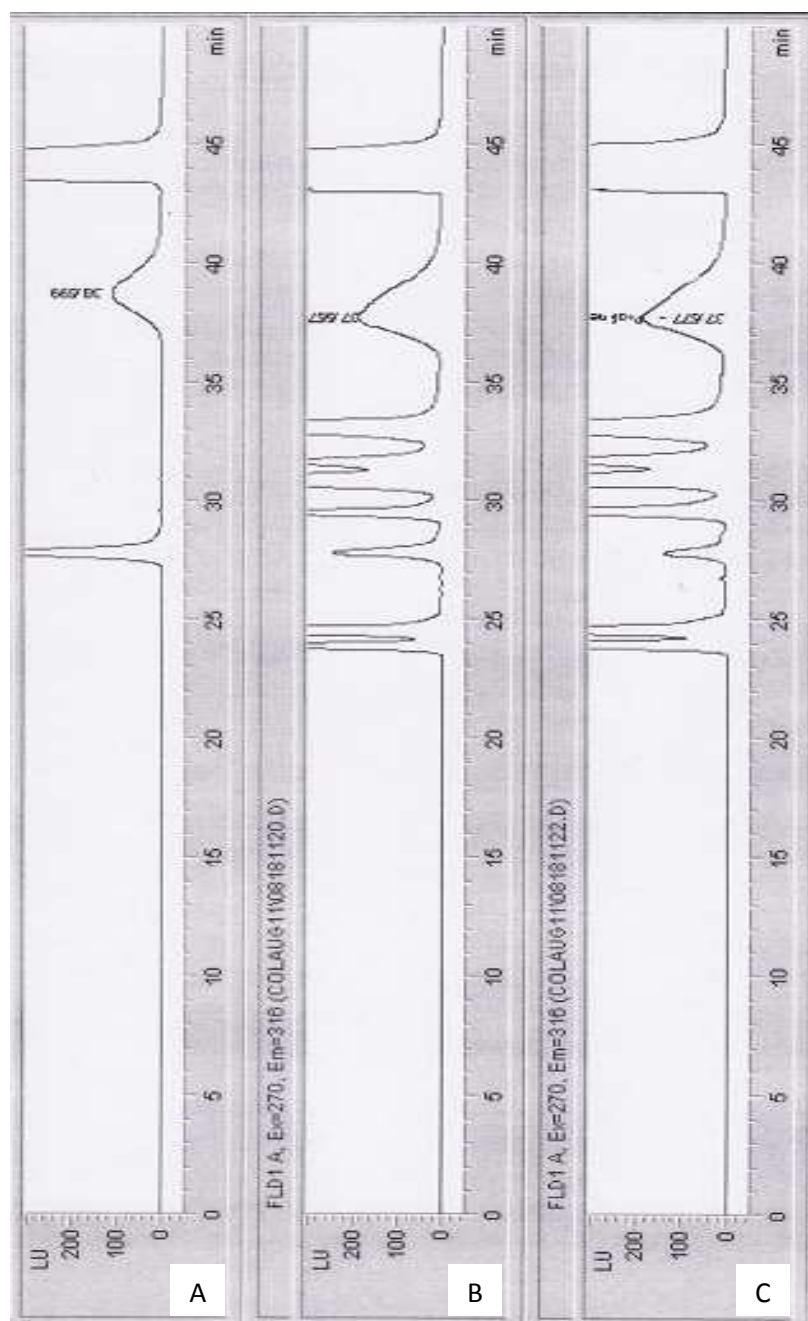
รูปภาคผนวกที่ ง.3 โครงมาติแกรมแสดงชนิดและปริมาณกรดอะมิโนที่เป็นองค์ประกอบในโปรตีนไอกอเดรไลเซทจากโครงปลาเกฟง ส่วนละ 3,2 (B และ C ตามลำดับ) โดยเปรียบเทียบกับโครงมาติแกรมของกรดอะมิโนมาตรฐาน (A)



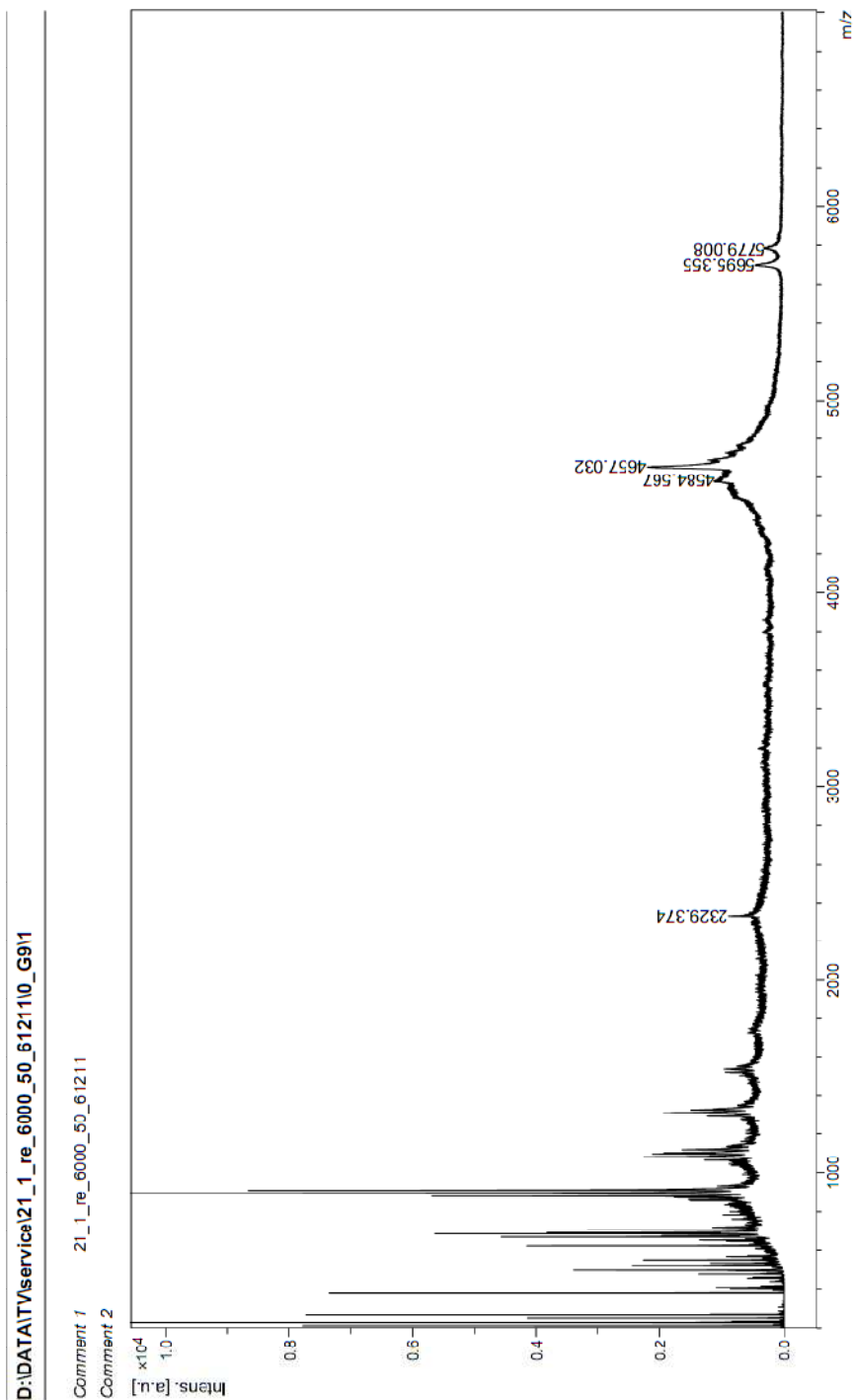
รูปภาคผนวกที่ 4.4 โครโนติแกรมแสดงชนิดและปริมาณกรดอะมิโนที่เป็นองค์ประกอบในโครง
ปลักษณ์พงบดเจือจาง (B และ C ตามลำดับ) โดยเปรียบเทียบกับโครโนติแกรมของกรดอะมิโน^๙
มาตรฐาน (A)



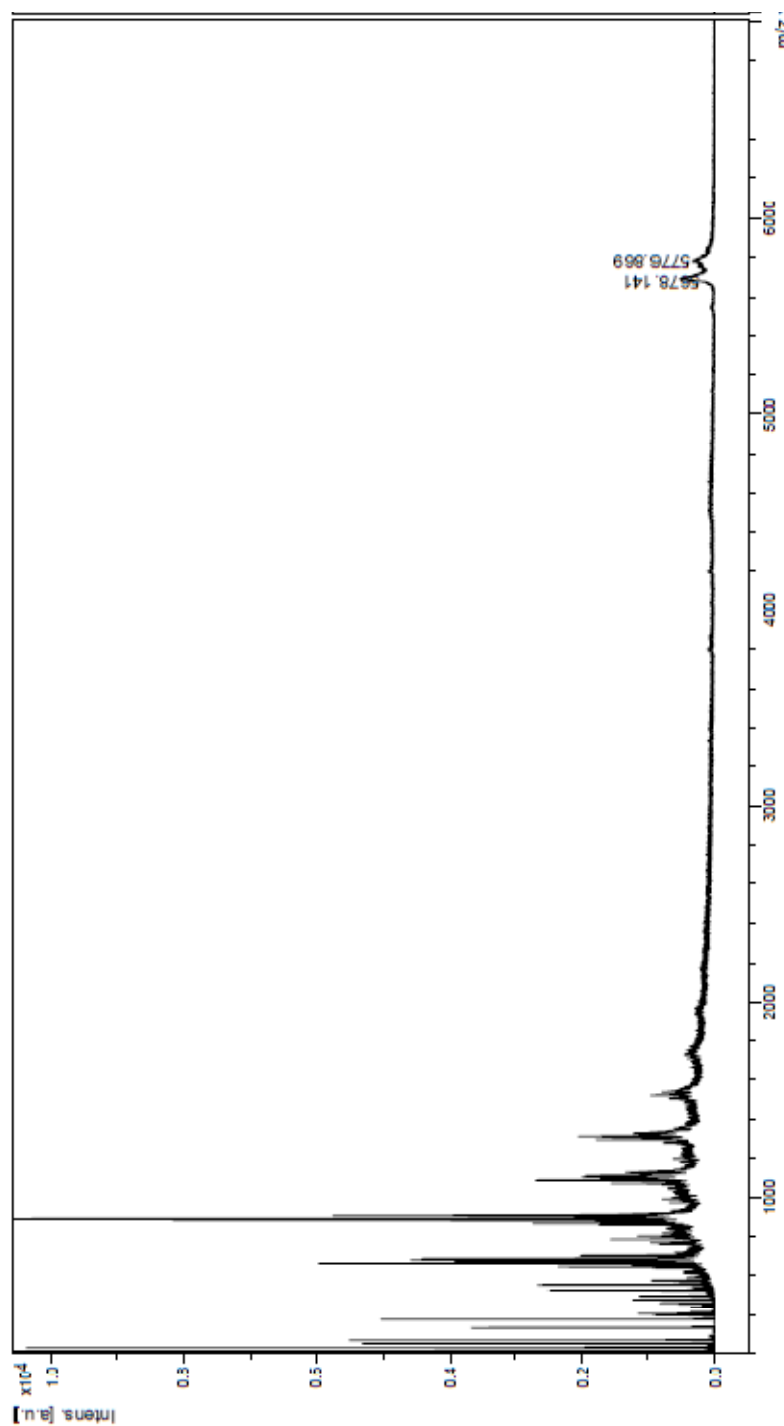
รูปภาคผนวกที่ ๑.๕ ความถี่แท้แกรมแสดงปริมาณกรดอะมิโน proline ที่เป็นองค์ประกอบ
โครงป้านิลبدเจือจาง และโครงปลา gere พงบดเจือจาง (B และ C ตามลำดับ) โดยเปรียบเทียบกับ
ความถี่แท้แกรมของกรดอะมิโน proline มาตรฐาน (A)



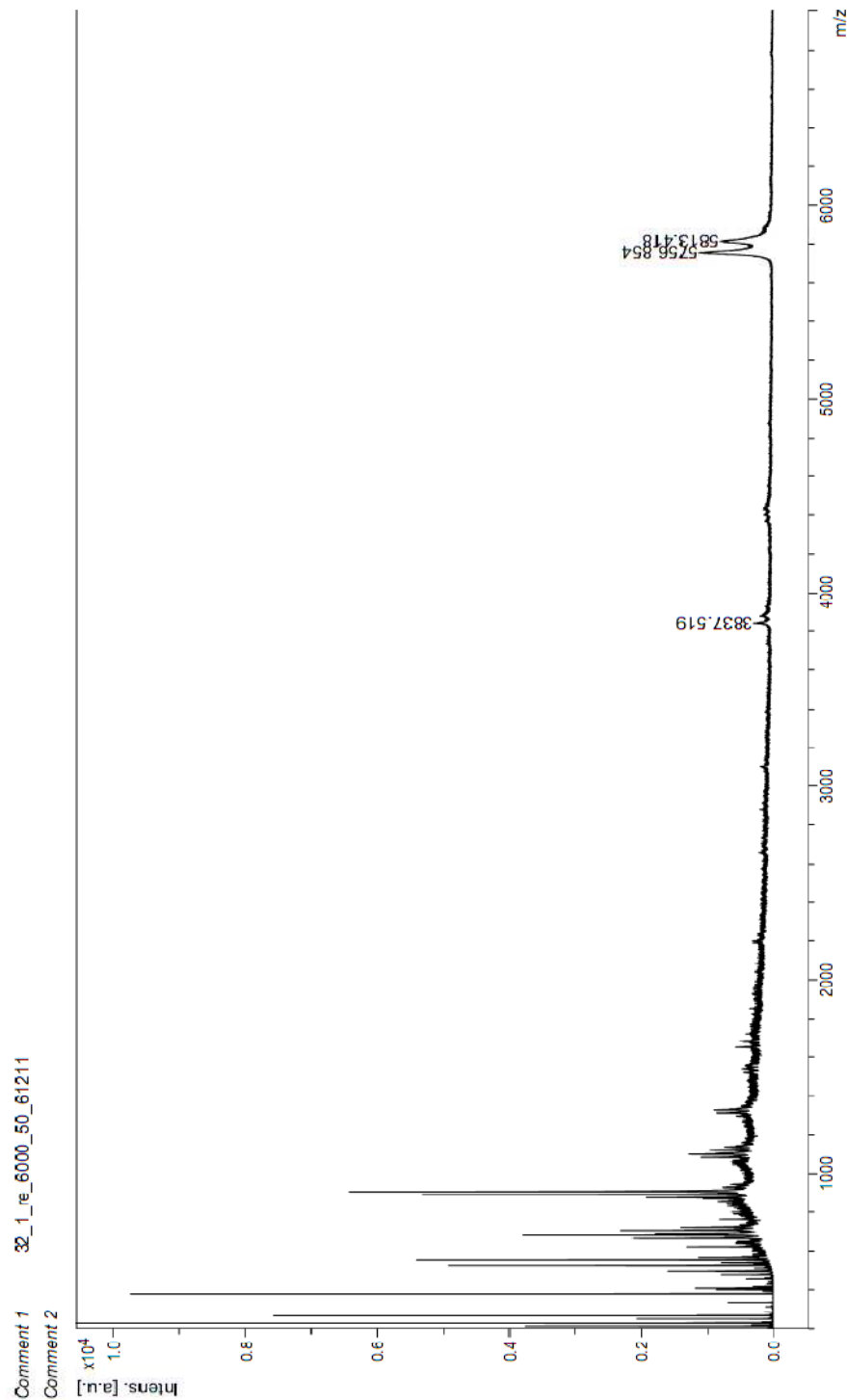
รูปภาคผนวกที่ ง.6 ความถี่แกรมแสดงปริมาณกรดอะมิโน proline ที่เป็นองค์ประกอบในโปรตีนไอกอไดเรชทจากโครงปลานิลที่ผ่านการย่อยสลายด้วยเอนไซม์ปริมาณ 2 เบอร์เซ็นต์ต่อน้ำหนักตัวอย่าง เป็นเวลา 1 ชั่วโมง และ ในโปรตีนไอกอไดเรชทจากโครงปลากระพงที่ผ่านการย่อยสลายด้วยเอนไซม์ปริมาณ 2 เบอร์เซ็นต์ต่อน้ำหนักตัวอย่าง เป็นเวลา 1 ชั่วโมง (B และ C ตามลำดับ) โดยเปรียบเทียบกับความถี่แกรมของกรดอะมิโน proline มาตรฐาน (A)



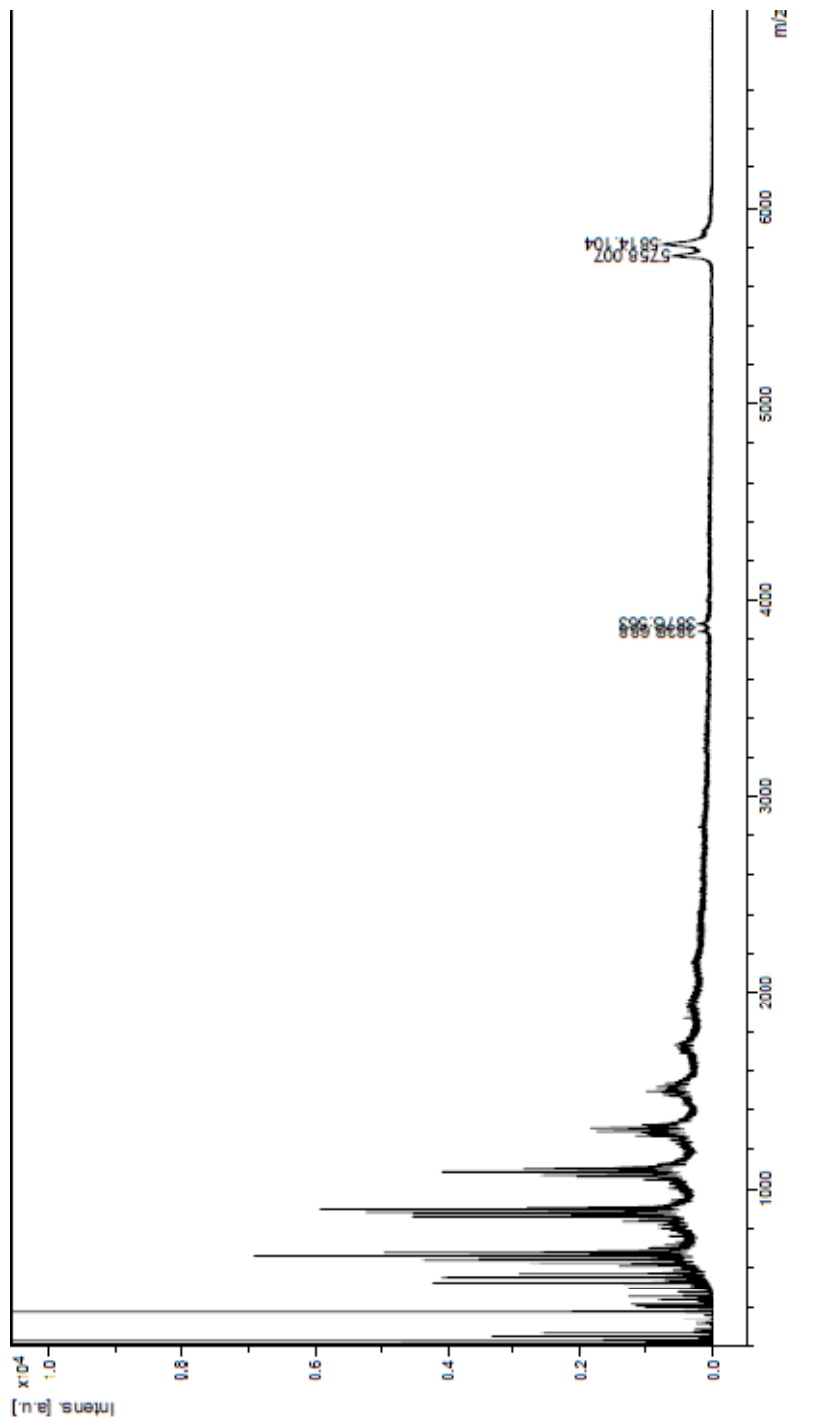
รูปภาคผนวกที่ 1.7 mass spectrum แสดงการวิเคราะห์ขนาดของเปปไทด์ที่เป็นองค์ประกอบในโปรตีนไซโตรไดเซทจากโครงปลานิลที่ผ่านการย่อยสลายด้วยเอนไซม์ป्रิมาต 2 เปอร์เซ็นต์ต่อหน่วยนักตัวอย่าง เป็นเวลา 1 ชั่วโมงทำการวิเคราะห์โดยเปลี่ยนช่วงของขนาดของเปปไทด์ที่ต้องการวิเคราะห์เป็น 1000 - 6000 Da



รูปภาคผนวกที่ 4.8 mass spectrum แสดงการวิเคราะห์ขนาดของเปปไทด์ที่เป็นองค์ประกอบในส่วนใสของโครงปลาโนลبدเจือจาง ทำการวิเคราะห์โดยเปลี่ยนช่วงของขนาดของเปปไทด์ที่ต้องการวิเคราะห์เป็น 1000 - 6000 Da



รูปภาคผนวกที่ 4.9 mass spectrum แสดงการวิเคราะห์ขนาดของเปปไทด์ที่เป็นองค์ประกอบในโปรตีนไฮโดรไลซेथจากโครงปลากระพงที่ผ่านการย่อยสลายด้วยเอนไซม์บرومาน 3 เปอร์เซ็นต์ต่อหน่วยนักตัวอย่าง เป็นเวลา 2 ชั่วโมง ทำการวิเคราะห์โดยเปลี่ยนช่วงของขนาดของเปปไทด์ที่ต้องการวิเคราะห์เป็น 1000 - 6000 Da



รูปภาคผนวกที่ ง.10 mass spectrum แสดงการวิเคราะห์ขนาดของเปปไทด์ที่เป็นองค์ประกอบในส่วนไขสื่อของโครงสร้างพังผดเจือจาง ทำการวิเคราะห์โดยเปลี่ยนช่วงของขนาดของเปปไทด์ที่ต้องการวิเคราะห์เป็น 1000 - 6000 Da

ภาคผนวก ๔

องค์ประกอบทางเคมีที่พบในเอนไซม์ Flavourzyme® 1000 L

ตารางภาคผนวกที่ ๔.๑ องค์ประกอบทางเคมีที่พบในเอนไซม์ Flavourzyme® 1000 L

องค์ประกอบ	ปริมาณ (% w/w) โดยน้ำหนักแห้ง
น้ำ	43
ซูโคราส	30
อะมิโนเปปทิดेट	17
โพแทสเซียมคลอไรด์	10
โพแทสเซียมซอร์เบท	0.20

ที่มา : บริษัท Brenntag Ingredients (Thailand) Public Co.,Ltd.

ภาคผนวก ฉ

ตารางค่าคงที่ α , β และ h_{tot} ของวัตถุดิบโปรตีนชนิดต่างๆ

Protein	α	β	h tot
Soy	0.970	0.342	7.8
Gluten*	1.00	0.40	8.3
Casein	1.039	0.383	8.2
Whey*	1.00	0.40	8.8
Gelatin	0.796	0.457	11.1
Meat*	1.00	0.40	7.6
Fish*	1.00	0.40	8.6

* When raw material has not been examined, then α and β are estimated to be 1.00 and 0.40, respectively.

ที่มา : Nielsen, Peterson และ Dambmann, 2001

ประวัติผู้เขียนวิทยานิพนธ์

นางสาวปิยะนันท์ ชื่อเสียง เกิดวันที่ 18 สิงหาคม พ.ศ. 2530 ที่จังหวัดเพชรบุรี สำเร็จการศึกษาระดับปริญญาตรีวิทยาศาสตรบัณฑิต ภาควิชาเทคโนโลยีทางอาหาร คณะวิทยาศาสตร์ จุฬาลงกรณ์มหาวิทยาลัย ในปี พ.ศ. 2552 และ เข้าศึกษาต่อในหลักสูตรวิทยาศาสตรบัณฑิต ภาควิชาเทคโนโลยีทางอาหาร คณะวิทยาศาสตร์ จุฬาลงกรณ์มหาวิทยาลัย เมื่อ พ.ศ. 2552